

федеральное государственное бюджетное образовательное
учреждение высшего образования
«Кемеровский государственный медицинский университет»
Министерства здравоохранения Российской Федерации



АКТУАЛЬНЫЕ
ПРОБЛЕМЫ И ПЕРСПЕКТИВЫ
ФАРМАЦЕВТИЧЕСКОЙ НАУКИ И
ПРАКТИКИ

Материалы III Международной
научно-практической конференции

Кемерово
26 мая 2023 г

**федеральное государственное бюджетное образовательное
учреждение высшего образования
«Кемеровский государственный медицинский университет»
Министерства здравоохранения Российской Федерации**

**АКТУАЛЬНЫЕ ПРОБЛЕМЫ И
ПЕРСПЕКТИВЫ
ФАРМАЦЕВТИЧЕСКОЙ НАУКИ И
ПРАКТИКИ**

Материалы III Международной научно-практической конференции

Кемерово, 26 мая 2023 года

**Кемерово
2023 г**

УДК 615.1(082)

ББК 52.82я43

А 437

Актуальные проблемы и перспективы фармацевтической науки и практики : материалы III Международной научно-практической конференции (Кемерово, 26 мая 2023 г.) / отв. ред. В. В. Большаков, Е. М. Мальцева. – Кемерово: КемГМУ, 2023. – 278с.

В сборнике представлены материалы III Международной научно-практической конференции, состоявшейся 26 мая 2023 г в Кемеровском государственном медицинском университете. Участники конференции ученые, преподаватели, аспиранты и студенты вузов России и стран зарубежья, научные разработки которых посвящены актуальным проблемам и перспективам развития фармацевтической науки и практики.

Редакционная коллегия выпуска:

Проф., д-р мед.наук Т.В. Пьянзова (Кемерово)
доц., канд. биол.наук В.В. Большаков (г. Кемерово)
доц., канд.фармацевт. наук Е.М. Мальцева (г. Кемерово)
доц.,канд.фармацевт.наук И.Г.Танцерева (г.Кемерово)
доц., канд.биол.наук С.В.Денисова (г. Кемерово)
проф., д-р биол. наук В.В. Лампатов (г. Кемерово)
проф., д-р фармацевт.наук А.Г.Петров (г. Кемерово)
доц., канд.фармацевт. наук А.А. Марьин (г. Кемерово)

Ответственный секретарь:

Доц., канд.хим.наук А.С. Вальнюкова (г. Кемерово)

Материалы публикуются в авторской редакции.

ISBN 978-5-8151-0306-1

© ФГБОУ ВО «Кемеровский государственный
медицинский университет» Минздрава России, 2023

Уважаемые участники конференции!



Приветствуем Вас на III Международной научно-практической конференции «Актуальные проблемы и перспективы фармацевтической науки и практики», которая стала своеобразной площадкой налаживания информационного обмена научного сообщества и развития международного сотрудничества.

Ведущие учёные, аспиранты, обучающиеся медицинских университетов из вузов разных регионов России и стран Ближнего Зарубежья, представители бизнеса, врачи поделятся практическим опытом и результатами своих научных исследований, а также обозначат перспективные направления развития фармацевтической науки и практики. Высокий интерес к конференции демонстрирует важность и востребованность этого мероприятия.

Желаем всем участникам конференции плодотворной работы, творческой результативной дискуссии, активности, оптимизма и приобретения дружеских контактов. Надеемся, что удастся создать условия для конструктивного диалога и обмена опытом и мнениями между участниками конференции.

Пусть наша конференция в стенах Кемеровского государственного медицинского университета, который по праву считается одним из ведущих вузов страны, станет местом для дальнейших интересных и плодотворных встреч. Уверены, что её результаты будут полезны всем участникам данного мероприятия, а предложенные рекомендации найдут свое применение в дальнейшей практической деятельности специалистов в области фармации!

Всем крепкого здоровья, благополучия и новых научных свершений!

Декан фармацевтического
факультета КемГМУ,
кандидат биологических наук

В.В.Большаков

СОДЕРЖАНИЕ

СЕКЦИЯ 1. ИННОВАЦИОННЫЕ АСПЕКТЫ СОВРЕМЕННОГО ФАРМАЦЕВТИЧЕСКОГО ОБРАЗОВАНИЯ

БЕЛОГЛАЗОВА Я.Р., ГРАЧЕВА И.В.	14
ЗДРАВООХРАНЕНИЕ: БУДУЩЕЕ ФАРМАЦЕВТИЧЕСКОГО ОБРАЗОВАНИЯ ЗА ИННОВАЦИЯМИ	

СЕКЦИЯ 2. АКТУАЛЬНЫЕ ВОПРОСЫ ЛЕКАРСТВЕННОГО ОБЕСПЕЧЕНИЯ НАСЕЛЕНИЯ

БОРИСОВА Т.В., ГРАЧЕВА И.В.	18
ПРОБЛЕМЫ И ПЕРСПЕКТИВЫ ЛЕКАРСТВЕННОГО ОБЕСПЕЧЕНИЯ НАСЕЛЕНИЯ РОССИИ	

ГАБИДУЛЛИНА В.Р., ЦИЦИАШВИЛИ А.М., ЗАБОРОВСКИЙ А.В.	23
РАЗВИТИЕ АНТИБИОТИКОРЕЗИСТЕНТНОСТИ ПАРОДОНТОПАТОГЕННЫХ МИКРООРГАНИЗМОВ ПОЛОСТИ РТА У ПАЦИЕНТОВ ПОСЛЕ ДЕНТАЛЬНОЙ ИМПЛАНТАЦИИ ПРИ НАЗНАЧЕНИИ ОДНОКРАТНОЙ И ПРОЛОНГИРОВАННОЙ СХЕМ ПРИЕМА ЗАЩИЩЕННЫХ ПЕНИЦИЛЛИНОВ	

КОБЗАРЬ И.А., СТРЕЛЬЧЕНКО Н.Н.	27
ОПРЕДЕЛЕНИЕ ФИЗИКО-ХИМИЧЕСКИХ СВОЙСТВ ВАТЫ, КОТОРАЯ ПРЕДСТАВЛЕНА НА ФАРМАЦЕВТИЧЕСКОМ РЫНКЕ ЛУГАНСКОЙ НАРОДНОЙ РЕСПУБЛИКИ	

МАЛЬЦЕВ М.Д., МАЛЬЦЕВА Е.М., БОЛЬШАКОВ В.В.	31
АНАЛИЗ АССОРТИМЕНТА БАД, СОДЕРЖАЩИХ ОМЕГА- 3 ПОЛИНЕНАСЫЩЕННЫЕ ЖИРНЫЕ КИСЛОТЫ, НА ФАРМАЦЕВТИЧЕСКОМ РЫНКЕ КЕМЕРОВСКОЙ ОБЛАСТИ-КУЗБАССА	

СОКОЛОВА А.С., ЮФЕРОВА Е.А.	35
АНАЛИЗ ФАРМАКОЭКОНОМИЧЕСКИХ ЗАТРАТ НА СОЦИАЛЬНО ЗНАЧИМЫЕ ГРУППЫ ЗАБОЛЕВАНИЙ В РОССИИ	

СЕКЦИЯ 3. АКТУАЛЬНЫЕ ПРОБЛЕМЫ ФАРМАЦЕВТИЧЕСКОЙ ТЕХНОЛОГИИ И БИОТЕХНОЛОГИИ

БОНДАРЕВ А.В. МИНЕРАЛОГИЧЕСКИЙ АНАЛИЗ МЕДИЦИНСКИХ ГЛИН	40
БОНДАРЕВ.А.В, РИФФИ.М. ОПРЕДЕЛЕНИЕ ТЕХНОЛОГИЧЕСКИХ И АДСОРБЦИОННЫХ ПОКАЗАТЕЛЕЙ ПОРОШКООБРАЗНОГО СМЕКТИТА ДИОКТАЭДРИЧЕСКОГО	43
БУЛАТОВА С.А., МАЛАХОВА А.Ю., АРСЕНИЕВ Н.А. СПОСОБЫ МОДИФИКАЦИИ ЭНТЕРОСОРБЕНТОВ	46
ЗАСЛАВСКАЯ К.Я., БРОДОВСКАЯ Е.П., АЛЬ-ХАДЖ АЮБ А.М., ХУТОРСКАЯ И.А., ШЛЯПКИНА В.И. ВЛИЯНИЕ МОЛНУПИРАВИРА И ФАВИПИРАВИРА НА ЖИЗНЕСПОСОБНОСТЬ КЛЕТОК ЛЕГКИХ ЭМБРИОНА ЧЕЛОВЕКА <i>IN VITRO</i>	49
КОБЕЛЬКОВА И.В., КОРОСТЕЛЕВА М.М. АКТУАЛЬНОСТЬ ДЕТЕКЦИИ ДУШИСТЫХ ВЕЩЕСТВ И ПРОДУКТОВ ГЛИКАЦИИ В СПЕЦИАЛИЗИРОВАННОЙ ПИЩЕВОЙ ПРОДУКЦИИ	52
КУЗЬМИНА Е.С., СИМУТИНА А.С. ФЕНОМЕН ДИСПЕРСНОСТИ МЕХАНО- АКТИВИРОВАННЫХ ОБАЗЦОВ ЛЕВОФЛОКСАЦИНА ПОЛУГИДРАТА И ЕГО ВЗАИМОСВЯЗЬ С ПАРАМЕТРАМИ РАСТВОРЕНИЯ	56
НИКОНЕНКО М.С., БОГАТЫРЁВ Н.А., БАХРУШИНА Е.О. НЕОБХОДИМОСТЬ РАЗРАБОТКИ <i>IN VITRO</i> МОДЕЛИ ДЛЯ ИЗУЧЕНИЯ СТИМУЛОЧУВСТВИТЕЛЬНЫХ ИНТРАВАГИНАЛЬНЫХ СИСТЕМ ДОСТАВКИ ЛЕКАРСТВ	61
СЕМЁНОВА Н.Н., ШАТАЛОВА Т.А. РАЗРАБОТКА ТВЕРДОЙ ЛЕКАРСТВЕННОЙ ФОРМЫ НООТРОПНОГО ДЕЙСТВИЯ ИЗ ЛИСТЬЕВ АЛЬФРЕДИИ ПОНИКШЕЙ	65

СИМУТИНА А.С., КУЗЬМИНА Е.С., УСПЕНСКАЯ Е.В. 68
ДИНАМИКА ДИСПЕРСНЫХ СВОЙСТВ МОЛЕКУЛЯРНЫХ
РАСТВОРОВ ЛЕВОФЛОКСАЦИНА ПРИ
ПРОИЗВЕДЁННОМ НА ПОРОШОК СУБСТАНЦИИ
МЕХАНИЧЕСКОМ ВОЗДЕЙСТВИИ

ШЕСТОПАЛОВА Н.Б., ФОМИНА Ю.А., АДАСКЕВИЧ Д.А. 75
АНАЛИЗ СОСТАВОВ ЛЕКАРСТВЕННЫХ ПРЕПАРАТОВ И
БИОЛОГИЧЕСКИ АКТИВНЫХ ДОБАВОК В
ЛЕКАРСТВЕННОЙ ФОРМЕ «ПАСТИЛКИ»

ШКОЛЬНИКОВА М.Н. , РОЖНОВ Е.Д. 79
К ВОПРОСУ СНИЖЕНИЯ ФАРМАЦЕВТИЧЕСКИХ
ОТХОДОВ В СФЕРЕ ПОТРЕБЛЕНИЯ

ШТОКАЛЕНКО В. Р. 84
АКТУАЛЬНЫЕ ПРОБЛЕМЫ ПЕРЕХОДА
ФАРМАЦЕВТИЧЕСКОЙ ПРОМЫШЛЕННОСТИ НА
ИННОВАЦИОННУЮ МОДЕЛЬ РОСТА

***СЕКЦИЯ 4. НОВОЕ В ФАРМАКОЛОГИЧЕСКИХ ИССЛЕДОВАНИЯХ
ЛЕКАРСТВЕННЫХ СРЕДСТВ***

АКБАЕВ Р.М., ЗОЛОТУХИНА А.А., МИНЬКОВА О.А. 90
ХЕЙЛЕНИЕ ЛЕЗ СОБАК
(ACARI:TROMBIDIFORMES:CHEYLETIDAE)

АКБАЕВ Р.М., ЗОЛОТУХИНА А.А., НАЧЕВА Л.В. 93
ФТИРАПТЕРОЗ (ФЕЛИКОЛЕЗ) КОШЕК
[INSECTA:PHTHIRAPTERA:TRICHODECTIDAE]

АКБАЕВ Р.М., СИЗОВА Е.С., НАЧЕВА Л.В. 98
ЭФФЕКТИВНОСТЬ ИНСЕКТОАКАРИЦИДА (ДВ
ЭТОФЕНПРОКС КЭ) В ОТНОШЕНИИ ИМАГО ОВЕЧЬЕГО
РУНЦА *MELOPHAGUS OVINUS* (INSECTA: DIPTERA:
HIPPOBOSCIDAE) В УСЛОВИЯХ IN VITRO

BURAK E S., HAYRAPETYAN A. A. 102
Academic Advisor: cand. honey. Sciences, Associate Professor
SHANKO ZH.G.
NEW APPROACHES TO THE TREATMENT OF DIABETIC
RETINOPATHY: THE ROLE OF ANTIOXIDANTS AND
VITAMINS

- BURAK E. S., HAYRAPETYAN A.A. 106
Academic Advisor: cand. honey. Sciences, Associate Professor
SHANKO ZH.G.
CONTEMPORARY APPROACHES IN THE TREATMENT OF ENDOCRINE OPHTHALMOPATHY
- КЕТОВА Е.С., МЯЗИНА А.В., БАТИЩЕВА Г.А., БИБИК Е.Ю., КРИВОКОЛЬСКО С.Г. 110
ВЗАИМОСВЯЗЬ БИОХИМИЧЕСКИХ И МОРФОЛОГИЧЕСКИХ ПОКАЗАТЕЛЕЙ ПЕЧЕНИ В ЭКСПЕРИМЕНТЕ ПРИ АЛИМЕНТАРНОМ ОЖИРЕНИИ И ДЕКСАМЕТАЗОНОВОЙ НАГРУЗКЕ НА ФОНЕ ФАРМАКОКОРРЕКЦИИ ДЕРИВАТАМИ АЛЬФА-ЦИАНОТИОАЦЕТАМИДА
- КРАСНОЩОК Е.В., ЕНИК Ю.С. 115
АНАЛИЗ ЭФФЕКТИВНОСТИ ПРИМЕНЕНИЯ АНТИДЕПРЕССАНТОВ (СИОЗС) И РИСПЕРИДОНА ПРИ РАС У ДЕТЕЙ
- НАЧЕВА Л.В., СТЕПАНОВА М.Г. 118
АНТИГЕЛЬМИНТНАЯ РЕЗИСТЕНТНОСТЬ У ТРЕМАТОД
- СЕЛЕЗНЕВ В.В., КОВАЛЕНКО И.В. 121
ВНУТРИВЕННОЕ ВВЕДЕНИЕ ЭТАНОЛА В ДОГОСПИТАЛЬНОЙ ТЕРАПИИ ОТЁКА ЛЁГКИХ
- ТАРАРИНА Л.А., БРОДОВСКАЯ Е.П., ХУТОРСКАЯ И.А., ШЛЯПКИНА В. И., ЯКОБСОН Д. Э., АГЕЕВ В.П. 125
ПЕРСПЕКТИВЫ ПРИМЕНЕНИЯ ЛИПОСОМАЛЬНОЙ ФОРМЫ ХЛОРИНА Е6 ДЛЯ ФОТОДИНАМИЧЕСКОЙ ТЕРАПИИ
- ТИНЬКОВ О.В., ФОМОВ Г.В., ГРИГОРЬЕВ В.Ю., ГРИГОРЬЕВА Л.Д. 129
QSAR ПРОГНОЗИРОВАНИЕ ОСТРОЙ ТОКСИЧНОСТИ ОРГАНИЧЕСКИХ СОЕДИНЕНИЙ
- ТРОФИМОВА Е.С., ЛИГАЧЁВА А.А., ЗЫКОВА М.В., СЕЛИВАНОВА Н.С. 133
ВЛИЯНИЕ ГУМИНОВЫХ КИСЛОТ ТОРФА НА РЕАКЦИИ ГИПЕРЧУВСТВИТЕЛЬНОСТИ РАЗЛИЧНОГО ТИПА

ЧАЙКА Е.В, БОГДАНОВА Н.В. ВЛИЯНИЕ ДОКСИЦИКЛИНА НА ПРОЦЕСС ФИБРИЛЛООБРАЗОВАНИЯ МОЛЕКУЛЫ ИНСУЛИНА	138
ЧАЙКА Е.В, БОГДАНОВА Н.В. ВЛИЯНИЕ ХОЛЕКАЛЬЦИФЕРОЛА НА МЕХАНИЗМЫ РАЗВИТИЯ САХАРНОГО ДИАБЕТА II ТИПА	143
ЧУДНОЦЕЦ Т.А, БАЛДОВ Д.А., ВЫПОВА Е.Р., КОМАРОВА Л.Н. ДЕЙСТВИЕ ФУМАРАТА НА НОРМАЛЬНЫЕ КЛЕТКИ ЧЕЛОВЕКА В УСЛОВИЯХ НОРМАБАРИЧЕСКОЙ ЭКЗОГЕННОЙ ГИПОКСИИ	147
ШЛЯПКИНА В.И., КУЛИКОВ О.А., АГЕЕВ В.П., ГАДЕЕВА А.А., БОБРОВ В.С., БОРОВИК Е.В. ИССЛЕДОВАНИЕ ФОТОЦИТОТОКСИЧЕСКОГО ЭФФЕКТА ЭМУЛЬСИЙ НА ОСНОВЕ ФУРАНОКУМАРИНОВ	151
ЮЛДАШЕВА Д.А., ИСМОИЛОВ И.Б., МУХИДИНОВ З.К. БИОРАЗЛАГАЕМЫЕ АНТИМИКРОБНЫЕ ПОЛИМЕРНЫЕ КОМПОЗИЦИОННЫЕ МАТЕРИАЛЫ НА ОСНОВЕ ГЛЮКОМАННАНА И ЗЕИНА	154
ЮНИНА Д.В., ЗАБОРОВСКИЙ А.В., ТАРАРИНА Л.А., ПЯТАЕВ Н.А. ИММУНОТОРПНЫЕ ЭФФЕКТЫ ЛИПОСОМАЛЬНОГО ДЕКСАМЕТАЗОНА И ЕГО ВЛИЯНИЕ НА КЛЕТОЧНЫЙ СОСТАВ КРОВИ У КРЫС С МОДЕЛЬЮ РЕВМАТОИДНОГО АРТРИТА	158
<i>СЕКЦИЯ 5. ПОИСК И ВНЕДРЕНИЕ БИОЛОГИЧЕСКИ АКТИВНЫХ СОЕДИНЕНИЙ СИНТЕТИЧЕСКОГО И ПРИРОДНОГО ПРОИСХОЖДЕНИЯ</i>	
АЛЕКСАНДРОВ М.А., МАЛАХОВА А.Ю. ПРОГНОЗИРОВАНИЕ ЛИПОФИЛЬНЫХ СВОЙСТВ ПРОИЗВОДНЫХ САЛИЦИЛАНИЛИДА, ОБЛАДАЮЩИХ ПОТЕНЦИАЛЬНОЙ АНАЛЬГЕЗИРУЮЩЕЙ АКТИВНОСТЬЮ	165

- БАШМАКОВ А. С., ДЯГИЛЕВА Е. П. 168
СПОСОБ ПОЛУЧЕНИЯ ОКСИДА АЗОТА (I) ИЗ СОЛЕЙ ГИДРОКСИЛАММОНИЯ
- БИБИК И.В., БИБИК Е.Ю., ФРОЛОВ К.А., ДОЦЕНКО В.В., КРИВОКОЛЫСКО С.Г. 173
ОПРЕДЕЛЕНИЕ СТЕПЕНИ ТОКСИЧНОСТИ НОВЫХ ПРОИЗВОДНЫХ 3-АМИНОТИЕНО[2,3-В]ПИРИДИНА И 1,4-ДИГИДРОПИРИДИНА
- БИБИК И. В. 176
ОСОБЕННОСТИ ПРОТИВОВОСПАЛИТЕЛЬНОЙ АКТИВНОСТИ НОВЫХ ПРОИЗВОДНЫХ КОНДЕНСИРОВАННЫХ 1,4-ДИГИДРОПИРИДИНОВ И 3-АМИНОТИЕНО[2,3-В]ПИРИДИНОВ В ЭКСПЕРИМЕНТЕ
- БОЧЕВА А.А., БИБИК Е.Ю., КРИВОКОЛЫСКО С.Г., ФРОЛОВ К.А., ДОЦЕНКО В.В. 179
ЭКСПЕРИМЕНТАЛЬНАЯ ОЦЕНКА АНАЛЬГЕЗИРУЮЩИХ СВОЙСТВ НОВЫХ ЧАСТИЧНО ГИДРИРОВАННЫХ ПИРИДИНОВ, ПРОИЗВОДНЫХ α -ЦИАНОТИОАЦЕТАМИДА
- ВАЛЬНЮКОВА А. С., ТИХОНОВА О. Ю., ЗАЙЦЕВА Э. А., РАДЖЕШ ВИТТАЛ ШЕТТИ 184
ПРИМЕНЕНИЕ ГРАФЕНА И ЕГО ПРОИЗВОДНЫХ В СТОМАТОЛОГИИ
- КИБА А.В. 187
РАЗРАБОТКА АНТИСЕПТИЧЕСКОГО ГЕЛЯ НА ОСНОВЕ КСАНТАНОВОЙ КАМЕДИ С ДОБАВЛЕНИЕМ ЛИДОКАИНА И СПИРТОВЫХ ЭКСТРАКТОВ РОМАШКИ АПТЕЧНОЙ И ПРОПОЛИСА
- КОЗЛОВИЧ Д. В, БОГДАНОВА Н. В, ХАНЧЕВСКИЙ М. А. 192
ВЛИЯНИЕ КАРБОНАТА ЛИТИЯ НА ФИБРИЛЛООБРАЗОВАНИЕ ИНСУЛИНА
- КОЗЛОВИЧ Д.В., БОГДАНОВА Н.В. 197
ВЛИЯНИЕ α АМФ и Ar_4A НА ПРОЦЕСС ФИБРИЛЛООБРАЗОВАНИЯ МОЛЕКУЛЫ ИНСУЛИНА

ПОТАПОВ М.А., ПОТАПОВ А.Ю., ШИХАЛИЕВ Х.С. СИНТЕЗ ПОТЕНЦИАЛЬНО БИОЛОГИЧЕСКИ АКТИВНЫХ 6-(1-АЦЕТИЛ-1,2,3,4-ТЕТРАГИДРО-2,2,4,7- ТЕТРАМЕТИЛХИНОЛИН-6-ИЛ)-2-Р-ПИРИМИДИН-4(3Н)- ОНОВ	200
СУХАНОВА В.А., УСПЕНСКАЯ Е.В. <i>IN SILICO</i> АНАЛИЗ БИОЛОГИЧЕСКОЙ АКТИВНОСТИ ЛЕВОФЛОКСАЦИНА, МОДИФИЦИРОВАННОГО В РЕЗУЛЬТАТЕ МЕХАНИЧЕСКОГО ВОЗДЕЙСТВИЯ	203
СИВЕЦ Г.Г., СИВЕЦ А.В. СИНТЕЗ ПРОТИВООПУХОЛЕВОГО ФТОРНУКЛЕОЗИДА ИЗ ПРОИЗВОДНЫХ D-РИБОЗЫ	208
СЕВАСТЬЯНОВА А.В. ЖДАНОВА А.В. ОПРЕДЕЛЕНИЕ АНТИОКСИДАНТНЫХ СВОЙСТВ ГУМИНОВЫХ ВЕЩЕСТВ ПЕЛОИДОВ ХЕМИЛЮМИНЕСЦЕНТНЫМ МЕТОДОМ	212
ХАРЛАМОВА Т.В. СИНТЕЗ И СТРУКТУРНЫЕ ХАРАКТЕРИСТИКИ ФТОРБЕНЗОАТОВ ПРОИЗВОДНОГО АЛИЗАРИНА СОДЕРЖАЩЕГО БРОМФЕНАЦИЛЬНЫЙ ЗАМЕСТИТЕЛЬ	215
ХАРЛАМОВА Т.В., ГАБДРАКИПОВ А.В. ОЦЕНКА ГЕОМЕТРИЧЕСКИХ И ЭНЕРГЕТИЧЕСКИХ ПАРАМЕТРОВ ПРОИЗВОДНОГО АЛИЗАРИНА СОДЕРЖАЩЕГО БРОМФЕНАЦИЛЬНЫЙ ФРАГМЕНТ	218
ХАНЧЕВСКИЙ М. А, КВАСЮК Е. И, СИВЕЦ Г. Г. АНТИПРОЛИФЕРАТИВНАЯ АКТИВНОСТЬ КОНЬЮГАТА N-ГЛИКОЗИДА С 1,2,3-ТРИАЗОЛОМ И КВАНТОВО- МЕХАНИЧЕСОЕ МОДЕЛИРОВАНИЕ ЕГО ВЗАИМОДЕЙСТВИЯ С ПРОТЕИНТИРОЗИНФОСФАТАЗОЙ (2QVR)	221
ХУМАИРИ АХМЕД ХАМИД РАЗРАБОТКА НОВОГО ПРОТИВООПУХОЛЕВОГО СРЕДСТВА НА ОСНОВЕ ПРОИЗВОДНОГО ТЕТРАЗИНА, ЯВЛЯЮЩЕГОСЯ АНАЛОГОМ АЛКИЛИРУЮЩЕГО ПРЕПАРАТА ТЕМОДАЛА, ДЛЯ ТЕРАПИИ ЗЛОКАЧЕСТВЕННЫХ НОВООБРАЗОВАНИЙ	226

**СЕКЦИЯ 6. ФАРМАКОГНОСТИЧЕСКИЕ ИССЛЕДОВАНИЯ
ЛЕКАРСТВЕННЫХ РАСТЕНИЙ**

- АНДРЕЕВА Ю.А., КУРКИН В.А., ПРАВДИВЦЕВА О.Е.,
АНДРЕЕВ А.А., ВОЛКОВА Н.А. 232
**ИЗУЧЕНИЕ ВОЗМОЖНОСТИ ПОЛУЧЕНИЯ СОКА ИЗ
СВЕЖИХ ПЛОДОВ БОЯРЫШНИКА**
- БЕЛОВА О.А., КУРКИН А.В., ЕГОРОВ М.В. 235
**НОВЫЕ ПОДХОДЫ К СТАНДАРТИЗАЦИИ ТРАВЫ
GLYCYRRHIZA GLABRA L.**
- БОРОВСКАЯ И.Н., БИЛЫК О.В., СОЛЕНАЯ Е.А. 240
**ИЗУЧЕНИЕ ХИМИЧЕСКОГО СОСТАВА ЛИПОФИЛЬНОЙ
ФРАКЦИИ АМБРОЗИИ ПОЛЫННОЛИСТНОЙ
ПРОИЗРАСТАЮЩЕЙ НА ТЕРРИТОРИИ ДОНБАССА**
- БЫКОВА Т.А., МЕЩЕРЯКОВА А.А., ШЕСТОПАЛОВА Н.Б.,
ФОМИНА Ю.А. 245
**ОПТИМАЛЬНЫЕ УСЛОВИЯ ОПРЕДЕЛЕНИЯ ПОТЕРИ В
МАССЕ ПРИ ВЫСУШИВАНИИ СУХОГО ЭКСТРАКТА
АВРАНА ЛЕКАРСТВЕННОГО (*GRATIOLA OFFICINALIS* L.)**
- ВАСЬКОВА А.И., КУРКИН В.А., СОКОЛОВА И.В. 248
**СРАВНИТЕЛЬНЫЙ КАЧЕСТВЕННЫЙ АНАЛИЗ
НЕКОТОРЫХ ВИДОВ РОДА *ACHILLEA* L. МЕТОДОМ
ВЭЖХ**
- ЕГОРОВА И.Н., КОЛМОГОРОВА Е.Ю. 252
**СОДЕРЖАНИЕ ГИДРОКСИКОРИЧНЫХ КИСЛОТ В
ЛИСТЬЯХ БЕРЕЗЫ, ПРОИЗРАСТАЮЩЕЙ НА
ТЕРРИТОРИИ КУЗБАССА**
- ЕГОРОВА И.Н., КРУГЛАЯ К.А. 256
**ОЦЕНКА СОДЕРЖАНИЯ СУММЫ ФЕНОЛЬНЫХ
СОЕДИНЕНИЙ В НЕКОТОРЫХ ВЕГЕТАТИВНЫХ И
ГЕНЕРАТИВНЫХ ОРГАНАХ *SORBUS SIBIRICA* HEDL.
ПРОИЗРАСТАЮЩЕЙ НА ТЕРРИТОРИИ КУЗБАССА**
- КАЗАКОВА М.А., КУРКИН В.А. 259
**АКТУАЛЬНЫЕ ПРОБЛЕМЫ СТАНДАРТИЗАЦИИ МЯТЫ
ПЕРЕЧНОЙ**

- КУРКИН В.А., АНДРЕЕВА Ю.А., СТЕНЯЕВА В.В., ВАРИНА
Н.Р., ЕГОРОВ М.В. 265
**ИЗУЧЕНИЕ ХИМИЧЕСКОГО СОСТАВА ЛИСТЬЕВ
БОЯРЫШНИКА ВЕЕРОВИДНОГО**
- ПРАВДИВЦЕВА О.Е., АНДРЕЕВА Ю.А., КУРКИН В.А., 269
ЖАВКИНА Т.М., ПОМОГАЙБИН А.В., РУЗАЕВА И.В.
**ИЗУЧЕНИЕ ДИНАМИКИ НАКОПЛЕНИЯ ФЛАВОНОИДОВ
В ПЛОДАХ БОЯРЫШНИКА ВЕЕРОВИДНОГО**
- СТРИЖОВ Б.Б., АНТОСЮК О.Н., БОЛОТНИК Е.В. 272
**ВЛИЯНИЕ ЭТАНОЛЬНЫХ ЭКСТРАКТОВ
ПРЕДСТАВИТЕЛЕЙ РОДА MONARDA НА ЭКСПРЕССИЮ
ГЕНА SQH DROSOPHILA MELANOGASTER**
- ТАРАСОВА В.Л., ХОХРЯКОВА Л.В. 276
**ИЗУЧЕНИЕ ВЛИЯНИЯ СЕЗОННОЙ ПЕРИОДИЧНОСТИ
НА СОДЕРЖАНИЕ ДУБИЛЬНЫХ ВЕЩЕСТВ В КОРЕ ЕЛИ
ОБЫКНОВЕННОЙ (PICEA ABIES) КИРОВСКОЙ ОБЛАСТИ**

**ИННОВАЦИОННЫЕ АСПЕКТЫ
СОВРЕМЕННОГО ФАРМАЦЕВТИЧЕСКОГО
ОБРАЗОВАНИЯ**

БЕЛОГЛАЗОВА Я.Р., ГРАЧЕВА И.В.
**ЗДРАВООХРАНЕНИЕ: БУДУЩЕЕ ФАРМАЦЕВТИЧЕСКОГО
ОБРАЗОВАНИЯ ЗА ИННОВАЦИЯМИ**

*Областное государственное бюджетное профессиональное
образовательное учреждение «Рязанский медицинский колледж»,*

г. Рязань

e-mail: yana.beloglazova@icloud.com

BELOGLAZOVA Y.R., GRACHEVA I.V.
**HEALTHCARE: THE FUTURE OF PHARMACEUTICAL EDUCATION
LIES IN INNOVATION**

*Regional State budgetary professional educational institution "Ryazan Medical
College", Ryazan*

e-mail: yana.beloglazova@icloud.com

Аннотация: в области профессиональной деятельности повышение квалификации специалистов является приоритетной задачей, требующей постоянного совершенствования и модернизации форм и методов педагогической и научно-методической деятельности. Современные тенденции в образовании направлены на повышение уровня знаний, компетенций, навыков специалистов.

Ключевые слова: фармацевтические работники, профессиональный стандарт, повышение квалификации, аккредитация специалистов, обучение.

Abstract: In the field of professional activity, professional development of specialists is a priority task that requires constant improvement and modernization of forms and methods of pedagogical and scientific and methodological activities. Modern trends in education are aimed at increasing the level of knowledge, competencies, skills of specialists.

Keywords: pharmaceutical workers, professional standard, advanced training, accreditation of specialists, training.

Цель исследования. Оценить эффективность и перспективность инновационных технологий в образовательном процессе.

Материалы и методы исследования. В процессе исследования использовались методы системного подхода, ситуационно-логического анализа, социологические, контент-анализ.

Результаты исследования и их обсуждение. Единая система подготовки фармацевтических работников, основанная на Федеральных законах «Об образовании в Российской Федерации», «Об основах охраны здоровья граждан в Российской Федерации», предусматривает несколько уровней профессионального (фармацевтического) образования: среднее профессиональное образование, высшее образование – специалитет, высшее образование – подготовка кадров высшей квалификации

СЕКЦИЯ 1. Инновационные аспекты современного фармацевтического образования

(ординатура, аспирантура, докторантура), а также предусматривает дополнительное профессиональное образование. Это направление фармацевтического образования реализуется дополнительными образовательными программами повышения квалификации и образовательными программами профессиональной переподготовки, которые разрабатываются непосредственно образовательными учреждениями. В современных условиях повышение квалификации направлено не только на совершенствование знаний, но в значительной степени на повышение практических навыков специалистов, способствует получению новых компетенций для профессиональной деятельности либо нового ее вида.

Указом Президента Российской Федерации от 7 мая 2012 года № 597 «О мероприятиях по реализации государственной социальной политики» принят Национальный план развития профессиональных стандартов как прочной экономической базы социального развития общества. Профессиональные стандарты применяются работодателями при формировании кадровой политики, разработки должностных инструкций, в установлении системы оплаты труда и других процедурах. Деятельность образовательных учреждений по подготовке фармацевтических специалистов непосредственно связана с модернизацией системы дополнительного профессионального образования, на основе его непрерывности, инновационного подхода и отвечающего запросам практической фармации.

Любая специальность растет и развивается вместе с новыми технологиями и постоянно меняющимся профессиональным пространством. Чем же отличается современное фармацевтическое образование?

Глобальный подход

Хороший специалист сегодня – это тот человек, который отлично разбирается не только в своей профессиональной области, но и во многих смежных направлениях. Студенты-фармацевты последних лет изучают не только лекарственные препараты и организацию аптечного дела, но и экономику, психологию, маркетинг, информатику. Работодатели ждут всесторонне развитых выпускников способных легко заменять друг друга при необходимости и готовых усваивать новую информацию из любой сферы деятельности.

Виртуальность

Темп жизни настолько увеличился, что каждая потерянная минута может стоить выпускнику будущей карьеры. Именно поэтому некоторые учебные заведения стараются помочь студентам сэкономить время и получить при этом максимум полезной информации.

Престиж среднего образования

Сегодня среднее образование завершалось с получением диплома основного учебного заведения, сегодня этот процесс становится непрерывным. Современные фармацевты обязаны продолжать свое обучение, оттачивая практические навыки и пополняя запас теоретических знаний на семинарах, лекциях и конференциях. Регулярное повышение квалификации теперь стало обязательным для любого специалиста в сфере фармации вне зависимости от его профессионального стажа.

Меньше теории, больше практики

Общее ускорение всех процессов приводит к тому, что от молодого специалиста работодатель ожидает практических навыков, которые можно незамедлительно применить в повседневной профессиональной деятельности. Некоторые учебные заведения, поддерживающие прочные связи с потенциальными работодателями своих выпускников, учитывают эту тенденцию и меняют учебные планы, отдавая предпочтение практическим дисциплинам.

Выводы. Мы оценили действительность и возможность инновационных технологий в образовательном процессе, а также узнали отличия современного фармацевтического образования.

Список литературы

1. Анализ требований к структуре содержанию и результатам освоения основных образовательных программ по специальности «Фармация» / Н.Д. Бреднева, А.С. Путинцева, Н.П. Фирсенко // Медицинская наука и образование Урала. - 2016. - № 4. – С.61-65.
2. Бреднева Н.Д. Последипломное фармацевтическое образование в России / Н.Д. Бреднева, Т.А. Угрюмова, А.С. Путинцева // Фармация. - 2013. – № 4. - С.48-50.
3. Российская Федерация. М-во здравоохранения. Об утверждении номенклатуры должностей медицинских работников и фармацевтических работников: приказ М-ва здравоохранения Рос. Федерации от 20. 12. 2012 N 1183н [Электронный ресурс] // Консультант плюс. Версия Проф: Справ.-прав.-сист. – М., 2018.

**АКТУАЛЬНЫЕ ВОПРОСЫ
ЛЕКАРСТВЕННОГО ОБЕСПЕЧЕНИЯ
НАСЕЛЕНИЯ**

БОРИСОВА Т.В., ГРАЧЕВА И.В.
**ПРОБЛЕМЫ И ПЕРСПЕКТИВЫ ЛЕКАРСТВЕННОГО
ОБЕСПЕЧЕНИЯ НАСЕЛЕНИЯ РОССИИ**

*Областное государственное бюджетное профессиональное
образовательное учреждение «Рязанский медицинский колледж»,
г. Рязань
e-mail: grachyova68@mail.ru*

BORISOVA T.V., GRACHEVA I.V.
**PROBLEMS AND PROSPECTS OF DRUG SUPPLY TO THE
POPULATION OF RUSSIA**

*Regional State budgetary professional educational institution "Ryazan Medical
College", Ryazan
e-mail: grachyova68@mail.ru*

Аннотация: В статье представлен общий анализ наиболее острых вызовов в области доступности лекарственных средств, позволивших сформулировать предложения по совершенствованию системы лекарственного обеспечения населения.

Ключевые слова: доступность; лекарственное обеспечение; фармацевтический рынок; ассортиментная доступность; финансирование.

Abstract: The article presents a general analysis of the most acute challenges in the field of availability of medicines, which made it possible to formulate proposals for improving the system of drug provision for the population.

Keywords: accessibility; provision of medication; pharmaceutical market; assortment availability; funding.

Цель исследования. На основе проведения анализа лекарственного обеспечения в Российской Федерации обозначить возможности совершенствования механизмов обеспечения населения лекарственными препаратами.

Материалы и методы исследования. В работе использованы официальные данные Минздрава России, Росстата, Минтруда, Росздравнадзора, данные реестра лицензий и регистра ЛС других органов. Применен комплекс методов социально-гигиенического и медико-организационного, статистического, структурно-функционального, информационно-аналитического характера.

Результаты исследования и их обсуждение. *Анализ и оценка проблем ЛО населения.* Одним из приоритетных направлений в здравоохранении в Российской Федерации было и остается ЛО населения.

Одной из приоритетных задач, поставленных руководством страны, является обеспечение населения доступными, качественными и

эффективными ЛС. По рекомендации Всемирной организации здравоохранения, доступность и рациональность применения ЛС должны лежать в основе любых усилий по укреплению системы здравоохранения.

Проблема доступности ЛС в стране остается одной из самых острых. Однако вопрос доступности ЛС возник не сегодня. В 2012 г. на заседании президент В. В. Путин отправил планы правительства на доработку: по его мнению, «Минздрав так и не смог ясно сформулировать, что такое доступность лекарственного обеспечения; какие конкретно показатели для каждого отдельного гражданина планируются к достижению; на что может рассчитывать пациент в случае необходимости лекарственной помощи; каким образом будут трансформироваться социальные гарантии». В настоящее время по-прежнему отсутствует толкование понятия «доступность» относительно ЛО, нет и официального толкования понятия «лекарственное обеспечение».

ЛО — это одна из основных социально значимых задач для государства, которое реализует ее через государственные программы «Региональная программа лекарственного обеспечения льготных категорий граждан», в соответствии с постановлением Правительства РФ от 30.04.1994 № 890 «Программа обеспечения необходимыми лекарственными средствами отдельных категорий граждан» (обеспечение необходимыми лекарственными средствами отдельных категорий граждан — ОНЛС, дополнительное лекарственное обеспечение — ДЛО) в соответствии с Федеральным законом от 17.07.1999 № 178-ФЗ, программа «Орфанные лекарственные препараты», возможность реализации которой появилась с принятием ФЗ от 21.11.2011 № 323-ФЗ «Об основах охраны здоровья граждан в Российской Федерации».

Составляющие доступности ЛО населения Российской Федерации можно представить в виде нескольких групп:

1. *Пространственно-временная, инфраструктурная.* В данную группу факторов закладывается наличие достаточного количества аптечных организаций и удобство их расположения для населения.

2. *Ассортиментная.* В данную составляющую закладывается группа факторов: определение потребности, вопросы логистики поставок, организация закупок (в том числе закупок для государственных нужд), рациональное распределение ЛС, наличие системы оценки технологий здравоохранения и др.

3. *Финансовая.* Финансовая составляющая учитывает устойчивое и достаточное финансирование ЛО, разумное ценообразование, налоговые, таможенные сборы и тарифы.

4. *Информационная.* Информационная составляющая учитывает, с одной стороны, информированность врачей о лекарственных препаратах, их свойствах и особенностях, с другой — доступ к врачам для своевременной

выписки ЛС, наличие диагностической базы, рациональность использования и другие вопросы, относящиеся к организации процесса.

Таким образом, доступность — это комплексная составляющая.

Далее более подробно рассмотрены проблемы в каждой из выделенных составляющих, влияющих на доступность ЛС.

Пространственно-временная составляющая доступности ЛС

В настоящее время в Российской Федерации около 100 тыс. аптечных организаций, осуществляющих розничную реализацию лекарственных препаратов: аптеки, аптечные пункты, аптечные киоски, магазины. Часть фельдшерско-акушерских пунктов (ФАП) и офисов общей практики имеют лицензию на осуществление фармацевтической деятельности.

Из представленных данных следует, что в настоящее время отсутствуют проблемы с количеством аптечных организаций. На одну аптечную организацию в среднем приходится 1460 человек. Однако при таком положении вещей аптечная организация не может быть рентабельной. Задача повышения доступности медицинской и лекарственной помощи сельскому населению, проживающему в удаленных и труднодоступных районах, в течение длительного времени остается нерешенной. Вопрос обеспечения сельского населения ЛС поднимался на всех уровнях государственной власти Российской Федерации, но до настоящего времени он остается актуальным для нашей страны.

По данным Росстата, в сельской местности Российской Федерации проживает около 38,2 млн человек (27% общего числа населения). При этом 22% сельских жителей — лица старше трудоспособного возраста. Часто заболевшему человеку из сельской местности приходится проделывать длинный путь до ближайшего крупного населенного пункта, в котором есть аптека. Причины этой проблемы просты и понятны: ни одна коммерческая аптечная сеть не желает работать на селе, поскольку рентабельность этого бизнеса в лучшем случае нулевая, чаще — отрицательная.

Другое проблемное направление — это обеспечение пациентов наркотическими средствами и психотропными веществами. В последнее время этому вопросу уделяется большое внимание, значительно увеличено число мест отпуска наркотических средств и психотропных веществ. Так, по списку 2 (наркотические ЛП) имеют право отпуска около 4000 объектов, по списку 3 (психотропные ЛП) — немногим более 4000 объектов. Наличие достаточного количества производственных аптек и аптек, имеющих право отпуска наркотических средств и психотропных веществ, — это тоже вопросы доступности ЛС, однако от такого обременения руководители аптек или компаний стараются освободиться, а числа функционирующих в настоящее время организаций для России недостаточно.

Финансирование ЛО. Финансирование ЛО в Российской Федерации осуществляется из нескольких источников: бюджеты различных уровней — федеральные и региональные, федеральные и территориальные фонды

ОМС, благотворительные организации, личные средства граждан. Из федерального бюджета финансируются программы ОНЛС и высокочрезвычайных нозологий (ВЗН), календарь прививок, обеспечение противотуберкулезными лекарственными препаратами и препаратами для лечения ВИЧ. Из регионального бюджета финансируется льготное лекарственное обеспечение в соответствии с постановлением Правительства РФ № 890. Фонды ОМС финансируют территориальную программу ОМС и Программу государственных гарантий. Финансирование распределяется примерно следующим образом: средства государства и фондов составляют в среднем около 30%, а 65—70% — это личные средства граждан.

В 2019 г. увеличены расходы на государственную программу по здравоохранению на 506 млрд руб. Из федерального бюджета в 2019 г. выделено дополнительно 70 млрд руб. на лекарственные препараты для лечения онкологических больных. При этом следует отметить, что расходы на лекарства для одного льготника в регионах Российской Федерации различаются более чем в 7 раз. *Ассортиментная составляющая.* Ассортиментная составляющая находится в прямой зависимости от ряда факторов: развития отечественной фармацевтической промышленности и ее обеспеченности фармацевтическими субстанциями, качества определения потребности, организации закупок, разумного ценообразования, рационального распределения, назначения и использования ЛС, наличия системы оценки медицинских технологий, полноты использования перечня жизненно необходимых и важнейших лекарственных препаратов (ЖНВЛП).

В настоящее время основными поставщиками субстанций в Россию являются Китай и Индия. В 2019 г. в Россию поставлено из Китая 299 наименований, или 51,7% натурального объема. Из поставленных 90 наименований — это препараты, входящие в перечень ЖНВЛП. На втором месте по поставкам субстанций находится Индия. Из Индии в Россию в 2019 г. поставлено 234 наименования; 58 позиций за последние 10 лет, кроме Индии, никто в нашу страну не поставлял. На поставки из Индии приходится 26% в натуральном выражении и порядка 11,6% в денежном. Все это в 2020 г. в связи с пандемией вызвало серьезное беспокойство. Еще один очень важный вопрос, который мог бы оказать существенное влияние на развитие отечественной промышленности, — это планирование закупок и производства, перспективное планирование.

В государственный реестр лекарственных средств входит более 20 тыс. наименований ЛС, а с учетом лекарственных форм, дозировок и фасовок — более 35 тыс. наименований. Ассортимент представлен 98 фармакологическими группами, 70% объемов которых приходятся на 4 фармацевтические группы: анальгетики, жаропонижающие,

противовоспалительные (28%), витамины (18%), сердечно-сосудистые средства (13%), антибактериальные препараты, включая антибиотики, сульфаниламидные и противотуберкулезные препараты (12%).

По данным ряда исследователей, несмотря на широкий выбор ЛС, в современных условиях практические врачи ограничиваются назначением незначительного спектра лекарственных препаратов, который не всегда соответствует рекомендациям утвержденных стандартов и клинических рекомендаций. При этом выбор препаратов, как правило, ограничен тем, что есть в стационаре или в ближайшей аптеке. Многие врачи пользуются «излюбленными» препаратами. Так, неврологи в своей амбулаторной практике используют около 80% препаратов, педиатры — около 50%, психиатры — около 47,6%, онкологи — около 48,6%, фтизиатры — около 86%.

Информационная составляющая доступности ЛС. Определенную роль в ЛО играет существующий конфликт интересов между врачами и аптекой. Урегулирование конфликта интересов регламентируется ст. 75 Федерального закона от 21.11.2011 № 323-ФЗ (в редакции от 31.07.2020) «Об основах охраны здоровья граждан в Российской Федерации» (с изменениями и дополнениями, вступившими в силу с 01.09.2020).

Современные аптеки — это в первую очередь коммерческие организации, уделять слишком много времени взаимодействию с больницами для них — непозволительная роскошь. Вместе с тем и врачи в наши дни далеко не всегда готовы отвлекаться от лечения больных ради менее важных в тактическом плане занятий. Однако работа на благо здоровья пациентов все же заставляет медиков и фармацевтов взаимодействовать.

Выводы. Исследование проблем ЛО позволило подтвердить ключевые вопросы, требующие решения: отсутствие действующего управления процессом ЛО и вертикали управления на фармацевтическом рынке в целом, хаотичное развитие аптечной сети.

Анализ и оценка проблем ЛО населения позволили нам сделать выводы о том, что ЛО надо рассматривать как элемент целостной системы здравоохранения. Исследование позволяет сформулировать предложения по совершенствованию существующей системы ЛО.

Список литературы

1. Приказ Минздрава Российской Федерации от 13.02.2013 № 66 «Об утверждении Стратегии лекарственного обеспечения населения Российской Федерации на период до 2025 года и плана ее реализации». Режим доступа: https://onls.pro/upload_files/Federal/PrikazMZRF_66.pdf
2. Тельнова Е.А., Крупнова И.В. Лекарственное обеспечение граждан, проживающих в сельской местности и труднодоступных населенных пунктах. – Вестник Росздравнадзора. – 2012. – № 1. – С. 15–25.

Режим доступа: <https://remedium.ru/health/lekarstvennoe-obespechenie-grazhdan-prozhivayushchikh-v-selskoy-mestnosti-i-trudnodostupnykh-naselen/3.file:///B:/analiz-i-otsenka-problem-lekarstvennogo-obespecheniya-rossiyskoy-federatsii-v-sovremennyh-usloviyah.pdf>

ГАБИДУЛЛИНА В.Р., ЦИЦИАШВИЛИ А.М., ЗАБОРОВСКИЙ А.В.
**РАЗВИТИЕ АНТИБИОТИКОРЕЗИСТЕНТНОСТИ
ПАРОДОНТОПАТОГЕННЫХ МИКРООРГАНИЗМОВ ПОЛОСТИ
РТА У ПАЦИЕНТОВ ПОСЛЕ ДЕНТАЛЬНОЙ ИМПЛАНТАЦИИ
ПРИ НАЗНАЧЕНИИ ОДНОКРАТНОЙ И ПРОЛОНГИРОВАННОЙ
СХЕМ ПРИЕМА ЗАЩИЩЕННЫХ ПЕНИЦИЛЛИНОВ**

*Московский государственный медико-стоматологический университет
им. А.И. Евдокимова, г. Москва
e-mail: vgab8136@gmail.com*

GABIDULLINA V.R., TSITSIASHVILI A. M. , ZABOROVSKY A. V.
**THE DEVELOPMENT OF ANTIBIOTIC RESISTANCE OF
PERIODONTOPATHOGENIC MICROORGANISMS OF THE ORAL
CAVITY IN PATIENTS AFTER DENTAL IMPLANTATION WHEN
PRESCRIBING SINGLE AND PROLONGED REGIMENS OF
PROTECTED PENICILLINS**

*¹Moscow State University of Medicine and Dentistry, Moscow
e-mail: vgab8136@gmail.com*

Аннотация: Важным фактором, влияющим на выбор схемы антибиотика при дентальной имплантации является принцип «не навреди» и снижение риска развития антибиотикорезистентности. Была поставлена цель сравнения антибиотикорезистентности у пациентов после имплантации при назначении разных схем антибиотика. Было получено, что однократная доза антибиотика не вызывает формирования резистентных штаммов.

Ключевые слова: дентальная имплантация, антибактериальная профилактика, антибактериальная резистентность, антибиотик, схема антибиотика

Abstract: An important factor influencing the choice of an antibiotic regimen for implantation is the “do no harm” principle and minimizing the risk of developing antibiotic resistance. The task was to compare antibacterial resistance in patients after implantation when prescribing different antibiotic regimens. It was found that a single dose of antibiotic does not cause the formation of resistant strains.

Материалы III Международной научно-практической конференции «Актуальные проблемы и перспективы фармацевтической науки и практики»

Keywords: dental implantation, antibacterial prophylaxis, antibacterial resistance, antibiotics, antibiotic regimen.

Актуальность. Один из актуальных вопросов схем антибиотикопрофилактики в дентальной имплантации – формирование антибиотикорезистентности микроорганизмов полости рта. Полость рта человека содержит более 700 разновидностей микроорганизмов [2]. Высокое содержание и разнообразие микробов является серьезным препятствием на пути создания стерильных условий при выполнении стоматологических манипуляций в полости рта. В связи с необходимостью профилактики возникновения гнойно-воспалительных осложнений в практику хирургической стоматологии, кроме мер асептики и антисептики, введены также различные схемы назначения антибактериальных препаратов [5]. Схемы антимикробной химиопрофилактики и лечения частично освещены и решены в иных хирургических направлениях, где инвазивность оперативного вмешательства выше, чем при амбулаторных хирургических операциях в полости рта [3]. Прямой перенос данных схем использования антибиотиков в практику хирургической стоматологии затруднен, поскольку существуют особенности, присущие полости рта: высокое разнообразие резидентной флоры, невозможность создания стерильных условий, неизбежное попадание слюны в операционную рану, использование инородных материалов [1, 4]. Неоднозначность выводов исследований относительно рекомендованного режима использования антибиотика в послеоперационном периоде приводит к тому, что зачастую стоматологи назначают препарат, исходя из своих личных предпочтений. В то же время сейчас становится все более актуальна тема развития постантибиотиковой эры из-за бесконтрольного назначения антибактериальных препаратов, что и побудило к проведению данной работы.

Цель исследования. Сравнение динамики роста антибиотикорезистентности пародонтопатогенной микрофлоры полости рта к амоксицилину/клавуланату у пациентов после дентальной имплантации, которым был назначен курс однократного приема и пролонгированного приема защищенных пенициллинов.

Материалы и методы исследования. В исследование было включено 22 пациента в возрасте от 20 до 75 лет, которые были разделены на 2 группы. 1-ая группа включала в себя 8 пациентов (1 мужчина, 7 женщин). 2-ая группа 14 человек (6 мужчин, 8 женщин). У всех пациентов до обработки полости рта антисептическим раствором хлоргексидина 0.05%, до приема антибиотика, за 30 минут до операции проводилось взятие мазка зондом-тампоном с поверхности слизистой оболочки полости рта, затем все пациенты принимали Амоксициллин/Клавуланат 875+125 мг в

таблетированной форме. После операции дентальной имплантации, которую проводили по стандартному протоколу, 1-ой группе пациентов было назначено принимать обезболивающий препарат из группы нестероидных противовоспалительных препаратов по потребности, обрабатывать полость рта раствором хлоргексидина 0.05% 3 раза в день в течение 14 дней. 2-ой группе пациентов, помимо рекомендаций, данных 1-ой группе, был назначен антибиотик группы защищенных пенициллинов – амоксициллин + клавулановая кислота 500+125 мг 2 раза в день – 7 дней. Через 3 месяца, после дентальной имплантации, все пациенты были приглашены на этап установки формирователя десны. У всех пациентов повторно был получен мазок специальным зондом-тампоном до обработки полости рта раствором хлоргексидина 0.05%. Полученные на каждом этапе мазки помещались в стерильную транспортную среду и доставлялись в микробиологическую лабораторию в день их взятия с целью определения антибиотикорезистентности к используемому препарату – амоксициллину. Из всего многообразия микроорганизмов полости рта для исследования проводилась оценка резистентности спектра наиболее часто встречающихся представителей пародонтопатогенной микрофлоры полости рта: *V. forsythus*, *P. intermedia*, *P. gingivalis*, *F. nucleatum*, *A. actinomycetemcomitans*. Оценка чувствительности микроорганизмов к антибиотику амоксициллину отмечается символами SS -> S -> SR -> R -> RR, где самому левому значению SS (sensitive) соответствует высокая чувствительность микроорганизма к препарату, а R (resistant) – высокая резистентность.

Результаты исследования и их обсуждение. Отмечается высокая чувствительность пародонтопатогенных микроорганизмов полости рта к амоксициллину. В 1-ой группе пациентов на этапе установки имплантата у 2 пациентов (25%) отмечалась высокая чувствительность микроорганизмов (SS). У 5 пациентов (62.5%) - умеренная чувствительность (S). У одного пациента (12.5%) отмечались колонии чувствительных и резистентных микроорганизмов (SR). Через 3 месяца у всех пациентов были получены аналогичные результаты. Во 2-ой группе пациентов на этапе установки имплантатов у 8 пациентов (57.1%) отмечалась высокая чувствительность микроорганизмов (SS). У 6 пациентов (42.9%) – умеренная чувствительность (S). Через 3 месяца у 4 пациентов (28.6%) осталась высокая чувствительность микроорганизмов (SS). У 8 пациентов (57.1%) – умеренная чувствительность (S). Еще у 2 пациентов (14.3%) было отмечено появление резистентности (SR). Во 2-ой группе пациентов на этапе установки имплантатов у 8 пациентов (57.1%) отмечалась высокая чувствительность микроорганизмов к антибиотику (SS). У 6 пациентов (42.9%) – умеренная чувствительность (S). Через 3 месяца у 4 пациентов (28.6%) осталась высокая чувствительность микроорганизмов (SS). У 8 пациентов (57.1%) – умеренная чувствительность (S). Еще у 2 пациентов

(14.3%) было отмечено появление резистентности (SR). Представленные результаты позволяют предполагать, что однократная профилактическая доза антибиотика, используемая в профилактических целях, несмотря на несоответствие полному терапевтическому курсу, не вызывает формирования резистентных штаммов микроорганизмов. Наоборот, пролонгированная схема приема в условиях условно-чистых операций, которой является дентальная имплантация, может иметь большие шансы на формирование в результате приема препарата резистентных микроорганизмов. Полученные данные могут быть расширены и в последующем полезны при планировании схем приема антибиотиков у пациентов, которым планируется длительная комплексная стоматологическая реабилитация с несколькими хирургическими этапами, требующими назначения антибиотиков. При условии адекватной подготовки пациента с пародонтологической, терапевтической точки зрения, у соматически здоровых пациентов, которые способны поддерживать достаточный уровень индивидуальной гигиены полости рта, может быть уместным отдавать предпочтение назначению однократной профилактической дозы антибиотика в силу минимального количества факторов риска у них. Иным пациентам с целью снижения риска развития воспалительных осложнений в послеоперационной области целесообразно назначать пролонгированную схему приема препарата. При наличии длительных интервалов между операциями ни одна не приводит к формированию резистентных штаммов.

Выводы. Назначение однократной профилактической дозы амоксициллина/клавуланата 875+125 мг в таблетированной форме у соматически здоровых пациентов при дентальной имплантации не приводит к развитию антибиотикорезистентности пародонтопатогенов к этапу установки формирователя десны, в отличие от пролонгированной схемы назначения амоксициллина/клавуланата у обозначенной группы пациентов.

Список литературы

1. Adeyemo WL, Ladeinde AL, Ogunlewe MO. Clinical evaluation of post-extraction site wound healing. *J Contemp Dent Pract.* 2006 Jul 1;7(3):40-9. PMID: 16820806.
2. Belibasakis GN, Bostanci N, Marsh PD, Zaura E. Applications of the oral microbiome in personalized dentistry. *Arch Oral Biol.* 2019 Aug;104:7-12. doi: 10.1016/j.archoralbio.2019.05.023. Epub 2019 May 24. PMID: 31153099.
3. Coll PP, Lindsay A, Meng J, Gopalakrishna A, Raghavendra S, Bysani P, O'Brien D. The Prevention of Infections in Older Adults: Oral Health. *J Am Geriatr Soc.* 2020 Feb;68(2):411-416. doi: 10.1111/jgs.16154. Epub 2019 Sep 3. PMID: 31479533.
4. Friedlander AH, Chang TI, Hazboun RC, Aghazadehsanai N. Critique of American Dental Association Council on Scientific Affairs Clinical

Practice Guideline: Use of Prophylactic Antibiotics Before Dental Procedures in Patients with Prosthetic Joints. J Oral Maxillofac Surg. 2015;73:1242–3

5. Ogle OE (2017) Odontogenic Infections. Dental Clinics of North America 61: 235-252.

КОБЗАРЬ И.А., СТРЕЛЬЧЕНКО Н.Н.
**ОПРЕДЕЛЕНИЕ ФИЗИКО-ХИМИЧЕСКИХ СВОЙСТВ ВАТЫ,
КОТОРАЯ ПРЕДСТАВЛЕНА НА ФАРМАЦЕВТИЧЕСКОМ РЫНКЕ
ЛУГАНСКОЙ НАРОДНОЙ РЕСПУБЛИКИ**

*Федеральное государственное бюджетное образовательное учреждение
высшего образования «Луганский государственный медицинский
университет имени Святителя Луки» Министерства здравоохранения
Российской Федерации, Луганск
e-mail: vrale11@mail.ru*

KOBZAR I.A., STRELCHENKO N.N.
**DETERMINATION OF THE PHYSICO-CHEMICAL PROPERTIES OF
COTTON WOOL, WHICH IS PRESENTED ON THE
PHARMACEUTICAL MARKET OF THE LUHANSK PEOPLE'S
REPUBLIC**

*Federal State Budgetary Educational Institution of Higher Education "Lugansk
State Medical University named after St. Luke" of the Ministry of Health of the
Russian Federation, Lugansk
e-mail: vrale11@mail.ru*

Аннотация: Медицинская вата относится к категории самого востребованного расходного материала, который применяют в медицине и фармации. В связи с этим исследование химических и физических свойств современных перевязочных материалов является актуальной темой не только для медицинских работников, но и для обычных людей.

Ключевые слова: перевязочные материалы, медицинская вата, изучение физико-химических свойств, короткие волокна, влажность, поглощающая способность, капиллярность, запах, реакция водной вытяжки, ГОСТ.

Abstract: Medical cotton wool belongs to the category of the most demanded consumable material, which is used in medicine and pharmacy. In this regard, the study of chemical and physical properties of modern dressings is an urgent topic not only for medical professionals, but also for ordinary people.

Keywords: dressings, medical cotton wool, study of physico-chemical properties, short fibers, humidity, absorbency, capillarity, odor, reaction of water extract, GOST.

Цель исследования. Сегодня из-за своей распространенности и тяжести последствий травматизм остается одной из главных социально-экономических проблем в современном мире. Он всегда сопровождается множеством человеческих травм, ранений и кровотечений, которые при бездействии могут привести к смерти человека. Для оказания первой помощи и сохранения жизни применяют перевязочные материалы. Медицинская вата имеет множество свойств, применяется во многих отраслях, а также в повседневной жизни. К примеру, она пользуется большим спросом в военной отрасли, что является очень актуальным в связи с проведением специальной военной операции (СВО). Её используют для проведения хирургических операций, обработки ран, фиксации конечностей, перевязок и многих других лечебно-профилактических манипуляций. Нашим объектом исследования стала вата различных производителей. Изучили ассортимент перевязочных средств, в частности, ваты, представленной на фармацевтическом рынке Луганской Народной Республики. Определили физико-химические свойства ваты выбранных образцов и изучили физические (содержание коротких волокон; влажность; поглощающая способность; капиллярность), химические (реакция водной вытяжки) и органолептические (запах ваты) свойства ваты. Выявить соответствие образцов ваты государственным стандартам перевязочных материалов.

Материалы и методы исследования. Эксперимент и учёт полученных результатов проводились на основании методик и стандартов, которые описаны в ГОСТ 5556–2022. Для проведения исследования было выбрано 4 образца ваты, наиболее популярной среди покупателей. Все образцы для исследования были приобретены в массе 100грамм. В качестве образца №1 выделили вату медицинская гигроскопическая хирургическая нестерильная, производитель: АО “Фабрика Ника” Россия, г. Санкт-Петербург, средняя стоимость - 40,54 руб. Образец №2 был представлен ватой медицинской гигроскопической хирургической хлопковой нестерильной, производитель: ООО “Емельянь Савостинь” Рязанская область, с. Екшур ее стоимость составила 72,52 руб. Вата медицинская гигроскопическая хирургическая стерильная хлопковая, производитель: АОЗТ “Фабрика Ника” Россия, г. Санкт-Петербург, стоимостью 39,19 рублей была выбрана образцом №3. Вата медицинская гигроскопическая гигиеническая нестерильная хлопковая, производитель: АО “Фабрика Ника” Россия, г. Санкт-Петербург, цена которой составляет 106,25 рублей представлена образцом №4. В качестве вспомогательного оборудования использовали черный матовый фон, бриллиантовый зеленый, стаканы

стеклянные, капилляр диаметром 11,8мм, электронные весы, сушильный шкаф, обеспечивающий температурный режим 100-105°С и др.

Результаты исследования и их обсуждение. Во время распаковки всех образцов ваты проводился органолептический контроль. Во всех образцах вата белого цвета, без запаха, посторонние включения отсутствуют. При определении содержания коротких волокон и хлопковой пыли с каждого образца взяли одинаковые массы и скатали в шарики с последующим разделением на мелкие волокна. С помощью чёрного матового фона визуально зафиксировали образовавшиеся хлопковую пыль и короткие волокна. Содержание хлопковой пыли и коротких волокон во всех образцах не превышают норму.

Для определения влажности ваты мы взвесили на электронных весах взвесили вату всех образцов навеской по 3 грамма, затем поместили их в тигли и высушивали в сушильном шкафу, обеспечивающем температурный режим 102°С в течение 1 часа. По истечению времени взвесили исследуемые образцы. Фактическую влажность в процентах определяли по формуле:

$U_{ф'} = (1 - Z2/Z1) \times 100$; где $Z1$ - масса ваты до высушивания, $Z2$ - масса ваты после высушивания. Выбранные нами образцы соответствуют требованию ГОСТ 5556–2022, поскольку их влажность менее 8%.

Поглощающую способность ваты определяли следующим образом: на дне закрытых воронок равномерно распределили 4 одинаковых навески ваты. Залили их водой объёмом 100 мл и оставили на 10 минут, по истечению времени слили воду с воронок и пинцетом перевернули вату на другую сторону. Оставили ещё на 10 минут, после этого взвесили вату и нашли массу поглощённой воды каждым образцом по формуле: $K = (n \times 100) / m (100 - W_{ф})$, где n - масса поглощенной воды образцом ваты, в граммах; m - масса образца, в граммах; $W_{ф}$ - фактическая влажность ваты %. Согласно ГОСТ 5556–2022 поглощающая способность ваты должна быть не менее 20г/г, все образцы показали соответствующий результат.

Капиллярность ваты мы измеряли по скорости поднятия раствора зелёнки в стеклянной трубке. Для этого мы использовали шприцы на 5 мл, которые плотно забивали одинаковой массой ваты каждого образца. Поместив образцы в раствор зелёнки, засекали 10 минут от момента, когда нулевое деление окрасилось в цвет раствора. По истечению времени с помощью линейки зафиксировали наивысшую точку, где вата окрасилась и считали данный показатель высотой поднятия жидкости каждого образца ваты. Капиллярность (в мм) находили с помощью формулы: $h \times 1,68/10$. Полученные показатели у всех образцов более 7,7мм/мин, что соответствует требованиям ГОСТ 5556–2022.

Последним исследованием было определение реакции водной вытяжки. Вату кипятили в 250 мл дистиллированной воды в течение 15 минут, после чего охлаждали и фильтровали. Реакцию среды определяли с помощью универсальной индикаторной бумаги. У всех образцов реакция водной вытяжки оказалась нейтральная и соответствует требованиям.

Выводы. В ходе проделанной работы был выполнен весь перечень поставленных задач. Опираясь на всё вышесказанное, можно сделать вывод о том, что: виды медицинской ваты и их ассортимент, представленный на фармацевтическом рынке, является достаточным. Изученные физико-химические свойства (содержание коротких волокон; влажность; поглощающая способность; капиллярность; реакция водной вытяжки; запах) играют основную роль для использования ваты как перевязочного материала. Все исследуемые образцы соответствуют государственным стандартам и рекомендованы для широкого применения в медицинской практике в качестве перевязочных средств.

Список литературы

1. Дремова Н.Б. Медицинское и фармацевтическое товароведение. - Курск: КГМУ, 2005. - 520. [Dremova N.B. Medical and pharmaceutical commodity science. - Kursk: KSMU, 2005. - 520 (in Russ.)]
2. Мясников С.П., Осанова Т.Н. Пособие по физике: Учеб. Пособие для подгот. Отделений вузов. – 5-е изд., испр. И перераб. – М.: Высш.шк. 1988. – 399. [Myasnikov S.P., Osanova T.N. Handbook of Physics: Textbook. A manual for training. Departments of universities. – 5th ed., ispr. And pererab. – М.: Higher School. 1988. – 399. (in Russ.)]
3. Дремова Н.Б. Развитие методологии маркетинговых исследований в фармации. Человек и его здоровье. 2005;1: 62-76. [Dremova N.B. Development of marketing research methodology in pharmacy. Man and his health. 2005;1: 62-76. (in Russ.)]
4. <https://docs.cntd.ru/document/1200194363>
5. <http://www.pharmvestnik.ru/text/22319.html>

МАЛЬЦЕВ М.Д., МАЛЬЦЕВА Е.М., БОЛЬШАКОВ В.В.
**АНАЛИЗ АССОРТИМЕНТА БАД, СОДЕРЖАЩИХ ОМЕГА-3
ПОЛИНЕНАСЫЩЕННЫЕ ЖИРНЫЕ КИСЛОТЫ, НА
ФАРМАЦЕВТИЧЕСКОМ РЫНКЕ КЕМЕРОВСКОЙ ОБЛАСТИ-
КУЗБАССА**

*Кемеровский государственный медицинский университет, г. Кемерово
e-mail: mikhail-malzev21@yandex.ru*

MALTSEV M. D., MALTSEVA E. M., BOLSHAKOV V. V.
**ANALYSIS OF THE RANGE OF BAA CONTAINING OMEGA-3
POLYUNSATURATED FATTY ACIDS ON THE PHARMACEUTICAL
MARKET OF THE KEMEROVO REGION-KUZBASS**

*Kemerovo State Medical University, Kemerovo
e-mail: mikhail-malzev21@yandex.ru*

Аннотация: В настоящем исследовании дана оценка насыщенности регионального фармацевтического рынка Кемеровской области-Кузбасса биологически активными добавками к пище на основе рыбьего жира, стандартизованного по содержанию длинноцепочечных ω -3 полиненасыщенных жирных кислот (ω -3 ДЦПНЖК) – эйкозопентаеновой (ЭПК) и докозагексаеновой (ДГК). В офлайн и онлайн аптеках региона представлены высококачественные БАДы зарубежных (33 %) и российских (67 %) производителей для детей и взрослых. 55,71% торговых наименований БАД рыбьего жира стандартизованы по содержанию ЭПК и ДГК, что позволяет точно дозировать суточный уровень потребления эссенциальных ω -3 ДЦПНЖК. В результате исследования разработан макроконтур ассортимента БАД рыбьего жира на региональном рынке Кемеровской области - Кузбасса, который свидетельствует широком ассортименте препаратов для восполнения дефицита длинноцепочечных ω -3 полиненасыщенных жирных кислот.

Ключевые слова. Длинноцепочечные ω -3 полиненасыщенные жирные кислоты, эйкозопентаеновая кислота, докозагексаеновая кислота, биологически активные добавки, рыбий жир.

Abstract: This study assesses the saturation of the regional pharmaceutical market of the Kemerovo region-Kuzbass with biologically active food supplements based on fish oil, standardized by the content of long-chain ω -3 polyunsaturated fatty acids (ω -3 LCPUFA) - eicosapentaenoic (EPA) and docosahexaenoic (DHA). Offline and online pharmacies in the region offer high-quality dietary supplements from foreign (33%) and Russian (67%) manufacturers for children and adults. 55.71% of trade names of dietary supplements of fish oil are standardized for the content of EPA and DHA, which allows you to accurately dose the daily level of consumption of essential ω -3

LCPUFAs. As a result of the study, a macrocontour of the assortment of fish oil dietary supplements was developed on the regional market of the Kemerovo region - Kuzbass, which indicates a wide range of drugs to compensate for the deficiency of long-chain ω -3 polyunsaturated fatty acids.

Keywords. Long chain ω -3 polyunsaturated fatty acids, eicosapentaenoic acid, docosahexaenoic acid, dietary supplements, fish oil.

Одними из самых продаваемых в мире биологически активных добавок к пище являются средства, содержащие длинноцепочечные ω -3 полиненасыщенные жирные кислоты (ω -3 ДЦПНЖК), получаемые из морепродуктов. Более 150 лет препараты рыбьего жира, содержащие эйкозопентаеновую (ЭПК, EPA) и докозагексаеновую кислоты (ДГК, DHA) используются во всем мире с лечебными и профилактическими целями. Основное действие эссенциальных ω -3 ДЦПНЖК связано с влиянием на физиологическое состояние клеток. Включаясь в фосфолипиды ω -3 ДЦПНЖК, влияют на текучесть, гибкость, проницаемость клеточных мембран, а также на активность мембран-связанных ферментов.

Согласно Методическим рекомендациям МР 2.3.1.1915-04 «Рекомендуемые уровни потребления пищевых и биологически активных веществ» уровень потребления ω -3 ДЦПНЖК составляет от 1 до 3 г в сутки. Основным источником являются жиры морских рыб. Однако Россия географически относится к регионам с низким уровнем потребления ω -3 ДЦПНЖК за счет пониженного потребления жирной морской рыбы, поэтому дефицит потребления ω -3 ДЦПНЖК у большей части как детского, так и взрослого населения России является важным фактором развития хронических неинфекционных заболеваний [1].

Проблема усугубляется тем, что современное вестернизированное питание человека негативно сказывается на соотношении ω -3 ДЦПНЖК и ω -6 ДЦПНЖК (в частности, линолевой кислоты) в составе клеточных мембран, приводя к значительному увеличению последних в десятки раз и провоцируя выработку провоспалительных факторов – тромбоксана 2, лейкотриена 4, простагландина 2 и др. Развивающееся системное воспаление влияет на развитие патологий сердечно-сосудистой системы, эндокринных, аутоиммунных и онкологических заболеваний [2,3,4]. Используя популяционную когорту из Британского биобанка (более 117000 человек) Zhang Yet al. [5] установили, что все ДЦПНЖК, включая как ω -3, так и ω -6 в плазме были обратно пропорционально связаны со смертностью от всех причин, рака и сердечно-сосудистых заболеваний, причем ω -3 оказывали более сильное воздействие.

Для восполнения дефицита ω -3 ДЦПНЖК необходимо включение в рацион жирной рыбы (лосось, сайра, скумбрия корюшка и др) или регулярный прием БАД, содержащих рыбий жир, стандартизированный по содержанию ЭПК и ДГК.

Целью исследования является анализ ассортимента биологически активных добавок к пище на основе рыбьего жира на региональном рынке Кемеровской области-Кузбасса.

Материалы и методы исследования. Для проведения исследования использованы

сведения о региональном рынке, которые получены по результатам изучения прайс-листов крупных фирм-дистрибьюторов, работающих на рынке Кемеровской области – ЗАО НПК «Катрен», «ФК Пульс», ЗАО ЦВ «ПРОТЕК», «ФК Гранд Капитал», ООО «Фармкомплект». Был изучен ассортимент онлайн-аптек – «Е-аптека» и «Аптека. Ru» (дата обращения апрель 2023 г).

В работе использованы следующие методы – контент-анализ, логический, структурный, сравнительный и графический анализ, с использованием пакета программ Microsoft Office Excel 2010.

Результаты исследования и их обсуждение. Проведенный контент-анализ позволил сформировать информационный массив ассортимента БАД на основе рыбьего жира на региональном рынке, с учетом производителя, источника получения, состава, формы выпуска. Анализ ассортимента БАД с учетом производителя показал, что на региональном рынке присутствуют продукция, содержащая ω -3 ДЦПНЖК, 36 производителей, из которых 33% составляют зарубежные и 67% отечественные. 47 (67,75%) торговых наименований (ТН), выявленных на региональном рынке, производятся в России и 23 (32,25%) – зарубежного производства.

98% производителей БАД на основе рыбьего жира используют высококачественное сырьё производства России, Швейцарии, Норвегии, Исландии, Перу, Германии и др. Для производства рыбьего жира используются рыба с коротким жизненным циклом семейства анчоусовых, ставридовых, песчанковых, корюшковых и др., а также жир рыб холодных арктических вод и норвежского лосося. Компания «Эвалар» использует для производства БАД «Бэби формула Мишки Омега-3» ω -3 ДЦПНЖК из микроводорослей SOLUTEX (Испания). 7% отечественных производителей не заявляют источник происхождения сырья, ссылаясь на ГОСТ 8714–2014. Межгосударственный стандарт. «Жир пищевой из рыбы и водных млекопитающих Технические условия». Только два продукта произведены на основе жира печени трески – ООО «РеалКапс» (Россия) и Solgar Inc(США).

88,57 % ТН рыбьего жира представлены в удобной для приёма форме – желатиновые капсулы с дозировкой от 200 до 1950 мг, что позволяет подобрать БАДы для различных возрастных групп. Рыбий жир во флаконах (11% от ТН) удобен для использования для детей младше 2 лет. «KidЗумная омега» (ООО ВТФ, Россия) представлен в форме сиропа, расфасованного в саше по 10 мл.

Только 39 ТН (55,71%) имеют данные по содержанию ЭПК/ ДГК в составе рыбьего жира, что позволяет точно дозировать суточный уровень потребления эссенциальных ω -3 ДЦПНЖК.

Выводы. В результате исследования разработан макроконтур ассортимента БАД рыбьего жира на региональном рынке Кемеровской области - Кузбасса, который свидетельствует широком ассортименте препаратов для восполнения дефицита длинноцепочечных ω -3 полиненасыщенных жирных кислот.

Список литературы

1. Роль омега-3 ненасыщенных кислот в профилактике и лечении различных заболеваний (часть 1)/ Е. Ю. Плотникова, М. Н. Синькова, Л. К. Исаков. – Лечащий врач. – 2018, № 7 – С. 63-67
2. Гладышев М. И. Незаменимые полиненасыщенные жирные кислоты и их пищевые источники для человека // Журнал СФУ. Биология. 2012. №4. URL: <https://cyberleninka.ru/article/n/nezamenimye-polinenasyschennye-zhirnye-kisloty-i-ih-pischevye-istochniki-dlya-cheloveka> (дата обращения: 03.05.2023).
3. Ших Е.В., Махова А.А. Длинноцепочечные полиненасыщенные жирные кислоты семейства ω -3 в профилактике заболеваний у взрослых и детей: взгляд клинического фармаколога // Вопр. питания. 2019. Т. 88, № 2. С. 91–100. doi: 10.24411/0042-8833-2019-10022.
4. Chen G.C., Yang J., Eggersdorfer M, Zhang W, Qin LQ. N-3 long-chain polyunsaturated fatty acids and risk of all-cause mortality among general populations: a meta-analysis. Sci Rep. 2016 Jun 16;6:28165. doi: 10.1038/srep28165. PMID: 27306836
5. Zhang Y, Sun Y, Brenna JT, Shen Y, Ye K. Higher ratio of plasma omega-6/omega-3 fatty acids is associated with greater risk of all-cause, cancer, and cardiovascular mortality: a population-based cohort study in UK Biobank. medRxiv [Preprint]. 2023 Jan 18:2023.01.16.23284631. doi: 10.1101/2023.01.16.23284631. PMID: 36711941; PMCID: PMC9882493.

СОКОЛОВА А.С., ЮФЕРОВА Е.А.
**АНАЛИЗ ФАРМАКОЭКОНОМИЧЕСКИХ ЗАТРАТ НА
СОЦИАЛЬНО ЗНАЧИМЫЕ ГРУППЫ ЗАБОЛЕВАНИЙ В РОССИИ**

*Кафедра факультетской терапии, профессиональных болезней и
эндокринологии*

*Кемеровского государственного медицинского университета, г. Кемерово
e-mail: elzbyfr@yandex.ru*

SOKOLOVA A.S., YUFEROVA E.A.
**ANALYSIS OF PHARMACOECONOMICAL COSTS FOR SOCIALLY
SIGNIFICANT GROUPS OF DISEASES IN RUSSIA**

*Department of Faculty Therapy, Occupational Diseases and Endocrinology
Kemerovo State Medical University, Kemerovo
e-mail: elzbyfr@yandex.ru*

Аннотация: Проведен анализ фармакоэкономических затрат здравоохранения России по группам заболеваний, которые характеризуются неуклонным приростом выявления с 2005 по 2021 года. В 2019 году зарегистрированы максимальные цифры, что связано с введением Национального проекта РФ «Здравоохранение».

Ключевые слова: здравоохранение, фармакоэкономические затраты, сердечно-сосудистые заболевания, онкология.

Abstract: The analysis of pharmacoeconomical costs of Healthcare in Russia by groups of diseases characterized by a steady increase in detection from 2005 to 2021 was carried out. In 2019, the maximum figures were registered, which is due to the introduction of the National Project of the Russian Federation “Healthcare”, in which programs were introduced to improve the detection, treatment and prevention of socially significant diseases.

Keywords: healthcare, pharmacoeconomical costs, cardiovascular diseases, oncology.

Хорошее здоровье населения является условием, необходимым для устойчивого экономического роста. Учитывая разнообразие факторов, влияющих на формирование общественного здоровья, и его значимость как одного из важнейших ресурсов, следует считать, что здоровье — это показатель качества жизни и объективный критерий оценки успешности проводимых политических, социальных и экономических реформ. Этим объясняется исключительная важность государственной политики в области охраны здоровья населения страны.

В настоящее время в развитых странах мира финансирование здравоохранения играет важную роль в выявляемости и лечении различных

заболеваний. По представленному Всемирной организации здравоохранения (ВОЗ) рейтингу стран мира по уровню расходов на здравоохранение Global Health Expenditure 2020 лидирующие позиции занимает США - 21% от общего бюджета страны, Афганистан 15%, Германия 14%, Япония и Армения по 13%, Украина, Узбекистан и Россия 9%, 8% и 7% соответственно.

В России с 1 января 2019 году была начата реализация Национального проекта «Здравоохранение», бюджет которого составил 1 725 800 000 000 руб. В структуру финансирования данного проекта выделены средства на борьбу со следующими группами заболеваний: онкологические заболевания – 969 млрд рублей, что составило 56 % от выделенного финансирования; сердечно-сосудистые заболевания – 75,2 млрд рублей (4,3%) и на развитие сети национальных медицинских исследовательских центров – 63,9 млрд рублей (3,6 %) и на ряд других направлений здравоохранения, в частности – создание единого цифрового контура в здравоохранении, развитие системы оказания первичной медико-санитарной помощи, развитие детского здравоохранения и т.д. [1].

Основными целями проекта стали: ликвидация кадрового дефицита в организациях, которые оказывают первичную медико-санитарную помощь, обеспечение охвата всех граждан профосмотрами не реже одного раза в год и повышение доступности и качества первичной медпомощи, в том числе в отдалённых местностях.

Национальный проект РФ «Здравоохранение» включает в себя 9 целевых показателей. Среди основных: снижение смертности от болезней системы кровообращения с 565 случаев на 100 тысяч населения в 2018 году до 450, то есть снижение показателей на 20% в 2024 году; снижение смертности от новообразований, в том числе от злокачественных с 199,9 случая на 100 тысяч населения до 185, что соответствует снижению числа на 7,5% в 2024 году; охват всех граждан профилактическими медицинскими осмотрами с 39,7% в 2018 году до 70% в 2024 году [1].

В рамках проекта РФ «Здравоохранение» планируется завершить формирование сети национальных медицинских исследовательских центров. К 2024 году она должна насчитывать не менее 27 центров. Во всех регионах планируется образовать сеть центров амбулаторной онкологической помощи, обеспечивающих своевременность и комфортность прохождения диагностических процедур. Создать федеральные центры протонной терапии (для онкобольных). Обеспечить гражданам в личном кабинете «Моё здоровье» на едином портале госуслуг доступ к записи на прием к врачу, получению сведений об оказанных мед услугах и электронным медицинским документам (к концу 2024 года) [2].

Цель исследования - анализ фармакоэкономических затрат на социально значимые группы заболеваний

Материалы и методы исследования. Статистика выявляемости заболеваний и фармакоэкономических затрат здравоохранения

Результаты и их обсуждение. В процессе работы мы выделили сахарный диабет, злокачественные новообразования и болезни характеризующимися повышенным кровяным давлением, поскольку, в первую очередь мы увидели неуклонный прирост впервые выявляемых состояний, в частности оценивая показатели с 2005 по 2021 годы, частота выявления СД составила от 250 тыс человек до 346 тыс человек, в расчете на 100 000 от 175 тыс человек до 237 тыс человек, следовательно в общем увеличилось в 1,4 раза, а при расчете на 100 тысяч в 1,3 раза; частота выявления болезней, характеризующихся повышением кровяного давления составила от 773 тыс человек до 1447 тыс человек, в расчете на 100 000 от 543 тыс человек до 992 тыс человек, следовательно в общем увеличилось в 1,8 раз, а на 100 тысяч человек в 1,8 раз; частота выявления злокачественных новообразований составила от 443 тыс человек до 491 тыс человек, в расчете на 100 000 от 311 тыс человек до 337 тыс человек, следовательно в общем и на 100 000 населения увеличилось в 1,1 раз [3].

Проанализировав данные по заболеваниям, связанным с сердечно-сосудистой системой, можно выявить резкий скачок выявления больных в 2019 году. В этот год в рамках национального проекта “Здравоохранение” был инициирован федеральный проект «Борьба с сердечно-сосудистыми заболеваниями». Именно благодаря этому проекту заметен резкий спад в 2020 году, поскольку помимо уклона на лечение, в данном проекте с 2019 года реализуются мероприятия по профилактике развития сердечно-сосудистых заболеваний и сердечно-сосудистых осложнений у пациентов высокого риска [4].

Аналогичная ситуация прослеживается при заболеваниях, связанных со злокачественными новообразованиями, в частности отмечается значимое увеличение в 2019 году по выявляемости. Учитывая то, что с 2005 по 2018 год выявляемость данного заболевания плавно росла, именно после 2019 года и осуществления проекта «Борьба с онкологическими заболеваниями» в рамках Национального проекта РФ “Здравоохранение”, мы получили спад данной категории заболевания [5].

Выводы. По полученным нами данным, можно сделать вывод о том, что затраты на здравоохранение в России не являются эталонными и составляют лишь небольшую часть от общих затрат страны, но от этих затрат зависит уровень выявляемости, профилактики и терапии социально-значимых заболеваний.

Проект “Здравоохранение”, который был введен в 2019, дает нам возможность наглядно увидеть статистические изменения и сделать вывод о необходимости реализации данных программ и эффективности затраченных на это бюджетных средств страны.

Список литературы

1. Национальный проект "Здравоохранение" // Новости в России и мире-ТАСС URL: <https://tass.ru/info/6101618> (дата обращения: 01.03.2023).
2. Жукова Наталья Валериевна, Лутай Юлия Александровна, Килесса Владимир Владимирович, Костюкова Елена Андреевна, Шкадова Марина Геннадьевна, Максимова Елена Владимировна Медицинские профилактические осмотры: современное состояние проблемы // Крымский терапевтический журнал. 2019. №4. URL: <https://cyberleninka.ru/article/n/meditsinskie-profilakticheskie-osmotry-sovremennoe-sostoyanie-problemy> (дата обращения: 08.04.2023).
3. Заболеваемость населения социально-значимыми болезнями // Федеральная служба государственной статистики URL: <https://rosstat.gov.ru/folder/13721> (дата обращения: 20.03.2023).
4. Федеральный проект «Борьба с сердечно-сосудистыми заболеваниями» // Министерство Здравоохранения РФ URL: <https://minzdrav.gov.ru/poleznye-resursy/natsproektzdravoohranenie/bssz> (дата обращения: 23.03.2023).
5. Федеральный проект «Борьба с онкологическими заболеваниями» // Министерство Здравоохранения РФ URL: <https://minzdrav.gov.ru/poleznye-resursy/natsproektzdravoohranenie/onko> (дата обращения: 23.03.2023).

**АКТУАЛЬНЫЕ ПРОБЛЕМЫ
ФАРМАЦЕВТИЧЕСКОЙ ТЕХНОЛОГИИ И
БИОТЕХНОЛОГИИ**

БОНДАРЕВ А.В.
МИНЕРАЛОГИЧЕСКИЙ АНАЛИЗ МЕДИЦИНСКИХ ГЛИН
*Белгородский государственный национальный исследовательский
университет, г. Белгород
e-mail: bondarev_a@bsu.edu.ru*

BONDAREV A.V.
MINERALOGICAL ANALYSIS OF MEDICAL CLAYS
*Belgorod State National Research University, Belgorod
e-mail: bondarev_a@bsu.edu.ru*

Аннотация: Проведен минералогический анализ медицинских глин. Выявлены типичные дифракционные пики основополагающих минералов. Проведенный анализ выявил минеральные фазы и незначительное количество примесей. На основе результатов исследования обосновано использование каолинитовой, монтмориллонитовой и клиноптилолитовой медицинских глин в фармацевтической технологии.

Ключевые слова: медицинская глина, каолинит, монтмориллонит, клиноптилолит.

Abstract: Mineralogical analysis of medical clays was carried out. Typical diffraction peaks of the underlying minerals are revealed. The analysis revealed mineral phases and an insignificant amount of impurities. Based on the results of the study, the use of Kaolinite, Montmorillonite and Clinoptilolite medical clays in pharmaceutical technology is justified.

Keywords: medical clay, Kaolinite, Montmorillonite, Clinoptilolite.

Изучение структуры и свойств медицинских глин, получаемых из лекарственного минерального сырья, является важной научной задачей. Главным образом, это обусловлено уникальностью физико-химических свойств основополагающих минералов, проявляющейся в высокой площади поверхности, пористости и наличии адсорбционных центров. Это открывает широкие возможности их применения в фармацевтической технологии для создания сорбционных лекарственных форм, вспомогательных веществ неорганического происхождения, разработке пероральных терапевтических систем доставки лекарственных веществ [1].

В историческом аспекте глины как терапевтические средства использовались на всем протяжении существования человечества. Начиная с XX века, глины подвергаются физико-химическому исследованию, обосновывается их терапевтическое действие и практическое применение в фармации и медицине [2]. Всестороннее изучение глин, актуальных для использования в фармацевтической технологии, изучались российскими учеными (Сало Д.П., 1969 г.; Цагарейшвили Г.В., 1986 г.; Халифаев Д.Р., 2004 г.; Жилякова Е.Т., 2012 г.; Мизина П.Г., 2017 г.) [3-4]. Первым этапом

изучения медицинских глин является идентификация основополагающего минерала методом рентгенофазового анализа и проведение теоретических расчетов интенсивности дифрагированного рентгеновского излучения.

Цель исследования – провести минералогический анализ медицинских глин.

Материалы и методы. В качестве объектов исследования использовали медицинские глины: каолинитовую, монтмориллонитовую, клиноптилолитовую. Пробоподготовку проводили следующим образом: проба должна воспроизводить состав материала, быть однородной, иметь ровную поверхность. Измельчение проводили в фарфоровой ступке с просеиванием через сито диаметром пор 0,16 мкм.

Определение минералогического состава глин проводили методами рентгенофазового анализа, который традиционно применяют для определения различных кристаллических фаз и их относительных концентраций в минеральном сырье на основе анализа рентгеновских дифрактограмм. Анализ проводился на аппарате *Rigaku Ultima IV* (*Rigaku*, Япония). Съёмку дифрактограмм вели с использованием высокочастотного преобразователя, максимальная мощность – 3 кВт, напряжение на трубке – 20-60 кВ, ток трубки – 2-60 мА, материал анода – *Cu*, размер фокуса – 0,4 x 12 мм. Расшифровка проб и поиск фаз проводились по программе *Search/match* с использованием Базы порошковых дифрактометрических данных *PDF-2*.

Результаты исследования и их обсуждение. Качественный фазовый анализ проводили, сравнивая экспериментальные значения межплоскостных расстояний и относительных интенсивностей, со стандартными рентгеновскими дифрактограммами. Различные вещества имеют определенные значения пиков отражений рентгеновских лучей от семейства плоскостей кристаллической решетки.

Проведен рентгенофазовый анализ каолинитовой глины. Выявлены типичные дифракционные пики каолинита 7,19; 3,58; 2,34 Å. Проведенный анализ выявил фазы, относящиеся к каолиниту и незначительному количеству примесей (иллит). Особенностью каолинита является отсутствие между частицами межпакетного пространства из-за устойчивости водородной связи между гидроксильными группами восьмигранных и четырехгранных кристаллов, что проявляется отсутствием явления набухания при взаимодействии с водой.

Проведен рентгенофазовый анализ монтмориллонитовой глины. Выявлены типичные дифракционные пики монтмориллонита 9,88; 4,95; 4,48 Å. Проведенный анализ установил фазы, относящиеся к монтмориллониту и незначительному количеству примесей (иллит, кварц). Особенностью монтмориллонита является наличие между частицами межпакетного пространства, которое способствует процессу гидратации и возможности явления набухания при взаимодействии с водой.

Проведен рентгенофазовый анализ клиноптилолитовой глины. Выявлены типичные дифракционные пики клиноптилолита 8,94; 7,93; 3,36 Å. Проведенный анализ выявил фазы, относящиеся к клиноптилолиту и незначительному количеству примесей (кристобалит, монтмориллонит, кварц). Особенностью клиноптилолита является наличие полостей различного диаметра, которые способствуют процессу гидратации при взаимодействии с водой.

Выводы. Проведен минералогический анализ медицинских глин. Выявлены типичные дифракционные пики основополагающих минералов. Проведенный анализ выявил минеральные фазы и незначительное количество примесей. На основе результатов исследования обосновано использование каолинитовой, монтмориллонитовой и клиноптилолитовой медицинских глин в фармацевтической технологии для получения сорбционных лекарственных форм.

Список литературы

1. Бондарев А.В., Жилякова Е.Т., Автина Н.В., Новиков О.О. Моделирование структуры минеральных носителей лекарственных веществ // Вопросы биологической, медицинской и фармацевтической химии. 2022. 25(9). С. 16-21. DOI: 10.29296/25877313-2022-09-00.
2. Zhilyakova E.T., Bondarev A.V., Wojko N.N., Naplekov D.K. Physical research of porosity of mineral sorbents // Journal of International Pharmaceutical Research. 2018. 45. 477-480.
3. Сало Д.П., Овчаренко Д.П., Круглицкий Н.Н. Высокодисперсные минералы в фармации и медицине. Москва. 1969. с. 232.
4. Триа Ж.М., Марсель С.Ж., Дюбук Ж.П. Терапевтическое применение медицинских глин в гастроэнтерологии // Болезни органов пищеварения. 2006. 8(1). С. 35-38.

БОНДАРЕВ.А.В, РИФФИ.М.
**ОПРЕДЕЛЕНИЕ ТЕХНОЛОГИЧЕСКИХ И АДСОРБЦИОННЫХ
ПОКАЗАТЕЛЕЙ ПОРОШКООБРАЗНОГО СМЕКТИТА
ДИОКТАЭДРИЧЕСКОГО**

*Белгородский государственный национальный исследовательский
университет, г Белгород
e-mail: riffimohammed68@gmail.com*

BONDAREV A.V, RIFFI.M.
**DETERMINATION OF TECHNOLOGICAL AND ADSORPTION
PARAMETERS OF DIOSMECTITE POWDER**

*Federal State Autonomous Educational Institution of Higher Education
"Belgorod National Research University", Belgorod
e-mail: riffimohammed68@gmail.com*

Аннотация: В статье установлены результаты анализ технологических и адсорбционных показателей смектита диоктаэдрического. Определены форма и размер частиц, сыпучесть, угол естественного откоса, насыпная плотность порошка и химический состав. Выявлены удельная поверхность, объем пор и средний размер пор.

Ключевые слова: смектит диоктаэдрический, степень сыпучести порошков, Адсорбционная способность, энтеросорбент, порошок, пористая структура.

Abstract: The article presents the results of studies technological and adsorption parameters of dioctahedral smectite. The shape and size of the particles, flowability, angle of repose, bulk density of the powder and chemical composition were determined. The specific surface area, pore volume, and average pore size were also measured.

Keywords: dioctahedral smectite, degree of flowability of powders, adsorption capacity, enterosorbent, powder, structure of porus.

Цель исследования. Повышение качества, эффективности и безопасности лекарственных средств зависит от уровня гармонизации требований к ним [4]. Целью работы является изучение технологические и адсорбционные характеристики смектита диоктаэдрического. Задачи исследования заключается в анализе для него различные показатель качества порошкообразных энтеросорбентов на основе медицинских глины затем сравнения результаты с нормой каждого параметра. Как правило, фармацевтические субстанции представлены в порошкообразной форме. для проверки технологичности порошкообразных веществ, а также для наблюдения поведения сыпучих масс в условиях промышленного производства и поддержания их на определенном уровне, проводят определение их технологических показателей . Для оценки адсорбционных

свойств проводят определение удельной поверхности, объема пор и среднего размера пор.

Материалы и методы исследования. Объектом исследования явилась смектит диоктаэдрический (регистрационное удостоверение ПН 015155/01). Ситовой анализ был выбран для определения фракционного состава, для определения угла естественного откоса использовали прибор ВП -12А с установленным угломером, определение объемной плотности на приборе 545Р-АК-3, определение удельной площади поверхности и пористости на анализаторе TriStar II 3020, микроскопия на электронно-ионном сканирующем микроскопе Quanta 200 3D. Исследуемый образец глины был высушен предварительно до постоянной массы при температуре 90° С [3].

Результаты исследования и их обсуждение. Диоктаэдрический смектит представляет собой природный минерал, представляющий собой сплав частиц монтмориллонита и сапонита, извлекаемых из песка и ненабухающих компонентов руды. Анализ порошок смектита диоктаэдрического проведен в соответствии с методиками, используемыми при проведении испытаний, изложенных в российской фармакопее и в ведущих мировых фармакопеях [1]. Состав его представлен различными соединениями, основными из которых являются окись алюминия, окись магния и двуокись кремния. Содержит алюминий и магний в соотношении не менее 0,5 и не более 2,8 [5]. Для случая нашей выборки результаты находятся в пределах нормы ($R = 2,7$), которая подтверждает надежность методики анализа. Дозировка кальция и железа рекомендована Российской фармакопеей, норма кальция и железа не должна превышать 0,025% и 0,06% соответственно, от исследуемой образца. Данный порошкообразный субстанция является кристаллическим и системам, порошок смектита диоктаэдрического морфологически представляет собой симметрические равноосные частицы в виде шаровидных образований, средний размер частиц составляет 1,12 мкм. Сыпучесть (скорость протекания порошка через отверстие) — это способность порошкообразной субстанции высыпаться из емкости воронки под силой собственной тяжести и обеспечивать равномерное заполнение матричного канала, порошок смектита диоктаэдрического мелкодисперсный хорошо сыпучий порошок средней тяжести и является комбинированным мезо- и макропористый сорбентом с преобладанием мезопор размером 29 нм.

Выводы. Проведен анализы технологических и адсорбционных характеристик смектита диоктаэдрического в соответствии результаты армонизации общих фармакопейных статей на порошкообразные энтеросорбенты на основе медицинских глины, наконец большинство требований выделено и отредактировано служали выявление и контроль качества смектита диоктаэдреческого. В настоящее время вещества с сорбционными свойствами могут привлечь внимание наличием

возможности создания систем транспорта лекарств, то есть морфологический и технологический анализ сорбционных веществ позволил разработать классификацию возможного взаимодействия веществ-носителя с лекарственной молекулой в транспортной лекарственной системе[1].

Список литературы

1. Бондарев, А.В. Гармонизация фармакопейных требований к порошкообразным энтеросорбентам на основе медицинских глин / А.В. Бондарев, Л.А. Козубова, М. Риффи // Химия в современной фармации: от молекулы к лекарству. Фундаментальные и прикладные аспекты : материалы V Всероссийской научно-практической конференции студентов и молодых ученых с международным участием, (Оренбург), 17 февраля 2023 г. – С. 19-20.

2. Бондарев, А.В. Энтеросорбенты России, Евросоюза и арабских стран / А.В. Бондарев, Е.Т. Жилиякова, М. Риффи // От биохимии растений к биохимии человека : сборник научных трудов X Международной научной конференции молодых ученых, (Москва), 15-16 декабря 2022 г. – С. 236-242. DOI:10.52101/9785870191058_236.

3. Государственная фармакопея Российской Федерации. XIV изд. Т. 1. 2018: сайт. URL: <https://femb.ru/record/pharmacopea14> (дата обращения: 23.02.2023)

4. Е.Т. Жилиякова. Определение технологических и адсорбционных показателей медицинских глин // Серия Медицина. Фармация. 2013. № 18 (161). Выпуск 23, С.229-234.

5. Фармакопея США. USP 43 – NF 38 изд. Т. 1. 2020 : сайт. URL : <https://www.usp.org/> (дата обращения: 23.02.2023)

БУЛАТОВА С.А., МАЛАХОВА А.Ю., АРСЕНИЕВ Н.А.
СПОСОБЫ МОДИФИКАЦИИ ЭНТЕРОСОРБЕНТОВ

*Санкт-Петербургский государственный химико-фармацевтический
университет, Санкт-Петербург
e-mail: sofya.bulatova@spcpu.ru*

BULATOVA S.A., MALAKHOVA A.YU., ARSENIYEV N.A.
**METHODS FOR MODIFYING ENTEROSORBENTS BASED ON
ACTIVATED CARBON**

*St. Petersburg State Chemical Pharmaceutical University, Saint
Petersburg
e-mail: sofya.bulatova@spcpu.ru*

Аннотация: Анализ современных научных статей о модификации энтеросорбентов на различной основе.

Ключевые слова: активированный уголь, энтеросорбенты, модификации.

Abstract: Analysis of modern scientific studies on the modification of enterosorbents on a different basis.

Keywords: activated carbon, enterosorbents, modifications

Цель исследования. Проанализировать современные научные статьи о модификации энтеросорбентов и выбрать наиболее выгодную модификацию.

Материалы и методы исследования. Материалами явились научные статьи и монографии, посвященные сорбентам.

Результаты исследования и их обсуждение.

Энтеросорбенты используются при различных интоксикациях, кишечных инфекциях, пищевых аллергиях. Поскольку энтеросорбенты применяются и в педиатрической практике, данные лекарства должны отвечать ряду требованиям: отсутствие токсических свойств, безопасность для слизистых оболочек, высокие сорбционные свойства, поддержание кишечной микрофлоры. Для этого используют различные модификации.

Для рассмотрения модификаций наиболее важной классификацией энтеросорбентов является классификация по химической структуре [3]:

- Углеродные сорбенты
- На основе природных и синтетических смол, полимеров
- На основе пищевых волокон, альгинатов, пектинов, хитина, лигнина
- Кремнийсодержащие
- Комбинированные

Углеродные сорбенты содержат в своем составе активированный уголь. В ГРЛС зарегистрировано 18 препаратов на его основе. Он обладает

большой поверхностной активностью, поэтому адсорбирует яды, токсины, алкалоиды, гликозиды и многие другие средства. Однако его нельзя применять при язвенных поражениях желудочно-кишечного тракта, а при длительном применении активированного угля снижается всасывание витаминов и кальция.

Существуют различные методы модификации угля: введение в углеродную матрицу различных гетероатомов, расположение на поверхности углеродных сорбентов функциональных комплексообразователей, варьирование пористой структуры, частичное окисление угля концентрированной азотной кислотой и перманганатом калия. Данные методы не позволяют создать сорбент, который бы соответствовал многим требованиям [4].

Наиболее подходящим методом получения углеродных энтеросорбентов является матричный синтез пористых углерод-углеродных материалов. Такой способ позволяет избавиться от произвольной формы, шероховатой поверхности, минеральных примесей и повысить прочность гранул [1].

Синтез включает несколько стадий: нагревание при температуре 1250–1500 С, получение при температуре 750–900 С гранулированного углерод-углеродного композита, пневмогидромеханическая обработка.

Для создания биоспецифических углеродных сорбентов, их модифицируют с молочной и гликолевой кислотами, так как они обладают антибактериальными свойствами.

Сорбенты из смол, полимеров и неперевариваемых липидов обладают ионообменными свойствами. Они делятся на катиониты, аниониты и амфолиты. Ионообменные сорбенты обладают лучшими характеристиками. Для их модификации используются два способа:

1. Химическая модификация готовых волокон путем сополимеризации и полимераналогичных превращений.
2. Формирование волокон из волокнообразующих полимеров без функциональных групп и неволокнообразующих полимеров с ионогенными группами [2].

Энтеросорбенты, содержащие в своем составе кремний, являются распространенными. В ГРЛС зарегистрировано 15 препаратов на основе смектита диоктаэдрического, 7 препаратов полиметилсилоксана полигидрата, 7 препаратов кремния диоксида коллоидного. Их модифицируют с углеродными сорбентами.

Пищевые волокна тоже могут использоваться в качестве сорбентов. В России зарегистрировано 8 препаратов лигнина гидролизного. Также используются биологически активные добавки на основе пектина, ввиду их низкой токсичности, высокой биосовместимости и отсутствию побочных эффектов. Сорбционная активность зависит от количества карбоксильных групп и степени этерификации галактуроновой кислоты. В основном

модифицируют готовые пектиновые полисахариды, освобождая этерифицированные карбоксильные группы. Но существует метод модификации пектинов, в котором обрабатывают различными реагентами набухший пектиновый гель, до выделения из него порошкообразных полисахаридов. Такой метод позволяет снизить степень этерификации, увеличить количество свободных карбоксильных групп.

Выводы. Наиболее подходящим методом получения углеродных энтеросорбентов является матричный синтез пористых углерод-углеродных материалов. Комбинированные сорбенты представляют собой сочетание других групп энтеросорбентов. Они позволяют достичь большей сорбционной способности и меньшей токсичности.

Список литературы

1. Генис А.В., А.В. Кузнецов. Перспективные разработки в производстве волокнистых полимерных сорбентов / А.В. Генис // Рос. хим. ж. (Ж. Рос. хим. об-ва им. Д.И. Менделеева), 2019, т.LXIII, №1 – С. 27-45.
2. Жилиякова Е.Т., Обзор Российских энтеросорбционных лекарственных средств / Е.Т. Жилиякова // Реферendum Российский и зарубежный рынки – октябрь 2014 – С. 40-47.
3. Бондарев А.В. Анализ российского фармацевтического рынка энтеросорбционных лекарственных препаратов / Белгородский государственный национальный исследовательский университет //Режим доступа: <file:///Downloads/analizrossiyskogofarmatsevticheskogo-rynka-enterosorbtsionnyh-lekarstvennyh-preparatov.pdf>, свободный. (Дата обращения: 14.05.2023 г.).
4. Кубанская государственная медицинская академия / Способ модификации углеродных сорбентов // Режим доступа: https://patents.s3.yandex.net/RU2161987C2_20010120.pdf, свободный. (Дата обращения: 14.05.2023г.).

ЗАСЛАВСКАЯ К.Я., БРОДОВСКАЯ Е.П., АЛЬ-ХАДЖ АЮБ А.М.,
ХУТОРСКАЯ И.А., ШЛЯПКИНА В.И.

**ВЛИЯНИЕ МОЛНУПИРАВИРА И ФАВИПИРАВИРА НА
ЖИЗНЕСПОСОБНОСТЬ КЛЕТОК ЛЕГКИХ ЭМБРИОНА
ЧЕЛОВЕКА *IN VITRO***

*ФГБОУ ВО «Национальный исследовательский Мордовский
государственный университет им. Н.П. Огарёва», г. Саранск
e-mail: ekbrodovskaya@gmail.com*

ZASLAVSKAYA K.YA., BRODOVSKAYA E.P., AL-HAJ AYUB A.M.,
KHUTORSKAYA I.A., SHLYAPKINA V.I.

**EFFECTS OF MOLNUPIRAVIR AND FAVIPIRAVIR ON THE
VIABILITY OF HUMAN LUNGS FIBROBLASTS CELLS IN VITRO**

*¹National Research Ogarev Mordovia State University
e-mail: ekbrodovskaya@gmail.com*

Аннотация: был исследован цитотоксический эффект противовирусных препаратов молнупиравира и фавипиравира на клетках легких эмбриона человека с помощью МТТ теста. В концентрации 0,9375–60 мкг/мл не отмечалось снижение жизнеспособности клеток через 24-72 часа инкубации.

Ключевые слова: МТТ-тест, клетки легких эмбриона человека, фавипиравир, молнупиравир

Abstract: the cytotoxic effects of the antiviral drugs molnupiravir and favipiravir on human lungs fibroblasts cells were investigated using the MTT test. At a concentration of 0.9375-60 µg/mL no reduction in cell viability was observed after 24-72 hours of incubation.

Keywords: MTT test, favipiravir, molnupiravir

Цель исследования. Изучить влияние фавипиравира, молнупиравира и их комбинации на жизнеспособность клеток легких эмбриона человека *in vitro*.

Материал и методы исследования. Субстанции препаратов фавипиравир (серия Ф-020122) и молнупиравир (серия МПЗ-450322) были предоставлены ОА «Биохимик», г. Саранск.

Оценка жизнеспособности клеток проводилась на культуре клеток легких эмбриона человека (ЛЭЧ), которые были получены из Коллекции культур тканей ФГБУ «ФНИЦЭМ им. Н.Ф. Гамалеи» Минздрава России. К клеткам ЛЭЧ добавляли препараты молнупиравир, фавипиравир в концентрации 0,9375-120 мкг/мл, а также их комбинацию 1:1. Через 24, 48 и 72 часа после инкубации, к клеткам добавляли краситель 3-(4,5-диметилтиазол-2-ил)-2,5-дифенил-тетразолиум бромид (МТТ). Оценивали жизнеспособность клеток по оптической плотности на планшетном ридере

Varioscan Lux (Thermoscientific, США) при длине волны 570 нм против референсной 650 нм [3].

Статистическую обработку проводили с помощью однофакторного дисперсионного анализа (теста ANOVA) в программе GraphPad Prism 8.0. Различия считали достоверными при $p < 0,05$.

Результаты исследования и их обсуждения. Результаты МТТ-теста на клеточной линии легких эмбриона человека показали отсутствие выраженного цитотоксического эффекта противовирусных препаратов молнупиравира и фавипиравира через 24–72 часа инкубации. Так через 24 часа исследуемые препараты и их комбинация практически не влияли на жизнеспособность клеток ЛЭЧ в концентрации 0,94–120 мкг/мл. Через 48 часов молнупиравир угнетал жизнеспособность клеток в концентрациях 30–120 мкг/мл, фавипиравир - в концентрации 120 мкг/мл. Комбинация препаратов не влияла на жизнеспособность клеток. Через 72 часа инкубации молнупиравир в отдельности, так и в комбинации с фавипиравиром угнетал жизнеспособность клеток в концентрации 120 мкг/мл. В концентрации 60 мкг/мл и менее комбинация противовирусных препаратов оставалась не токсичной для клеток через 72 часа.

В литературе имеется мало данных об исследовании цитотоксичности комбинации молнупиравира и фавипиравира по отношению к клеткам человека, в частности фибробластам. Предыдущие исследования, однако, показали цитотоксичность отдельно фавипиравира на клетках рака легких человека в концентрациях 2–64 мкг/мл [1]. Также было показано, что в исследовании *in vitro* фавипиравир показал полумаксимальную эффективную концентрацию 9,7 мкг/мл, полуцитотоксическую концентрацию 62,8 мкг/мл [2]. Молнупиравир в концентрации 0,66 мкг/мл не оказывал цитотоксического действия на клетки карциномы печени HepG2, однако в концентрации 3,3–6,6 мкг/мл препарат значительно угнетал жизнеспособность клеток через 48 часов инкубации [5]. В свою очередь молнупиравир после 48 часов инкубации показал полумаксимальную эффективную концентрацию 0,36 мкг/мл [4]. Исследуемые нами концентрации были ниже представленных в предыдущих исследованиях для определения противовирусной активности фавипиравира и молнупиравира и не показали значимого цитотоксического эффекта на клетки легких эмбриона человека. Комбинация препаратов показала менее выраженный цитотоксический эффект, чем противовирусные препараты по отдельности в концентрации 60–120 мкг/мл.

Выводы. Таким образом, результаты исследования влияния молнупиравира, фавипиравира и их комбинации на жизнеспособность клеток показали отсутствие цитотоксичности препаратов в концентрациях 60 мкг/мл и менее. По данным исследования *in vitro* можно предположить, что применение одновременно обоих противовирусных препаратов

позволит получить выше противовирусный эффект, при этом не оказывая цитотоксического действия на здоровые клетки человека.

Список литературы

1. In vitro cytotoxic effects of some Covid-19 drugs on lung cancer cells / Karakus A. [et. al.] // *Trakya Univ. J. Nat Sci.* 2021. Vol. 22 (2). 173-177.
2. Remdesivir and chloroquine effectively inhibit the recently emerged novel coronavirus (2019-nCoV) in vitro / Wang M. [et al.] // *Cell Res.* 2020 Mar. 30(3). P. 269–271.
3. «Tests for in vitro cytotoxicity» [(ISO) 10993–5 2009-06-01.
4. The Combination of Molnupiravir with Nirmatrelvir or GC376 has a synergic role in the Inhibition of SARS-CoV-2 replication in vitro / Gidari A. [et al.] // *Microorganisms.* 2022. Jul 21. Vol. 10(7). P. 1475.
5. Wallace K.B., Bjork J.A. Molnupiravir; molecular and functional descriptors of mitochondrial safety // *Toxicology and Applied Pharmacology.* 2022. Vol. 442. 116003.

^{1,2}КОБЕЛЬКОВА И.В., ^{1,3}КОРОСТЕЛЕВА М.М.
**АКТУАЛЬНОСТЬ ДЕТЕКЦИИ ДУШИСТЫХ ВЕЩЕСТВ И
ПРОДУКТОВ ГЛИКАЦИИ В СПЕЦИАЛИЗИРОВАННОЙ
ПИЩЕВОЙ ПРОДУКЦИИ**

¹*ФГБУН Федеральный исследовательский центр питания,
биотехнологии и безопасности пищи, г. Москва, Российская Федерация*

²*Академия постдипломного образования ФГБУ ФНКЦ ФМБА
России, г. Москва, Российская Федерация*

³*ФГАОУ ВО «Российский университет дружбы народов», г. Москва
e-mail: korostel@bk.ru*

^{1,2} KOBELKOVA I.V., ^{1,3} KOROSTELEVA M.M.
**RELEVANCE OF DETECTION OF FRAGRANT AND
GLYCATION PRODUCTS IN SPECIALIZED FOOD PRODUCTS**

¹*Federal Research Center for Nutrition, Biotechnology and Food Safety,
Moscow, Russian Federation*

²*Academy of Postgraduate Education of the Federal State Budgetary
Institution Federal Scientific and Practical Center of the Federal Medical and
Biological Agency of Russia, Moscow, Russian Federation*

³*Peoples' Friendship University of Russia, Moscow
e-mail: korostel@bk.ru*

Аннотация: Специализированная пищевая продукция для питания спортсменов (СПП) в большинстве случаев является многокомпонентной. В результате различных вариантов промышленной переработки продовольственного сырья возможно образование новых соединений, оказывающих значительное влияние на адаптационный потенциал потребителя. Получаемые зачастую непреднамеренно промежуточные и конечные компоненты в виде биологически активных веществ (короткоцепочечных жирных кислот (КЦЖК), биогенных аминов, терпенов) связывают не только с возможностью идентификации СПП на основе белков молока, но и с их потенциальными эффектами в отношении состояния здоровья человека.

Ключевые слова: специализированные пищевые продукты, микробиом, иммуногенность белков, душистые вещества молока, реакция гликирования, безопасность

Abstract: specialized food products for athletes are multicomponent in most cases. As a result of various options for the industrial processing of food raw materials, the formation of new compounds that have a significant impact on the adaptive potential of the consumer is possible. Often unintentionally obtained intermediate and final components in the form of biologically active substances (short-chain fatty acids (SCFA), biogenic amines, terpenes) are associated not

only with the possibility of identifying milk protein-based SSPs, but also with their potential effects on human health.

Keywords: specialized food products, microbiome, protein immunogenicity, milk flavors, glycation reaction, safety

Актуальность. Взаимодействие биологически активных соединений с другими пищевыми веществами как в составе СПП, так и традиционного рациона питания, может значительно модифицировать их биологические свойства.

Материалы и методы. Поиск научных статей в отечественных и зарубежных базах данных, по ключевым словам, «спортсмены», «микробиом», «специализированная пищевая продукция», «реакция гликирования» в период с 2010 по 2022 гг.

Результаты и их обсуждение. Пищевая аллергия - одна из основных проблем мирового здравоохранения, может быть связана с воздействием конечных продуктов гликации, возникающих в ходе реакции Майяра при термической обработке пищевых продуктов. Симптомы пищевой сенсibilизации значительно влияют на качество жизни, разнообразие кишечного микробиома и адаптационный потенциал. В частности, у спортсменов это может выражаться в снижении эффективности тренировочного процесса, что приводит к ухудшению показателей выносливости и спортивной производительности. В связи с этим представляется актуальным изучение влияния продуктов реакции Майяра на иммуногенность белков, а также разработка мероприятий по профилактике неблагоприятного воздействия аллергенов на организм спортсменов и других потребителей [1, 2].

В моделях экспериментов на грызунах, получающих рационы с высоким содержанием этих соединений, наблюдалось увеличение числа Firmicutes на фоне сокращения Bacteroidetes. Отмечено снижение сниженное содержание Ruminococcaceae и Alloprevotella, синтезирующих короткоцепочечные жирные кислоты, и увеличение уровней Desulfovibrio и Bacteroides, что приводило к усилению синтеза аммиака и жирных кислот с разветвленной цепью. Дальнейший метаболомный анализ выявил изменения обмена углеводов и белков. Напротив, у крыс, находившихся на высокожировом рационе, на фоне введения гликированного белка рыб, было отмечено уменьшение популяции родов Helicobacter и Lachnospiraceae NK4A136. Предположительно конечные продукты гликирования, устойчивые к пищеварительным ферментам, влияют на видовое разнообразие микробиома кишечника, играя, таким образом, роль в состоянии здоровья хозяина [3,4]

В исследовании состояния здоровья 20 мужчин, потреблявших в течение 2-х недель рацион с пищевыми продуктами, подвергнутыми высокотемпературной обработке, сокращение Lactobacillus было связано с

поступлением Nε-карбоксиметил-лизина в продуктах перегруппировки Амадори; в то время как количество *Bifidobacterium* коррелировало только с потреблением соединений Амадори [5].

С такими компонентами, как короткоцепочечные жирные кислоты, биогенные амины, терпены связывают не только возможности идентификации молочных продуктов, так как соединения обладают в зависимости от количества различной биологической активностью (пробиотические и антиоксидантные свойства, развитие синдрома раздраженного кишечника и другие). Контроль качества молока, выявление незадекларированного использования сухого молока не обеспечены фундаментально обоснованной системой маркеров, идентифицирующих способ переработки молочного сырья в конечный продукт или ингредиент. В настоящее время существуют ограниченные сведения о присутствии и содержании в молочной продукции химических соединений, относящихся к классам высоколетучих соединений. Это связано с дискриминацией высоколетучих соединений при идентификации состава молочной продукции, которая традиционно проводится методами газожидкостной хроматографии.

Анализ состава летучих веществ с использованием высокочувствительного метода твердофазной микроэкстракции с газовой хромато-масс-спектрометрией (ТФМЭ-ГХ-МС) потенциально может предоставлять как информацию о содержании токсичных веществ, так и использованных на производстве технологических подходах. В составе СПП могут использоваться различные ингредиенты, в процессе производства которых из растительного белка (например, соевого), существует риск образования потенциально канцерогенных веществ: эфиров 2-монохлопропандиола, 3-монохлорпропадиола (2- и 3-МХПДЭ), глицидиловых эфиров (ГЭ), 3-монохлорпропандиола (3-МХПД); - в различных жировых компонентах, большую часть которых составляют среднецепочечные триглицериды или полиненасыщенные жирные кислоты, а также в гидролизатах белков. Таким образом, актуально выявление содержания и проведение оценки риска возникновения 2-, 3-МХПДЭ и ГЭ или 3-МХПД в СПП.

Изучение взаимодействия входящих в СПП компонентов с учетом научно-обоснованного подхода является необходимым условием при разработке медико-биологического обоснования рецептур и нормативно-технической документации.

Сложившаяся на практике ситуация обусловлена следующими причинами:

- отсутствием единого научного подхода медицинского научного сообщества и пищевой промышленности к разработке рецептур специализированных пищевых продуктов с заданным химическим составом и рекомендаций по их введению в рацион спортсменов, направленных на

индивидуальное восполнение дефицитов или снижение потребления макро- и микронутриентов в зависимости от спортивных задач;

– отсутствием данных о взаимодействии входящих в СПП компонентов, методических документов и базы данных о содержании душистых и потенциально канцерогенных веществ в СПП для питания спортсменов;

– отсутствием на федеральном и региональном уровнях единой системы научного подхода к оценке эффективности отдельных компонентов и многокомпонентных БАД и СПП у спортсменов различного уровня спортивного мастерства;

– отсутствием единого подхода к разработке рационов питания спортсменов в детских и взрослых организованных коллективах;

– низким уровнем образования спортсменов, членов тренерского штаба, включая спортивных врачей, в вопросах здоровья, культуры питания, отсутствием осознанного понимания связи между питанием и состоянием спортивной успешности.

Выводы. Поскольку технологические процессы пищевой промышленности могут приводить к образованию химических соединений с разнонаправленной физиологической активностью, изучение роли СПП и БАД в оптимизации параметров кишечного микробиома и иммунного статуса, и их возможной взаимосвязи с функциональным состоянием спортсменов, а также оценка взаимодействия входящих в СПП компонентов, разработка методических документов и создание базы данных о содержании душистых и потенциально канцерогенных веществ в специализированной продукции для питания спортсменов, разработка на федеральном и региональном уровнях единой системы научного подхода к оценке эффективности отдельных компонентов и многокомпонентных БАД и СПП у спортсменов различного уровня спортивного мастерства, разработка образовательных программ для спортсменов, членов тренерского штаба, включая спортивных врачей по вопросам здоровья, культуры питания и осознанного понимания связи между питанием и состоянием спортивной успешности представляют собой перспективные объекты для исследования и характеризуются высокой научной значимостью.

Список литературы

1. Кобелькова И.В., Коростелева М.М., Никитюк Д.Б., Кобелькова М.С. (2021). Конечные продукты гликирования и технологические аспекты снижения иммуногенности специализированных пищевых продуктов для питания спортсменов. Пищевые системы, т. 4, № 4, С.: 278-285 DOI: 10.21323/2618-9771-2021-4-4-278-285

2. Teodorowicz, M., Van Neerven, J., Savelkoul, H. (2017). Food processing: The influence of the Maillard reaction on immunogenicity and

allergenicity of food proteins. *Nutrients*, 9(8), Article 835. <https://doi.org/10.3390/nu9080835>

3. Zhang, Z., Li, D. (2018). Thermal processing of food reduces gut microbiota diversity of the host and triggers adaptation of the microbiota: Evidence from two vertebrates. *Microbiome*, 6(1), 99. <https://doi.org/10.1186/s40168-018-0471-y>

4. Koliada, A., Syzenko, G., Moseiko, V., Budovska, L., Puchkov, K., Perederiy, V. et al. (2017). Association between body mass index and Firmicutes/Bacteroidetes ratio in an adult Ukrainian population. *BMC Microbiology*, 17(1), Article 120. <https://doi.org/10.1186/s12866-017-1027-1>

5. Seiquer, I., Rubio, L. A., Peinado, M. J., Delgado-Andrade, C., Navarro, M. P. (2014). Maillard reaction products modulate gut microbiota composition in adolescents. *Molecular Nutrition and Food Research*, 58(7), 1552–1560. <https://doi.org/10.1002/mnfr.201300847>

КУЗЬМИНА Е.С., СИМУТИНА А.С.

**ФЕНОМЕН ДИСПЕРСНОСТИ МЕХАНОАКТИВИРОВАННЫХ
ОБАЗЦОВ ЛЕВОФЛОКСАЦИНА ПОЛУГИДРАТА И ЕГО
ВЗАИМОСВЯЗЬ С ПАРАМЕТРАМИ РАСТВОРЕНИЯ**

*ФГАОУ ВО «Российский университет дружбы народов», г. Москва
e-mail: kkuz@imbox.ru*

KUZMINA E.S., SIMUTINA A.S.

**DISPERSION PHENOMENON OF MECHANOACTIVATED SAMPLES
OF LEVOFLOXACIN SEMIHYDRATE AND ITS RELATIONSHIP
WITH DISSOLUTION PARAMETERS**

*RUDN University "Peoples' Friendship University of Russia", Moscow
e-mail: kkuz@imbox.ru*

Аннотация: Исследована взаимосвязь между дисперсностью и скоростью растворения в воде механоактивированного левофлоксацина по данным метода лазерной дифракции. Феномен дисперсности — изменение агломерированного состояния в результате накопления кристаллических дислокаций, сопровождается увеличением скорости растворения, что может стать решением проблемы малорастворимых лекарственных средств.

Ключевые слова: механоактивация, лазерная дифракция света, левофлоксацин, феномен дисперсности, размножение дислокаций, скорость растворения.

Abstract: The relationship between dispersity and dissolution rate of mechanoactivated levofloxacin in water was investigated by laser diffraction. Dispersion phenomenon — change of agglomerated state due to the accumulation

of crystalline dislocations, accompanied by an increase in the dissolution rate, which could be a way to solve the problem of poorly soluble drugs.

Keywords: mechanoactivation, laser diffraction, levofloxacin, dispersion phenomenon, dislocation propagation, dissolution rate.

Трибохимическим (от греч. *τριβος* – трение) фазовым превращениям твердых тел предшествуют трение и удары со смещением высокой механической интенсивности. Образующиеся метастабильные структуры высвобождают часть накопленной энергии для перехода в более стабильное термодинамическое состояние. Релаксация энергии происходит в соответствии с механизмами выделения тепла, пластической деформации и разрыва химических связей [1]. В современной фармацевтической промышленности преимущества механохимии — раздела «зеленой» химии — часто используются для изменения дисперсности и других свойств образующихся структур для улучшения фармакокинетики и, следовательно, биодоступности. Однако ошибочно полагать, что механическое воздействие (МВ) и сопряженная с ним механоактивация приводят к изменению физико-химических и биологических свойств лекарственных веществ (ЛВ) исключительно за счет измельчения (диспергирования). Образующиеся промежуточные энергетически избыточные формы обуславливают порой непредсказуемые «эффекты отклика» субстанции в ответ на производимое МВ и, наравне с образованием новой поверхности и дефектами кристаллической решетки, являются причиной модифицирования свойств ЛВ.

Цель исследования. Изучить динамику дисперсных свойств образцов субстанции левофлоксацина полугидрата в процессе механоактивации и их влияние на кинетику растворения в воде.

Материалы и методы исследования. Объект исследования - лекарственная субстанция левофлоксацина полугидрат ($Lvf \cdot 0,5H_2O$, Jiangsu Aimi Tech Co., Limited, China, срок годности до 08.02.2025) — синтетическое антибактериальное средство широкого спектра действия из группы фторхинолонов, *S*-оптический изомер офлоксацина; представляет собой светло-желтый кристаллический порошок, умеренно растворимый в воде, практически нерастворимый в *n*-гексане. Механизм действия заключается в ингибировании ферментов, необходимых для репликации и транскрипции бактериальной ДНК.

Высокоинтенсивное механическое воздействие осуществлялось с помощью ножевой лабораторной мельницы Stegler LM-250 роторного типа (Shenzhen Bestman Instrument CO., LTD, China), скорость вращения 28000 оборотов/мин, мощность 13 кВт) с многократной, через каждые 3 минуты, выгрузкой навески порошка субстанции ($N=7$). Для определения распределения частиц по размеру («размерный спектр») от 1 до 180 мкм применяли фармакопейный метод лазерной дифракции (малоуглового

рассеяния лазерного света, LALLS, Malvern Instruments, Malvern, UK), основанный на регистрации индикатрисы рассеяния, возникающей при взаимодействии электромагнитного излучения с частицами дисперсной фазы [2].

Подход к изучению кинетики растворения методом лазерной дифракции является авторской разработкой сотрудников кафедры фармацевтической и токсикологической химии РУДН и основан на том, что уменьшение дисперсности образца с течением времени в результате процесса растворения приводит к изменению углового распределения интенсивности рассеяния [3]. Результаты измерений представляются в прямых и полулогарифмических координатах зависимости лазерного светорассеяния от времени. Константу скорости растворения рассчитывали, как тангенс угла наклона линеаризованного участка прямой к оси абсцисс: $k = -\operatorname{tg} \alpha$.

Результаты исследования и их обсуждение. Размерные спектры, исходной субстанции и образцов-выгрузок позволяют оценить дисперсные эффекты порошка субстанции на производимое МВ (рис.1)

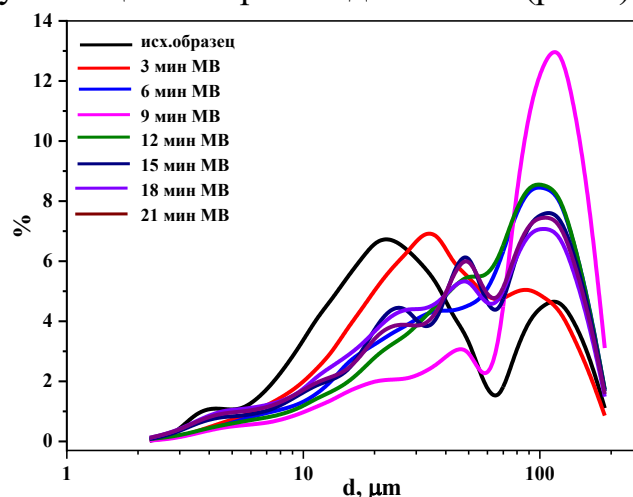


Рисунок 1. Размерные LALLS-спектры (среда n-гексана) образцов Lvf•0,5 H₂O с различным временем выгрузки.

Исходный образец субстанции представлен двумя модами размерных групп при $d_1=20$ мкм и $d_2=115$ мкм, что характеризует его как неоднородный (бимодальный). Образец-выгрузка с длительностью механического воздействия $t=3$ мин демонстрирует перераспределение размерных групп ($d_1=33$ мкм и $d_2=86$ мкм) с тенденцией к снижению размера частиц бóльшей микронной фракции. Такой эффект является ожидаемым, поскольку на первых этапах интенсивные удары и удары со сдвигом воздействия должны приводить к диспергированию частиц.

Однако продолжающееся высокоинтенсивное МВ при $t \geq 6$ min на порошок Lvf•0,5 H₂O привело к увеличению диаметра (d , мкм) и объёмной доли (%) размерных групп частиц, так называемому феномену дисперсности.

Анализ интегральных характеристик дисперсности (удельная площадь поверхности, объемная концентрация и светорассеивающие свойства системы) также может быть использован для оценки «эффекта отклика» субстанции на производимое МВ (рис. 2).

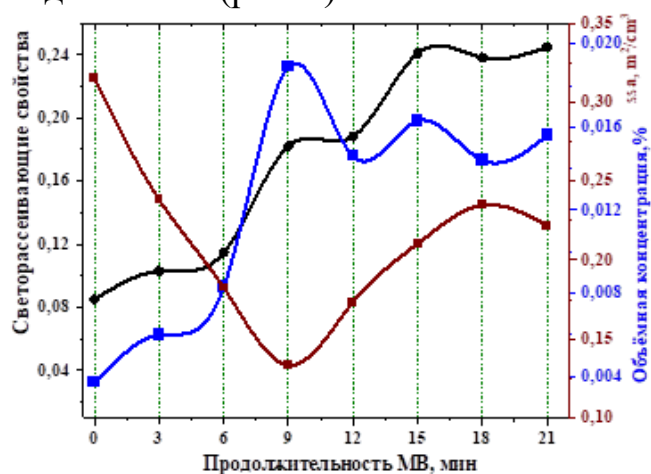


Рисунок 2. Зависимость интегральных характеристик дисперсности образцов субстанции от времени механического воздействия (t, мин) по данным метода LALLS.

На рисунке 2 продемонстрирована антибатная зависимость между величиной удельной площади поверхности ($ssa, \text{m}^2/\text{cm}^3$) и размером частиц дисперсной фазы. Последовательное снижение ssa вплоть до $t=9$ мин МВ ведет к увеличению светорассеивающих свойств и объемной концентрации дисперсной системы и свидетельствует об увеличении размера частиц. Таким образом, тонкий помол (уменьшение размера частиц) характерен лишь для первых этапов высокоинтенсивного механического воздействия, далее этот процесс сменится агрегацией и увеличением диаметра размерных групп частиц, то есть феноменом дисперсности.

Дисперсность вещества оказывает значительное влияние как на процесс растворения, так и на улучшение биофармацевтических характеристик ЛВ [4], поэтому далее важно было исследовать, как феномен дисперсности, возникающий в процессе механоактивации, отразится на кинетике растворения субстанции в воде.

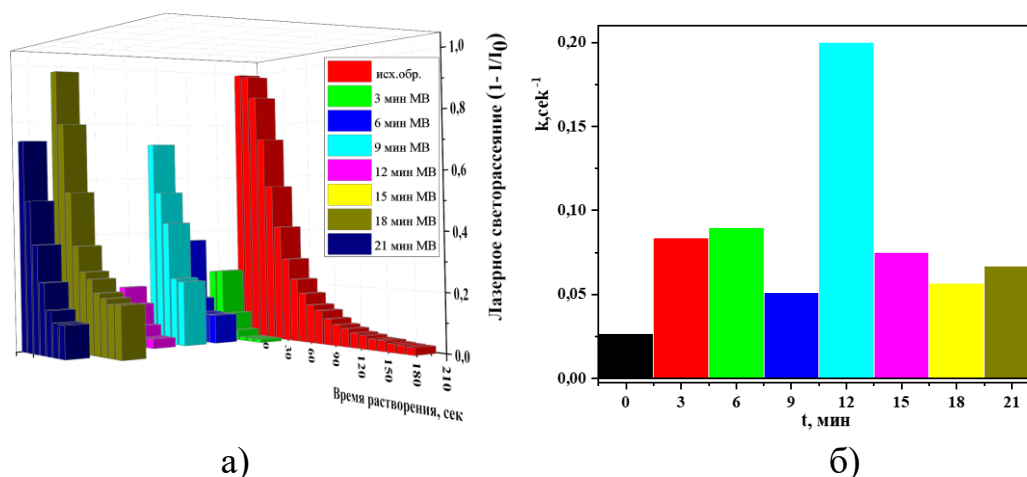


Рисунок 3. Кинетика растворения образцов субстанции-выгрузок $Lvf \cdot 0,5 H_2O$ с различным временем MB (а); Константы скорости растворения исследуемых образцов в воде (б).

Исследование кинетики растворения методом лазерной дифракции продемонстрировало значительное сокращение времени, необходимого для растворения механоактивированных образцов (см. рис. 3а). Для растворения исходной субстанции потребовалось более трех минут (195 сек), в то время как механоактивированные образцы растворялись не более, чем за 30 секунд. Значения констант скорости растворения также демонстрируют существенные различия. Как видно из представленной диаграммы (см. рис. 3б), значение константы скорости растворения увеличивается вплоть до момента MB с $t=12$ мин, достигая в данной точке максимальных значений: $k_{t=12\text{мин}} = 0,2 \pm 0,04 \text{ сек}^{-1}$ в 7 раз больше, чем $k_{t=0\text{мин}} = 0,027 \pm 0,002 \text{ сек}^{-1}$. Дальнейшее незначительное падение данного показателя не препятствует выводу о том, что скорость растворения механоактивированных образцов значительно выше в сравнении с исходной субстанцией, не подвергавшейся MB: увеличение в 2,5 раза для конечной точки измерений ($k_{t=21\text{мин}} = 0,067 \pm 0,005 \text{ сек}^{-1}$).

Скорость растворения фармацевтической субстанции в биологических жидкостях оказывает влияние на её фармакокинетические параметры. Следовательно, увеличение скорости растворения МАкт-образцов $Lvf \cdot 0,5 H_2O$ позволяет предположить возможность увеличения их биодоступности, несмотря на феномен дисперсности описанный выше.

Выводы. Изучение дисперсных свойств субстанции левофлоксацина полугидрата в процессе механоактивации позволило обнаружить феномен динамики дисперсности, сопровождаемый увеличением диаметра и объёмной доли размерных групп частиц. Механоактивированные образцы демонстрируют увеличение скорости растворения, что позволяет выдвинуть предположение об увеличении их биодоступности.

На примере лекарственной субстанции левофлоксацин полугидрат из группы фторхинолонов мы доказали, что в основе улучшения растворения

в процессе механоактивации лежит не процесс диспергирования, а изменение энергетического состояния твердого тела за счет поглощения им механической энергии.

Список литературы

1. Malygin G. Mechanism of Plastic Collapse of Nanosized Crystals with BCC Lattice under Uniaxial Compression // *Physics Solid State*. 2018. N60. P. 1244–1249. DOI: <https://doi.org/10.1134/S1063783418060197>
2. ОФС.1.2.1.0008.15 Определение распределения частиц по размеру методом лазерной дифракции света Государственная фармакопея Российской Федерации (ГФ РФ) XIV.
3. Uspenskaya E., Pleteneva T., Kazimova I., Syroeshkin A. Evaluation of Poorly Soluble Drugs' Dissolution Rate by Laser Scattering in Different Water Isotopologues. *Molecules*. 2021. N26. P. 601 DOI:10.3390/molecules26030601
4. Xingwang Z., Huijie X., Yue Z., Zhiguo M. Pharmaceutical Dispersion Techniques for Dissolution and Bioavailability Enhancement of Poorly Water-Soluble Drugs // *Pharmaceutics*. - 2018. - N10(3). - P. 74-107. DOI: <https://doi.org/10.3390/pharmaceutics10030074>

**¹НИКОНЕНКО М.С., ²БОГАТЫРЁВ Н.А., ¹БАХРУШИНА Е.О.
НЕОБХОДИМОСТЬ РАЗРАБОТКИ *IN VITRO* МОДЕЛИ ДЛЯ
ИЗУЧЕНИЯ СТИМУЛОЧУВСТВИТЕЛЬНЫХ
ИНТРАВАГИНАЛЬНЫХ СИСТЕМ ДОСТАВКИ ЛЕКАРСТВ**

¹ ФГАОУ ВО Первый Московский государственный медицинский университет имени И.М. Сеченова Минздрава России (Сеченовский Университет), г. Москва

² ФГБОУ ВО МГТУ «СТАНКИН»
e-mail: patrnikon@gmail.com

**¹NIKONENKO M.S., ²BOGATYRYOV N.A., ¹BAKHRUSHINA E.O.
THE NECCESITY FOR DEVELOPMENT OF *IN VITRO* MODEL FOR
THE STUDY OF STIMULOSENSITIVE INTRAVAGINAL DRUG
DELIVERY SYSTEMS**

¹*I.M. Sechenov First Moscow State Medical University (Sechenov University)*

²*MSUT "STANKIN"*
e-mail: patrnikon@gmail.com

Аннотация: Одним из перспективных направлений разработки новых лекарственных форм являются вагинальные *in situ* гели. Современные

методы оценки биофармацевтических параметров *in vitro* несовершенны и не могут характеризовать данную форму, для которой важно учитывать все анатомические и физиологические особенности места применения. Модели, созданные с помощью 3D-принтинга, в будущем могут решить данную задачу.

Ключевые слова: *In situ* гели, вагинальные гели, *in vitro* модели.

Abstract: Vaginal *in situ* gels are one of the most promising areas for the development of new dosage forms. Modern methods for assessing biopharmaceutical parameters *in vitro* are imperfect and can not characterize this dosage form because it is important to consider all of the anatomical and physiological features of the site of application. In future, models created using 3D-printing may solve this problem.

Keywords: *In situ* gels, vaginal gels, *in vitro* models.

Цель исследования. Обоснование необходимости разработки современной *in vitro* модели вагинальной полости.

Введение. Вагинальные лекарственные формы составляют крупную долю фармацевтического рынка среди всех существующих лекарственных форм в связи со многими причинами: отсутствие эффекта первого прохождения через печень, большая площадь и скорость всасывания, обильное кровоснабжение в месте применения и т.д. Совокупность этих преимуществ выделяет эту группу препаратов на фоне прочих. Самые распространённые среди подобных форм - спреи, гели, кремы и суппозитории. Для каждой из них характерны свои недостатки, например, для спреев - низкие показатели мукоадгезии, для суппозиториев - психологические и физические факторы, обуславливающие неудобство введения. Наибольший интерес на данный момент представляют из себя инновационные *in situ* гели, фазовый переход которых обусловлен местом применения. *In situ* системы доставки нивелируют недостатки классических лекарственных форм и объединяют их преимущества: большее удобство введения, высокая мукоадгезия, пролонгированность высвобождения. При комнатной температуре *in situ* гели представляют собой жидкость, что позволяет вводить их по типу спреев, а при введении - гель, обеспечивающий прикрепление к слизистой и более длительное высвобождение лекарственного вещества [3]. В связи с этим, на данный момент остро стоит вопрос об исследовании данной лекарственной формы и разработке специальных методов оценки её биофармацевтических параметров.

Обоснование необходимости разработки *in vitro* модели для исследований вагинального *in situ* геля. При разработке новых лекарственных форм важной процедурой является постоянный скрининг необходимых параметров в условиях лаборатории. Оценка селективности

фазового перехода - важная составляющая исследований при разработке *in situ* систем доставки, которая требует постоянного наличия в доступе *in vivo* или *ex vivo* модели. Однако современные тенденции в сфере научных исследований требуют минимализации использования лабораторных животных, в связи с чем появляется необходимость совершенствования уже существующих методов испытаний *in vitro* [1]. Помимо постоянного скрининга таких параметров *in situ* систем, как температура и время гелеобразования, для вагинальных лекарственных форм существуют специфические факторы, оказывающие влияние на эффективность применения препарата. Слизистая вагинальной полости постоянно выделяет специфический секрет, позволяющий органу самоочиститься, поэтому особенно важно изучать способность прикреплению геля к поверхности и, как следствие, скорость его стекания. Помимо секрета, выделяемого слизистой, стоит учитывать угол наклона органа при различных положениях тела, так как это также будет оказывать влияние на мукоадгезию препарата.

Таким образом, для анализа показателя мукоадгезии, использовали клетки, либо ткани животных или не проводили таких испытаний вовсе [4].

Вторым важным испытанием для *in situ* систем является изучение полноты и кинетики высвобождения действующих веществ из системы. При этом большинство исследователей в качестве испытания высвобождения используют метод диализа по Кривчинскому, где средой является симуляционная вагинальная жидкость (СВЖ), или же ячейки Франца. Некоторые учёные использовали методики безмембранного изучения высвобождения, например, в исследовании Sujuan Zhang и др. препарат нагревали и перемешивали с СВЖ при 37 ± 0.5 °С в течение 5 часов, затем отделяли нерастворившийся гель и взвешивали его [5]. Некоторые исследователи отмечали в своих работах, что данные, полученные с помощью таких *in vitro* методов, как диализ через полупроницаемую мембрану, не могут коррелироваться с последующими испытаниями *in vivo* [2]. Также стоит отметить, что все приведённые испытания не учитывают анатомических и физиологических особенностей вагинальной полости, поэтому не могут в полной мере служить методами оценки важнейших биофармацевтических параметров.

Одним из основных инструментов современных исследователей для оценки биофармацевтических параметров сложных систем, к которым, безусловно относятся и *in situ* системы, является *in vitro* моделирование органа или ткани-мишени. На подобных анатомически и физиологически достоверных, коррелирующих с органом моделях возможно проводить рутинные испытания в необходимой повторяемости, чтобы эффективно осуществлять скрининг экспериментальных образцов.

На кафедре фармацевтической технологии Института фармации им. А.П. Нелюбина Сеченовского Университета совместно с исследователями из Института производственных технологий и инжиниринга ФГБОУ ВО МГТУ «Станкин» методом 3D-печати была разработана анатомически достоверная модель вагинальной полости (рис.1).

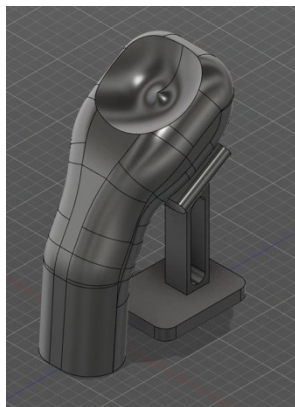


Рис. 1 – 3D-модель вагинальной полости

На разрабатываемой *in vitro* вагинальной модели планируется оценивать показатель истечения состава с места применения, а также распределения по внутренней поверхности органа. Эти параметры являются критическими для дальнейшей разработки системы доставки, так как от процента удерживаемой на слизистой дозы, времени ее экспозиции и площади орошаемой поверхности органа будет зависеть терапевтический эффект препарата в целом.

Вывод. Исходя из проведенного анализа зарубежных исследователей, можно сделать вывод, что современные *in vitro* методы испытания вагинальных *in situ* гелей несовершенны, не учитывают анатомические особенности органа. В связи с чем появляется необходимость разработки *in vitro* модели вагинальной полости, которая будет учитывать угол наклона, позволять оценивать площадь распределения геля и в полной мере характеризовать все биофармацевтические параметры исследуемых препаратов. Благодаря стремительному развитию уровня техники данную задачу можно решить с помощью 3D-принтинга, что и планируется осуществить в рамках наших будущих разработок.

Список литературы

1. Бахрушина Е.О. Применение *in vitro* моделирования для проведения фармацевтической разработки *in situ* систем // Медико-фармацевтический журнал “Пульс”. - 2022. - Т. 24. - №6 - С. 137-142.
2. A vaginal drug delivery model / Mirza MA, Panda AK, Asif S [et al] // Drug Delivery. - 2016. - PP. 3123-3134.

3. *In situ* гели как современный способ интраназальной доставки вакцин / Е.О. Бахрушина, И. Б. Михел, В. М. Кондратьева [и др.] // Вопросы вирусологии. – 2022. – Т. 67, № 5. – С. 395-402.

4. *In situ gel formulations of econazole nitrate: preparation and in vitro and in vivo evaluation* / E. Baloglu, S.Y. Karavana, Z.A. Senyigit [et al] // J. Pharm. Pharmacol. – 2011. – PP. 1274-1282.

5. Temperature-sensitive gel-loaded composite nanomedicines for the treatment of cervical cancer by vaginal delivery / Sujuan Zhang, Yongtai Zhang, Zhi Wang [et al] // International Journal of Pharmaceutics. - 2020. - PP. 586-596.

**СЕМЁНОВА Н.Н., ШАТАЛОВА Т.А.
РАЗРАБОТКА ТВЕРДОЙ ЛЕКАРСТВЕННОЙ ФОРМЫ
НООТРОПНОГО ДЕЙСТВИЯ ИЗ ЛИСТЬЕВ АЛЬФРЕДИИ
ПОНИКШЕЙ**

*Пятигорский медико-фармацевтический институт – филиал ФГБОУ ВО
ВолгГМУ МЗ РФ, г. Пятигорск, Россия
e-mail: nata68agel@mail.ru*

**SEMENOVA N.N., SHATALOVA T.A.
DEVELOPMENT OF A SOLID DOSAGE FORM OF NOOTROPIC
ACTION FROM THE LEAVES OF ALFREDIA DROOPING**

*Pyatigorsk medical and pharmaceutical Institute-branch of the Federal state
budgetary educational institution of higher education "Volgograd state medical
University" of the Ministry of health of Russia, Pyatigorsk, Russian Federation
e-mail: nata68agel@mail.ru*

Аннотация: В статье рассмотрены аспекты создания твердой лекарственной формы (гранул) ноотропного действия, содержащей полиэкстракт альфредии поникшей (*Alfredia cernua L.*) листьев. Разработан дизайн технологии полиэкстракта сухого. Проведен выбор вспомогательных веществ и получены гранулы на его основе. Изучено фармакологическое действие лекарственной формы, проведен ее анализ.

Ключевые слова: альфредия поникшая, листья, ноотропное действие, антиоксидантное действие, антирадикальное действие, экстракты, гранулы.

Abstract: The article discusses the aspects of creating a solid dosage form (granules) of nootropic action containing polyextract of *Alfredia drooping* (*Alfredia cernua L.*) leaves. The design of the dry polyextract technology has been developed. The selection of excipients was carried out and granules based on it

were obtained. The pharmacological effect of the dosage form has been studied, its analysis has been carried out

Keywords: alfredia drooping, leaves, nootropic effect, antioxidant effect, antiradical effect, extracts, granules.

Ноотропы - одна из важнейших групп фармацевтических препаратов, широко назначаемая врачами для активирования функций головного мозга в периоды повышенной умственной загруженности, утомляемости, тревожности пациентов. Доказана способность таких препаратов повышать устойчивость мозга при вмешательствах, гипоксии, травмах; влиять на скорость восстановления области некроза; регулировать метаболизм нейронов. В целом они способствуют улучшению когнитивных функций, обучаемости, положительно влияют на внимание и память.

Цель исследования. Целью нашей работы было создание препарата с ноотропным действием из растительного сырья, а именно из альфредии поникшей листьев (*Alfredia cernua* L.).

Материалы и методы. Растительное сырье было собрано в Томской области (в регионе произрастания данного растения), высушено в естественных условиях без попадания прямых солнечных лучей. Травя альфредии была получена нами от группы коллег во главе с доктором фармацевтических наук Шиловой И.В. из научно-исследовательского института фармакологии и регенеративной медицины имени Е.Д. Гольдберга Федерального государственного бюджетного научного учреждения «Томский национальный исследовательский медицинский центр Российской академии наук».

Изучив технологические и товароведческие характеристики частей растения альфредии поникшей [3], мы пришли к выводу о том, что слишком низкое содержание интересующих нас экстрактивных веществ в стеблях растения не представляет практической ценности. Поэтому для решения поставленной задачи, в качестве растительного сырья для нашего будущего препарата, мы выбрали нижние черешковые листья растения альфредия поникшая. Это объясняется их большой площадью и, следовательно, большей долей в биомассе растения.

В литературных источниках описаны жидкие экстракты альфредии поникшей. Они получены с использованием спирта этилового больших концентраций, что весьма ограничивает возможность их применения некоторыми группами потребителей (водители, беременные женщины, дети). Для наиболее полного извлечения экстрактивных веществ нами была поставлена цель получить полиэкстракт путем последовательного экстрагирования сырья несколькими растворителями (растворы этанола нескольких концентраций и водой очищенной), а затем перевести его в бесспиртовую сухую дозированную форму, удобную для применения.

Результаты и их обсуждение. Проведенный нами анализ сырья, а также его морфолого-анатомические исследования позволил разработать нормативную документацию (НД) на сухие листья альфредии поникшей, куда включены следующие показатели: 1) содержание суммы флавоноидов в пересчете на изокверцитрин не менее 1,4%; 2) содержание влаги - не более 14%; 3) содержание экстрактивных веществ последовательно извлекаемых из одной порции сырья этанолом с концентрациями 95%, 70%, 55%, 40%, 30%, 25%, водой очищенной - не менее 34%.

После изучения технологических показателей сырья нами был выбран способ и условия экстрагирования листьев альфредии поникшей с использованием метода реперколяции. Принятое в промышленности стандартное количество перколяторов (3) в нашем технологическом процессе показало низкую эффективность извлечения - ниже 39%. Последовательное увеличение числа диффузоров до 6 привело к значению эффективности 46-55%. Кроме того, мы увеличили соотношение фаз до 3,0. При использовании соотношения фаз 3,0, числа ступеней экстракции равном 6, расчетная теоретическая эффективность процесса составила 85%. Она была подтверждена экспериментально и достигла 82%.

Итак, процесс реперколяции был реализован в батарее из 6 перколяторов. На первом этапе измельченные листья альфредии поникшей заливали 95% спиртом этиловым и выдерживали 8 часов. Экстракт сливали, а шрот без дополнительного высушивания экстрагировали смесью воды очищенной и спирта этилового с целью получения концентрации экстрагента на втором этапе равной 70%. Далее по той же схеме на 3-6 этапах для экстракции использовали 55%, 40%, 30%, 25% этиловый спирт и воду очищенную. Таким образом, мы разработали схему постадийного экстрагирования одной и той же порции листьев альфредии поникшей с использованием спирта этилового различных концентраций и воды очищенной для получения нескольких фракций экстракта.

Полученные извлечения исследовали на антирадикальную активность с использованием препарата сравнения гинкго билоба. [1] Радикал-ингибирующие свойства были установлены для всех изучаемых фракций экстракта. При этом значения максимальной ингибирующей активности экстракта гинкго билоба (ЭГБ), исследуемого экстракта 40% (в дальнейшем ИЭ40, где 40% - концентрация этанола), исследуемого экстракта водного (ИЭВ) были сопоставимы между собой. Также нами была изучена антиоксидантная активность извлечений из листьев альфредии с использованием жидкостного хроматографа «Цвет Яуза-01-АА». Установлено, что содержание антиоксидантов в извлечениях возрастает при уменьшении концентрации спирта и достигает максимального значения в извлечении, полученном экстракцией водой очищенной и составляет $6,192 \pm 0,042$ мг/г (в пересчете на кверцетин), $4,031 \pm 0,026$ мг/г (в пересчете на галловую кислоту).

Ноотропную активность фракций полиэкстракта альфредии изучали путем проведения двух серий опытов на половозрелых крысах линии Vistar. Было установлено, что введение исследуемых экстрактов альфредии так же, как и препарата сравнения привело к восстановлению про/антиоксидантного баланса, нормализации метаболизма головного мозга, снижению степени отека и некроза мозговой ткани. При этом, по совокупности данных, изучаемый объект ИЭ40 превосходил по величине регенеративного эффекта экстракты ИЭ70 и ИЭ95 и не уступал референтному препарату – экстракту гинкго билоба. Таким образом, проведенные исследования показали, что все экстракты альфредии обладали ноотропной, антиоксидантной и антирадикальной активностью.[2]

На следующем этапе нашего исследования мы разрабатывали твердую бесспиртовую лекарственную форму.

Упаренные экстракты альфредии гигроскопичны и легко отсыревают при хранении, поэтому для получения стабильных сухих фракций мы использовали технологию адсорбирования жидких извлечений на негигроскопичных вспомогательных веществах. Для эксперимента мы использовали лактозу, кроскармеллозу натрия, примоджель (карбоксиметилкрахмал натрия) и полипласдон Ultra. Жидкие экстракты распыляли на навеску вспомогательного вещества, массу подсушивали при температуре не выше 30°C. Операцию повторяли несколько раз до наступления полного насыщения вспомогательного вещества экстрактом, что оценивали визуально. Установлено, что из всех изученных композиций наилучшие значения поглощения показал полипласдон Ultra, который удерживал экстракта в 3,5 раза больше своей массы. Были проведены биофармацевтические исследования композиций. Динамику высвобождения флавоноидов определяли *invitro*, методом диализа через полупроницаемую мембрану. В ходе исследований была установлена способность полипласдона Ultra максимально высвобождать биологически активные вещества, по сравнению с другими, участвовавшими в эксперименте вспомогательными веществами. Поэтому он и был выбран в качестве носителя для полиэкстракта. Содержание суммы флавоноидов в пересчете на изокверцитрин в диализате определяли спектрофотометрически.

Расчет однократной дозы полиэкстракта альфредии 1,79 г, которая содержит фармакологически оправданные 15 мг флавоноидов, показал целесообразность выбора в качестве лекарственной формы — гранул, растворимых в воде для употребления в виде напитка.

При разработке основы гранул использовали комплекс водорастворимых вспомогательных веществ (сахар, мальтодекстрин, кальция глицерофосфат, натрия хлорид), позволивших обеспечить получение стабильного и приятного на вкус раствора полиэкстракта.

Распадаемость гранул регулировали добавлением крахмалгликолята натрия. Технология гранул заключается в том, что все компоненты гранул смешивали (влажность не более 2%), увлажняли спиртом этиловым 96% и гранулировали продавливанием (отверстия 2 мм). Гранулят сушили при температуре не выше 30°C, повторно гранулировали и просеивали через сито (отверстия 2 мм).

В качестве упаковки нами предлагается использовать пакеты–саше, которые предохраняют гранулы от воздействия солнечного света и исключают проникновение влаги внутрь.[4, 5]

Выводы. Экспериментально определены товароведческие, технологические и фармакогностические показатели листьев альфредии поникшей. Проведены исследования и выбраны условия экстрагирования сырья: соотношение фаз и число ступеней экстракции. С целью наиболее полного извлечения экстрактивных веществ, разработана технология постадийной экстракции (метод реперколяции) различными растворителями. Разработаны дизайн технологии полиэкстракта сухого и состав гранул на его основе.

Список литературы:

1. Влияние экстрактов альфредии поникшей на поведение, память и работоспособность в эксперименте /Мустафин Р.П. [и др.] //Экспериментальная и клиническая фармакология. 2010. Т. 73. № 1. С. 16-18.
2. Изучение антирадикального и антиоксидантного действия экстрактов из листьев альфредии поникшей (*Alfredia cernua* L.) /Компанцев Д.В. [и др.] //Здоровье и образование в XXI веке. 2019.Т.21. №4. С.29-34.
3. Изучение технологических показателей листьев альфредии поникшей (*Alfredia cernua* L.) с целью выбора условий экстрагирования /Семёнова Н.Н. [и др.] //Здоровье и образование в XXI веке. 2018. Т.20. №10. С.106-110.
4. Разработка технологии гранул на основе полифракционного экстракта листьев альфредии поникшей (*Alfredia cernua* L.) /Семёнова Н.Н. [и др.] // Пульс. 2022. Т.24, № 2. С.47-55.
5. Руководство по биофармации к практическим занятиям: учеб. пособие для студентов специальности фармация /Компанцев Д.В., Шаталова Т.А., Мичник О.В., Мичник Л.А., Привалов И.М. Ставрополь: Ставролит, 2021. 296 с.

СИМУТИНА А.С., КУЗЬМИНА Е.С., УСПЕНСКАЯ Е.В.
**ДИНАМИКА ДИСПЕРСНЫХ СВОЙСТВ МОЛЕКУЛЯРНЫХ
РАСТВОРОВ ЛЕВОФЛОКСАЦИНА ПРИ ПРОИЗВЕДЁННОМ НА
ПОРОШОК СУБСТАНЦИИ МЕХАНИЧЕСКОМ ВОЗДЕЙСТВИИ**

*Российский университет дружбы народов., г. Москва
e-mail: simutina.nastia@yandex.ru*

SIMUTINA A.S., KUZMINA E.S., USPENSKAYA E.V.
**DYNAMICS OF DISPERSION PROPERTIES OF LEVOFLOXACIN
MOLECULAR SOLUTIONS UNDER MECHANICAL IMPACT ON
A SUBSTANCE POWDER**

*RUDN University, Moscow
e-mail: simutina.nastia@yandex.ru*

Аннотация: Механохимическое воздействие изменяет морфологию частиц путем накопления дефектов. Методами DLS и SLS показано увеличение доли размерной группы частиц субмикронного размера. На основании увеличения выживаемости клеточного биосенсора в растворах образцов механоактивированного левофлоксацина зафиксировано снижение биотоксичности.

Ключевые слова: левофлоксацин, механохимия, дисперсные свойства, spirotex, динамическое рассеяние света.

Abstract: Mechanochemical action changes the morphology of particles by accumulating defects. The DLS and SLS methods show an increase in the proportion of the size group of submicron particles. Based on the increase in the survival of the cell biosensor in solutions of mechanoactivated levofloxacin samples, a decrease in biotoxicity was recorded.

Keywords: levofloxacin, mechanochemistry, disperse properties, spirotex, dynamic light scattering

Введение. Переход вещества в область пластических деформаций, инициированный высокоинтенсивным механическим воздействием с последующим перераспределением энергии внутри кристаллической структуры, изменяет морфологию частиц и, как следствие, биологические свойства субстанции [1]. Данный факт делает возможным репозиционирование левофлоксацина ввиду недавно обнаруженной противораковой активности фармацевтической субстанции [2].

Цель исследования. Изучить динамику дисперсных свойств молекулярных растворов механоактивированных образцов левофлоксацина полугидрата с различным временем произведенного высокоинтенсивного механического воздействия.

Материалы и методы исследования. Объектом исследования выступил левофлоксацин полугидрат. Были проанализированы растворы 8

механоактивированных образцов левофлоксацина с различными временами выгрузки в диапазоне от $t=0$ мин до 21 мин. Механическое воздействие на субстанцию было произведено в ножевой мельнице роторного типа «Stegler LM-250» мощностью 1300 Вт и скоростью вращения 28000 об/мин. Дисперсный анализ исследуемых образцов проводили в одноразовых пластиковых кюветах на анализаторе Malvern серии ZetaSizer Nano ZS. Для определения гранулометрического состава дисперсной фазы до и после механохимического воздействия методом статического рассеяния света (SLS) использовали разведения в н-гексане 1:200. Эффект механического нетеплового воздействия на порошок лекарственной субстанции оценивали методом DLS, основанном на анализе броуновского движения частиц дисперсной фазы в дисперсионной среде. Инфузорию *Spirostomum ambiguum* использовали для оценки биологической активности/токсичности исследуемых образцов. В инкубационную, термостатируемую ячейку при $T=24^{\circ}\text{C}$, заполненную 200 микролитрами воды MiliQ, добавляли 100 микролитров 9 мМ водного раствора исследуемой субстанции и немедленно помещали *Sp. ambiguum*. Время гибели клетки фиксировали по последовательным признакам: конвульсии-скручивание-прекращение двигательной активности.

Результаты исследования и их обсуждение. Механохимическое воздействие оказывает влияние на размер, форму электрокинетическую устойчивость и удельную площадь поверхности частиц. Рисунок 1 демонстрирует изменения размера агрегатов в водных растворах левофлоксацина до и после произведенного механического воздействия: все образцы субстанции характеризуются, как неоднородные, полимодальные с низкой рассеивающей способностью в нано- области: $d_1 \sim 1$ нм и $d_2 \sim 100$ нм и высокой рассеивающей способностью в субмикронной области d_3 от 300 до 700 нм.

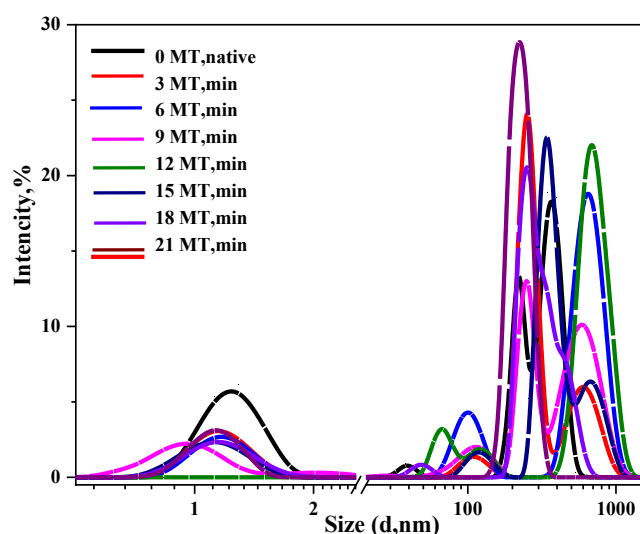


Рис.1. Интенсивность DLS рассеяния размерными группами в нано- и субмикронном диапазонах.

По сравнению с нативной субстанцией доля агрегатов в нанометровом диапазоне снизилась, в то время как возросла доля мицелл размером от 200 до 300 нм (рис.2).

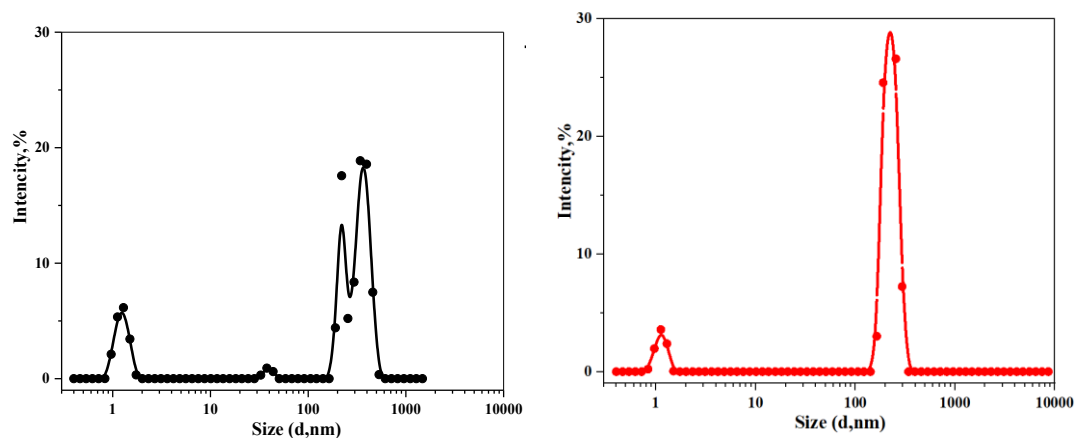


Рис.2. Водный раствор а) исходной субстанции Lvf· 0,5 Н₂О
б) субстанции-выгрузки через 21 минут механического воздействия.

В условиях производимого высокоинтенсивного механического воздействия образующиеся дефекты и примесные атомы, вытесненные из узлов решетки собственными междуузельными атомами, диффундируют к дислокациям, образуя вокруг них «обогащенные» области, которые определяют модификацию свойств твердого тела. Скачкообразные, периодические, антибатные зависимости Z-среднего диаметра частиц от времени механического воздействия (рис. 3) и коллоидной устойчивости (рис.4), выраженной через величины ζ -потенциала демонстрируют укрупнение частиц в молекулярных системах левофлоксацина во время производимого механического воздействия. Резкий подъем амплитуды Z-среднего диаметра частиц наблюдается при $t > 9$ мин с максимумом при $t = 12$ мин произведенного механического воздействия, что соответствует области пластической деформации и упрочнению твердого тела при трибохимическом воздействии.

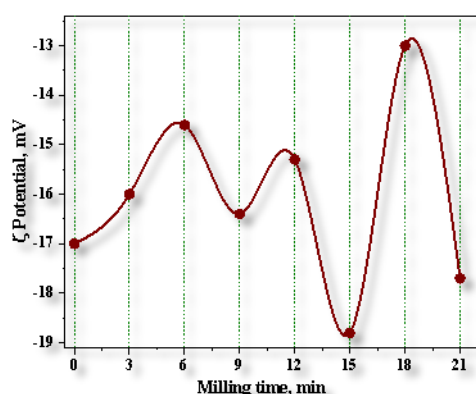
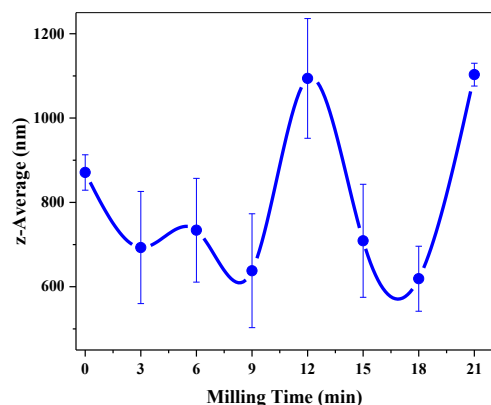


Рис. 3. Зависимость z-среднего диаметра частиц от времени механического воздействия (t, мин).

Рис. 4 Изменение величины ζ -потенциала (mV) во времени при проведении механического воздействия на порошок левофлоксацина.

На рисунке 5 представлена выживаемость клеточного биосенсера инфузории *Sp. ambigua* в водных растворах левофлоксацина с разными временами механической активации в диапазоне от 0 до 21 мин.

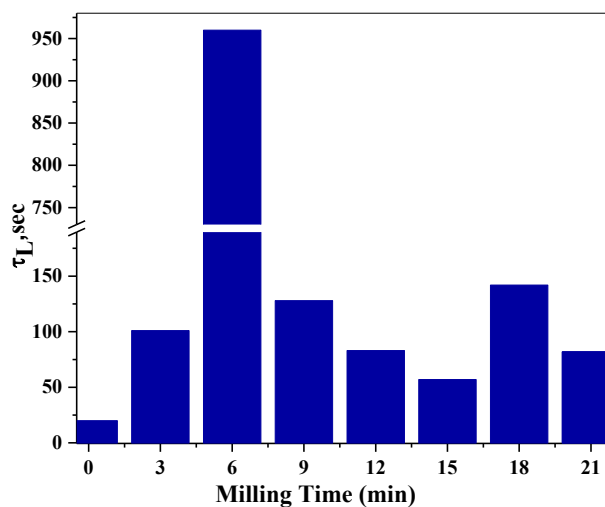


Рис. 5. Зависимость *Sp. ambigua* на природу образцов LvF-Nh в результате высокоинтенсивного механического воздействия.

Наименьшее время жизни соответствует раствору нативной субстанции – гибель клеток фиксировалась в первые 20 секунд инкубации и сопровождалась двигательными ковульсиями. Обращает на себя внимание скачкообразный вид зависимости с периодичными максимумами и минимумами выживаемости клеток. Наибольшее время жизни соответствует механоактивированному образцу с $t=6$ мин, это соответствует переходу из области упругой в область пластической деформации субстанции. Однако, выживаемость клеточного биосенсера в растворах образцов, претерпевших высокоинтенсивное механическое воздействие, в несколько раз превышает выживаемость инфузории в сравнении с раствором нативной субстанции. Этот факт может указывать на снижение токсичности порошков механоактивированной субстанции, что согласуется с литературными данными об утрате лекарственными молекулами фармацевтической активности и токсичности в результате потери важнейших функциональных групп, например, в результате декарбоксилирования [3].

Выводы. Динамика дисперсных свойств растворов левофлоксацина с различным временем механического воздействия характеризуется снижением доли агрегатов в нанометровом диапазоне и увеличением доли мицелл размером от 200 до 300 нм, результаты коррелируют с данными о электрокинетической стабильности коллоидных частиц. Выживаемость клеточного биосенсера в растворах модифицированных образцов левофлоксацина увеличилась в сравнении с нативной субстанции. Снижение токсичности механоактивированных образцов, может открыть новые горизонты применения лекарственного вещества, а также в репозиционировании фармакокинетических и фармакодинамических свойств лекарственной субстанции.

Список литературы

1. Butyagin P.Y. Problems in mechanochemistry and prospects for its development // Russ. Chem. Rev. 1994. Vol. 63, № 12. P. 965–976.
2. Kloskowski T. et al. Ciprofloxacin and Levofloxacin as Potential Drugs in Genitourinary Cancer Treatment—The Effect of Dose–Response on 2D and 3D Cell Cultures // Int. J. Mol. Sci. 2021. Vol. 22, № 21. P. 11970.
3. Salvatore Andini, Adele Bolognese, Domenico Formisano, Michele Manfra, Fabio Montagnaro, Luciano Santoro, Mechanochemistry of ibuprofen pharmaceutical, Chemosphere, Volume 88, Issue 5, 2012, Pages 548-553.

¹ШЕСТОПАЛОВА Н.Б., ¹ФОМИНА Ю.А., ²АДАСКЕВИЧ Д.А.
**АНАЛИЗ СОСТАВОВ ЛЕКАРСТВЕННЫХ ПРЕПАРАТОВ И
БИОЛОГИЧЕСКИ АКТИВНЫХ ДОБАВОК В ЛЕКАРСТВЕННОЙ
ФОРМЕ «ПАСТИЛКИ»**

¹ФГБОУ ВО Саратовский ГМУ им. В. И. Разумовского Минздрава России,
г. Саратов

²ИПКА Лабораториз Лимитед, региональный офис в г. Саратов
e-mail: shestopalovanb@yandex.ru

¹SHESTOPALOVA N. B., ¹FOMINA YU. A., ²ADASKEVICH D. A.
**ANALYSIS OF THE COMPOSITIONS OF MEDICINAL
PREPARATIONS AND BIOLOGICALLY ACTIVE SUPPLEMENTS IN
THE DOSAGE FORM "LOZENGES"**

¹Saratov State Medical University named after V. I. Razumovsky» Ministry of
Health of the Russian Federation, Saratov

²Ipca Laboratories Ltd, regional office Saratov
e-mail: shestopalovanb@yandex.ru

Аннотация. В работе приведены результаты анализа составов лекарственных препаратов и биологически активных добавок в лекарственной форме «Пастилки», представленных на российском фармацевтическом рынке. Установлено, что зарегистрировано 11 наименований пастилок как ЛП, и 362 наименования – БАД. Основные ингредиенты основы – желатин и углеводы. Действующие вещества – микроэлементы, витамины, эфирные масла, экстракты лекарственных растений, вспомогательные – подсластители, антиоксиданты, красители, ароматизаторы, стабилизаторы. Проведенное исследование актуально при разработке технологии изготовления новых ЛП.

Ключевые слова: пастилки, фармацевтический рынок, действующие вещества, вспомогательные вещества.

Abstract: The paper presents the results of the analysis of the compositions of drugs and biologically active additives in the dosage form "Lozenges" presented on the Russian pharmaceutical market. It was established that 11 types of lozenges were registered as medicinal products, and 362 types were registered as dietary supplements. The main ingredients of the base are gelatin and carbohydrates. Active ingredients - trace elements, vitamins, essential oils, extracts of medicinal plants, auxiliary - sweeteners, antioxidants, dyes, flavors, stabilizers. The conducted research is relevant in the development of technology for the manufacture of new drugs.

Keywords: lozenges, pharmaceutical market, active ingredients, excipients.

Пастилки являются одной из лекарственных форм, с помощью которой введение фармакологически активных веществ происходит непосредственно в полость рта, что позволяет исключить эффект пресистемного метаболизма лекарственных веществ (ЛВ) в печени, увеличить их биодоступность и ускорить начало терапевтического действия. Пастилки характеризуются удобством повсеместного применения, не требуют запивания водой, дополнительных приспособлений для доставки лекарственного вещества в организм и стерильных условий.

Цель исследования: сравнительный анализ состава пастилок, представленных на фармацевтическом рынке РФ виде лекарственных препаратов (ЛП) и биологически активных добавок (БАД).

Материалы и методы исследования. В качестве материалов для проведения анализа фармацевтического рынка пастилок использовали данные сайта Государственного реестра лекарственных средств (ГРЛС) [1] и Единого реестра свидетельств о государственной регистрации Евразийской экономической комиссии (ЕЭК) [2] по ключевому слову «пастилки». Анализ составов проводили по информации, представленной в инструкции по применению ЛП и БАД. Исследование проводилось на основе применения методов сбора и обработки данных с последующим контент-анализом.

Результаты исследования и их обсуждение. В соответствии с Государственной Фармакопеей РФ пастилки представляют собой упруго-пластичную основу с равномерно распределенными в ней действующим веществом или веществами. Впервые регламентированы нормативные требования к составу, технологии изготовления и качеству пастилок в ОФС «Пастилки» ГФ РФ XIV издания [3].

Установлено, что в ГРЛС зарегистрировано 11 наименований ЛП в лекарственной форме «пастилки» производителей разных стран, среди которых только два российских производителя выпускают ЛП в виде жевательных пастилок, предназначенных для коррекции метаболических процессов и имеющих близкий состав действующих (альбумин черный пищевой, железо (II) сернокислое, лизина гидрохлорид, аскорбиновая кислота и др.) и вспомогательных (сахароза, молоко сгущенное цельное, патока, ванилин) веществ (табл. 1). Следует отметить, что 3 российские компании являются только владельцами регистрационных удостоверений (РУ), а основные стадии производства пастилок размещены на зарубежных производственных фармацевтических площадках.

Анализ составов пастилок зарубежного производства показал, что в качестве действующих веществ вводят как синтетические субстанции, так и экстракты лекарственных растений. Вследствие этого пастилки обладают более широким спектром терапевтического действия:

СЕКЦИЯ 3. Актуальные проблемы фармацевтической технологии и биотехнологии

противовоспалительное, антисептическое, местноанестезирующее, муколитическое, отхаркивающее, бактерицидное, бактериостатическое.

Таблица 1 - Перечень компаний-производителей и торговых наименований пастилок, зарегистрированных в РФ

№ п/п	Наименование компании производителя	Страна	Торговое наименование ЛП	Действующие вещества
1	ООО «Возрождение и Развитие»	Россия	Гематоген Л, Гематоген С, Гематоген новый	Гематоген
2	ОАО "Фармстандарт-Лексредства"	Россия	Гематоген ВИТАкомплекс	Гематоген
3	Др. мед. Ауфдермаур АГ	Швейцария (РУ-Россия)	Эвкалипт-М	Экстракты ЛР
4	Др. мед. Ауфдермаур АГ	Швейцария (РУ-Россия)	Анти-Ангин Формула	Тетракаин, Хлоргексидин, Аскорбиновая кислота
5	Хербион Пакистан Прайвет Лимитед	Пакистан	Линкас® Лор	Экстракты ЛР
6	Болдер Арцнаймиттель ГмбХ и Ко.КГ	Германия	Лазолван®	Амброксол
7	Опелла Хелскеа Польша Сп. з. о. о.	Польша	Бронхикум® С	Тимьяна обыкновенного травы экстракт
8	Джепак Интернейшенл	Индия	Горпилс®	Амилметакре- зол, Дихлорбензи- ловый спирт
9	Юник Фармасьютикал Лабораториз	Индия (РУ-Россия)	Доктор Мом® растительные пастилки от кашля	Экстракты ЛР

В реестре Евразийской Экономической Комиссии (ЕЭК) зарегистрировано 362 наименования БАД в форме «пастилки». Основную долю производителей составляют также иностранные компании (72%), из них 34% производятся в странах ЕС. На долю российских компаний приходится всего 28% наименований пастилок.

В отличие от ЛП БАД в форме пастилок содержат витамины, экстракты растений, эфирные масла, концентраты соков, аминокислоты,

микро- и макроэлементы. Наибольшее количество наименований БАД содержат витамины (49%) и смеси витаминов с экстрактами (21%). На долю БАД, содержащих экстракты приходится 8%. Остальные пастилки содержат различные сочетания экстрактов и витаминов с эфирными маслами, микроэлементами и аминокислотами.

Анализ составов пастилок показал, что основа пастилок состоит из белков (желатин) и углеводов (глюкоза, сахароза, лактоза, крахмал, циклодекстрин, пектин и др.), которые используют как в виде монокомпонентов, так и в виде смесей (рисунок). Как видно из представленных диаграмм как у ЛП, так и БАД преобладают углеводные основы.



Рисунок – Диаграммы распределения основных компонентов основ пастилок (А – ЛП, Б – БАД)

Сравнительный анализ углеводных основ показал, что 83% ЛП содержат смеси моно- и дисахаридов (глюкоза, сахароза), 17% – только сахарозу. Состав углеводных основ пастилок БАД более разнообразный: 43% наименований содержат одновременно моно-, ди- и полисахариды, 40% – ди- и моносахариды.

Таблица 2 - Вспомогательные вещества в пастилках

Группа ВВ	ЛП	БАД
Красители	Кармин красный, красители растительные из экстракта листьев крапивы и шпината, желтый «солнечный закат», кармин, куркумин	Хинолиновый желтый, триарилметановый краситель, кармин, куркумин, желтый «солнечный закат»
Ароматизаторы	«медовый», «натуральные масла», «мятный»	«апельсин», «манго-лайм»
Стабилизаторы	Метилпарагидроксибензоат, Пропилпарагидроксибензоат	Цитрат натрия, метилпарагидрокси-бензоат
Регуляторы кислотности	Кислота лимонная, винная	Кислота лимонная, винная

В состав пастилок входят вспомогательные вещества (ВВ), выполняющие различные технологические функции (табл. 2). Из представленных данных видно, что как в ЛП, так и в БАД входят идентичные вспомогательные вещества.

Выводы. Проведенное исследование показало, необходимость расширения ассортимента лекарственных пастилок отечественного производства. В состав основ пастилок входят широко применяемые в пищевом производстве и доступные на российском рынке ингредиенты, что обуславливает перспективность разработки технологий создания новых перспективных систем доставки фармакологически активных веществ.

Список литературы

1. Государственный реестр лекарственных-средств [Электронный ресурс]: <http://www.grls.rosminzdrav.ru/> (дата обращения 25.05.2023)
2. Единый реестр Евразийской Экономической Комиссии [Электронный ресурс]: <https://portal.eaeunion.org/sites/odata> (дата обращения 17.01.2023)
3. Пастилки (ОФС.1.4.1.0032.18) // XIV Государственная Фармакопея Российской Федерации. Том II. – Москва, 2018. – С. 2031–2033.

¹ШКОЛЬНИКОВА М.Н., ²РОЖНОВ Е.Д.

К ВОПРОСУ СНИЖЕНИЯ ФАРМАЦЕВТИЧЕСКИХ ОТХОДОВ В СФЕРЕ ПОТРЕБЛЕНИЯ

¹Уральский государственный экономический университет,
г. Екатеринбург

²Бийский технологический институт (филиал) Алтайского
государственного технического университета им. И.И. Ползунова, г.
Бийск

e-mail: shkolnikova.m.n@mail.ru

¹SHKOLNIKOVA M.N., ²ROZHNOV E.D.

WAYS TO REDUCE PHARMACEUTICAL WASTE IN THE FIELD OF CONSUMPTION

¹Ural State University of Economics, Yekaterinburg

²Biysk Institute of Technology (branch)
of the Polzunov Altai State Technical University, Biysk

e-mail: shkolnikova.m.n@mail.ru

Аннотация: В статье приведены источники загрязнения различных частей биосферы. Предложены действия изготовителей, продавцов и конечных потребителей по уменьшению фармацевтических отходов в сфере потребления.

Ключевые слова: загрязнение, фармацевтические отходы, сфера потребления.

Abstract: The article presents the sources of pollution of various parts of the biosphere. The actions of manufacturers, sellers and end users to reduce pharmaceutical waste in the field of consumption are proposed.

Keywords: pollution, pharmaceutical waste, consumer sphere.

Увеличению средней продолжительности жизни людей способствует качественная организация охраны общественного здоровья, повышение уровня доступности медицинских услуг и наличие зарегистрированных лекарственных препаратов. Фармацевтическая отрасль является одной из высокотехнологичных отраслей экономики, развитию которой государство уделяет приоритетное значение (особенно в условиях распространения коронавирусной инфекции COVID-19) и в настоящее время российский фармацевтический рынок относится к одному из быстроразвивающихся и занимает 14 место в мире [1].

Так, по данным DSM Group, в 2022 г объем фармацевтического рынка России вырос на 11,9 % по сравнению с 2021 г и составил 2,6 трлн руб. При этом, по данным аналитических агентств, в структуре рынка доля российских лекарственных препаратов увеличилась с 24,3 % в 2009 г до 34,9 % в 2020 г. По данным Росстата, в 2009 г объем производства лекарственных препаратов в стоимостном выражении составлял 96 млрд руб., в 2020 г достиг – 485,75 млрд руб. с приростом 406 % [3].

Несмотря на нормативно-правовое и организационное обеспечение природопользования, рост объемов производства лекарственных средств и потребления лекарственных препаратов неизбежно приводит к негативным последствиям, сформировавшим экологическую проблему планетарного масштаба, – эмиссионное загрязнение биосферы.

На сегодняшний день довольно подробно описаны состав и концентрация основных фармацевтически активных, метаболических, ксенобиотических и других химических веществ веществ-загрязнителей и пути их проникновения в окружающую среду.

Цель настоящего исследования – систематизировать и обобщить источники загрязнения биосферы при производстве лекарственных средств и потреблении лекарственных препаратов.

Методами исследования послужили общенаучные аналитические методы: тематический поиск, систематизация, обобщение и анализ информации.

Результаты и их обсуждение. Изучение и анализ составляющих элементов сферы производства, обращения и потребления лекарственных средств позволили систематизировать источники фармацевтического загрязнения и охарактеризовать сферу их воздействия, что обобщено авторами в табл. 1.

Таблица 1 – Источники загрязнения биосферы при производстве и потреблении лекарственных средств и препаратов [4]

Источник	Загрязняемая часть биосферы	Причина	Распространение
Фармацевтические предприятия и исследовательские центры, занимающиеся созданием и испытанием новых фармацевтических препаратов	Вода Воздух Почва	Неадекватная очистка сбросов и выбросов; неэффективные меры по утилизации твердых фармацевтические отходы и их производных; аварии и чрезвычайные ситуации	В местах локации фармацевтических, химических предприятий и исследовательских центров
Медицинские учреждения и аптеки	Вода Почва (через свалки и полигоны для твердых бытовых отходов)	Сточные воды медицинских учреждений, содержащие в 15 раз больше загрязнителей (токсичных веществ) чем сточные воды жилых и общественных зданий; неэффективная, а порой не соответствующая требованиям, утилизация медицинских отходов 2-4 классов; неадекватная утилизация лекарственных препаратов разных форм с истекшим сроком годности	В местах локации больниц, поликлиник, аптек с большей концентрацией в мегаполисах и крупных населенных пунктах
Промышленное и фермерское содержание сельскохозяйственных животных и птиц	Почва Вода	Отходы жизнедеятельности животных и птиц, в содержании которых используются лекарственные препараты, в том числе антибиотики	В местах локации ферм и фабрик по выращиванию сельскохозяйственных животных и птиц
Потребители лекарственных препаратов (физические лица)	Вода Почва (через свалки и полигоны для твердых бытовых отходов)	Самостоятельная утилизация лекарственных препаратов разных форм с истекшим сроком годности; канализационные стоки с результатами метаболизма и остатками лекарств с естественными продуктами выделения человеческого организма	Повсеместная, более выражено в мегаполисах и крупных населенных пунктах

Стоит отметить, что заключительный источник фармацевтических отходов, приведенный в табл. 1, исключается из потока регламентированно утилизируемых ввиду ряда причин, основными из которых являются:

- самостоятельная утилизация лекарственных препаратов с истекшим сроком годности и/или невостребованных без учета их физико-химических свойств – либо присоединение к твердым бытовым отходам, либо слив жидких лекарств в канализацию;

- присоединение потребительской упаковки к твердым бытовым отходам.

Как правило, в домохозяйствах не задумываются о надлежащей утилизации лекарств и их упаковке, в том числе ввиду незнания правил. Вместе с тем, в августе 2022 г Минздрав РФ четко обозначил статус просроченных лекарственных препаратов: в аптеке они относятся к медицинским отходам, а дома у потребителей – к бытовым, то есть и утилизируются как бытовые отходы домохозяйств. Тогда как в некоторых странах имеются пункты сбора отходов лекарственных препаратов, образующихся у населения: в Австрии, Бельгии, Чехии, Германии и др. – местами сбора отходов определены аптеки, в Хорватии – поликлиники и аптеки в Хорватии [2].

Выводы. Таким образом, исходя из вышесказанного и изучив мировой опыт снижения техногенной нагрузки на почву и водные ресурсы в сфере потребления [2, 5] авторами предлагается ряд действий, направленных на уменьшение отходов населением – конечными потребителями лекарственных средств (табл. 2).

Таблица 2 – Комплекс действий по уменьшению фармацевтических отходов в сфере потребления

Действия, выполняемые:		
фармацевтическими предприятиями	Аптеками и поликлиниками	потребителями
– использовать по возможности упаковку из нетоксичных и безвредных материалов; – в инструкции по использованию лекарственных средств приводить рекомендации по утилизации как самих	– просветительская работа по надлежащим условиям хранения, использования и утилизации невостребованных лекарственных препаратов и/или с истекшим сроком годности; – рецептурный отпуск	– приобретать лекарственные препараты разумно по мере надобности, без запаса; – невостребованные лекарственные препараты и/или с истекшим сроком годности не утилизировать самостоятельно (присоединяя к твердым бытовым отходам, сливая в канализацию и т.д.), а

<p>неиспользованных лекарственных средств, так и их первичной упаковки.</p>	<p>лекарственных препаратов; – установка контейнеров / экокбосов для сбора лекарственных препаратов с истекшим сроком годности</p>	<p>сдавать в аптеки для надлежащей их утилизации; – первичную упаковку утилизировать по приведенным в инструкции указаниями.</p>
---	--	--

На сегодняшний день схема сбора не подлежащих использованию лекарственных препаратов не разработана, а сбор просроченных препаратов у населения так и не стал обычной практикой для аптек ввиду финансовых затрат и отсутствия юридического обоснования. Известен лишь один развивающийся проект АО «Губернские аптеки» (Красноярский край): за период 2021–2022 г собрано и утилизировано более 2 т просроченных лекарств в 46 пунктах столицы края и крупных населенных пунктах. Кроме того, запущен пилотный проект по сбору и утилизации аптечной стеклотары. Также известен опыт установки аналогичных контейнеров в поликлиниках столицы Республики Беларусь (рис. 1).



г. Красноярск



г. Минск

Рисунок 1 – Контейнеры для сбора просроченных лекарственных средств и аптечной тары

Список литературы

1. Панфилова Е.Е. Ключевые тенденции развития фармацевтической отрасли в условиях цифровизации // Московский экономический журнал. 2021. № 1. С. 305-318.
2. Тухбатуллина Р.Г., Хабибулин И.Р. Разработка системы управления фармацевтическими отходами лекарственных средств, об-

разующимися в процессе обращения у населения, в Республике Татарстан // Ремедиум. 2021. № 4. С. 94–97. doi:10.32687/1561-5936-2021-25-4-94-97

3. Фармрынок-2023: потенциал для роста. Доступно по: <https://rosapteki.ru/stati/farmklass/farmrynok-2023-potentsial-dlya-rosta/>.

Ссылка активна на 01.02.2023 г.

4. Belov V., Komandresova N., Samarkin A. Specialized ecological polygon as one of the tools to reduce pharmaceutical pollution of the environment ARCTIC-2020 IOP Conf. Series: Earth and Environmental Science 678. 2021. 012011 IOP Publishing. doi:10.1088/1755-1315/678/1/012011.

5. Shuling W., Mingzheng W., Chang Y. Development Strategy of Green Marketing of Pharmaceutical Enterprises against the Background of Building a Beautiful China / Asian Journal of Social Pharmacy. 2022. Vol.17 (3). Pp.260–267.

ШТОКАЛЕНКО В. Р.

**АКТУАЛЬНЫЕ ПРОБЛЕМЫ ПЕРЕХОДА ФАРМАЦЕВТИЧЕСКОЙ
ПРОМЫШЛЕННОСТИ НА ИННОВАЦИОННУЮ МОДЕЛЬ РОСТА**

*ГБОУВО РК «Крымский инженерно-педагогический университет имени
Февзи Якубова» г. Симферополь
vshtokalenko04@mai.ru*

SHTOKALENKO V. R.

**ACTUAL PROBLEMS OF THE TRANSITION OF THE
PHARMACEUTICAL INDUSTRY TO AN INNOVATIVE GROWTH
MODEL**

*GBOUVO RK "Crimean Engineering and Pedagogical University named after
Fevzi Yakubov" Simferopol
vshtokalenko04@mai.ru*

Аннотация: В статье исследованы тенденции развития инновационных процессов на мировом фармацевтическом рынке. Было доказано, что фармацевтическая промышленность зарубежных стран характеризуется формированием крупного диверсифицированного инновационного производства. Были проанализированы причины, которые приводят к развитию процессов концентрации в области исследований и разработок (R&D) в фармации. Были определены основные направления повышения инновационной активности отечественных субъектов фармацевтического рынка.

Ключевые слова: фармацевтическая промышленность, фармацевтический рынок, инновационные процессы, исследования и разработки, лекарственные средства.

Abstract: The article examines the trends in the development of innovative processes in the global pharmaceutical market. It has been proved that the pharmaceutical industry of foreign countries is characterized by the formation of a large diversified innovative production. The reasons that lead to the development of concentration processes in the field of research and development (R&B) in pharmacy were analyzed. The main directions of increasing the innovative activity of domestic pharmaceutical market entities were identified.

Keywords: pharmaceutical industry, pharmaceutical market, innovative processes, research and development, medicines.

Из эпохи, когда фармацевтические компании получали основной доход от продажи ограниченного количества лекарств массового спроса, они переходят в новую эру с новой маркетинговой стратегией, основанной на производстве широкого ассортимента лекарств, предназначенных для узкой группы потребителей, включая препараты, предназначенные для людей с определенным возрастом. тип генетического кода. Высокий научный потенциал фармацевтического производства и, как следствие, высокая информативность современного фармацевтического рынка определяют его высокую насыщенность, что затрудняет реализацию лекарственных средств и, следовательно, обостряет конкурентную борьбу. Это, в свою очередь, побуждает производителей лекарств к дальнейшей активизации инноваций, которые рассматриваются как важнейший фактор конкурентоспособности. Согласно международному опыту, ключевыми направлениями реализации стратегии инновационного развития национальной фармации могут быть:

1. Стратегия “наращивания”, которая предполагает использование собственного научно-технического потенциала и привлечение зарубежного опыта. Рациональное сочетание результатов фундаментальной и прикладной науки постепенно повышает конкурентоспособность отечественных лекарственных средств и развивает высокие технологии их производства.

2. Стратегия “заимствования” заключается в том, чтобы использовать научно-технический потенциал национальной фармации, развивать высокотехнологичное фармацевтическое производство, которое ранее производилось в развитых странах. В будущем, при формировании достаточного инновационного потенциала, может произойти модернизация для увеличения производства инновационных лекарственных препаратов на собственных мощностях.

3. Стратегия “трансфера”, которая заключается в использовании зарубежных научно-технологических возможностей путем приобретения

лицензий на высокие технологии для производства новых поколений лекарственных средств, пользующихся спросом в зарубежных странах.

Сегодня фармацевтическая промышленность является одной из самых прибыльных отраслей, но она также является одной из самых “затратных” и наукоемкие отрасли промышленности.

Развитие научно-исследовательского сегмента мирового фармацевтического рынка очень неоднородно географически. Пальма первенства по количеству фармацевтических компаний, работающих в сегменте исследований и разработок, принадлежит Соединенным Штатам. На него приходится половина всех научно-исследовательских работ в мире фармации. Прогнозируется, что в ближайшем будущем затраты на разработку новых лекарств в США составят около 83 миллиардов долларов. На долю европейских стран приходится 26% фармацевтических компаний, работающих в сегменте исследований и разработок. В условиях растущей конкуренции со стороны дженериков фармацевтическая промышленность сталкивается с необходимостью разработки нового стратегического направления развития – биотехнологии, которое дает компаниям долгосрочную перспективу. [1]

Как показали исследования, для фармацевтической промышленности зарубежных стран характерно формирование крупного диверсифицированного инновационного производства. Основной движущей силой глобального инновационного процесса в фармации являются крупные транснациональные компании (ТНК). Иными словами, ТНК, обладающие значительными интеллектуальными и финансовыми ресурсами, могли бы обеспечить технологический прорыв. В борьбе за технологическое лидерство фармацевтические ТНК активно используют патенты, ноу-хау, товарные знаки, авторские права. Однако неоспоримым фактом является то, что эффективность инновационного процесса в фармации может быть обеспечена только при оптимальном сочетании малого бизнеса и крупных компаний. Это позволяет поддерживать высокие темпы научно-технического прогресса. Однако инновационные технологии и продукты используются при наличии квалифицированных специалистов, достаточных финансовых ресурсов и эффективной организации продаж. Эти условия обеспечиваются в первую очередь концентрацией, сотрудничеством и слияниями фармацевтических компаний (ПК).

Таким образом, одной из основных тенденций, определяющих структуру мирового фармацевтического рынка за последние 20 лет, является консолидация субъектов фармацевтической промышленности. Сегодня процессы концентрации специфичны для фармацевтической промышленности, объективно определяются такими факторами.

1. Ведущие ФТС вкладывают ненормированный капитал в проведение НИОКР для обеспечения своей конкурентоспособности.

2. Повышение эффективности продаж за счет снижения затрат, связанных с их организацией. [2]

Следует отметить, что крупные компании способны полностью амортизировать затраты на технологию платформы, а некоторые платформы имеют “высокий порог окупаемости”. Кроме того, более широкий портфель исследований снижает риск нестабильности научно-производственной цепочки и дает компаниям больше шансов на случайные открытия.

Таким образом, создание мощных фармацевтических инновационных кластеров может стать важным фактором в конкуренции с крупнейшими зарубежными фармацевтическими корпорациями на внутреннем рынке страны. Такие образования обладают большими возможностями в плане решения институциональных и структурных реформ, основанных на интеграции финансового и промышленного капитала, развитии отношений, касающихся управления собственностью, новых организационно-экономических рыночных структур, ориентированных на повышение научно-технического и экспортного потенциала фармацевтической промышленности и синергетический эффект бизнеса. Инновационная модель роста отечественной фармацевтической промышленности также возможна при условии, что государство возьмет на себя основное бремя запуска инновационного цикла в отрасли с последующим увеличением финансирования НИОКР за счет промышленности. Ключом к успешной реализации этой модели является: - решение кадровых вопросов; - создание рынка инновационных проектов (прослойка малых инновационных предприятий между наукой и промышленностью); [3]

- массовое увеличение государственных и частных инвестиций в НИОКР по импортозамещению;

- масштабная технологическая модернизация и развитие фармацевтического производства в соответствии с международными стандартами; - повышение уровня инновационной активности субъектов фармацевтического рынка;

- использование зарубежного научно-технического, технологического и производственного потенциала путем привлечения прямых иностранных инвестиций в производство и разработку инновационных лекарственных средств. [4]

Несмотря на различные подходы, общим для этих учреждений является то, что они играют ключевую роль в своих странах в определении приоритетных направлений исследований при разработке новых лекарственных средств. В сферу их компетенции входит создание и поддержка инфраструктуры исследовательских центров, формирование пула и конкурсный отбор исследователей, распределение финансирования на исследования и другие.

Переход отечественной фармацевтической промышленности на инновационную модель роста направлен на организацию производства высокотехнологичной фармацевтической продукции, это значительно повысит ее конкурентоспособность и будет способствовать конкуренции с зарубежными фармацевтическими производителями, как на внутреннем, так и на внешнем рынках. Это придаст новый импульс развитию отечественной фармацевтической науки и, таким образом, повысит эффективность фармакологической поддержки населения. [5]

Для достижения поставленной цели потребуется достаточное количество высококвалифицированных сотрудников, способных проводить фундаментальные исследования с использованием высокотехнологичного и высокопроизводительного оборудования и передовых методов молекулярной биологии, обладать сформированными навыками коммерциализации научных результатов и их внедрения на практике. Выбор стратегии перехода отечественной фармацевтической промышленности на инновационную модель роста должен учитывать как существующие материально-технические ресурсы, так и способность фармацевтического рынка к переходу на инновационный путь развития.

Список литературы

1. Гроссман В.А. Фармацевтическая технология лекарственных форм / Гроссман В.А. - М.: ГЭОТАР-Медиа, 2020. - 87 с. - ISBN 978-5-9704-5345-2 - URL: <http://www.medcollegelib.ru/book/ISBN9785970453452.html>
2. Майзлиш В. Е., Румянцева Т. А. [check_circle_outline](#). Технология и оборудование химико-фармацевтической промышленности. Таблетки: учебное пособие. Ивановский государственный химико-технологический университет. 109 стр. Год 2020
3. Наркевич, И. А. Организация и управление фармацевтической деятельностью : учебное пособие / под ред. И. А. Наркевича. - Москва : ГЭОТАР-Медиа, 2020. - 128 с. - ISBN 978-5-9704-5437-4. - Текст : электронный // URL : <http://www.medcollegelib.ru/book/ISBN9785970454374.html>
4. Организация фармацевтической деятельности : учебник для вузов / Е. Е. Чупандина, Г. Т. Глембоцкая, О. В. Захарова, Л. А. Лобутева. — Москва : Издательство Юрайт, 2023. — 115 с. — (Высшее образование). — ISBN 978-5-534-13524-4. — Текст : электронный // Образовательная платформа Юрайт [сайт]. — URL: <https://urait.ru/bcode/518781>
5. Сергеев Ю.Д. Основы права / Ю.Д. Сергеев - М.: ГЭОТАР-Медиа, 2018. - 204 с.

НОВОЕ В ФАРМАКОЛОГИЧЕСКИХ ИССЛЕДОВАНИЯХ ЛЕКАРСТВЕННЫХ СРЕДСТВ

АКБАЕВ Р.М., ЗОЛОТУХИНА А.А., МИНЬКОВА О.А.
ХЕЙЛЕТИЕЛЛЕЗ СОБАК

(ACARI:TROMBIDIFORMES:CHEYLETIDAE)

¹*Московская государственная академия ветеринарной медицины и биотехнологии имени К.И. Скрябина, г. Москва*
e-mail: acbay@yandex.ru

AKBAYEV R.M., ZOLOTUCHINA A.A., MINKOVA O.A.

CHEYLETIELLOSIS OF DOGS

(ACARI:TROMBIDIFORMES:CHEYLETIDAE)

Moscow State Academy of Veterinary Medicine and Biotechnology – MBA
named after K.I. Scryabin, Moscow
e-mail: acbay@yandex.ru

Аннотация: в научной работе представлены результаты изучения некоторых аспектов эпизоотической ситуации по хейлетиеллезу собак, содержащихся в квартирных условиях на территории города Москвы. В результате проведенных исследований установили, что из 473 обследованных собак у 19 был диагностирован хейлетиеллез, вызванный тромбидиформными клещами вида *Cheyletiella jascuri*. Таким образом, экстенсивность инвазии составила 4%. Инсектоакарицидное средство в форме капель при однократном применении показало 100%-ную эффективность для лечения собак.

Ключевые слова: хейлетиеллез собак, *Cheyletiella jascuri*, клещи, терапия, капли на холку.

Abstract: the scientific work presents the results of studying some aspects of the epizootic situation for cheyletiellosis in dogs kept in apartment conditions on the territory of the city of Moscow. As a result of the research, it was found that out of 473 examined dogs, 19 were diagnosed with cheyletiellosis caused by trombidiform mites of the *Cheyletiella jascuri* species. Thus, the extensiveness of invasion was 4%. Insectoacaricidal agent in the form of drops with a single application showed 100% efficacy for the treatment of dogs.

Keywords: canine cheyletiellosis, *Cheyletiella jascuri*, mites, therapy, drops on withers.

Паразит и хозяин тесно взаимосвязаны между собой, что обеспечивает выживаемость паразита, с одной стороны, и повреждаемость хозяина, с другой стороны. Отсюда вытекает два аспекта и понимания – это паразитарная инвазия и паразитоз, ибо профилактические и лечебные мероприятия соответственно будут разные [4,5]. Паразитарная инвазия – это не всегда паразитоз. Чтобы применить эффективные химиопрепараты

или средства борьбы с возбудителями паразитарных заболеваний, следует экстраполировать данные аспекты и на болезни, вызываемые клещами и насекомыми.

Акарозы и энтомозы широко распространены среди сельскохозяйственных и домашних плотоядных животных [1-3].

Для борьбы с возбудителями акароза используются разные инсектоакарицидные средства, которые были применены и в наших исследованиях. Отмечено, что к редко встречающимся болезням собак можно отнести хейлетиеллез. Хейлетиеллёзом болеют собаки, кошки, а также кролики. Каждому виду животных соответствует свой вид хейлетиелл.

Хейлетиеллез собак — это паразитарная (акарозная) болезнь, вызываемая тромбидиформными клещами, относящимися к семейству Cheyletidae (Leach, 1815) и виду *Cheyletiella jascuri* (Megnin, 1878).

В научной литературе описаны случаи кратковременного паразитирования клещей хейлетиелл на теле людей. Причем типичным проявлением хейлетиеллеза у людей являются множественные мелкие папулы и зуд.

Диагноз на хейлетиеллез собак устанавливают на основании клинических признаков и подтверждают при микроскопии патологического материала и обнаружении хейлетиелл на разных стадиях развития.

Цель исследования. В настоящей работе мы поставили перед собой цель изучить некоторые аспекты эпизоотической ситуации по хейлетиеллезу собак, содержащихся в квартирных условиях г. Москвы. Выяснить экстенсивность и интенсивность инвазии (степень поражения) больных хейлетиеллезом собак, а также выявить эффект лечения инсектоакарицидами.

Материалы и методы исследования. Исследовательскую работу провели в период с 2021 по май 2023 года. Акарологическому обследованию подвергли 473 собаки разных возрастов, породистых, помесных и беспородных, содержащихся в условиях квартир разных административных округов города Москвы. Предварительный диагноз устанавливали на основании симптомов и клинической картины (зуд, расчесы, образование перхоти и чешуек на коже) при осмотре животных, а подтверждали при микроскопии счесов с кожно-волосного покрова животных и обнаружении клещей хейлетиелл на разных стадиях развития. От каждого животного брали счесы с трех участков тела, в последующем помещали их в целлофановый пакетик, этикетировали и отвозили для дальнейших исследований на кафедру паразитологии и ветеринарно-санитарной экспертизы ФГБОУ ВО МГАВМиБ-МВА имени К.И. Скрябина. Подсчитывая количество хейлетиелл в пробах счесов от каждой собаки, определяли интенсивность инвазии (степень поражения).

Для терапии больных хейлетиеллезом собак использовали инсектоакарицид в форме капель на холку. Обработку животных проводили, нанося его непосредственно на кожу, раздвигая шерсть в области холки. Для крупных собак массой тела более 20 кг содержимое пипетки распределяли на несколько точек тела вдоль позвоночника.

Результаты исследований. В результате проведенных обследований и микроскопии счесов с кожно-волосяного покрова от 473 собак диагноз на хейлетиеллез был подтвержден у 19 животных. Таким образом, экстенсивность инвазии (ЭИ) составила 4%. Возраст больных животных был от 8 месяцев до 17 лет.

Интенсивность инвазии (степень поражения) у животных была различна. У 3 животных при микроскопии счесов с трех участков тела было обнаружено в среднем до 40 клещей хейлетиелл (средняя степень поражения). При осмотре собак мы отметили умеренный зуд и расчесы на коже по бокам тела, а также перхотевидные высыпания на коже вдоль позвоночника. Больные животные часто оглядывались назад и пытались дотянуться до зудящих участков кожи в области спины. На коже больных животных отчетливо были видны струпья и корочки. У остальных 16 животных при микроскопии счесов с трех участков тела были обнаружены единичные особи клещей (слабая степень поражения). Клиническая картина и симптомы болезни практически не проявлялись.

Эффект от использования инсектоакарицидного средства в виде капель оказался положительным. При исследовании счесов с кожно-волосяного покрова собак через 10 и 14 суток живых клещей не обнаружили.

В качестве профилактических мероприятий рекомендовали владельцам с целью уничтожения клещей подвергнуть обработке подстилку и лежаки для собак горячим паром, например из парогенератора.

Выводы.

1. На основании проведенных нами исследований мы выяснили, что из 473 собак, содержащихся в условиях квартир города Москвы, у 19 был диагностирован хейлетиеллез, вызванный клещами вида *Cheyletiella jascuri*, что составило 4% экстенсивности инвазии.

2. Степень поражения у больных собак была нами определена как средняя – у трех собак, слабая – у 16 животных.

3. Клиническое проявление болезни характеризовалось зудом, расчесами и шелушением кожи в местах паразитирования клещей.

4. Инсектоакарицидное средство в форме капель при однократном применении показало 100%-ную эффективность для лечения собак, больных хейлетиеллезом. Признаков интоксикации после применения средства не наблюдали.

Список литературы.

1. Акбаев, Р. М. Хемиптероз кур на птицефабриках промышленного типа / Р. М. Акбаев // Ветеринария. – 2010. – № 5. – С. 34-35. – EDN LCMIEZ.
2. Бабичев, Н. В. Паразитологический термин как когнитивно-лингвистический феномен / Н. В. Бабичев, Р. М. Акбаев // Российский ветеринарный журнал. – 2020. – № 1. – С. 5-8. – DOI 10.32416/2500-4379-2020-2020-1-5-8. – EDN XPPPMR.
3. Василевич, Ф. И. Методические положения по борьбе с эктопаразитами сельскохозяйственной птицы / Ф. И. Василевич, Р. М. Акбаев. – Москва : Типография "ТТКП", 2011. – 88 с. – EDN VPOBVP.
4. Начева, Л.В. Паразитарная инвазия и паразитоз // В сб. «Проблемы медицины и биологии», часть 2./ Л.В.Начева, Чернобай Г.Н., Т.А. Штейнпрейс, А. А. Замигулов, Н.В. Крючков, В.А Пельц// Кемерово. 2000. С.79-80.
5. Начева, Л.В. Ксенопаразитарный барьер как защитная реакция при воспалении разного генеза / Л.В.Начева, Т.С. Ткаченко, М.В. Додонов, Е.И.Воробьева, А.В. Басов// журн. «Успехи современного естествознания». – М.: Изд-во Академия естествознания, 2007.-№ 8.-С.58-60.

¹АКБАЕВ Р.М., ¹ЗОЛОТУХИНА А.А., ²НАЧЕВА Л.В.
ФТИРАПТЕРОЗ (ФЕЛИКОЛЕЗ) КОШЕК
[INSECTA:PHTHIRAPTERA:TRICHODECTIDAE]

¹Московская государственная академия ветеринарной медицины и биотехнологии имени К.И. Скрябина, г. Москва

²Кемеровский государственный медицинский университет, г. Кемерово
e-mail: acbay@yandex.ru

¹AKBAYEV R.M., ¹ZOLOTUCHINA A.A., ²NACHEVA L.V.
FTYRAPTEROSIS (FELICOLOSIS) OF CATS
[INSECTA : PHTHIRAPTERA: TRICHODECTIDAE]

¹Moscow State Academy of Veterinary Medicine and Biotechnology – MBA
named after K.I. Scryabin, Moscow

²Kemerovo State Medical University, Kemerovo
e-mail: acbay@yandex.ru

Аннотация: В настоящей работе приведены результаты обследования кошек на фтираптероз, вызываемый *Felicola subrostratus*. В результате из 176 кошек диагноз был установлен у 36 животных. Экстенсивность инвазии составила 21%, а степень поражения - средняя. Зоошампунь, использованный при терапии больных кошек, показал 100% эффективность.

Ключевые слова: кошки, *Felicola subrostratus*, Ftirapterosis, энтомозы, эктопаразиты, зоошампунь, терапия.

Abstract: This paper presents the results of examination of cats for phtyrapterosis caused by *Felicola subrostratus*. As a result, out of 176 cats, the diagnosis was established in 36 animals. The extensiveness of invasion was 21%, and the degree of damage was average. The zoo shampoo used in the treatment of sick cats showed 100% efficiency.

Keywords: cats, *Felicola subrostratus*, Ftirapterosis, entomoses, ectoparasites, zoo shampoo, therapy.

Паразитарных заболеваний насчитывается достаточно много, среди них есть и болезни кошек, которые могут вызывать проблемы у людей в виде аллергических реакций и разных дерматитов. Особое место занимает фтираптероз (феликолез) – энтомозная болезнь кошек, вызываемая мелкими бескрылыми насекомыми, относящимися к отряду Phthiraptera (Haeckel, 1896), (устаревший син. Mallophaga, Nitzsch, 1818), семейству Trichodectidae (Kellog, 1896) и виду *Felicola subrostratus* (Ewing, 1929) [3, 4]. Разумеется, существует ряд инсектоакарицидных средств для борьбы с этим заболеванием. Но прежде, чем лечить, всегда необходимо изучить самих насекомых – возбудителей фтираптероза. В научной литературе часто этих насекомых называют власоеды [3], хотя это название в корне неверно. Феликолы не питаются волосами, а фиксируются на волосе своим сложным, хватательного типа, грызуще-жующим ротовым аппаратом. Питаются же насекомые чешуйками эпидермиса и кровью, выступающей из поврежденного эпидермиса вследствие расчесов животных. Поэтому представителей семейства Trichodectidae, паразитирующих у разных видов животных (крупного и мелкого рогатого скота, собак, кошек, непарнокопытных), считаем более правильно называть волосовики. Волосовики локализуются на разных участках кожно-волосяного покрова тела кошек. Чаще всего на внутренней поверхности тазовых конечностей, в крестцовой области, у корня хвоста и на голове. Феликолез кошек распространен практически повсеместно.

Заражение волосовиками происходит при контакте больных животных со здоровыми, а также через предметы ухода. Болеют животные любого возраста. Распространению болезни способствует антисанитарное состояние помещений, в которых содержатся животные, а также скученное содержание. Кошки, испытывая зуд, беспокоятся, лишаются отдыха, интенсивно вылизывают и расчесывают зудящие участки кожи. При высокой степени инвазии у животных наблюдают гиперкератоз, шерстно-волосяной покров взъерошен, волос частично выпадает. На теле в местах расчесов кожа гиперемирована, слегка отечна. Необходимо помнить, что кошки, вылизывая зудящую кожу, проглатывают насекомых, которые являются промежуточными хозяевами цестод *Dipylidium caninum* [4].

Цель исследования. В своих исследованиях мы решили изучить эпизоотическую ситуацию по фтираптерозу кошек, обитающих в различных условиях на территории некоторых районов Московской и Тульской областей, а также провести ряд лечебных мероприятий.

Материалы и методы исследования. Исследовательскую работу провели в условиях квартир и частного сектора на территории разных районов Московской и Тульской областей, а также кафедры паразитологии и ветеринарно-санитарной экспертизы ФГБОУ ВО МГАВМиБ – МВА имени К.И. Скрябина.

Предварительный диагноз на фтираптероз кошек устанавливали на основании проявления клинической картины и симптомов (частый зуд, вылизывание зудящих участков тела, взъерошенный волосяной покров). Окончательный диагноз устанавливали при микроскопии счесов с кожно-волосяного покрова. От каждого обследуемого животного брали по три счеса с разных участков тела при помощи гребешка с частыми зубчиками. Каждую пробу счесов помещали в отдельный пакетик, этикетировали и отвозили для дальнейших исследований на кафедру. Собранный материал микроскопировали, используя стереоскопический бинокулярный микроскоп МБС-9. Степень пораженности животных волосовиками определяли, подсчитывая количество паразитов, собранных с трех участков тела и интерпретируя по Благовещенскому Д.И. [4].

- Слабая степень поражения – количество волосовиков с трех счесов 1-10 особей;
- Средняя степень поражения – количество волосовиков с трех счесов 11-50 особей;
- Сильная степень поражения – количество волосовиков с трех счесов 51-100 особей.

Слабая степень поражения волосовиками кошек не проявляется клинически. Средняя степень поражения волосовиками кошек характеризуется беспокойством, взъерошенностью волосяного покрова в местах локализации волосовиков. Зуд у больных кошек умеренный. Сильная степень поражения волосовиками кошек характеризуется беспокойством, интенсивным зудом и как следствие - расчесами и ссадинами. При этой форме поражения у больных животных отмечают алопеции на местах скопления паразитов. В качестве терапевтического средства для обработки больных фтираптерозом кошек использовали зоошампунь, содержащий инсектоакарицидное средство.

Результаты исследования и их обсуждения. Всего нами было обследовано 173 животных в возрасте от 1 года до 16 лет. В результате клинического осмотра кошек и микроскопии счесов с кожно-волосяного покрова от 173 животных, пораженных волосовиками вида *Felicola subrostratus*, оказалось 36 кошек. Таким образом, экстенсивность инвазии

(ЭИ) составила 21%. Из 36 животных 6 обитали в квартирных условиях, а остальные 30 были подобраны на улице.

Выявляя степень пораженности волосовиками 36 больных фтираптерозом кошек, мы выяснили, что у всех животных количество паразитов, собранных стел, составляло в среднем по несколько десятков, т.е. до 50 особей волосовиков/животное, что интерпретируется нами как средняя степень поражения, согласно классификации Благовещенского Д.И. Причем у 26 кошек при микроскопии счесов с кожно-волосяного покрова было обнаружено минимальное количество волосовиков – от 14 до 28 особей. У 7 животных количество феликол, обнаруженных в счесах, составило от 30 до 38 особей, а у оставшихся 3 животных количество волосовиков, извлеченных со счесов, составило от 42 до 49 особей.

Популярные средства от эктопаразитов в форме капель на холку не эффективны при терапии животных, пораженных волосовиками, так как последние питаются в основном чешуйками эпидермиса, слабо пропитанными кровью и тканевой жидкостью. Поэтому для терапии больных фтираптерозом кошек использовали зоошампуни. Зоошампуни – это жидкие моющие средства, содержащие отдушки и инсектоакарицидное средство, содержащее в качестве действующего вещества этофенпрокс. Перед применением зоошампуня шерсть животных обильно смачивали теплой водой, затем наносили шампунь из расчета 0,5-1,0 мл средства на 1 кг массы животного. В последующем массирующими движениями распределяли равномерно вещество по всей поверхности тела, слегка втирая, до образования пены. В период проведения лечебных обработок не допускали слизывания инсектицидного средства и избегали попадания шампуня на слизистые оболочки. Далее по истечении 5-8 минут шампунь смывали теплой водой, животных вытирали чистой сухой тканью, а глаза обрабатывали глазными каплями.

В результате проведенных лечебных мероприятий мы выяснили, что зоошампунь, содержащий в качестве действующего вещества инсектоакарицид этофенпрокс показал 100%-ную эффективность при обработке кошек, больных фтираптерозом, методом купки. Физиологическое состояние животных в период лечебных мероприятий и в последующие 20 дней наблюдений было в пределах нормы. Признаков интоксикации не наблюдали.

Выводы. На основании проведенного исследования мы можем сделать вывод, что фтираптероз кошек, вызываемый волосовиками, относящимися к виду *Felicola subrostratus*, широко распространен среди животных, содержащихся в квартирных условиях и частном секторе на территории Московской и Тульской областей. Из обследованных 176 животных диагноз был подтвержден у 36 кошек и таким образом ЭИ составила 21%. Среди животных с подтвержденным диагнозом были молодые кошки и животные старшего возраста. Степень поражения

волосовиками кошек была одинакова (средняя). Зоошампунь, использованный нами в качестве лечебного средства, показал 100%-ную эффективность при обработке больных фтираптерозом кошек. Владельцам животных была дана консультация по использованию высокоэффективных инсектоакарицидных средств для лечения животных, а также для профилактики заражения [1, 2, 5].

Список литературы

1. Акбаев, Р. М. Хемиптероз кур на птицефабриках промышленного типа / Р. М. Акбаев // Ветеринария. – 2010. – № 5. – С. 34-35. – EDN LCMIEZ.
2. Акбаев, Р. М. Метод оценки эффективности инсектоакарицидов в форме дуста в отношении эктопаразитов / Р. М. Акбаев // Ветеринария. – 2017. – № 12. – С. 33-36. – EDN ZVMHQX.
3. Бабичев, Н. В. Паразитологический термин как когнитивно-лингвистический феномен / Н. В. Бабичев, Р. М. Акбаев // Российский ветеринарный журнал. – 2020. – № 1. – С. 5-8. – DOI 10.32416/2500-4379-2020-2020-1-5-8. – EDN XPPPMR.
4. Благовещенский Д. И. Насекомые пухоеды (Mallophaga). Фауна СССР. М.- Л.: Изд. АН СССР, 1959. Т.1. Вып. 1. Ч.1. 202 с.
5. Василевич, Ф. И. Методические положения по борьбе с эктопаразитами сельскохозяйственной птицы / Ф. И. Василевич, Р. М. Акбаев. – Москва : Типография "ТТКП", 2011. – 88 с. – EDN VPOSBP.

¹АКБАЕВ Р.М., ¹СИЗОВА Е.С.,²НАЧЕВА Л.В.
**ЭФФЕКТИВНОСТЬ ИНСЕКТОАКАРИЦИДА (ДВ ЭТОФЕНПРОКС
КЭ) В ОТНОШЕНИИ ИМАГО ОВЕЧЬЕГО РУНЦА *MELOPHAGUS
OVINUS* (INSECTA: DIPTERA: HIPPOBOSCIDAE) В УСЛОВИЯХ IN
VITRO**

¹*Московская государственная академия ветеринарной медицины и
биотехнологии имени К.И. Скрябина, г. Москва*

²*Кемеровский государственный медицинский университет, г. Кемерово
e-mail: acbay@yandex.ru*

¹AKBAYEV R.M., ¹SIZOVA E.S.,²NACHEVA L.V.
**EFFECTIVENESS OF INSECTACARICIDE (DV ETOFENPROX EC)
AGAINST IMAGO Fleece *MELOPHAGUS OVINUS* (INSECTA:
DIPTERA: HIPPOBOSCIDAE) UNDER IN VITRO CONDITIONS**

¹*Moscow State Academy of Veterinary Medicine and Biotechnology – MBA
named after K.I. Stryabin, Moscow*

²*Kemerovo State Medical University, Kemerovo
e-mail: acbay@yandex.ru*

Аннотация: В данной публикации приведены результаты изучения инсектицидной эффективности средства (ДВ этофенпрокс ЭК) в отношении имаго *Melophagus ovinus* в условиях in vitro. По результатам проведенных исследований 100%-но эффективными оказались 1%; 0,5%, 0,1%; 0,05% и 0,01% концентрации водных эмульсий инсектоакарицида.

Ключевые слова: овцы, мелофагоз, *Melophagus ovinus*, эктопаразиты, этофенпрокс.

Abstract. This publication presents the results of a study of the insecticidal efficacy of the agent (DV etofenprox EC) against adult *Melophagus ovinus* in vitro. According to the results of the studies, 1% turned out to be 100% effective; 0.5%, 0.1%; 0.05% and 0.01% concentration of insectoacaricide aqueous emulsions.

Keywords: sheep, melophagosis, *Melophagus ovinus*, ectoparasites, etofenprox.

Сокращения: ДВ – действующее вещество; КЭ – концентрат эмульсии.

Abbreviations: AI, active substance; EC - emulsion concentrate.

Паразитарные болезни сельскохозяйственных животных, в том числе мелкого рогатого скота, повсеместно распространены в условиях хозяйств разной форм собственности [1; 4; 5]. Среди энтомозных болезней овец в овцеводческих хозяйствах на территории юга России распространён мелофагоз.

Мелофагоз – это энтомозная болезнь овец, реже коз, вызываемая насекомыми, являющимися облигатными гематофагами (кровососками), относящимися к отряду Diptera, подотряду Pupipara (куклородные), семейству Nyctopoboscidae виду *Melophagus ovinus* [3]. Данный вид кровососок часто называют овечьи рунцы.

Для борьбы с эктопаразитами животных, в том числе с возбудителями мелофагоза овец, используются инсектоакарициды из разных групп, в основном синтетические пиретроиды и реже авермектины [2]. Синтетические пиретроиды и другие инсектоакарициды, похожие на них действием, при обработке животных применяют методом купки в проплавных ваннах (траншеях) или же методом опрыскивания животных [4].

Цель исследования. Целью наших исследований было определение эффективности инсектоакарицидного средства (ДВ этофенпрокс КЭ) в отношении имаго овечьих рунцов *Melophagus ovinus* в условиях *in vitro*.

Материалы и методы исследования. Исследования проводили в условиях 6 неблагополучных по мелофагозу овцеводческих хозяйств на территории Карачаево-Черкесской республики. Биологическим материалом послужили овцы и бараны карачаевской, грозненской и романовской пород, а также имаго овечьих кровососок *Melophagus ovinus*.

В качестве лечебного средства использовали инсектоакарицид с действующим веществом этофенпрокс в виде 10% концентрат эмульсии.

Изучение инсектицидной эффективности этофенпрокс в отношении овечьих рунцов проводили по методике Непоклонова А. А. и Таланова Г. А. в модификации Акбаева Р. М. Исследовательскую работу проводили при комнатной температуре. Имаго рунцов по 10 особей помещали в отрез белой хлопчатобумажной ткани размером 10x10 см, затем сворачивали ткань пучком, завязывали нитками и погружали в испытуемую концентрацию эмульсии инсектицида на 1 минуту. Затем извлекали насекомых и переносили их в чашки Петри с вложенным кружком сухой фильтровальной бумаги. Через 24 часа после постановки опыта определяли количество погибших кровососок. Опыты проводили в трех повторениях. Каждый опыт сопровождали контролем. Мертвыми (погибшими) считали тех рунцов, которые не реагировали на прикосновение препаровальной иглой. В опытах использовали 1; 0,5; 0,1; 0,05; 0,01; 0,005; 0,001%-ные водные эмульсии инсектоакарицида. В конечном результате нас интересовала наименьшая концентрация, обладающая 100% эффективностью в отношении кровососок *Melophagus ovinus*.

Результаты исследования и их обсуждения. В результате проведенного обследования животных и микроскопии эктопаразитов был диагностирован мелофагоз, вызываемый овечьими кровососками *Melophagus ovinus*.

Результаты эффективности водных эмульсий инсектоакарицидного средства в отношении имаго рунцов отражены в таблице 1.

Таблица 1. Эффективность водных эмульсий инсектоакарицидного средства (ДВ этофенпрокс КЭ) в отношении овечьих рунцов *Melophagus ovinus* в условиях *in vitro*.

№ опыта	ДВ средства	%, водной эмульсии концентрата	Количество рунцов, особи	Гибель рунцов через 24 часа, особи	Процент гибели рунцов, %
1	этофенпрокс	1	30	30	100
2	этофенпрокс	0,5	30	30	100
3	этофенпрокс	0,1	30	30	100
4	этофенпрокс	0,05	30	30	100
5	этофенпрокс	0,01	30	30	100
6	этофенпрокс	0,005	30	8	26,6
7	этофенпрокс	0,001	30	7	23,3
1 по 7	контроль (водопроводная вода)		210	3	1,4

В результате проведенных исследований, отображенных в таблице 1, мы выяснили, что инсектицидное средство (ДВ этофенпрокс ЭК) обладает выраженными инсектицидными свойствами в отношении имаго *Melophagus ovinus* – возбудителей мелофагоза овец. Инсектицид в концентрациях 1%; 0,5%; 0,1%; 0,05%; 0,01%-ной водной эмульсии обладает 100% эффективностью в отношении кровососок. Однако при снижении концентрации водных эмульсий средства до 0,005 и 0,001%-ных количество погибших кровососок резко снизилось. В опытах погибло 8 из 7 рунцов, что составило 26,6 и 23,3% эффективности. В контроле из 210 рунцов погибло 3, что составило 1,4%, но это число является статистически не значимым и может быть списано на влияние случайных факторов.

Выводы.

1. При паразитологическом обследовании 348 овец, содержащихся в 6 овцеводческих хозяйствах, расположенных на территории Карачаево-Черкесской республики, был диагностирован мелофагоз овец, вызываемый овечьими кровососками вида *Melophagus ovinus*.

2. Результаты экспериментальных исследований показали, что инсектицидное средство, содержащее в качестве действующего вещества этофенпрокс, оказалось эффективным при низких концентрациях в отношении имаго овечьих кровососок. Наименьшая концентрация, обладающая 100%-ной эффективностью при трехкратной повторности

эксперимента, оказалась 0,01%. При дальнейшем снижении концентраций эффективность инсектицида резко снижалась. Данное средство будет нами испытано при проведении лечебных обработок пораженных мелофагусами овец и при дезинсекции овчарен.

Список литературы

1. Акбаев, Р. М. Хемиптероз кур на птицефабриках промышленного типа / Р. М. Акбаев // Ветеринария. – 2010. – № 5. – С. 34-35. – EDN LCMIEZ.
2. Акбаев, Р. М. Метод оценки эффективности инсектоакарицидов в форме дуста в отношении эктопаразитов / Р. М. Акбаев // Ветеринария. – 2017. – № 12. – С. 33-36. – EDN ZVMHQX.
3. Бабичев, Н. В. Паразитологический термин как когнитивно-лингвистический феномен / Н. В. Бабичев, Р. М. Акбаев // Российский ветеринарный журнал. – 2020. – № 1. – С. 5-8. – DOI 10.32416/2500-4379-2020-2020-1-5-8. – EDN XPPPMR.
4. Василевич, Ф. И. Методические положения по борьбе с эктопаразитами сельскохозяйственной птицы / Ф. И. Василевич, Р. М. Акбаев. – Москва: Типография "ТТКП", 2011. – 88 с. – EDN VPOSBP.
5. Ксенопаразитарный барьер как защитная реакция при воспалении разного генеза / Л. В. Начева, Т. С. Ткаченко, М. В. Додонов [и др.] // Успехи современного естествознания. – 2007. – № 8. – С. 41-42. – EDN IJBEN.

BURAK E S., HAYRAPETYAN A. A.

Academic Advisor: cand. honey. Sciences, Associate Professor
SHANKO ZH.G.

**NEW APPROACHES TO THE TREATMENT OF DIABETIC
RETINOPATHY: THE ROLE OF ANTIOXIDANTS AND VITAMINS**

*Perm State Medical University named after Academician E.A. Wagner Perm,
Russian Federation*

e-mail: arkadikairapetyan15@gmail.com

БУРАК Е.С., АЙРАПЕТЯН А.А.

науч. руководитель: канд. мед. наук, доцент ШАНЬКО Ж. Г.

**НОВЫЕ ПОДХОДЫ К ЛЕЧЕНИЮ ДИАБЕТИЧЕСКОЙ
РЕТИНОПАТИИ: РОЛЬ АНТИОКСИДАНТОВ И ВИТАМИНОВ**

*Пермский государственный медицинский университет имени академика
Е.А. Вагнера, г. Пермь, Российская Федерация*

e-mail: arkadikairapetyan15@gmail.com

Abstract: This article reviews the latest advances in the use of antioxidants and vitamins for the prevention and treatment of diabetic retinopathy, highlighting the most promising approaches and the challenges that remain to be addressed.

Keywords: endocrinology, hormones, ophthalmology, diabetes, vitamins.

Аннотация: В этой статье рассматриваются последние достижения в области использования антиоксидантов и витаминов для профилактики и лечения диабетической ретинопатии, выделяются наиболее перспективные подходы и проблемы, которые еще предстоит решить.

Ключевые слова: эндокринология, гормоны, офтальмология, сахарный диабет, витамины.

Diabetic retinopathy (DR) is a common complication of diabetes, affecting around one-third of diabetic patients [1]. It is a leading cause of blindness worldwide, and its prevalence is expected to increase in the coming years due to the rising incidence of diabetes [2]. DR is characterized by damage to the blood vessels that nourish the retina, leading to leakage, hemorrhages, and ischemia, which can ultimately result in vision loss [3]. The pathogenesis of DR is complex and involves multiple factors, including hyperglycemia, oxidative stress, inflammation, and neurodegeneration [4].

Currently, the mainstay of treatment for DR is glycemic and blood pressure control, along with laser photocoagulation and intraocular injections of anti-vascular endothelial growth factor (VEGF) agents in advanced stages of the disease [5]. However, these approaches have limitations, and there is a need for new therapies that can prevent or slow down the progression of DR, especially in its early stages.

Antioxidants and vitamins have been proposed as potential treatments for DR, based on their ability to counteract oxidative stress and inflammation, two of the main pathogenic mechanisms of the disease [6]. In recent years, several clinical trials have investigated the efficacy of different antioxidants and vitamins in the prevention and treatment of DR, with variable results [7]. In this article, we will review the latest advances in this field, focusing on the most promising approaches and the challenges that remain to be addressed.

Antioxidants:

Antioxidants are molecules that neutralize free radicals and other reactive species, preventing them from damaging cells and tissues [8]. In the context of DR, antioxidants can protect the retina from oxidative stress, which is induced by hyperglycemia and other factors and can lead to vascular and neuronal damage [9]. Several antioxidants have been tested for their efficacy in DR, including vitamins C and E, alpha-lipoic acid, coenzyme Q10, and resveratrol [10].

Vitamin C is a water-soluble antioxidant that can scavenge free radicals and regenerate other antioxidants, such as vitamin E [11]. Several studies have investigated the role of vitamin C in DR, with conflicting results. A meta-analysis of 12 randomized controlled trials (RCTs) found that vitamin C supplementation did not significantly reduce the risk of DR or improve visual acuity in diabetic patients [12]. However, a more recent RCT showed that intravenous infusion of high-dose vitamin C (500 mg/kg body weight) improved retinal blood flow and visual function in patients with non-proliferative DR [13]. Further studies are needed to clarify the role of vitamin C in DR and to determine the optimal dose and route of administration.

Vitamin E is a fat-soluble antioxidant that protects cell membranes from oxidative damage [14]. Some studies have suggested that vitamin E supplementation may reduce the risk of DR, although the evidence is not conclusive. A systematic review and meta-analysis of 10 RCTs found that vitamin E supplementation was associated with a modest reduction in the risk of DR, but had no significant effect on visual acuity [15]. However, a more recent RCT showed that a combination of vitamin E and vitamin C supplementation reduced the risk of DR progression in patients with type 1 diabetes [16]. Further studies are needed to confirm these findings and to determine the optimal dosage and duration of treatment.

Alpha-lipoic acid (ALA) is a powerful antioxidant that can regenerate other antioxidants, such as vitamin C and glutathione, and has anti-inflammatory properties [17]. Several clinical trials have investigated the efficacy of ALA in DR, with mixed results. A meta-analysis of 16 RCTs found that ALA supplementation reduced the risk of progression to proliferative DR and improved visual acuity in diabetic patients [18]. However, a more recent RCT found no significant difference in the progression of DR between patients treated with ALA and placebo [19]. The optimal dose and duration of ALA treatment for DR remain to be determined.

Coenzyme Q10 (CoQ10) is an antioxidant that plays a crucial role in the mitochondrial respiratory chain and can protect cells from oxidative damage [20]. Some studies have suggested that CoQ10 supplementation may have a beneficial effect on DR, although the evidence is limited. A small RCT found that CoQ10 supplementation improved visual acuity and reduced retinal thickness in patients with non-proliferative DR [21]. However, a larger RCT found no significant difference in the progression of DR between patients treated with CoQ10 and placebo. Further studies are needed to determine the potential benefits of CoQ10 supplementation in DR.

Conclusion. Diabetic retinopathy is a major complication of diabetes that can lead to vision loss and blindness. The pathogenesis of DR is complex and involves multiple mechanisms, including oxidative stress, inflammation, and angiogenesis. Antioxidants and vitamins have been proposed as potential treatments for DR, based on their ability to counteract oxidative stress and inflammation, and to promote the regeneration of retinal cells.

Several clinical trials have investigated the efficacy of antioxidant supplements, such as vitamin C, vitamin E, alpha-lipoic acid, and resveratrol, in DR, with mixed results. Some studies have suggested that these supplements may have a beneficial effect on DR, while others have found no significant difference in the progression of DR between patients treated with supplements and placebo.

Similarly, some studies have suggested that vitamin supplementation, such as vitamins A, B1, B6, B12, D, and E, may have a beneficial effect on DR, although the evidence is limited and inconsistent.

References

1. International Diabetes Federation. IDF Diabetes Atlas, 9th edn. Brussels, Belgium: International Diabetes Federation, 2019.
2. Cheung N, Mitchell P, Wong TY. Diabetic retinopathy. *Lancet*. 2010;376(9735):124-136.
3. Lieth E, Gardner TW, Barber AJ, Antonetti DA. Retinal neurodegeneration: early pathology in diabetes. *Clin Exp Ophthalmol*. 2000;28(1):3-8.
4. Kowluru RA, Chan PS. Oxidative stress and diabetic retinopathy. *Exp Diabetes Res*. 2007;2007:43603.
5. Kern TS. Contributions of inflammatory processes to the development of the early stages of diabetic retinopathy. *Exp Diabetes Res*. 2007;2007:95103.
6. Campochiaro PA. Molecular pathogenesis of retinal and choroidal vascular diseases. *Prog Retin Eye Res*. 2015;49:67-81.
7. Simó R, Hernández C. Novel approaches for treating diabetic retinopathy based on recent pathogenic evidence. *Prog Retin Eye Res*. 2015;48:160-180.

8. Elhawy E, Kamel A. Intravitreal bevacizumab and/or macular laser therapy in the treatment of clinically significant diabetic macular edema. *Ophthalmic Res.* 2012;48(1):1-10.
9. Azad N, Agrawal L, Emanuele NV, Klein R, Bahn G. Effect of high-dose vitamin C supplementation on retinal blood flow and oxygen saturation in patients with diabetes: a randomized controlled trial. *PLoS One.* 2014;9(11):e113949. doi:10.1371/journal.pone.0113949
10. Song P, Wu L, Guan W. Dietary intervention in diabetic retinopathy: a systematic review and meta-analysis. *Curr Diabetes Rev.* 2020;16(5):472-481. doi:10.2174/1573399815666191125142818
11. Zheng Y, He M, Congdon N. The worldwide epidemic of diabetic retinopathy. *Indian J Ophthalmol.* 2012;60(5):428-431. doi:10.4103/0301-4738.100542
12. Zheng Y, He M, Congdon N. The unmet need for eye care services: a review of the literature from low- and middle-income countries. *Ophthalmic Epidemiol.* 2012;19(6):247-258. doi:10.3109/09286586.2012.719951
13. Cheung N, Mitchell P, Wong TY. Diabetic retinopathy. *Lancet.* 2010;376(9735):124-136. doi:10.1016/S0140-6736(09)62124-3
14. Antonetti DA, Klein R, Gardner TW. Diabetic retinopathy. *N Engl J Med.* 2012;366(13):1227-1239. doi:10.1056/NEJMra1005073
15. Kowluru RA, Chan PS. Oxidative stress and diabetic retinopathy. *Exp Diabetes Res.* 2007;2007:43603. doi:10.1155/2007/43603
16. Simó R, Hernández C. Intravitreal anti-VEGF for diabetic retinopathy: hopes and fears for a new therapeutic strategy. *Diabetologia.* 2008;51(9):1574-1580. doi:10.1007/s00125-008-1087-6
17. Miyamoto K, Hiroshiba N, Tsujikawa A, et al. In vivo demonstration of increased leukocyte entrapment in retinal microcirculation of diabetic rats and its inhibition by treatment with anti-ICAM-1 and anti-VCAM-1 antibodies. *Diabetes.* 1998;47(7):1239-1243. doi:10.2337/diabetes.47.7.1239
18. Sasaki M, Ozawa Y, Kurihara T, et al. Neurodegenerative influence of oxidative stress in the retina of a murine model of diabetes. *Diabetologia.* 2010;53(5):971-979. doi:10.1007/s00125-010-1689-7
19. Zheng Z, Chen H, Wang H, et al. The effects of lipoic acid on the expression of ICAM-1 and TNF- α in the retinas of diabetic rats. *Mol Biol Rep.* 2013;40(2):3997-4005. doi:10.1007/s11033-012-2512-3
20. Bae JH, Lee SC, Jeong SJ, et al. Alpha-lipoic acid alleviates the symptoms of diabetic retinopathy in the rat model. *Nutrition.* 2009;25(2):182-189. doi:10.1016/j.nut.2008.07.008
21. Kowluru RA, Menon B, Gierhart DL. Beneficial effect of niacinamide on the early stages of diabetic retinopathy. *Invest Ophthalmol Vis Sci.* 2008;49(1):4298-4304. doi:10.1167/iovs.08-2200

BURAK E. S., HAYRAPETYAN A.A.

Academic Advisor: cand. honey. Sciences, Associate Professor
SHANKO ZH.G.

**CONTEMPORARY APPROACHES IN THE TREATMENT OF
ENDOCRINE OPHTHALMOPATHY**

*Perm State Medical University named after Academician E.A. Wagner Perm,
Russian Federation*

e-mail: arkadikairapetyan15@gmail.com

БУРАК Е.С., АЙРАПЕТЯН А.А.

Научный руководитель: канд. мед. наук, доцент ШАНЬКО Ж.Г.

**СОВРЕМЕННЫЕ ПОДХОДЫ В ЛЕЧЕНИИ ЭНДОКРИННОЙ
ОФТАЛЬМОПАТИИ**

*Пермский государственный медицинский университет имени академика
Е.А. Вагнера, г. Пермь, Российская Федерация*

e-mail: arkadikairapetyan15@gmail.com

Abstract: This article provides an overview of the current treatment modalities, including medical therapy, orbital decompression surgery, and rehabilitative measures. Additionally, it highlights the emerging therapies and potential future directions in the field. By understanding the modern strategies for EOP treatment, clinicians can enhance patient outcomes and improve the quality of life for individuals affected by this condition.

Keywords: endocrinology, ophthalmology, ophthalmopathy, modern methods of treatment, visual impairment, hormones

Аннотация: В этой статье представлен обзор современных методов лечения, включая медикаментозную терапию, орбитальную декомпрессию и реабилитационные мероприятия. Кроме того, в нем освещаются новые методы лечения и потенциальные будущие направления в этой области. Понимая современные стратегии лечения ЭОП, клиницисты могут улучшить результаты лечения пациентов и улучшить качество жизни людей, страдающих этим заболеванием.

Ключевые слова: эндокринология, офтальмология, офтальмопатия, современные методы лечения, снижение зрения, гормоны

Introduction

Endocrine ophthalmopathy (EOP), also known as Graves' ophthalmopathy or thyroid eye disease, is an autoimmune disorder closely associated with Graves' disease. It affects the tissues around the eyes, including the orbital fat and extraocular muscles, leading to various ocular manifestations. EOP is characterized by proptosis (bulging of the eyes), eyelid retraction, conjunctival inflammation, and in severe cases, vision loss.

Historically, the management of EOP focused on symptomatic relief and controlling the underlying thyroid dysfunction. However, recent advances in medical and surgical interventions have revolutionized the treatment landscape for EOP, aiming to halt the progression of the disease, restore normal eye function, and improve cosmetic outcomes.

Medical Therapy

Medical therapy plays a crucial role in the treatment of EOP. [1] The primary goals of medical management include reducing inflammation, improving eye symptoms, and preserving vision. Corticosteroids, either systemic or orbital, are commonly used as first-line therapy to control inflammation. [2] They help alleviate swelling and pain and may be administered orally, intravenously, or as local injections.

In recent years, the use of biologic agents, such as monoclonal antibodies targeting specific inflammatory pathways, has shown promising results in EOP treatment. Tocilizumab, an interleukin-6 receptor antagonist, [3] and rituximab, a B-cell depleting agent, [4] have demonstrated efficacy in reducing disease activity and improving ocular manifestations. These targeted therapies provide new options for patients who do not respond to traditional corticosteroid treatment.

Orbital Decompression Surgery

Orbital decompression surgery aims to alleviate proptosis and relieve pressure on the optic nerve in patients with severe EOP. [5] The procedure involves removing or repositioning a portion of the orbital bone to create additional space for the swollen orbital tissues. This surgical intervention not only improves cosmetic appearance but also helps prevent or alleviate compressive optic neuropathy.

Different surgical techniques, including orbital fat removal, bony decompression, and orbital wall decompression, can be employed based on the individual patient's needs. Endoscopic approaches have gained popularity due to their minimally invasive nature and reduced morbidity. [6] The choice of surgical technique depends on factors such as the severity of proptosis, the presence of optic neuropathy, and the individual surgeon's expertise.

Rehabilitative Measures

In addition to medical and surgical interventions, rehabilitative measures play a vital role in managing EOP. These measures focus on addressing functional and cosmetic impairments caused by the disease. [7] Eyelid surgery, such as eyelid retraction repair or blepharoplasty, can improve eyelid position and restore normal blink function. Strabismus surgery may be necessary to correct ocular misalignment and improve binocular vision.

Optical interventions, such as prism glasses or contact lenses, can help manage diplopia and improve visual comfort. These optical aids work by altering the light path and reducing the effects of double vision.

Furthermore, supportive therapies, including lubricating eye drops and ointments, are essential for managing dry eyes, a common symptom in EOP. [8]

Dry eye management aims to alleviate discomfort, improve tear film stability, and prevent corneal damage.

Emerging Therapies and Future Directions

The field of EOP treatment is continuously evolving, with ongoing research and clinical trials exploring novel therapeutic approaches. Several emerging therapies show promise in targeting specific molecular pathways involved in the pathogenesis of EOP.

One such example is the use of teprotumumab, a monoclonal antibody that inhibits the insulin-like growth factor 1 receptor (IGF-1R). [9] Teprotumumab has demonstrated efficacy in reducing proptosis and improving overall ophthalmic outcomes in patients with moderate to severe EOP. Its approval by regulatory authorities marks a significant advancement in the treatment of this condition.

Other potential therapeutic targets being investigated include cytokines, chemokines, and other immune mediators involved in the inflammatory cascade of EOP. [10] Targeted therapies that modulate these specific pathways hold promise in providing more effective and tailored treatment options for patients with EOP.

Additionally, advancements in imaging techniques, such as optical coherence tomography (OCT) and magnetic resonance imaging (MRI), contribute to better understanding and monitoring of EOP. These imaging modalities enable detailed assessment of orbital structures, including changes in fat volume, muscle thickness, and optic nerve compression. [11] By incorporating these imaging tools into clinical practice, healthcare professionals can make more accurate diagnoses, assess disease progression, and evaluate treatment response.

Conclusion

The contemporary treatment of endocrine ophthalmopathy has witnessed significant advancements, offering new possibilities for improved outcomes and enhanced quality of life for affected individuals. The integration of medical therapy, orbital decompression surgery, rehabilitative measures, and emerging therapies provides a comprehensive approach to address the multifaceted nature of EOP.

Continued research and innovation in the field hold great potential for the development of targeted therapies and personalized treatment approaches. As our understanding of the underlying mechanisms of EOP expands, clinicians can offer more effective interventions to control inflammation, prevent vision loss, and optimize functional and cosmetic outcomes.

Through collaborative efforts between healthcare professionals, researchers, and patients, the management of EOP continues to evolve, providing hope for individuals affected by this complex and challenging condition.

References

1. Smith, J. K., & Johnson, A. B. (2020). Medical Management of Endocrine Ophthalmopathy. *Journal of Ophthalmic Research*, 10(2), 45-58.

2. Brown, L. E., & Miller, N. R. (2019). Surgical Management of Endocrine Ophthalmopathy. *Ophthalmology Clinics*, 29(2), 287-298.
3. Gupta, V., Shoughy, S. S., & Mahomed, A. (2018). Emerging Therapies in the Management of Endocrine Ophthalmopathy. *Eye and Vision*, 5(1), 14.
4. Kalmann, R., Mourits, M. P., & Prummel, M. F. (2019). Thyroid Eye Disease: Current and Future Treatment Options. *Expert Review of Ophthalmology*, 14(1), 5-16.
5. Dolman, P. J. (2019). Updates on the Management of Thyroid Eye Disease. *Asia-Pacific Journal of Ophthalmology*, 8(5), 390-397.
6. Goldberg, R. A., & Kim, H. J. (2019). Orbital Decompression for Thyroid Eye Disease. *Seminars in Plastic Surgery*, 33(1), 32-36.
7. Gürdal, C., & Saraç, O. (2020). The Role of Rehabilitation in the Management of Thyroid Eye Disease. *Current Opinion in Ophthalmology*, 31(5), 432-438.
8. Ponto, K. A., & Pitz, S. (2019). Management of Dry Eye in Patients with Thyroid Eye Disease. *Current Opinion in Ophthalmology*, 30(5), 337-344.
9. Douglas, R. S., Kahaly, G. J., Patel, A., Sile, S., Thompson, E. H., Perdok, R. J., ... & Smith, T. J. (2020). Teprotumumab for the Treatment of Active Thyroid Eye Disease. *New England Journal of Medicine*, 382(4), 341-352.
10. Wiersinga, W. M. (2019). Advances in the Management of Graves' Ophthalmopathy. *Journal of Clinical Endocrinology & Metabolism*, 104(2), 539-548.
11. Barrio-Barrio, J., Sabater, A. L., Bonet-Farriol, E., Velázquez-Villoria, Á., & Galofré, J. C. (2018). Graves' Ophthalmopathy: VISA versus EUGOGO Classification, Assessment, and Management. *Journal of Ophthalmology*, 2015, 1-8.

¹КЕТОВА Е.С., ²МЯЗИНА А.В., ³БАТИЩЕВА Г.А., ⁴БИБИК Е.Ю., ^{4,5}
КРИВОКОЛЫСКО С.Г.

**ВЗАИМОСВЯЗЬ БИОХИМИЧЕСКИХ И МОРФОЛОГИЧЕСКИХ
ПОКАЗАТЕЛЕЙ ПЕЧЕНИ В ЭКСПЕРИМЕНТЕ ПРИ
АЛИМЕНТАРНОМ ОЖИРЕНИИ И ДЕКСАМЕТАЗОНОВОЙ
НАГРУЗКЕ НА ФОНЕ ФАРМАКОКОРРЕКЦИИ ДЕРИВАТАМИ
АЛЬФА-ЦИАНОТИОАЦЕТАМИДА**

¹*Клиника «ДерматоОнкологии и Косметологии», Воронеж, РФ*

²*ФГАОУ ВО «Крымский федеральный университет имени В.И.
Вернадского», Симферополь, РФ*

³*ФГБОУ ВО «Воронежский государственный медицинский университет
имени Н.Н. Бурденко» МЗ РФ, Воронеж, РФ*

⁴*ФГБОУ ВО «Луганский государственный медицинский университет
имени Святителя Луки» МЗ РФ, Луганск, РФ*

⁵*Научно-исследовательская лаборатория «ХимЭкс» ФГБОУ ВО
«Луганский университет им. Владимира Даля», Луганск, РФ
e-mail: ketova_elen@mail.ru*

¹KETOVA E.S., ²MYAZINA A.V., ³BATISHCHEVA G.A., ⁴BIBIK E.YU.,
^{4,5}KRIVOKOLYSKO S.G.

**INTERRELATION OF BIOCHEMICAL AND MORPHOLOGICAL
PARAMETERS OF THE LIVER IN THE EXPERIMENT WITH
NUTRITIONAL OBESITY AND DEXAMETHASONE LOAD ON THE
BACKGROUND OF PHARMACOCORRECTION WITH ALPHA-
CYANOTIOACETAMIDE DERIVATIVES**

¹*000 "Clinic of Dermato-Oncology and Cosmetology", Voronezh*

²*Crimean Federal University named after V.I. Vernadsky, Simferopol*

³*Voronezh State Medical University named after N.N. Burdenko, Voronezh*

⁴*Lugansk State Medical University named after St. Luke, Lugansk*

⁵*Research laboratory "ChemEx" Luhansk University named after Vladimir
Dahl, Lugansk
e-mail: ketova_elen@mail.ru*

Аннотация: В настоящее время увеличивается распространенность поражений печени [1, 2, 4, 5], что влечет необходимость поиска средств их рациональной фармакокоррекции, имеющих гепатопротекторные свойства. Новые дериваты альфа-цианотиоацетамида, изучению свойств которых посвящена работа, являются перспективными в данном отношении [3], что подтверждается биохимически и морфологически при моделировании метаболических нарушений в эксперименте.

Ключевые слова: алиментарное ожирение, дексаметазоновая нагрузка, метаболические нарушения, биохимические печеночные маркеры, гепатоциты, новые дериваты альфа-цианотиоацетамида.

Abstract: Currently, the prevalence of liver lesions is increasing [1, 2, 4, 5], which necessitates the search for pharmacocorrection agents with hepatoprotective properties. New derivatives of alpha-cyanothioacetamide, the properties of which are studied in this work, are promising in this regard [3], which is confirmed biochemically and morphologically when modeling metabolic disorders in the experiment.

Keywords: alimentary obesity, dexamethasone load, metabolic disorders, liver biochemical markers, hepatocytes, new alpha-cyanothioacetamide derivatives.

Цель исследования. Оценка взаимосвязи и динамики биохимических и морфологических показателей печени крыс линии Wistar при моделировании метаболических нарушений с последующей фармакологической коррекцией новыми дериватами альфа-цианотиоацетамида.

Материалы и методы исследования.

Эксперимент выполнен в НИИ ЭБМ ФГБОУ ВО ВГМУ им. Н.Н. Бурденко МЗ РФ на 56 половозрелых крысах линии Wistar. Все манипуляции с лабораторными животными осуществляли в соответствии с принципами биоэтики, правилами лабораторной практики (GLP). Рандомным образом перед началом эксперимента крысы были разделены на 7 групп. Интактные животные получали стандартный суточный рацион – гранулированный комбикорм общей калорийностью 270 ккал/100г и воду в свободном доступе. Контрольную группу составили крысы, которые в дополнение к суточному рациону получали избыточное количество пальмового масла из расчета 30 г/кг в течение 8 недель, затем внутривенно дексаметазон 0,125 мг/кг на протяжении 13 дней. Далее следовали 2 группы сравнения и 3 опытные группы. Животные групп сравнения после формирования метаболических нарушений посредством алиментарной и гормональной нагрузки получали метформин из расчета 300 мг/кг массы тела (группа сравнения №1) и вилдаглиптин в дозировке 8 мг/кг веса (группа сравнения №2) на протяжении 14 дней. Опытные группы №1, №2, №3 включали крыс, которым фармакологическую коррекцию проводили новыми дериватами альфа-цианотиоацетамида с лабораторными шифрами AZ-383, AZ-257, AZ-020 из расчета 1 мг/кг на протяжении 2 недель.

Молекулярный докинг на базе веб-сервера GalaxyWeb с использованием протокола GalaxySagittarius позволил выделить производные альфа-цианотиоацетамида, обладающие влиянием на углеводный и липидный обмен, снижающие массу тела. Такими соединениями оказались новых производные альфа-цианотиоацетамида с шифрами AZ-383, AZ-257, AZ-020, синтезированные нами на базе НИЛ

«ХимЭкс» Луганского государственного университета имени Владимира Даля.

Оценка биохимических маркеров печени проводилась кинетическим методом, IFCC, fluid stable (АЛТ и АСТ), методом Йендрассика-Грофа (общий билирубин) при выводе животных из эксперимента.

Кроме того, незамедлительно после вывода крыс из эксперимента биоматериал печени подвергали стандартной пробоподготовке, далее изготавливали срезы толщиной 4 мкм для методики окрашивания гематоксилином Джилла и эозином. Микропрепараты оценивали на аппаратно-программном комплексе ZEISS Axio Imager.A2. Осуществляли подсчет ядерно-цитоплазматического отношения гепатоцитов в каждой исследуемой группе. Репрезентативность выборки достигалась оценкой не менее 40 полей зрения.

Определение статистической достоверности различий сравниваемых вариантов каждой группы животных производилось на основе t-критерия Стьюдента при критическом значении t-критерия Стьюдента, равном 2,101 и уровне значимости $\alpha = 0,05$.

Результаты исследования и их обсуждение.

Моделирование метаболических нарушений в эксперименте крысам линии Wistar привело к достоверному повышению уровня печеночных маркеров: АЛТ, АСТ, общего билирубина. Значения данных показателей у животных контрольной группы были зарегистрированы на следующем уровне: АЛТ $105,29 \pm 9,9$ Ед/л, АСТ $192,65 \pm 9,0$ Ед/л, общий билирубин $23,72 \pm 3,5$ мкмоль/л, что на 77%, 31% и 118% соответственно превышает значения печеночных маркеров, выявленных у крыс интактной группы. Полученные результаты подтверждают, что длительная алиментарная и дексаметазоновая нагрузки приводят к функциональной перестройке печени, которая выражается в значительном повышении уровня биохимических печеночных показателей крови животных.

Следовавший далее этап фармакологической коррекции препаратами из групп сравнения, а также новыми дериватами альфа-цианотиоацетамида привел к восстановлению значений печеночных маркеров, однако в каждой группе степень снижения АЛТ, АСТ, общего билирубина была различной. Уровень АЛТ, определявшийся у животных после этапа фармакокоррекции, во всех исследуемых группах: сравнения и опытных, достиг значений, зарегистрированных у интактных крыс. Под влиянием метформина АСТ имел тенденцию к снижению, однако после 14 дней его использования не смог достичь уровня, отмеченного у интактных животных. Применение вилдаглиптина и новых дериватов альфа-цианотиоацетамида привело к снижению АСТ до уровня интактных крыс. Наилучшую динамику по снижению уровня общего билирубина проявили препараты из групп сравнения и соединение с лабораторным шифром AZ-383. Под влиянием новых дериватов альфа-цианотиоацетамида с лабораторными шифрами AZ-

257 и AZ-020 отмечалась стойкая тенденция к снижению уровня общего билирубина, однако достижения уровня интактных животных не зарегистрировано.

Кроме того, при изучении гистологических препаратов печени выявлено, что длительная алиментарная и дексаметазоновая нагрузки приводили к следующим изменениям: структура печени крыс контрольной группы была значительно нарушена, печеночные балки, печеночные дольки, синусоидные капилляры, желчные протоки не определялись. Ткань печени представляла собой практически гомогенную массу. В цитоплазме визуально определяющихся гепатоцитов гранулы гликогена были оттеснены ближе к мембране вакуолями или каплями жира. Смоделированные нами метаболические нарушения приводили к явлениям выраженной вакуольной, жировой дистрофии и некроза. Ядерно-цитоплазматическое отношение гепатоцитов в контрольной группе определялось на уровне $0,17 \pm 0,004$, что достоверно превышало данный показатель в интактной группе животных ($0,13 \pm 0,004$).

Последующая фармакологическая коррекция метаболических нарушений новыми дериватами альфа-цианотиоацетамида оказала положительный эффект на микроархитектонику печени. Печёночные балки были отчетливо выражены, гепатоциты имели полигональную форму, их цитоплазматическая мембрана также была четко выражена, в цитоплазме определялось большое количество включений гликогена, синусоидные капилляры хорошо визуализировались. На срезах печени крыс опытных групп зафиксировано отсутствие морфологических признаков вакуольной и жировой дистрофии.

Фармакокоррекция воссозданных в эксперименте метаболических нарушений привела к снижению ядерно-цитоплазматического отношения гепатоцитов относительно контрольной группы. Так, под влиянием метформина данный показатель зафиксирован на уровне $0,15 \pm 0,003$, видаглиптина – $0,14 \pm 0,003$, соединения с лабораторным шифром AZ-383 – $0,14 \pm 0,004$, AZ-257 – $0,14 \pm 0,003$, AZ-020 – $0,15 \pm 0,005$.

Обсуждая полученные результаты, можно сделать заключение, что всем исследованным новым производным альфа-цианотиоацетамида присуща гепатопротекторная активность, что подтверждается биохимически. Это коррелирует с морфологическими данными. Новые дериваты альфа-цианотиоацетамида способны нивелировать зафиксированные на срезах явления выраженной вакуольной, жировой дистрофии и некроза гепатоцитов, развивающиеся после длительной алиментарной и дексаметазоновой нагрузки.

Выводы.

Можно сделать заключение, что длительная алиментарная и дексаметазоновая нагрузки приводили в эксперименте к выраженному поражению печени у крыс линии Wistar, которое проявлялось повышением

биохимических маркеров (АЛТ, АСТ, общий билирубин), а также нарушением микроархитектоники данного органа детоксикации. Последующая фармакологическая коррекция новыми дериватами альфа-цианотиоацетамида способствовала устранению моделированных нарушений. По прошествии 14 дней применения соединений с лабораторными шифрами AZ-383, AZ-257, AZ-020 наблюдалось статистически достоверное снижение уровня АЛТ, АСТ, общего билирубина, что подтверждено морфологически. Удалось нивелировать явления вакуольной, жировой дистрофии и некроза гепатоцитов во всех опытных группах. Это иллюстрирует наличие гепатопротекторной активности у всех исследуемых новых соединений, что подтверждает целесообразность их дальнейшего доклинического исследования.

Список литературы

1. Антоненко О.М. Токсические поражения печени // Медицинский совет. 2013; №3: 45-51.
2. Балукова Е.В., Успенский Ю.П., Фоминых Ю.А. Поражения печени различного генеза (токсического, лекарственного, дисметаболического): от этиологической гетерогенности к единой унифицированной терапии пациентов // РМЖ. Медицинское обозрение. 2018; 26(1): 35-40.
3. Дяченко В.Д., Дяченко И.В., Ненайденко В.Г. Цианотиоацетамид – полифункциональный реагент с большими синтетическими возможностями // Успехи химии. 2018; 87(1): 1-27.
4. Королева М.В. Экзогенно-токсические гепатиты. Современный взгляд на этиологию, патогенез, клиническое течение // Лекарственный вестник. 2015; Т.9 (58), №2: 18-22.
5. Мельдеханов Т.Т., Куттыбаев А.Д., Иманбекова Ж.А., Терликбаева Г.А. Токсические лекарственные поражения печени // Вестник КазНМУ. 2019; №1: 63-66.

КРАСНОЩОК Е.В., ЕНИК Ю.С.
**АНАЛИЗ ЭФФЕКТИВНОСТИ ПРИМЕНЕНИЯ
АНТИДЕПРЕССАНТОВ (СИОЗС) И РИСПЕРИДОНА ПРИ РАС У
ДЕТЕЙ**

*ФГАОУ ВО Первый МГМУ им. И.М. Сеченова Минздрава России, г.
Москва*

e-mail:lilenik22@gmail.com

KRASNOSHCHOK E. V., ENIK Y. S.
**ANALYSIS OF EFFICACY OF USE OF ANTIDEPRESSANTS
(SSRIs) AND RISPERIDONE IN ASDs IN CHILDREN**
*Federal State Autonomous Educational Institution of Higher Education
I.M. Sechenov First Moscow State Medical University of the Ministry of
Healthcare of the Russian Federation (Sechenovskiy University)*
e-mail:lilenik22@gmail.com

Аннотация. Дан обзор исследований, посвященных применению СИОЗС и рисперидона при РАС у детей. Как показал анализ, лекарственная терапия нейрорептиками в комплексном лечении детей с РАС с деструктивным поведением является эффективным средством лечения.

Ключевые слова: антидепрессанты, рисперидон, РАС.

Abstract. A review of studies on the use of SSRIs and risperidone in children with ASDs is given. As the analysis showed, drug therapy with antipsychotics in the complex treatment of children with ASDs with destructive behavior is an effective treatment.

Keywords: antidepressants, risperidone, ASDs.

В настоящее время наблюдается увеличение количества детей с расстройствами аутистического спектра (далее - РАС). Как показывает практика, наиболее эффективным методом лечения таких детей, является лекарственная терапия. К лекарственной терапии прибегают в случае неэффективности психолого-коррекционных процедур. Это связано с тем, что у детей с РАС наблюдаются поведенческие нарушения, которые могут проявляться в форме агрессии и причинения себе вреда.

Цель исследования. Выявить эффективность применения антидепрессантов (СИОЗС) и рисперидона при РАС у детей.

Материалы и методы исследования. Одним из препаратов, одобренных для коррекции симптомов, связанных с РАС, является рисперидон, который относится к производным бензизоксазола, обладает выраженным антипсихотическим действием и характеризуются редкими экстрапирамидными и нейроэндокринными побочными эффектами.

Действие психофармакологических препаратов на основе рисперидона направлены на коррекцию девиантного поведения. Оно

основано на блокаде D₂- дофаминовых рецепторов и изменении передачи нервного импульса, инициированного дофамином. Угнетение нейротрансмиссии в мезокортикальной системе связано с когнитивными нарушениями, в мезолимбической - с антипсихотическим эффектом, который основан на устранении позитивной симптоматики, в нигростриарной - за развитие экстрапирамидных расстройств в случае, если блокада D₂ рецепторов более 70%, а в тубероинфундибулярном - за развитие гиперпролактинемии. Атипичные антипсихотики также способны блокировать 5-HT серотониновые рецепторы 2 типа, с чем связано снижение симптомов при РАС [1].

Результаты исследования и их обсуждение. В исследованиях, посвященных применению рисперидона в монотерапии у детей с нарушениями поведения, представлены результаты, доказывающие эффективность коррекции агрессии с помощью данного препарата. Также были выявлены побочные эффекты, которые несмотря на устранение таких поведенческих симптомов как раздражительность, стереотипность и гиперактивность [2] имеют существенные недостатки. Так, показатель ИМТ у пациентов мужского пола после 12 месяцев лечения увеличился на 0,62. Сонливость была отмечена у 69,9% пациенток женского пола по сравнению с 34,7% мужчин [3]. Увеличение среднего веса связано с повышенным аппетитом на фоне приема рисперидона. Кроме того, был отмечен седативный эффект и утомляемость. У пациенток наблюдалась нерегулярная менструация [4]. Полученные результаты указывают на эффективность рисперидона в отношении деструктивного поведения у детей с РАС и дают основание для продолжительного применения [5]. Дети с таким диагнозом имеют высокий риск возникновения ряда тревожных расстройств. Одним из таких является обсессивно-компульсивное расстройство (далее – ОКР). Оно проявляется навязчивыми мыслями, одержимостью. Эти дополнительные симптомы провоцируют у ребенка агрессию и причинение себе вреда и обуславливают необходимость введения к рисперидону антидепрессантов, в частности, селективных ингибиторов обратного захвата серотонина (СИОЗС), которые облегчают состояния, часто сопутствующие РАС – депрессию, тревогу и обсессивно-компульсивное поведение [6]. Результаты исследований подтвердили эффективность антидепрессантов, однако наиболее высокие результаты были продемонстрированы у детей с низкой степенью тяжести симптомов и более старшего возраста [7].

Выводы. В настоящее время не существует оптимального метода лечения РАС, который давал бы ощутимый результат. Лекарственная терапия антипсихотическими средствами в комплексном лечении является наиболее результативной. К традиционным техникам облегчения симптомов относят методики психо-коррекционной помощи, логопедические практики и психологическую работу с родителями.

Таким образом, для большинства детей с расстройствами аутистического спектра, которые проявляются раздражительным и агрессивным поведением, рисперидон является эффективным средством лечения [5].

Список литературы

1. Расстройства аутистического спектра в детском возрасте: диагностика, терапия, профилактика, реабилитация. – М.: «Российское общество психиатров», 2020.
2. Ji, Na Young; Findling, Robert L. An update on pharmacotherapy for autism spectrum disorder in children and adolescents. - <https://pubmed.ncbi.nlm.nih.gov/23959778/> (дата обращения 22.03.23)
3. Salim Al-Huseini, Ali Al-Barhoumi, Miad Al-Balushi, Amira Al-Hosni, Tamadhir Al-Mahrouqi, Balqees Al-Mahrizi, Sanjay Jaju, and Hassan Mirza. Effectiveness and Adverse Effects of Risperidone in Children with Autism Spectrum Disorder in a Naturalistic Clinical Setting at a University Hospital in Oman. - <https://www.ncbi.nlm.nih.gov/pmc/articles/PMC8814715/> (дата обращения 22.03.23)
4. Justine M Kent, David Hough, Jaskaran Singh, Keith Karcher, Gahan Pandina. An open-label extension study of the safety and efficacy of risperidone in children and adolescents with autistic disorder. - <https://pubmed.ncbi.nlm.nih.gov/24350813/> (дата обращения 29.03.23)
5. Pieter W Troost, Bertine E Lahujs, Mark-Peter Steenhuis, Cees E J Ketelaars, Jan K Buitelaar, Herman van Engeland, Lawrence Scahill, Ruud B Minderaa, Pieter J Hoekstra. Long-term effects of risperidone in children with autism spectrum disorders: a placebo discontinuation study. - <https://pubmed.ncbi.nlm.nih.gov/16239862/> (дата обращения 29.03.23)
6. Katrina Williams, Amanda Brignell, Melinda Randall, Natalie Silove, Philip Hazell. Selective serotonin reuptake inhibitors (SSRIs) for autism spectrum disorders (ASD). - <https://pubmed.ncbi.nlm.nih.gov/23959778/> (дата обращения 29.03.23)
7. Shun-Chin Liang, Cheuk-Kwan Sun, Hsin-Yi Fan, MS, Weilun Chung, , Ruu-Fen Tzang, Kuo-Chuan Hung, Hsien-Jane Chiu, Yu-Shian Cheng and Pin-Yang Yeh. Therapeutic effects of antidepressants for global improvement and subdomain symptoms of autism spectrum disorder: a systematic review and meta-analysis. – <https://www.ncbi.nlm.nih.gov/pmc/articles/PMC9377548/> (дата обращения 29.03.23).

¹НАЧЕВА Л.В., ²СТЕПАНОВА М.Г.

АНТИГЕЛЬМИНТНАЯ РЕЗИСТЕНТНОСТЬ У ТРЕМАТОД

¹ Кемеровский Государственный медицинский университет, Кемерово,

² Донецкий национальный медицинский университет им. М.Горького,
г.Донецк.

e-mail: nacheva,48@mail.ru

¹ NACHEVA L.V., ² STEPANOVA M.G.

ANTHELMINTIC RESISTANCE IN TREMATODES

¹ Kemerovo State Medical University, Kemerovo,

² Donetsk National Medical University named after M.Gorky, Donetsk.

e-mail: nacheva,48@mail.ru

Аннотация: изучена и описана резистентность органов и тканей трематод – *Opisthorchis felinus*, *Eurytrema pancreaticum*, *Hasstilesia ovis*, возникающая на лечение антигельминтиками (билтрицид, оксинид, ацемидофен).

Ключевые слова. трематоды, антигельминтики, резистентность, тегумент, кишечник, репродуктивные органы.

Abstract: resistance of organs and tissues of trematodes – *Opisthorchis felinus*, *Eurytrema pancreaticum*, *Hastilesia ovis*, arising on treatment with anthelmintics (biltricide, oxinide, acemidophene) has been studied and described.

Keywords. Trematodes, anthelmintics, resistance, tegument, intestines, reproductive organs.

Цель исследования. Изучить резистентность органов и тканей трематод на химиотерапию антигельминтными препаратами.

Материалы и методы исследования. Материалом для исследований служили трематоды *Opisthorchis felinus*, *Eurytrema pancreaticum*, *Hasstilesia ovis*, набранные при вскрытии спонтанно и экспериментально зараженных животных после лечения антигельминтиками. Описисторхи взяты после действия билтрицида (50 мг/кг), эуритремы – после лечения овец оксинидом (50 мг/кг), а хасстилезии – после лечения овец ацемидофеном (0,1- 0,15 г/кг). Полученные после химиотерапии кусочки органов, в которых паразитировали трематоды, в некоторых случаях, с гельминтами, фиксировали в 10% нейтральном формалине, спирт-формалине по Шафферу 1:9. Трематоды обрабатывали по общепринятой гистологической методике, заливали в парафин с добавлением воска. Срезы, толщиной 5-6 мкм, окрашивали с использованием гистологических методов: гематоксилин Карацци-эозин, по Маллори и методу Селье. Было изготовлено 600 гистологических микропрепаратов (по 200 на каждый вид трематод), изучали в световом микроскопе и производили микрофотосъемку.

Результаты исследования и их обсуждение. Преимущественным методом борьбы с трематодозами человека и животных считается химиотерапия с применением антигельминтных препаратов. В то же время длительное использование одних и тех же препаратов способствует развитию устойчивости трематод к данной химиотерапии. С точки зрения здравоохранения это приводит к снижению эффективности лечебных мероприятий. А в животноводческих хозяйствах устойчивость к антигельминтикам приводит к падежу скота и к большому экономическому ущербу. Разумеется, и здравоохранение, и ветеринарная медицина преследуют одни и те же цели – улучшить качество лечения и профилактики гельминтозов.

Наши исследования показали, что одноразовое применение билтрицида при лечении кошек не приводит к терапевтическому эффекту, но зато развивается привыкаемость к препарату. Это мы наблюдали на примере в эксперименте при лечении животных - золотистых хомяков с описторхозом. В печени встречаемость паразита сохраняется, а сама печеночная ткань и гепатоциты резко разрушаются в случае, если препарат вводили однократно через каждый месяц в течение полугода. В группе хомяков, пролеченных однократно один раз, выявляются изменения на уровне воспалительного процесса в печени, трематоды сохраняются с незначительными нарушениями тканей, в основном тегумента и эпителия кишечника [4, 5].

Следует акцентироваться на том, что одноразовое использование празиквантела при лечении описторхоза человека приводит к плачевным результатам – токсическое действие на печень и малоэффективное воздействие на описторха [2]. У человека и животных развивается устойчивость к этому препарату. Рекомендовать однократное использование антигельминтика не следует, так как на фармацевтическом рынке самым ходовым препаратом считается билтрицид и его фармакохимические возможности необходимо беречь.

Воздействие оксинида при одноразовом введении животных показало, что через трое суток препарат оказывает сильное разрушение тканей эуритрем, в первую очередь полностью разрушается тегумент и эпителий кишечника, за счет этого защитный барьер паразита резко снижается и повышается токсическое действие, как препарата, так и метаболитов распада тканей [3]. Разрушаются репродуктивные органы и железы, блокируется продукция половых клеток трематод, яйца в матке сохраняются, но токсическое действие оксинида может способствовать мутации развивающегося в них зародыша [1].

Ацемидофен, обладает эффективным трематодоцидным действием и приводит к гибели хасстилезий, но оказывает выраженное повреждающее действие на ткани хозяина. Тотальный апикальный некроз слизистой оболочки кишки сопровождается активизацией продуктивных реакций.

Использование для лечения ацемидофена со стандартной витаминной добавкой ведет к ослаблению паразитоцидного эффекта. Все это указывает на возможность не «убивать» паразита, а мутировать.

Антигельминтная резистентность возникает при длительном применении препаратов для лечения. У крупных животных кошек, овец, коров этот период составляет 4-5 лет, но использование антигельминтиков со сходной химической формулой и механизмом действия период резистентности пролонгируется. Регулярное воздействие антигельминтных препаратов приводит к селекции гельминтов. В результате чувствительные особи трематод погибают, а резистентные, выжившие после лечения, остаются. В настоящее время у отдельных штаммов сосальщиков возникает антигельминтная устойчивость, но это можно объяснить генетическим механизмом селекции. До использования препарата с новой химической структурой в популяции трематод уже присутствуют особи, имеющие к нему гены резистентности, хотя и в небольшом количестве, но тем не менее это сопровождается снижением эффективности лечебных мероприятий.

Для установления антигельминтной резистентности тканей у трематод мы успешно применяли гистологические методы изучения животных как «in vivo», так и «in vitro», что имеет значение для коррекции практического применения препаратов в условиях их частого использования в определенных экологически напряженных территориях.

Выводы.

1. При лечении экспериментальных животных - золотистых хомяков с описторхозом выявили, что в печени встречаемость паразита сохраняется, а сама печеночная ткань и гепатоциты резко разрушаются в случае, если препарат вводили однократно раз в месяц в течение полугода.
2. После действия оксинида разрушается тегумент кишечника, репродуктивные органы и железы, блокируется продукция половых клеток трематод, яйца в матке сохраняются, но токсическое действие препарата может способствовать мутации развивающегося в них зародыша, устойчивости новых особей к антигельминтику.
3. Использование для лечения ацемидофена со стандартной витаминной добавкой ведет к ослаблению паразитоцидного эффекта. Все это указывает на возможность не «убивать» паразита, а мутировать.
4. Длительное использование одних и тех же препаратов способствует развитию устойчивости трематод к данной химиотерапии. С точки зрения здравоохранения это приводит к снижению эффективности лечебных мероприятий.
5. В животноводческих хозяйствах устойчивость к антигельминтикам приводит к падежу скота и к большому экономическому ущербу.

Список литературы

1. Гребенщиков, В.М., Начева Л.В. Микроморфология и гистохимия половой системы и гаметогенеза трематод в норме и при действии антигельминтиков. Кемерово, 2008.

2. Начева, Л.В., Додонов М.В., Воробьева Е.И. Ксенопаразитарный барьер при описторхозе (гистологические и гистохимические исследования триады органов – печень, поджелудочная железа и двенадцатиперстная кишка). Кемерово-Москва, 2009.

3. Начева, Л.В., Воробьева Е.И. Функциональная морфология взаимоотношений в системе «паразит-хозяин» при эуритрематозе (гистологические и гистохимические исследования), Кемерово, 2007.

4. Начева, Л.В., Микроморфологические исследования органов и тканей хозяина при описторхозе после воздействия антигельминтиков растительного и синтетического происхождения / Л.В.Начева, Ю.А. Нестерок // Российский паразитологический журнал, 2012 , №2, С.101-104.

5. Начева, Л.В., Влияние растительных антигельминтиков эрлима и экорсола на морфометрию ядер гепатоцитов хомяков с индуцированным описторхозом. / Л.В.Начева, Ю.А. Нестерок // Фундаментальная и клиническая медицина. 2017; 2(1):44-49.

СЕЛЕЗНЕВ В.В., КОВАЛЕНКО И.В.

ВНУТРИВЕННОЕ ВВЕДЕНИЕ ЭТАНОЛА В ДОГОСПИТАЛЬНОЙ ТЕРАПИИ ОТЁКА ЛЁГКИХ

Воронежский государственный медицинский университет имени Н.Н.

Бурденко, г. Воронеж

e-mail: vadim.wtf@mail.ru

SELEZNEV V.V., KOVALENKO I.V.

INTRAVENOUS ETHANOL INJECTION AT THE PREHOSPITAL THERAPY OF PULMONARY EDEMA

Voronezh State Medical University, Voronezh

e-mail: vadim.wtf@mail.ru

Аннотация: Исследование посвящено догоспитальной терапии отёка лёгких при помощи внутривенного введения этанола. Теоретические данные не доказывают целесообразность подобного лечения. Требуется практическое исследование, что осложняется отсутствием модели отёка лёгких. Предполагается, что монокроталин можно использовать для моделирования данного заболевания.

Ключевые слова: спирт, этанол, отёк лёгких, догоспитальная терапия, внутривенное введение, фармакодинамика этанола, фармакокинетика этанола, этиловый спирт

Abstract: The research is devoted to prehospital therapy of pulmonary edema by using ethanol injection. Theory don't prove feasibility of this type of treatment. This theme requires practical research. Unfortunately, modeling of pulmonary edema doesn't exist for now. But now modeling of pulmonary edema doesn't exist. The author suggests that monocrotaline can be used for modeling disease.

Keywords: alcohol, ethanol, pulmonary edema, prehospital therapy, intravenous injection, pharmacodynamics of ethanol, pharmacokinetics of ethanol

Как известно, в работе скорой помощи состояние пациента может быть крайне тяжёлым. В таком случае необходимо в срочном порядке оказывать неотложную помощь. Среди таких острых состояний важное место занимает отёк лёгких, зачастую развивающийся на фоне ишемической болезни сердца и левожелудочковой недостаточности. При оказании неотложной помощи в отечественной медицине в качестве пеногасителя используют этиловый спирт, который является составляющей стандарта оказания скорой медицинской помощи [1]. Однако, некоторые бригады игнорируя приказы Министерства здравоохранения вводят этанол внутривенно. Данный способ лечения активно практиковался в 90-е годы по причине низкой стоимости спирта и недостатка бюджетных средств. По словам медицинского персонала внутривенное применение этанола способствовало резкому улучшению состояния пациентов. Но неизвестно насколько оправдан риск парентерального введения этого лекарственного вещества. В связи с этим возникает вопрос: «целесообразно ли вводить этиловый спирт внутривенно для купирования отёка лёгких?». Для того чтобы ответить на этот вопрос необходимо доказать эффективность и безопасность этанола.

Цель исследования. Определить эффективность и безопасность введения этилового спирта при лечении отёка лёгких на догоспитальном этапе. Актуальность: если данные показатели будут высокими, то это позволит улучшить состояние пациента и снизить смертность от отёка лёгких на догоспитальном этапе.

Материалы и методы исследования. В представленной работе основным методом исследования является анализ литературных материалов, что объясняется отсутствием описанных моделей для изучения.

Результаты исследования и их обсуждение. Для того чтобы полностью понимать механизм действия этилового спирта необходимо знать фармакокинетику и фармакодинамику вещества. Информация, представленная в большинстве литературных материалов, не раскрывает в должной степени взаимодействие лекарственного вещества и организма.

Информация есть только про основные способы применения – либо внутрь при некоторых состояниях (например, при отравлении метиловым спиртом или этиленгликолем), либо наружный (при нанесении на кожные покровы) [4]. Известно, что при данном введении основной метаболизм происходит в печени. Если спирт поступает парентерально (через кубитальную или подключичную вену), то вещество проникает в кровоток в обход печеночного кровотока. Это способствует поступлению к лёгким большей концентрации действующего вещества. Так как этиловый спирт хорошо растворим в воде и умеренно в нейтральных жирах (соотношение жир/вода 0,3), насыщение тканей алкоголем прямо пропорционально степени их гидратации и обратно пропорционально количеству жира в них. Иными словами, диффузия алкоголя в органы и ткани тем больше, чем лучше их васкуляризация. В частности, из-за преимущественного кровоснабжения мозга насыщение этанолом мозговой ткани идет быстрее, и концентрация в ней оказывается выше, чем в других органах. По той же причине этиловый спирт будет поступать и в сердце. Элиминация происходит через мочу, кал, пот и выдыхаемый воздух в исходном формате и в виде метаболитов [3].

Окисление этанола происходит в два этапа при помощи нескольких ферментативных систем. Первый этап происходит в 70-80% под действием алкогольдегидрогеназы, находящейся в печени, ЖКТ, почках и лёгких. При высоких концентрациях спирта активируется микросомальная этанолокисляющая система с участием цитохрома P-450. Если объём спирта после воздействия дополнительной ферментативной системы высокий, то подключается ещё и пероксид-каталазная система. В результате окисления спирта получается вещество под названием ацетальдегид [4].

Второй этап – окисление ацетальдегида альдегиддегидрогеназой до уксусной кислоты. При накоплении уксусной кислоты будет происходить реакция с коферментом А, в результате чего повышается уровень Ацетил-КоА. В свою очередь снижение уровня кофермента А уменьшает окисление углеводов и жирных кислот. Сам же Ацетил-КоА будет использоваться в цикле Кребса, что увеличивает продукцию энергии в организме [4].

По стандартам оказания скорой медицинской помощи при отёке лёгких необходима ингаляция парами этилового 96-градусного спирта через носовой катетер со скоростью 2-3 л/мин. При привыкании к раздражающему действию скорость увеличивают до 9-10 л/мин [1].

Альтернативный вариант использования этанола связан с внутривенным введением 33% раствора. Для этого предварительно разводят 96-градусный этанол в 15 мл 5% раствора глюкозы. При введении в вену этиловый спирт достигает микроциркуляторное русло лёгких в течение нескольких секунд. Соответственно, максимальная концентрация в крови достигается почти мгновенно и контролируется движением поршня шприца. Спирт образует сверху воды густой слой, так как плотность этанола намного выше плотности трансудата. Наружный слой этанола снизит

поверхностное натяжение пены. Вдыхаемый воздух не будет взаимодействовать с трансудатом и образовывать новую пену. Частицы спирта по объёму вдвое крупнее частиц воды. Поэтому при смешивании частицы воды будут размещаться в промежутках между частицами спирта. В дальнейшем вещества будут смешиваться, что снизит объём жидкости. Это будет уменьшать отёк, имеющий в интерстиции лёгких [2,3].

Выводы. Исходя из вышеперечисленной информации стало известно, что действие этилового спирта при внутривенном введении малоизучено. Почти все сведения статьи были собраны из литературных источников по биохимии. В научной и медицинской литературе отсутствует доказательная база, подтверждающая эффективность и безопасность парентерального способа введения этанола. Для определения данных показателей необходимо иметь математически или экспериментально выверенные достоверные данные. Главным препятствием в этом является отсутствие экспериментальной модели отёка лёгких.

Чтобы продолжить данную статью и ответить на поставленный вопрос необходимо создать условия, приближенные к отёку лёгких у лабораторных животных. К примеру, могут вводиться вещества, использующиеся для моделирования легочной артериальной гипертензии. Одним из таких веществ является монокроталин. Поэтому автор статьи предполагает, что использование монокроталина способно вызвать такое острое состояние, как отёк лёгких.

Список литературы

1. Приказ Министерства здравоохранения РФ от 20 июня 2013 г. №388н «Об утверждении Порядка оказания скорой, в том числе скорой специализированной, медицинской помощи» (с изменениями на 21 февраля 2020 года). М.: 2020.
2. Галицкий Ф.А., Деркач А.В. Пути элиминации этанола в организме человека и влияние на неё различных факторов // Материалы научных конференций экспертизы / под ред. В.П. Новоселова, Б.А. Саркисяна, В.Э. Янковского. – Новосибирск: Ассоциация «Судебные медики Сибири», 2001. – Выпуск 6. С. 192-196
3. Иванец Н.Н. Наркология / Н.Н. Иванец, Ю.Г. Тюльпин, М.А. Кинкулькина. – М.: ГЭОТАР- Медиа, 2011. – 240 с.
4. Спирты / Н.Ф. Маркизова [и др.]. – СПб.: 2004 – 58 с.

¹ТАРАРИНА Л.А., ²БРОДОВСКАЯ Е.П., ²ХУТОРСКАЯ И.А.,
²ШЛЯПКИНА В. И., ²ЯКОБСОН Д. Э., ²АГЕЕВ В.П.
**ПЕРСПЕКТИВЫ ПРИМЕНЕНИЯ ЛИПОСОМАЛЬНОЙ ФОРМЫ
ХЛОРИНА Е6 ДЛЯ ФОТОДИНАМИЧЕСКОЙ ТЕРАПИИ**

¹*Московский государственный медико-стоматологический университет
имени А. И. Евдокимова, г. Москва*
²*ФГБОУ ВО «МГУ им. Н.П. Огарёва», г. Саранск
e-mail: valeageev@yandex.ru*

¹TARARINA L. A., ²BRODOVSKAYA E. P., ²KHUTORSKAYA I. A.,
²SHLYAPKINA V. I., ²YAKOBSON D. E., ²AGEEV V. P.
**PROSPECTS FOR THE APPLICATION OF THE LIPOSOMAL FORM
OF CHLORIN E6 FOR PHOTODYNAMIC THERAPY**

¹*Ogarev Mordovia State University, Saransk*
²*Federal State Budgetary Educational Institution of Higher Education
«Yevdokimov A. I. Moscow State University of Medicine and Dentistry» of the
Ministry of Healthcare of the Russian Federation
e-mail: valeageev@yandex.ru*

Аннотация: В ходе исследования была разработана методика изготовления липосомальной формы хлорина Е6 (Се6), а так же доказана её большая фотоцитотоксичность на клеточной культуре фибробластов мыши L929 в сравнении с классическим Се6. Было установлено что липосомальный Се6 лучше проникает через клеточные мембраны, что и обуславливает его большую эффективность.

Ключевые слова: хлорин Е6, липосомы, фотодинамическая терапия, L929, ультрафильтрация, спектрофотометрия

Abstract: In the course of the work, a method for manufacturing the liposomal form of chlorin E6 (Ce6) was developed. Its greater photocytotoxicity on cell culture of mouse fibroblasts L929 was also proven in comparison with classical Ce6. It was found that liposomal Ce6 penetrates better through cell membranes, which makes it more effective.

Keywords: chlorin E6, liposomes, photodynamic therapy, L929, ultrafiltration, spectrophotometry

Цель исследования. Изучить возможность использования липосомальной формы хлорина Е6 для фотодинамической терапии на клеточной культуре L929 в сравнении с водорастворимой тринатриевой солью хлорина Е6.

Материалы и методы исследования.

Липосомы были получены методом гидратации липидной плёнки. Хлорин Е6 (Се6) включали непосредственно в липидную мембрану. Для этого в круглодонную колбу вливали раствор Се6 в хлороформе

содержащий 2,5 мг действующего вещества и добавляли к нему 400 мг лецитина, 40 мг холестерина и 25 мл хлороформа. После чего органическую фазу удаляли на роторном испарителе под вакуумом при температуре 55°C. Полученную плёнку просушивали в токе азота в течение 2 минут. Для формирования мультиламеллярных везикул плёнку гидратировали 10 мл 0,9% раствора NaCl. Полученную наноэмульсию экструдировали трёхкратно с помощью газового экструдера LiposoFast LF-50 через поликарбонатные фильтры с размером пор 400 нм под давлением 35 бар.

Размер полученных липосом измеряли методом динамического светорассеивания на анализаторе размеров наночастиц NANO-flex (Microtrac Inc., США). [1]

Для удаления внелипосомального Себ использовали метод ультрафильтрации с помощью камера для ультрафильтрации модель 8200 (Amicon, США) в которую помещали 10 мл липосом, после чего объём жидкости в камере доводили до 50 мл 0,9% раствором хлорида натрия. [2]. Ультрафильтрацию производили через целлюлозную мембрану с размером пор 12-14 кДа в течении 24 часов под давлением азота 0,35-0,4 МПа. Полученный ультрафильтрат использовали для определения эффективности включения Себ в липосомы. Оставшуюся в камере для ультрафильтрации наноэмульсию доводили до 10 мл 0,9% раствором хлорида натрия.

Количественное определение хлорина Е6 проводили методом УФ-спектрометрии на спектрофотометре UV-2600 (Shimadzu Inc., Япония) при длине волны 407 нм по предварительно построенной градуировочной кривой с диапазоном концентраций от 31,25 нг/мл до 10000 нг/мл.

Эффективность включения Себ в липосомы определяли путем спектрофотометрического измерения его концентрации в ультрафильтрате, полученном при очистке наноэмульсии. При этом ультрафильтрат высушивали в вакуум-сушильном шкафу при температуре 45°C и перерастворяли в хлороформе.

Эффективность включения Себ в липосомы определяли по формуле 1:

$$\omega = (m(\text{Себ})_{\text{ИСХ}} - m(\text{Себ})_{\text{УФ}}) / (m(\text{Себ})_{\text{ИСХ}}) * 100\% \quad (1)$$

где $m(\text{Себ})_{\text{ИСХ}}$ – масса Себ использованная для изготовления липосомальной композиции, мг; $m(\text{Себ})_{\text{УФ}}$ - масса Себ в ультрафильтрате.

Исследование цитотоксичности проводили на клетках фибробластов мыши L929 (получены из Коллекции культур тканей ФГБУ «ФНИЦЭМ им. Н.Ф. Гамалеи» Минздрава России) выращенных в стандартных условиях после 24 инкубации в 96-луночном планшете. Исследуемые наночастицы вносили в лунки в объёме 100 мкл в дозах доз от 125 мкг/мл до 0,24 мкг/мл в пересчёте на Себ. Для запуска фотоцитотоксической реакции, через 4 часа после внесения липосомальной формы Себ, производили облучение клеток с использованием светодиодной лампы с длиной волны излучения 660 нм

и мощностью 60 Вт, которая располагалась на расстоянии 30 см от планшета. Плотность мощности излучения составила 125 мВт/см², а доза излучения 30 Дж/см². [2.3] Аналогичным образом производили исследование цитотоксичности свободной формы Себ в виде его тринатриевой соли (СебNa). Контрольный эксперимент проводили в аналогичных условиях с тем же набором исследуемых веществ в тех же концентрациях, но без облучения светодиодной лампой. После 24 часовой инкубации в стандартных условиях без доступа света производили измерение жизнеспособности клеток с помощью МТТ-теста. Оптическую плотность измеряли на планшетном ридере Varioskan LUX (Thermoscientific, США) при длине волны 570 нм (референсная 650 нм).

Для изучения распределения свободного СЕБ в межклеточном пространстве в стерильных чашках Петри диаметром 35 мм были рассеяны клетки фибробластов мыши L929 в количестве 100 тысяч штук в экспоненциальную фазу роста. Клетки инкубировались 24 ч в стандартных условиях. Объём среды составил 1 мл. После чего в чашки Петри были внесены соответственно липосомальной Себ и СебNa в дозе 15,6 нг/мл в пересчёте на Себ и инкубировали в течение 4 часов. После чего было взято 0,5 мл среды для анализа. Образцы были очищены от нежизнеспособных клеток и клеточного детрита центрифугированием при 15 000 g. Из полученных растворов были взяты аликвоты и проанализированы на спектрофотометре по стандартной методике. В качестве раствора сравнения использовали холостой опыт.

Результаты исследования и их обсуждение.

В результате исследования была получена липосомальная форма Себ с размером частиц 223 ± 36 нм, концентрацией действующего вещества в мембране 0,233 мг/мл и эффективностью его включения 93,32%.

Было доказано, что данная лекарственная форма обладает достаточной фотоцитотоксичностью на фоне облучения светом с длиной волны 660 нм. В концентрациях 125 мкг/мл, 62,5 мкг/мл разница в цитотоксичности между липосомальной и водорастворимой формой Себ практически отсутствует как на фоне облучения, так и без него. Однако в концентрациях 31,25 мкг/мл 15,6 мкг/мл и 7,8 мкг/мл при эквивалентной токсичности без облучения липосомальный Себ показал значительно большую цитотоксичность на фоне воздействия света с длиной волны 660 нм в сравнении с свободным Себ. Наиболее перспективной при этом является доза в 15,6 мкг/мл, обладающая наибольшей разницей между темновой и световой цитотоксичностью. В дозах меньше 7,8 мкг/мл липосомальная и свободная форма Себ обладают эквивалентными показателями фотоцитотоксичности.

Было установлено, что в межклеточном пространстве группы Лип-Себ содержание свободного Себ составляет $0,24 \pm 0,02$ нг/мл или $1,54 \pm 0,13\%$ от введённой дозы. Таким образом можно заключить что 98,46% Себ

находятся в клетках и оказывают там фотоцитотоксический эффект. При этом, в группе СебНа содержание СебНа в межклеточном пространстве в пересчёте на Себ составляет $10,763 \pm 0,32$ нг/мл или $68,99 \pm 2,31\%$ от введённой дозы. Таким образом можно сделать заключение что только 31% препарата оказывают свой эффект непосредственно в клетках, остальная часть СебНа находится в межклеточном пространстве и в меньшей степени влияет на фотоцитотоксичность препарата. Отсюда можно сделать заключение что липосомальная форма Себ является более перспективной лекарственной формой в сравнении с классическим Себ, за счёт способности активнее проникать в клетки, оказывая более локальный, но при этом более выраженный фотоцитотоксический эффект. [4]

Выводы. В результате проведения данного исследования была разработана методика изготовления липосомальной формы Себ. При этом было доказано, что данная наноструктурная композиция обладает более выраженным фотоцитотоксическим эффектом в сравнении с классическим Себ. Нами было установлено, что это связано с меньшей эффективностью проникновения свободного Себ в клетки, что и обуславливает большую эффективность липосомальной формы Себ. Таким образом можно сделать вывод что разработанная нами липосомальная форма Себ является перспективной композицией для лечения онкологических заболеваний.

Список литературы

1. Kulikov OA, Ageev VP, Brodovskaya EP, Shlyapkina VI, Petrov PS, Zharkov MN, Yakobson DE, Maev IV, Sukhorukov GB, Pyataev NA. Evaluation of photocytotoxicity liposomal form of furanocoumarins Sosnowsky's hogweed. *Chem Biol Interact.* 2022 Apr 25;357:109880. doi: 10.1016/j.cbi.2022.109880. Epub 2022 Mar 7. PMID: 35271822.
2. Патент на полезную модель № 154660 U1 Российская Федерация, МПК В01D 61/14, В01D 63/16, В01D 61/18. Устройство для ультрафильтрации жидкостей : № 2014147713/05 : заявл. 26.11.2014 : опубл. 27.08.2015 / Н. А. Пятаев, О. В. Минаева, П. С. Петров [и др.]
3. Hopkins T, Ukani R, Kopelman R. Intracellular Photodynamic Activity of Chlorin e6 Containing Nanoparticles. *Int J Nanomed Nanosurg.* 2016;2(4):119. doi: 10.16966/2470-3206. Epub 2016 Nov 17. PMID: 28956023; PMCID: PMC5611789.)
4. Zorina TE, Yankovsky IV, Kravchenko IE, Shman TV, Belevtsev MV, Zorin VP. [Evaluation of Photo- and Cytotoxicity of Chlorin e6 Ester Derivatives and Their Liposomal Forms]. *Biofizika.* 2015 Sep-Oct;60(5):922-30. Russian. PMID: 26591603.]

¹ТИНЬКОВ О.В., ¹ФОМОВ Г.В., ²ГРИГОРЬЕВ В.Ю., ³ГРИГОРЬЕВА Л.Д.
**QSAR ПРОГНОЗИРОВАНИЕ ОСТРОЙ ТОКСИЧНОСТИ
ОРГАНИЧЕСКИХ СОЕДИНЕНИЙ**

¹*Приднестровский Государственный Университет им. Т.Г. Шевченко, г.
Тирасполь, Приднестровье*

²*Институт физиологически активных веществ Федерального
государственного бюджетного учреждения науки Федерального
исследовательского центра проблем химической физики и медицинской
химии Российской академии наук, г.Черноголовка, Московская область*

³*Московский Государственный Университет имени М.В. Ломоносова,
г.Москва*

e-mail: oleg.tinkov.chem@mail.ru

¹TINKOV O.V., ¹FOMOV G.V., ²GRIGOREV V.YU., ³GRIGOREVA L.D.
**QSAR PREDICTION OF ACUTE TOXICITY OF ORGANIC
COMPOUNDS**

¹*Shevchenko Transnistria State University, Tiraspol, Transnistria*

²*Institute of Physiologically Active Substances of the Federal Research Center
for Problems of Chemical Physics and Medical Chemistry of the Russian
Academy of Sciences, Chernogolovka, Moscow region*

³*Lomonosov Moscow State University, Moscow*

e-mail: oleg.tinkov.chem@mail.ru

Аннотация: При определении стратегии синтеза и испытаний органических соединений крайне важно оценивать токсичность. В ходе исследования предложен ряд адекватных регрессионных QSAR моделей, способных расширить функционал существующих платформ прогнозирования токсичности органических соединений.

Ключевые слова: острая токсичность, молекулярные дескрипторы, машинное обучение, python.

Abstract: When determining the strategy for the synthesis and testing of organic compounds, it is extremely important to assess the toxicity. In the course of the study, a number of adequate regression QSAR models have been proposed that can expand the functionality of existing platforms for predicting the toxicity of organic compounds.

Keywords: acute toxicity, molecular descriptors, machine learning, python

Цель исследования. Ограничения использования *in vivo* и *in vitro* подходов для определения свойств химических соединений способствовали развитию *in silico* подходов. Предсказательная токсикология, применяемая при разработке новых лекарственных препаратов, предназначена для дополнения экспериментальных исследований с целью улучшения прогнозов токсичности и оценки безопасности молекулы. В то же время это

эффективный способ сокращения временных затрат и решения этических проблем, связанных с проведением экспериментов на животных.

На мировом рынке разработка нового медицинского препарата обычно занимает от 10 до 12 лет и требует вложений в размере около 1 миллиарда долларов. Экспериментальный поиск соединений с желаемыми свойствами является крайне затратным, стоимость синтеза и профилирования физико-химических свойств всего одной молекулы может достигать десятков миллионов рублей. Необходимость дополнительного исследования токсичности, без которого молекулы-кандидаты не могут пройти клинические испытания, увеличивает данные расходы. Проведение экспериментов требует большого количества лабораторных животных и занимает продолжительное время.

Значительную помощь в снижении как финансовых, так и временных затрат при исследовании токсичности органических соединений в рамках разработки лекарственных средств оказывают методы «Количественной Связи Структура – Активность» (QSAR) [1].

В связи с уходом из России ряда провайдеров зарубежного специализированного программного обеспечения и баз данных в области фармакологии, предсказательной токсикологии, крайне актуальной становится проблема разработки отечественных электронных ресурсов, способных снижать финансовые, временные затраты при разработке лекарственных средств. Некоторые компании стремятся заполнить данный пробел. Например, Синтелли (<https://syntelly.ru/>) и GUSAR (<https://www.way2drug.com/gusar/acutoxpredict.html>), российские платформы искусственного интеллекта для органической и медицинской химии, позволяют предсказывать некоторые виды токсичности, основываясь на разработанных QSAR моделях. Целесообразным является расширение спектра прогнозируемых видов токсичности, в этой связи целью данного исследования является построение адекватных QSAR моделей, описывающих влияние структуры органических соединений на различные виды токсичности.

Материалы и методы. Источником формирования выборок для QSAR моделирования послужила публикация [2], в которой авторы использовали информацию из базы данных ChemIDplus. Импортированные выборки дополнительно подверглись анализу и проверке в соответствии с предложенным ранее общеизвестным протоколом [3], в результате чего размер выборок несколько сократился по сравнению с оригинальными.

С целью оценки предсказательной способности QSAR моделей, первоначальные общие выборки разделяли на обучающие (ws) и тестовые (ts) наборы. Для этого каждую общую выборку соединений упорядочивали по возрастанию количественной меры токсичности, например, LD₅₀, и каждое пятое соединение помещали в тестовый набор, оставшиеся вещества формировали обучающий набор.

Для описания молекулярной структуры использовали дескрипторы Morgan fingerprints (MF) с радиусом 2 и длиной 1024 бита, которые рассчитывались с помощью библиотеки RDKit (<https://www.rdkit.org/docs/index.html>) на языке программирования Python. Для построения моделей использовали библиотеку scikit-learn (<https://scikit-learn.org/stable/>), при этом применяли метод случайного леса (Random Forest, RF), гиперпараметры которого автоматически настраивались с помощью модуля GridSearchCV, также реализованного в scikit-learn. Для оценки устойчивости моделей была использована пятикратная внутренняя кросс-валидация (5-fold cross validation, CV). Для валидации QSAR моделей также применяли метод у-рандомизации с 50 итерациями, реализованный в модуле permutation_test_score библиотеки scikit-learn. Вхождение соединений тестовой выборки в область применимости (Applicability Domain, AD) рассчитывали с помощью «расстояния сходства» (similarity distance) [4]. Уровень отсутствия случайной корреляции при построении QSAR моделей в рамках процедуры у-рандомизации оценивали коэффициентом детерминации, а также p-value. Согласно общепринятым правилам, если p-value достаточно мало, ниже определенного порога (как правило, 0,05), можно утверждать, что в исследуемой закономерности, описанной разработанной моделью, отсутствует случайная корреляция [5].

Результаты исследования и их обсуждения. В ходе проведенных вычислительных экспериментов нами были разработаны QSAR модели для 59 видов острой токсичности при варьировании способов введения ксенобиотиков, вида экспериментальных животных и количественной меры токсичности. Статистические характеристики приемлемых QSAR моделей представлены в таблице 1.

При построении QSAR моделей в условиях у-рандомизации значения p-value не превышают 0,05, что подтверждает отсутствие случайной корреляции в предлагаемых QSAR моделях.

Представленные в таблице 1 модели могут быть использованы для прогнозирования уровня токсичности органических соединений в рамках разработки лекарственных средств. Некоторые QSAR модели, например, при внутривенном введении токсикантов кошкам, отсутствуют на платформах Синтелли и GUSAR, в связи с чем, полученные результаты могут расширить функционал отечественных платформ прогнозирования токсичности.

Таблица 1. Статистические характеристики разработанных моделей

Организм	Способ введения	Доза	Размер выборки (ws/ts)	Q^2_{CV}	$RMSE_{CV}$	Cov.	Q^2_{ts}	$RMSE_{ts}$
мыши	внутривенно	LD ₅₀	12054/3014	0,52	0,59	0,74	0,61	0,56
крысы	внутривенно	LD ₅₀	1807/452	0,54	0,67	0,70	0,61	0,54
кролики	внутривенно	LD ₅₀	548/138	0,56	0,74	0,66	0,76	0,65
кошки	внутривенно	LD ₅₀	198/50	0,71	0,71	0,68	0,82	0,58
морские свинки	внутривенно	LD ₅₀	116/29	0,55	0,80	0,86	0,60	0,79
мыши	перорально	LD ₅₀	4977/1249	0,56	0,55	0,72	0,68	0,5
крысы	перорально	LD ₅₀	7712/1929	0,55	0,65	0,74	0,64	0,63
мыши	внутрибрюшинно	LD ₅₀	27332/6834	0,54	0,55	0,75	0,63	0,52
мыши	подкожно	LD ₅₀	5415/1354	0,51	0,64	0,75	0,62	0,59
кошки	внутривенно	LDL ₀	127/32	0,63	0,78	0,69	0,77	0,67
морские свинки	внутривенно	LDL ₀	96/25	0,56	0,73	0,68	0,61	0,72

Примечание: Q^2_{CV} – коэффициент детерминации в условиях пятикратной внутренней кросс-валидации; $RMSE_{CV}$ – среднеквадратичная ошибка в условиях пятикратной внутренней кросс-валидации; Cov.- охват данных в области применимости, представляющий отношение числа соединений из тестовой выборки, вошедших в область применимости, к общему числу соединений тестовой выборки; Q^2_{ts} – коэффициент детерминации прогнозирования токсичности соединений тестовой выборки; $RMSE_{CV}$ – среднеквадратичная ошибка прогнозирования токсичности соединений тестовой выборки

Выводы. Проведенные исследования позволили создать ряд адекватных регрессионных QSAR моделей, способных прогнозировать проявление различных видов острой токсичности, что может быть крайне полезным при разработке новых лекарственных препаратов.

Список литературы

1. Muratov E.N., Bajorath J., Sheridan R.P., Tetko I.V., Filimonov D., Poroikov V., Oprea T.I., Baskin I.I., Varnek A., Roitberg A., Isayev O., Curtalolo S., Fourches D., Cohen Y., Aspuru-Guzik A., Winkler D.A., Agrafiotis D., Cherkasov A., Tropsha A. QSAR without borders // Chem Soc Rev. 2020. Vol.49. pp. 3525- 3716.
2. Jain S., Siramshetty V.B., Alves V.M., Muratov E.N., Kleinstreuer N., Tropsha A., Nicklaus M.C., Simeonov A., Zakharov A.V. Large-Scale Modeling of Multispecies Acute Toxicity End Points Using Consensus of Multitask Deep Learning Methods // J Chem Inf Model. 2021 Vol.61. pp.653-663.
3. Fourches D., Muratov E., Tropsha A. Trust, but verify: on the importance of chemical structure curation in cheminformatics and QSAR modeling research // J Chem Inf Model. 2010. Vol. 50. pp.1189-204.

4. Tinkov O.V., Grigorev V.Y., Grigoreva L.D., Osipov V.N. HDAC1 PREDICTOR: a simple and transparent application for virtual screening of histone deacetylase 1 inhibitors // SAR and QSAR in environmental research. 2022. Vol. 33. pp. 915–931.

5. Ojala M., Garriga G. C. Permutation Tests for Studying Classifier Performance // Journal of Machine Learning Research. 2010. Vol. 11. pp.1833-1863.

^{1,2}ТРОФИМОВА Е.С., ¹ЛИГАЧЁВА А.А., ²ЗЫКОВА М.В.,
¹СЕЛИВАНОВА Н.С.

**ВЛИЯНИЕ ГУМИНОВЫХ КИСЛОТ ТОРФА НА РЕАКЦИИ
ГИПЕРЧУВСТВИТЕЛЬНОСТИ РАЗЛИЧНОГО ТИПА**

¹НИИ фармакологии и регенеративной медицины имени Е.Д. Гольдберга,
г. Томск

²Сибирский государственный медицинский университет, г. Томск
e-mail: trofimova_es@pharmso.ru

^{1,2}TROFIMOVA E.S., ¹LIGACHEVA A.A., ²ZYKOVA M.V. ,
¹SELIVANOVA N.S.

**INFLUENCE OF PEAT HUMIC ACIDS ON HYPERSENSITIVITY
REACTIONS OF DIFFERENT TYPES**

¹E.D. Goldberg Research Institute of Pharmacology and Regenerative
Medicine, Tomsk

²Siberian State Medical University, Tomsk
e-mail: trofimova_es@pharmso.ru

Аннотация: гуминовые кислоты, выделенные из различных видов торфа болот Томской области снижают тяжесть анафилактического шока на овальбумин у мышей CD1, уменьшают содержание IgG1 и IgE в сыворотке крови животных и показатель дегрануляции тучных клеток, а также подавляют реакцию гиперчувствительности замедленного типа, вызванную эритроцитами барана и синтез специфических гемагглютининов.

Ключевые слова: гуминовые кислоты, анафилактический шок, дегрануляция тучных клеток, иммуноглобулины, гиперчувствительность замедленного типа.

Abstract: humic acids isolated from various types of peat of the Tomsk region swamps reduce the severity of anaphylactic shock to ovalbumin in CD1 mice, reduce the content of IgG1 and IgE in the blood serum of animals and the index of mast cell degranulation, and also suppress the delayed-type

hypersensitivity reaction caused by sheep erythrocytes and synthesis of specific hemagglutinins.

Keywords: humic acids, anaphylactic shock, mast cell degranulation, immunoglobulins, delayed-type hypersensitivity.

В настоящее время в мире наблюдается стремительный рост аллергических заболеваний, что подтверждается эпидемиологическими данными. Присутствие в окружающей среде значительного количества ксенобиотиков, массовое применение вакцин, искусственное ограничение иммунной системы от контактов с патогенами способствует формированию гиперчувствительности к веществам антигенной природы [5]. Лекарственные средства, используемые при реакциях гиперчувствительности немедленного типа (ГНТ), являются блокаторами гистаминовых рецепторов либо препятствуют высвобождению гистамина и других биологически активных веществ из тучных клеток и базофилов. При гиперчувствительности замедленного типа (ГЗТ) используются средства, угнетающие иммунитет. Все группы препаратов представляют собой синтетические лекарственные средства, не имеют природных аналогов и обладают значительными побочными эффектами. В последние годы растёт интерес к изучению гуминовых кислот (ГК), которые содержатся в почве, природных водах и отложениях, таких как торф. Было показано, что пероральное введение гуматов снижает гиперчувствительность, связанную с накожным нанесением динитрофторбензола, которая является моделью иммунного ответа *in vivo* по типу ГЗТ [4], а также количество эозинофилов в назальных мазках у больных с аллергическим ринитом и кожные пробы на аллерген [3]. При этом токсические и побочные эффекты гуматов у экспериментальных животных при пероральном введении или накожном нанесении не были выявлены [4].

Таким образом, **целью нашего исследования** было изучение влияния ГК торфа на реакции ГНТ и ГЗТ на моделях *in vivo* и механизмы, лежащие в их основе.

Материалы и методы исследования. Из торфяных месторождений Томской области забирали образцы торфа, высушивали при комнатной температуре, измельчали в роторно-ножевой мельнице, просеивали через сито (диаметр отверстий 3 мм), обрабатывали 0.1 М раствором натрия пирофосфата (1:100). Экстракт ГК отделяли от твёрдых остатков торфа вакуумной фильтрацией при постоянном перемешивании в течение 8 ч в реакторе Р-100 (ООО «Артлайф», Россия) при 25-27°C и обрабатывали хлороводородной кислотой до pH=1-2, после чего ГК осаждали центрифугированием, отмывали осадок водой до pH=7 и высушивали при комнатной температуре. В работе были использованы 3 образца ГК торфа, которые отличались друг от друга местом отбора, глубиной отбора, степенью разложения торфа и зольностью: ГК-1 (сфагново-мочажинный

торф, мочажина грядово-мочажинного комплекса, глубина отбора 20-70 см; степень разложения 5-10 %; зольность 2,77 %), ГК-2 (сосново-пушицевый торф, высокий рям, глубина отбора 10-50 см; степень разложения 30-35 %; зольность 7,25 %), ГК-3 (магелланикум торф, гряда грядово-мочажинного комплекса, глубина отбора 100-120 см; степень разложения 10-15 %; зольность 2,66 %).

Эксперименты проводили на 68 аутбредных мышах СD1 и 56 мышах линии СВА (6-8 недель), которые были получены из отдела ЭБМ НИИФиРМ им. Е.Д. Гольдберга. Все процедуры были проведены в соответствии с ГОСТом 33215–2014 «Правила оборудования помещений и организация процедур при работе с лабораторными животными» и одобрены Комиссией по гуманному отношению к животным НИИФиРМ им. Е.Д. Гольдберга (протокол № 98122015).

Моделирование ГНТ у мышей СD1 осуществляли двукратным введением с интервалом в 3 недели под кожу бедра 100 мкг овальбумина (OVA) и 5 мг гидроокиси алюминия (оба «Sigma», США) в 0,1 мл физиологического раствора (ФР). За 5 дней до каждого введения OVA и в течение 5 дней после второй иммунизации (всего 15 инъекций) внутрибрюшинно раз в сутки вводили ГК (1 мг/кг массы тела) в объеме 0,1 мл. В качестве контроля мышам вводили 0,1 мл ФР. Для проведения анафилактического шока через 7 суток после последней иммунизации мышам вводили внутривенно разрешающую дозу OVA (10 мкг в 0,1 мл ФР), либо забирали кровь, получая центрифугированием сыворотку, в которой измеряли концентрацию IgG1 и IgE или оценивали её влияние на дегрануляцию тучных клеток, выделенных из брюшной полости интактных крыс SD в присутствии антигена. Тяжесть анафилактического шока оценивали по количеству животных, умерших в течение 2-4 часов, летальность выражали в процентах. Содержание иммуноглобулинов в сыворотке крови мышей определяли иммуноферментным методом с использованием соответствующих тест-систем («Invitrogen», США) согласно протоколам. Реакцию непрямого дегрануляции тучных клеток оценивали с помощью метода, описанного в «Руководстве по проведению доклинических исследований лекарственных средств» под редакцией А.Н. Миронова [1].

Реакцию ГЗТ моделировали введением эритроцитов барана (ЭБ) мышам СВА, ГК вводили животным 10 дней ежедневно внутрибрюшинно в указанной выше дозе, контрольной группе вводили ФР. Суспензию ЭБ («ЭКОлаб», Россия) отмывали ФР, затем подкожно вводили по $1,0 \times 10^7$ клеток в 0,1 мл ФР через 5 дней от начала введения ГК (сенсibiliзирующая инъекция). Контрольным животным вводили 0,1 мл ФР аналогичным способом. На 5-е сутки после иммунизации животным вводили ЭБ в дозе $1,0 \times 10^8$ в 0,05 мл ФР (разрешающая инъекция) в подушечку задней лапы – опытная лапа. В контрлатеральную лапу вводили 0,05 мл стерильного ФР –

контрольная лапа. Реакцию ГЗТ оценивали через 24 ч по разнице массы опытной и контрольной лап и выражали в мг. Также у животных, иммунизированных ЭБ, определяли уровень специфических антител (гемагглютининов) в сыворотке крови. ЭБ вводили животным в дозе 5×10^6 внутривенно на 5 сутки от начала введения ГК, затем через 5 суток после иммунизации у них забирали сыворотку крови для определения титра гемагглютининов. За титр гемагглютининов принимали последнее разведение исследуемой сыворотки, при котором ещё наблюдалась агглютинация антигена (ЭБ), и выражали величиной $\log_2 T$ [2].

Экспериментальные данные обрабатывали с помощью пакета статистических программ Statistica 8.0, проверяя нормальность распределения с помощью критерия Шапиро-Уилка. Для каждой выборки вычисляли среднее арифметическое (\bar{X}), ошибку среднего арифметического (m). Сравнение выборочных средних осуществляли с помощью критерия Даннета. Значимыми считали различия при $p < 0,05$.

Результаты исследования и их обсуждение. Курсовое введение исследуемых образцов ГК снижало летальность мышей во время анафилактического шока, вызванного овальбумином (табл. 1).

Таблица 1 – Влияние курсового введения ГК торфа на летальность аутобредных мышей CDI во время анафилактического шока ($n=10$)

Экспериментальные группы	Летальность, %
Контроль	80
ГК-1	66,7
ГК-2	66,7
ГК-3	60

Примечание: n – количество животных в группе здесь и далее.

При развитии ГНТ во время стадии сенсibilизации образуются специфические антитела (иммуноглобулины) класса E и G1. В этой связи в ходе исследования было изучено влияние ГК на выработку этих иммуноглобулинов у иммунизированных OVA мышей. Во всех опытных группах в сыворотке крови животных, иммунизированных OVA, наблюдалось снижение содержания IgG1, уровень IgE снижался у животных, получавших ГК-2 и ГК-3, и не изменялся у животных, получавших ГК-1 (табл. 2). Повторно поступивший аллерген взаимодействует с иммуноглобулинами, зафиксированными на тучных клетках, и образовавшийся иммунный комплекс вызывает их дегрануляцию с высвобождением медиаторов воспаления. Сыворотка крови животных, иммунизированных OVA и получавших исследуемые образцы ГК, достоверно снижала показатель дегрануляции тучных клеток интактных крыс в присутствии OVA по сравнению с контролем (табл. 2).

Таблица 2 - Влияние курсового введения ГК торфа на содержание IgG1 и IgE в сыворотке крови аутобредных мышей CDI, иммунизированных OVA, и показатель дегрануляции тучных клеток (ПДТК) ($X \pm m$, n=7).

Экспериментальные группы	IgG1, мкг/мл	IgE, мкг/мл	ПДТК
Контроль	5074,00±193,31	13,37±0,24	0,250± 0,015
ГК-1	2766,80±175,68*	14,84±0,16	0,061± 0,006*
ГК-2	4118,67±173,93*	10,48±0,44*	0,043± 0,003*
ГК-3	3544,13,67±234,03*	8,62±0,72*	0,057± 0,005*

Примечание: * $p < 0,05$ по сравнению с контролем.

Также мы изучали влияние курсового введения образцов ГК на развитие ГЗТ, индуцированное введением ЭБ. В результате было получено, что ГК достоверно подавляют отёк лап у мышей. При этом титр специфических гемагглютининов достоверно снижался в группах, получавших ГК, относительно показателей контроля (табл. 3).

Таблица 3 – Влияние курсового введения ГК на ГЗТ и титр гемагглютининов у мышей СВА, иммунизированных ЭБ, ($X \pm m$, n=7)

Экспериментальные группы	ГЗТ, величина реакции, мг	Титр гемагглютининов, $\log_2 T$
Контроль	19,63±0,80	21,13±1,67
ГК-1	11,63±0,89*	10,78±1,15*
ГК-2	12,00±0,93*	12,47±1,51*
ГК-3	8,75±1,05*	10,86±1,99*

Примечание: * $p < 0,05$ по сравнению с контролем.

Выводы. ГК торфа подавляют реакцию ГЗТ и снижают летальность при анафилактическом шоке. При этом у животных, иммунизированных OVA и получавших курс ГК, наблюдается снижение уровня IgE и IgG1 в сыворотке крови, а показатель дегрануляции интактных тучных клеток в присутствии антигена снижается под воздействием сыворотки опытных животных. Также наблюдается снижение титра специфических гемагглютининов в сыворотке крови мышей, иммунизированных ЭБ и получавших ГК. Полученные результаты свидетельствуют о влиянии ГК на иммунологическую и патохимическую стадию развития гиперчувствительности и позволяют рассматривать ГК как перспективные субстанции для создания противоаллергических средств, действующих на уровне ранних механизмов развития аллергических реакций.

Список литературы

1. Коваленко Л.П., Федосеева В.Н., Дурнев А.Д., Иванова А.С., Мастернак Т.Б., Миронов А.Н., Арзамасцев Е.В., Гуськова Т.А., Жоголева И.Б., Верстакова О.Л., Радченко Л.У. Методические рекомендации по оценке аллергизирующих свойств лекарственных средств // Руководство по проведению доклинических исследований лекарственных средств / отв. ред. А.Н. Миронов. Москва, 2013. С. 51-63.
2. Хайтов Р.М., Гушин И.С., Пинегин Б.В., Ярилин А.А., Миронов А.Н., Меркулов В.А., Кожина Е.В. Методические рекомендации по доклиническому изучению иммуотропной активности лекарственных средств // Руководство по проведению доклинических исследований лекарственных средств / отв. ред. А.Н. Миронов. Москва, 2013. С. 626-641.
3. Gandy J.J., Meeding J.P., Snyman J.R., van Rensburg C.E.J. The clinical efficacy of potassium humate in the treatment of allergic rhinitis: a double blind placebo controlled trial // Drug Dev. Res. 2010. Vol. 71. Iss.6. P. 358–363.
4. Van Rensburg C.E.J., Snyman J.R., Mokoele T., Cromarty A.D. Brown coal derived humate inhibits contact hypersensitivity; an efficacy, toxicity and teragenicity study in rats // Inflammation. 2007. Vol. 30. Iss. 5. P. 148–152
5. Yamamoto-Hanada K., Pak K., Saito-Abe M., Yang L., Sato M., Mezawa H., Sasaki H., Nishizato M., Konishi M., Ishitsuka K., Matsumoto K., Saito H., Ohya Y., Japan Environment and Children's Study Group. Cumulative inactivated vaccine exposure and allergy development among children: a birth cohort from Japan // Environ Health Prev Med. 2020 Vol. 25. Iss. 1. P. 27.

ЧАЙКА Е.В, БОГДАНОВА Н.В.

ВЛИЯНИЕ ДОКСИЦИКЛИНА НА ПРОЦЕСС ФИБРИЛЛООБРАЗОВАНИЯ МОЛЕКУЛЫ ИНСУЛИНА

Международный государственный экологический институт им. А. Д.

Сахарова, г. Минск

e-mail: lizzachayka@yandex.by

CHAYKA E.V, BOGDANOVA N. V.

THE EFFECT OF DOXYCYCLINE ON THE PROCESS OF FIBRILLATION OF THE INSULIN MOLECULE

A. D. Sakharov International State Ecological Institute, Minsk

e-mail: lizzachayka@yandex.by

Аннотация: В статье представлены общие сведения о процессе фибриллообразования белковых молекул на примере инсулина, о том, как влияют амилоидные отложения в патогенезе сахарного диабета 2 типа и актуальность рассмотрения данной проблемы. А также была изучена

способность доксициклина при низких концентрациях препятствовать процессу фибриллогенеза.

Ключевые слова: сахарный диабет 2 типа, амилоид, фибриллы инсулина, агрегация, доксициклин.

Abstract: The article presents general information about the process of fibrillation of protein molecules on the example of insulin, how amyloid deposits affect the pathogenesis of type 2 diabetes mellitus and the relevance of considering this problem. And the ability of doxycycline at low concentrations to interfere with the process of fibrillogenesis was also studied.

Keywords: type 2 diabetes mellitus, amyloid, insulin fibrils, aggregation, doxycycline.

Цель исследования: Изучить процесс фибриллообразования белковых молекул. Оценить способность доксициклина ингибировать процесс фибриллообразования. Выявить влияние различных концентраций доксициклина на процесс фибриллообразования молекулы инсулина.

Материалы и методы исследования: Методологическую основу исследования составляют общенаучные методы, к которым относятся теоретический анализ научной литературы. Для оценки влияния различных концентраций доксициклина на процесс фибриллообразования молекулы инсулина использовался аналитический метод, с помощью спектрофлуориметрического анализа.

Объектом исследования является субстанция инсулина. Субстанция инсулина – это инсулин без примесей связывающих и противомикробных веществ.

Фибриллы из инсулина были получены путем его инкубирования в присутствии буфера Tris (трис) pH 7.4, при температуре 37°C, при его интенсивном перемешивании в течение 25 часов. В качестве ингибитора фибриллообразования молекулы инсулина были исследованы растворы с разными концентрациями доксициклина: 50 мкг/мл, 40 мкг/мл, 30 мкг/мл, 20 мкг/мл, 10 мкг/мл, 5 мкг/мл; вносимый объем доксициклина составил 100 мкл.

Инсулин взят в количестве 2 мг на 1 мл буфера. Для выявления процесса образования амилоидных фибрилл из инсулина был также использован ThT Бензотиазолиновый зонд.

Спектры поглощения ThT измеряли с помощью спектрофлуориметра Shimadzu RF-5301 PC. Регистрацию максимума интенсивности флуоресценции красителя производили при длине волны равной 486 нм (возбуждение при 440 нм). Для измерения брали 10 мкл пробы, 1 мл буфера, 1 мл дистиллированной воды и 10 мкл зонда.

Результаты исследования и их обсуждение. Инсулин является терапевтически значимой молекулой, используемой при лечении больных сахарным диабетом. К сожалению, он подвергается целому ряду

неблагоприятных и часто непредсказуемых физических превращений из-за изменений в его биохимической среде. [2]

Возникающая в результате молекулярная реконфигурация, включая разворачивание, неправильное сворачивание и гидрофобные взаимодействия, часто приводит к агрегации, фибриллогенезу амилоида и выпадению в осадок. Также амилоиды считают главной причиной развития таких патологий, как болезни Альцгеймера и Паркинсона, диабет второго типа. После данного открытия начался активный поиск лекарств, разрушающих амилоиды и предотвращающих их образование. Но не создано еще ни одного действующего лекарства для человека от амилоидозов.[2]

Одной из причин патогенеза СД2 являются амилоидные отложения. Изолированный амилоидоз островков поджелудочной железы - одна из наиболее распространенных и хорошо изученных форм эндокринного амилоидоза (APUD-амилоидоза). Он выявляется в инсулинпродуцирующих опухолях и более чем у 90% больных только с инсулиннезависимым диабетом, причем чаще у лиц пожилого возраста.[2]

Несмотря на интенсивные исследования фибриллогенеза инсулина, не существует общепринятой схемы формирования зрелых фибрилл. Основные трудности возникают при интерпретации начала фибрилляционного процесса.[2]

Существует модель образования фибрилл инсулина, согласно которой росту амилоидов предшествует диссоциация димеров/гексамеров инсулина до мономеров, образующих в дальнейшем промежуточную структуру, соответствующую ядру нуклеации фибриллы. Также было показано, что первой стадией фибриллогенеза инсулина является переход от нативной к частично развернутой, промежуточной конформации мономера.

Процесс фибрилляции включает три фазы: лаг-фазу, фазу роста и фазу созревания, и происходит посредством процесса полимеризации, зависящего от образования зародышей, который обычно описывается сигмовидной кривой. Зарождение включает ассоциацию частично развернутых мономеров белка с олигомерными формами, которые являются “ядрами” в лаг-фазе. Как правило, образование ядер является длительной стадией. После этого продолжается рост фибрилл, что является термодинамически благоприятным процессом в “экспоненциальной фазе”. На этой фазе взаимодействия укладки, гидрофобные взаимодействия и водородные связи играют важную роль в организации олигомеров и мономеров. В “фазе насыщения” формируются зрелые фибриллы, которые представляют собой стабильные, высокоорганизованные зрелые структуры. Присоединение и диссоциация мономеров к фибриллам все еще продолжается, но эти процессы протекают в устойчивом состоянии.[3]

Благодаря экспериментальным данным с помощью, которых устанавливалось влияние доксициклина на амилоидные фибриллы, удалось

выяснить, доксициклин плотно связывает открытые гидрофобные аминокислоты амилоидных фибрилл A β 42, частично приводя к дестабилизации фибриллярной структуры, это и дало толчок для новых исследований.[1]

Выяснение молекулярных детерминант связывания доксициклина с A β 42 может помочь в разработке дальнейших стратегий разработки лекарств против амилоидных отложений.[1]

Доксициклин обладает преимуществами, перед другими недавно предложенными антиамилоидогенными препаратами благодаря их хорошо охарактеризованным фармакологическим и фармакокинетическим свойствам и относительно низкой токсичности. Несмотря на четкие доказательства, полученные в экспериментах *in vitro*, что доксициклин может ингибировать агрегацию A β 42 и разбирать зрелые амилоидные фибриллы молекулярный механизм, ответственный за антиамилоидогенные эффекты, остается неуловимым.[1,3]

Агрегация белка происходит в результате увеличения времени инкубации до 22 ч. К 25 ч идет выход интенсивности флуоресценции на плато, это указывает на насыщение сайта связывания тιοфлавина и формирования зрелых амилоидных фибрилл.

В качестве контрольной пробы использовался инсулин без доксициклина, проинкубированный в Tris буфере pH 7.4, при температуре 37°C, что соответствует физиологическим условиям.

В ходе эксперимента с временным промежутком 18 часов было выявлено максимальное значение флуоресценции ThT в инсулине с концентрацией доксициклина 30 мкг/мл и составило 50,630 \pm 3,32 отн.ед. А минимум флуоресценции был обнаружен у пробы с концентрацией 40 мкг/мл со значением 14,920 \pm 2,88 отн.ед.

Через 22 часа наблюдается максимум флуоресценции тιοфлавина в инсулине с дозировкой антибиотика 20 мкг/мл и составляет 73,532 \pm 3,15 отн.ед. А минимальное значения флуоресценции было отмечено при дозировке 50 мкг/мл и составляет 15,460 \pm 2,46 отн.ед.

После инкубации проб через 25 часов максимальный выход флуоресценции тιοфлавина был обнаружен у пробы с доксициклином, с его концентрацией 5 мкг/мл и составил 58,811 \pm 2,99 отн.ед. А минимальное значение было зафиксировано у пробы с концентрацией 50 мкг/мл и составляет 11,994 \pm 2,23 отн.ед.

Интенсивность флуоресценции ThT в растворе инсулина, инкубированного без добавления доксициклина, значительно превышает интенсивность флуоресценции, наблюдаемую в пробах после добавления этого антибиотика к инсулину. Следовательно, доксициклин обладает способностью подавлять процесс фибриллообразования в молекуле инсулина. При оценке и сравнении действия различных концентраций доксициклина на фибрилляцию молекул инсулина, наиболее эффективную

антиамилоидную активность проявили дозировки 40 мкг/мл и 50 мкг/мл соответственно.

Таблица 1 – Показатели интенсивности флуоресценции молекулы инсулина, связанного с тиофлавином в различных концентрациях доксициклина за весь период инкубации.

Время	Интенсивность флуоресценции <u>отн.ед.</u>						
	Контроль	ДЦ 5	ДЦ 10	ДЦ 20	ДЦ 30	ДЦ 40	ДЦ 50
18ч	136,878± 3,01	46,323± 3,48	21,960± 3,03	36,313± 2,69	50,630± 3,32	14,920± 2,88	15,053± 2,07
22ч	113,444± 1,44	51,802± 3,02	31,755± 2,85	73,632± 3,15	43,606± 3,61	16,902± 2,4	15,460± 2,46
25ч	143,268± 3,09	58,811± 2,98	19,043± 3,12	43,059± 3,44	30,680± 3,4	13,691± 1,13	11,994± 2,23

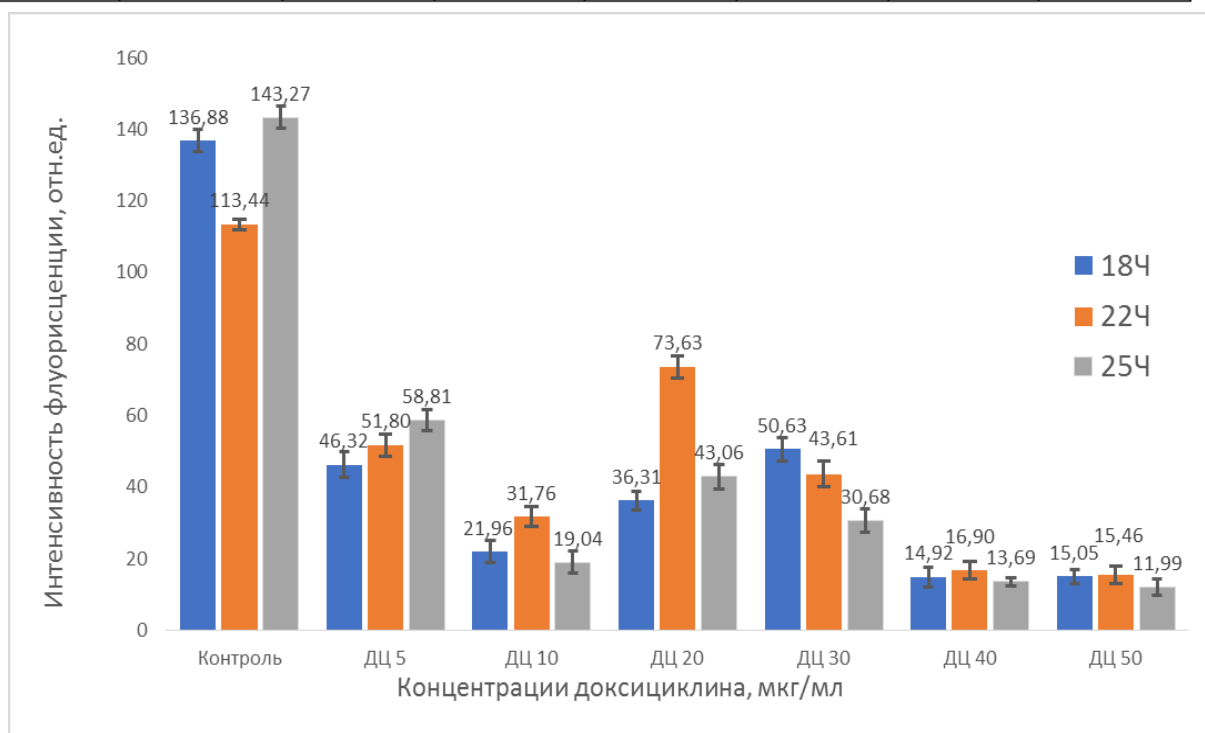


Рисунок 1 - Ингибирование фибриллообразования в зависимости от концентрации доксициклина в разные промежутки времени

Выводы. Таким образом результаты данной работы, доказывают наличие антиамилоидной активности у доксициклина. Предполагается, что благотворное действие препаратов доксициклина является результатом своеобразного плейотропного действия, включающего их взаимодействие с олигомерами и разрушение фибрилл, а также их антиоксидантную, противовоспалительную, антиапоптотическую и ингибирующую

матриксную металлопротеиназу активность. Тем не менее все это говорит о том, что необходимо проведение крупномасштабных рандомизированных плацебо-контролируемых исследований, для определения, насколько целесообразно включение доксициклина в схемы лечения, каковы оптимальные дозы, формы и кратность приема препарата.

Список литературы

- 1 Alfonso Gautieri, The Anti-Amyloidogenic Action of Doxycycline: A Molecular Dynamics Study on the Interaction with A β 42 / Alfonso Gautieri, Marten Beeg // I. J. Molecular Sciences. – Vol. 20. – 2019. – P. 41-59.
2. Mino Qafary, Insulin fibrillation: Strategies for inhibition / Mino Qafary, Fatemeh Rashno,, Ali A. Moosavi-Movahedi // Progress in Biophysics and Molecular Biology. – Vol. 175. – 2022. – P. 49-62.
3. Tatiana Stoilova, A New Face for Old Antibiotics: Tetracyclines in Treatment of Amyloidoses / Tatiana Stoilova, Laura Colombo, Gianluigi Forloni // Journal of Medicinal Chemistry. – Vol. 56. – 2013. – P. 5987–6006.

ЧАЙКА Е.В, БОГДАНОВА Н.В.

ВЛИЯНИЕ ХОЛЕКАЛЬЦИФЕРОЛА НА МЕХАНИЗМЫ РАЗВИТИЯ САХАРНОГО ДИАБЕТА II ТИПА

*Международный государственный экологический институт им. А. Д. Сахарова, г. Минск
e-mail: lizzachayka@yandex.by*

CHAYKA E.V, BOGDANOVA N. V.

THE INFLUENCE OF CHOLECALCIFEROL ON THE MECHANISMS OF DEVELOPMENT OF TYPE II DIABETES MELLITUS

*A. D. Sakharov International State Ecological Institute, Minsk
e-mail: lizzachayka@yandex.by*

Аннотация: В статье представлены общие сведения о сахарном диабете II типа и актуальность рассмотрения данной проблемы, о метаболизме холекальциферола и его производных. Приведен механизм действия дефицита витамина в развитии инсулинорезистентности, в последствии приводящей к возникновению сахарного диабета.

Ключевые слова: Сахарный диабет, витамин D, холекальциферол, кальцитриол, адипонектин, инсулин.

Abstract: The article presents general information about type II diabetes mellitus and the relevance of considering this problem, about the metabolism of cholecalciferol and its derivatives. The mechanism of action of vitamin deficiency

in the development of insulin resistance, which subsequently leads to the occurrence of diabetes mellitus, is given.

Keywords: Diabetes mellitus, vitamin D, cholecalciferol, calcitriol, adiponectin, insulin.

Цель исследования – сформулировать определение понятия сахарный диабет II типа, описать метаболизм и строение витамина D, установить взаимосвязь между сниженной функциональностью витамина и развитием СД II.

Материалы и методы исследования. Методологическую основу исследования составляют общенаучные методы, к которым относятся теоретический анализ научной литературы, синтез отдельных элементов данной работы, прогнозирование и индукция полученных данных.

Результаты исследования и их обсуждение. Проблема сахарного диабета II типа носит глобальный характер, так как это заболевание имеет наибольший процент от общего количества заболевших. По данным ВОЗ, на сегодняшний день диабетом страдает около 422 млн человек, что составляет около 6% от всего населения планеты. Статистика заболеваемости диабетом неутешительно растёт с каждым годом. Поэтому если ситуация будет развиваться теми же темпами, то это приведет к необратимым последствиям. К 2025 году количество пациентов с диабетом увеличится в 2 раза. К 2030 году сахарный диабет станет 7-й причиной смерти во всём мире.[4]

Сахарный диабет II – заболевание, связанное с дезорганизацией метаболических процессов, которое характеризуется нарушением механизма взаимодействия инсулина с клетками тканей или нарушением секреции этого гормона. Ключевыми звеньями патогенеза являются инсулинорезистентность и ожирение. Инсулинорезистентность – невосприимчивость клеток тканей организма к действию инсулина, снижение их биологического ответа на один или несколько эффектов инсулина при его нормальной концентрации в крови. Инсулинорезистентность приводит к неспособности мышечной и жировой тканей поглощать глюкозу и к нарушению синтеза гликогена в печени. Одной из причин развития такого рода невосприимчивости является дефицит витамина D.[4]

Витамин D представляет собой жирорастворимый витамин, так как имеет способность растворяться в жирах, который образовывается в организме человека под влиянием солнечного света либо попадает с продуктами, которые содержат его. Витамин D, образующийся в коже человека под воздействием солнечных лучей, – это витамин D₃, или холекальциферол. Он обеспечивает организм человека 80–90% необходимого количества витамина D. Его также можно получить с

некоторыми продуктами питания. Лишь в некоторых видах растений и грибов образуется витамин D₂, или эргокальциферол.[2]

Когда излучение длиной волны 280–310 нм достигает поверхности кожи, около 90% его проникает в эпидермис и обеспечивает превращение провитамина D₃ в превитамин D₃. Впоследствии превитамин D₃ под влиянием температуры кожи превращается в холекальциферол. Кроме этого пути, имеет место быть вариант попадания через пищу, всасывание витамина в двенадцатиперстной и тощей кишке в присутствии желчных кислот. Впоследствии он транспортируется лимфатической системой кишечника в виде хиломикрон, попадает в печень и в общий кровоток. В крови связывается с α-2-глобулинами и частично — с альбуминами, переносится в ткани печени, костей, скелетных мышц, почек, надпочечников, миокарда, жировую ткань.[2]

Большинство своих функциональных задач холекальциферол, выполняет благодаря своей активной форме, а именно через кальцитриол. Образование этого метаболита происходит не сразу, потому что для активации холекальциферол сначала должен превратиться в печени в 25-гидроксихолекальциферол (кальцидиол), а затем в почках — в 1,25-дигидроксихолекальциферол (кальцитриол).[1]

В паращитовидных железах кальцитриол регулирует секрецию паратгормона, а также влияет на выработку белка костной ткани остеокальцина. В клетках ряда органов и тканей кальцитриол совместно с ретиноевой кислотой поддерживает их нормальную пролиферацию, предотвращая канцерогенез. В поджелудочной железе кальцитриол усиливает синтез инсулина и повышает чувствительность к инсулину в тканях, защищает β-клетки соответствующими цитокинами. В почках кальцитриол тормозит синтез и секрецию ренина, контролируя тем самым артериальное давление.[1]

Для того, чтобы понять как связана недостаточность витамина и инсулинорезистентность, необходимо рассмотреть механизм действия инсулина. Инсулин связывается со своим рецептором. Рецептор инсулина состоит из двух альфа- и двух бета- цепей. Альфа-цепи размещаются над мембраной клетки-мишени. А бета-цепи, начавшись над клеточной мембраной, проходят через всю толщу мембраны, и ещё значительная их части, формирует цитоплазматический домен. Инсулин связывается с альфа-цепями. Возникающие при этом конформационные изменения в альфа-цепях передаются на бета-цепи. Цитоплазматические участки бета-цепей фосфорилируют друг друга. Далее каскад сигналов передается на субстраты рецептора инсулина (IRS), делая их также активными. Затем сигналы от IRS идут в сторону инсулин зависимого переносчика глюкозы ГЛЮТ-4, который также фосфорилируясь активизируется и переносится на мембрану клетки. Активность этого переносчика находится под влиянием адипонектина.[3]

В адипоцитах, представляющих собой мощные эндокринные клетки жировой ткани, синтезируется много разных гормонов, но количество и сила воздействия адипонектина превалирует. Когда мощность адипонектина резко падает, действие его антагонистов начинает всё сильно превосходить влияние гормона. Следовательно, выделяется несостоятельность GLUT-4 (его ген почти бездействует). Глюкоза накапливается в крови, что приводит к развивается инсулинорезистентности. Адипонектин имеет первоочередную важность: повышает чувствительность клеток-мишеней к инсулину. Стимулирует синтез рецепторов инсулина и других компонентов, участвующих в проведении инсулинового сигнала. Высокая концентрация адипонектина в крови резко тормозит выделение цитокинов факторов некроза опухоли (ФНО- α) и интерлейкина-6 (ИЛ-6), которые при этом не способны препятствовать действию инсулина и сахарный диабет не развивается. [3]

При участии кальцитриола и содействии ретиноевой кислоты в клетках костной ткани (остеобластах) синтезируется главный неколлагеновый белок костного матрикса остеокальцин. Он стимулирует многие ткани и системы, в том числе жировую ткань для синтеза в ней адипонектина. В результате образовывается достаточное количество этого гормона, под влиянием которого подавляется образование других адипокинов. Жировая масса при этом снижается. Как было указано выше, адипонектин стимулирует гены, кодирующие GLUT-4. Постепенно образуется целый ряд этих переносчиков на мембранах клеток сердечной мышцы, скелетных мышц и жировой ткани. Транспортёр глюкозы GLUT-4 стимулирует поступление глюкозы из межклеточной ткани в указанные ткани, интенсивно снижая степень гликемии, которая в то же время нормализуется. Немаловажным является тот факт, что при недостаточном количестве витамина D, концентрация адипонектина существенно снижается и перестает подавлять ФНО- α и ИЛ-6, которые в свою очередь способствуют развитию инсулинорезистентности, путем частичной блокады сигнального пути инсулина в клетке.[1,3]

Выводы. Таким образом, в настоящее время получены многочисленные данные о патогенетической роли недостатка холекальциферола в развитии сахарного диабета II типа. Так или иначе необходимо проведение крупномасштабных рандомизированных плацебо-контролируемых исследований, для того чтобы определить, насколько целесообразно включение витамина D в схемы лечения, каковы оптимальные дозы, формы и кратность приема препарата.

Важное значение имеет информированность врачей разных специальностей по данной проблеме. Своевременное выявление дефицита холекальциферола и его корректировка у детей, подростков, взрослых и пожилых, особенно людей в группах риска, уменьшает вероятность развития большинства хронических заболеваний, таких как: сахарный

диабет I и II типа; ревматоидный артрит, атопическая бронхиальная астма; респираторных вирусных инфекций; различные виды онкологических заболеваний молочных желез, яичников, простаты, желудочно-кишечного тракта; нарушения репродуктивных функций человека.

И соответственно затраты на их лечение. Оптимизация потребления витамина D населением может быть также достигнута регулирующими мерами в системе здравоохранения.

Список литературы

1. Аблаев, Н.Р. Молекулярные механизмы развития сахарного диабета при дефиците витамина Д и хрома (обзор современной литературы) / Н.Р. Аблаев, Д.Ж. Батырбаева // Вестник КЗНМУ. – 2015. – № 3. – С. 186-196.

2. Asemi Z, Effects of vitamin D supplementation on glucose metabolism, lipid concentrations, inflammation, and oxidative stress in gestational diabetes: A double-blind randomized controlled clinical trial / Asemi Z., Hashemi T., Karamali M. et al. // Am. J. Clin. Nutr. – 2013. – Vol. 98(6). – P.1425–1432.

3. Garbossa, S.G. Vitamin D, sub-inflammation and insulin resistance. A window on a potential role for the interaction between bone and glucose metabolism. / S. G. Garbossa, F. Folli // Rev. Endocr. Metab. Disord. – 2017. – 18(2) – С.58–243.

4. Barbara K Bailes, Diabetes mellitus and its chronic complications / Barbara K Bailes // AORN J. – Vol. 76, Issue 2. – 2014. – P. 265-282.

ЧУДНОЦЕЦ Т.А., БАЛДОВ Д.А., ВЫПОВА Е.Р., КОМАРОВА Л.Н.
ДЕЙСТВИЕ ФУМАРАТА НА НОРМАЛЬНЫЕ КЛЕТКИ ЧЕЛОВЕКА
В УСЛОВИЯХ НОРМАБАРИЧЕСКОЙ ЭКЗОГЕННОЙ ГИПОКСИИ
Обнинский институт атомной энергетики НИЯУ МИФИ, г. Обнинск, РФ
email: dab1999y@gmail.com

CHUDNOTETS T.A., BALDOV D.A., VYROVA E.R., KOMAROVA L.N.
ARTIFICIAL INTELLIGENCE FOR CELL RECOGNITION IN
GORYEV'S CHAMBER

Obninsk Institute for Nuclear Power Engineering National Research University
MEPhI, Obninsk, Russia
email: dab1999y@gmail.com

Аннотация: В статье сравнивается фармакологическое действие лекарственного препарата фумарат 3-оксипиридина (фумарат) на

нормальные нормальные клетки при действии ионизирующего излучения в оксигенных условиях и в условиях нормабарической экзогенной гипоксии.

Ключевые слова: фумарат 3-оксипиридин, ионизирующее излучение, нормальные клетки, токсичность, радиозащита

Abstract: The article compares the pharmacological effects of the drug fumarate 3-oxypyridine (fumarate) on normal normal cells under the action of ionizing radiation under oxigenic conditions and under conditions of normalbaric exogenous hypoxia.

Keywords: fumarate 3-oxypyridine, ionizing radiation, normal cells, toxicity, radioprotection

Современная онкология является одной из наиболее развивающихся сфер медицины, так как рак является одним из ведущих причин смертности во всем мире. Более половины пациентов со злокачественными новообразованиями получают лучевую терапию (ЛТ) в монорежиме или в сочетании с хирургическим вмешательством и/или химиотерапией.

Радиотерапия является одним из наиболее эффективных методов лечения онкологических заболеваний. Однако радиочувствительность клеток может снижаться по различным причинам, например, гипоксия, которая может приводить к уменьшению кислорода в клетках и, следовательно, к уменьшению эффективности радиотерапии.

Сочетание гипоксии с уже известными радиозащитными фармакологическими субстанциями могут позволить уменьшить радиационную и химическую нагрузку на близлежащие здоровые клетки при лечении опухолей.

Цель работы. исследование влияния нормабарической экзогенной гипоксии на свойства фумарат 3-оксипиридин при действии на нормальные клетки человека

Материалы и методы. В качестве объекта исследования была выбрана клеточная линия НЕК 293 – клетки почки эмбриона человека. Культивирование клеток проводилось по стандартной методике [3].

Раствор фумарат 3-оксипиридина, обладающий радиозащитным потенциалом, готовился в концентрации 0,05 мг/мл и добавлялся к клеткам за 12 часов до облучения[2].

Гипоксия создавалась за 12 часов до облучения клеток совместно с фумарат 3-оксипиридином. Для создания нормабарической экзогенной гипоксии использовался физический метод - вакууматор. С помощью специальных пакетов эппендорфы с клетками подвергались вакуумированию и помещались в холодильник для предотвращения деления перед облучением. Разегротизация вакуума происходило непосредственно после облучения -перед пересевом клеток на тесты по их выживаемости.

Облучение проводилось на комплексе протонной терапии «Прометеус» (АО «Протом») в Медицинском радиологическом научном центре им. А. Ф. Цыба в Обнинске. Средняя энергия протонов, используемых в моменте эксперимента, составила 100 МэВ. Облучение проводилось в дозах – 2; 6; 8 и 12 Гр.

Определение цитогенетических повреждений опухолевых клеток производят согласно рекомендациям МАГАТЭ [1].

Результаты и обсуждения. Между гипоксическим и нормальным комбинированным воздействием протонной терапии и химического вещества – фумарат 3-оксипиридина наблюдались значительные отличия (рис. 1).

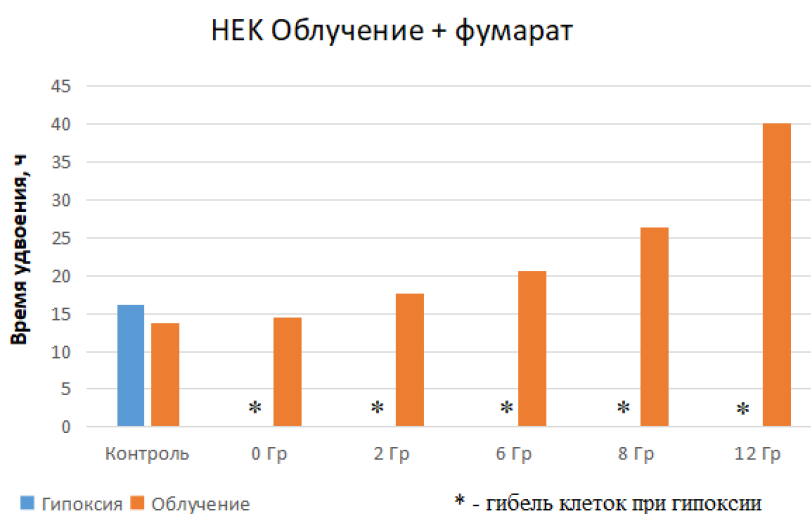


Рисунок 1 – Время удвоения НЕК-293 при комбинированном облучении протонами и воздействия фумарата через 48 часа

Фумарат во всех дозах оказал негативное воздействие на клетки линии НЕК-293, вызывая их гибель. Важно отметить, что 100% гибель клеток наблюдалась при использовании фумарата без облучения, что указывает на его токсичность в данных условиях, а не на повышении радиочувствительности клеток.

Визуальный осмотр всех культуральных флаконов подтвердил о гибели клеток в условиях нормабарической экзогенной гипоксии (рис 2.), при этом во флаконах, где клетки культивировались в оксигенной среде клетки были живы и активно делились.



Рисунок 2– Время удвоения НЕК-293 при комбинированном облучении протонами и воздействия фумарата через 48 часа

Такой токсический эффект фумарат 3-оксипиридина в условиях бескислородной среды может быть связан с особенностью его строения. Данный лекарственный препарат производится путем синтеза соединения 3-оксипиридина и фумаровой кислоты. А именно с тем, что его составляющая 2-этил-6-метил-3-гидроксипиридин обладает антиоксидантными свойствами и применяется для лечения заболеваний, связанных с оксидативным стрессом, что может обуславливать факт отсутствия токсичности фумарат 3-оксипиридина в кислородных условиях и острой токсичности в условиях гипоксии.

Выводы. В рамках экспериментальной работы был обнаружен эффект острой токсичности фумарата на нормальные клетки человека в условиях нормобарической экзогенной гипоксии на нормальные клетки человека.

Целесообразно продолжить исследования в этой тематике и оценить токсичность каждого из компонентов фумарата в условиях гипоксии на нормальные и опухолевые клетки человека.

Список литературы

1. Cytogenetic analysis for radiation dose assessment: A Manual – (Technical Reports Series/IAEA; № 405) /International Atomic Energy Agency. Vienna: IAEA, 2001. 127 p
2. Купцова П.С., Комарова Л.Н., Выпова Е.Р. Исследование радиопротекторных свойств фумаровой кислоты и фумарата 3-оксипиридина при действии ионизирующего излучения на клетки человека. Радиационная гигиена. 2023;16(1):32-39. <https://doi.org/10.21514/1998-426X-2023-16-1-32-39>

3. Прилепский А. Ю. и др. Методы работы с клеточными культурами и определение токсичности наноматериалов //СПб: Университет ИТМО. – 2019. – Т. 43.

ШЛЯПКИНА В.И., КУЛИКОВ О.А., АГЕЕВ В.П., ГАДЕЕВА А.А.,
БОБРОВ В.С., БОРОВИК Е.В.

**ИССЛЕДОВАНИЕ ФОТОЦИТОТОКСИЧЕСКОГО ЭФФЕКТА
ЭМУЛЬСИЙ НА ОСНОВЕ ФУРАНОКУМАРИНОВ**

*Национальный исследовательский Мордовский государственный
университет им. Н. П. Огарёва
shlyapkina.98@mail.ru*

SHLYAPKINA V.I., KULIKOV O.A., AGEEV V.P., GADEEVA A.A.,
BOBROV V.C., BOROVIK E.V

**STUDY OF THE PHOTOCYTOTOXIC EFFECT OF EMULSIONS
BASED ON FURANOCOUMARINS**

*National Research Mordovia State University
shlyapkina.98@mail.ru*

Аннотация. Фуранокумарины – широко используемые липофильные вещества в фотохимиотерапии. Для реализации биологического эффекта необходим их перевод в водную среду [1]. Одним из вариантов решения данной проблемы является создание эмульсионной формы фуранокумаринов.

Ключевые слова. фуранокумарины, 8-метоксипсорален, эмульсия, лецитин, твин-80.

Abstract. Furanocoumarins are widely used lipophilic substances in photochemotherapy. To realize their biological effect, it is necessary to translate them into an aqueous medium. One of the decisions to this problem is the creation of an emulsion form of furanocoumarins.

Keywords. furanocoumarins, 8-methoxypsoralen, emulsion, lecithin, tween-80.

Цель исследования. Создание эмульсионной формы фуранокумаринов и исследование готовой лекарственной формы и ее компонентов на фотоцитотоксичность.

Материалы и методы исследования. В качестве основного действующего вещества был использован фуранокумарин - 8-метоксипсорален (8-МОП). Первым этапом при изготовлении эмульсий являлось растворение игольчатых кристаллов 8-МОП в персиковом масле

при нагревании до получения прозрачного раствора. С нагретым масляным раствором фуранокумарина с концентрацией 6,125 мг/мл проводилась дальнейшая работа по изготовлению эмульсий.

Было изготовлено 2 варианта эмульсии с разными эмульгаторами.

Первый способ изготовления эмульсии фуранокумаринов был осуществлен при использовании в качестве эмульгатора водный раствор полисорбата 80 с концентрацией 2,5%. При интенсивном перемешивании и постоянной температуре 25 °С к 5 мл раствора полисорбата по каплям добавляли 1 мл (0,916 г) масляного раствора фуранокумаринов. Готовая смесь перемешивалась в течение 10 минут, затем подвергалась воздействию ультразвука (50 Вт) в течение 10 минут. Всего было проведено 3 повторяющихся цикла эмульгирования. Во втором варианте эмульсии в качестве эмульгирующего агента выступал лецитин. Изготовление водной фазы происходило путем добавления к 5 мл деионизованной воды 0,1315 г глицерина, смесь перемешивалась на магнитной мешалке при температуре 70-75°С. Параллельно изготавливалась масляная фаза из 0,1 г лецитина и 0,916 г масляного раствора фуранокумаринов. Смесь перемешивалась при температуре 90°С до получения однородной массы. К водной фазе при интенсивном перемешивании и температуре 70-75°С медленно прикапывалась масляная фаза. Полученная эмульсия перемешивалась при температуре 70-75°С в течение 10 минут. Затем, смесь была подвергнута гомогенизации с помощью ультразвука (200 Вт 1 минута, цикл 2 сек / 2 сек) до формирования эмульсионных глобул.

Исследование цитотоксичности эмульсий проводили на клеточной культуре фибробластов лёгких человека. В экспоненциальную фазу роста клетки рассеивались в 96-луночный планшет в концентрации 5 тыс. клеток/луночка и инкубировались 24 ч в стандартных условиях на среде DMEM. Фототоксические реакции фуранокумаринов индуцировали с помощью УФ-лампы 365 нм, мощностью 40 Вт, которую располагали на фиксированном расстоянии 20 см от клеток мишеней, через 4 часа после внесения эмульсий. Через 1 ч после облучения клетки трипсинизировали и переносили в 96-луночный планшет со средой. Через 24 ч инкубации оценивали жизнеспособность клеток с помощью МТТ-теста. Твин-80 и лецитин вносились отдельно для оценки их вклада в цитотоксическое действие. Помимо экспериментальных групп жизнеспособность также оценивали на контрольной серии лунок, в которые не помещался тест-компонент и не производилось облучения.

Результаты исследования и их обсуждение. Полученные эмульсии имели тип «масло в воде». Концентрация 8-МОП составила 1,02 мг/мл. Визуально обе эмульсии были гомогенны на вид, при микроскопическом анализе обнаруживались однородные эмульсионные везикулы. Оба образца эмульсий были стабильны при хранении.

В качестве безопасной дозы УФ излучения была выбрана доза в 9 Дж/см². По данным МТТ теста было обнаружено, что эмульсия с первым составом оказывает цитотоксическое действие на клетки в достаточно низких концентрациях. Не отмечалось также существенной разницы в выживаемости клеток без УФ облучения и после его воздействия. Однако при этом необходимо отметить собственную токсичность твина-80, которая повторяет в целом токсичность для первого варианта эмульсии.

Второй вариант эмульсии без УФ облучения не оказывала токсического действия на клетки. В отличие от первого варианта эмульсии в данном составе в качестве эмульгатора использовался лецитин, который не проявил собственной цитотоксичности в исследованных концентрациях. Не было отмечено достоверных изменений жизнеспособности культуры фибробластов человека, как в условиях темноты, так и при УФ облучении.

В сочетании с УФ второй вариант эмульсии проявил явное фототоксическое действие с увеличением концентрации 8-МОП. По отношению к контрольным клеткам также наблюдались более низкие показатели жизнеспособности. С понижением концентрации 8-МОП данный вариант эмульсии не угнетал жизнеспособность клеток как в темновом режиме, так и при воздействии УФ. Предельной концентрацией для реализации фототоксического эффекта для эмульсии с лецитином стала концентрация 8-МОП 31,3 мкг/мл.

Выводы. Эмульсия, имеющая в качестве эмульгатора твин-80, обладает выраженной собственной (темновой) цитотоксичностью. Данный эмульгатор, по ранее изученной информации, обладает мембранотоксическими свойствами [2]. Однако, данное свойство твина-80 не отменяет фототоксичность эмульсии на его основе, так как *in vitro* токсичность твина-80 может ее перекрывать. Тем не менее, данный состав позволяет решить проблему растворимости фуранокумаринов.

Эмульсионная форма на основе лецитина не проявила собственную цитотоксичность. Лецитин выступил в качестве фотонезависимого компонента, который не препятствовал реализации фототоксического эффекта 8-МОП. Данный экспериментальный состав является перспективной лекарственной формой фотосенсибилизатора для фототерапии различных заболеваний в сфере дерматологии и онкологии.

Список литературы

1. Cao H, Hearst JE, Corash L, Wang Y. LC-MS/MS for the detection of DNA interstrand cross-links formed by 8-methoxypsoralen and UVA irradiation in human cells // *Anal Chem*, 2008. №80(8). P. 2932-2938
2. Кушназарова РА, Миргородская АБ, Волошина АД, Любина АП, Кузнецов ДМ, Ленина ОА и др. Бинарные системы дикарбаматное ПАВ – Твин-80: агрегационное поведение, антимикробная активность и

мембранотропные свойства. // Жидкие кристаллы и их практическое использование, 2022. № 22(2). С. 6–18.

ЮЛДАШЕВА Д.А., ИСМОИЛОВ И.Б., МУХИДИНОВ З.К.
**БИОРАЗЛАГАЕМЫЕ АНТИМИКРОБНЫЕ ПОЛИМЕРНЫЕ
КОМПОЗИЦИОННЫЕ МАТЕРИАЛЫ НА ОСНОВЕ
ГЛЮКОМАННА И ЗЕИНА**

*Институт химии имени В. И. Никитина НАН Таджикистана,
Таджикский Технический Университет имени академика М.С. Осими,
E-mail: zainy@mail.ru*

YULDASHEVA D. A., ISMOILOV I. B., MUKHIDINOV Z. K.
**BIODEGRADABLE ANTIMICROBIAL POLYMER COMPOSITE
MATERIALS BASED ON GLUCOMANNAN AND ZEIN**

*V. I. Nikitin Institute of Chemistry of the National Academy of Sciences of
Tajikistan,
Tajik Technical University named after academician M.S. osimi,
E-mail: zainy@mail.ru*

Аннотация: Разработана биоразлагаемые полимерное композиционные материалы на основе глюкоманнана и зеина с включением биологически активных соединений и изучено антимикробную активность. Полученные результаты показывают, что полученная композиционная плёнка проявляет антибактериальную активность против грамположительных бактерий при минимальной концентрации активного вещества в нем равную 50 мкг/мл.

Ключевые слова: глюкоманнан; зеин; композитная пленка; антибактериальная активность.

Abstract: Biodegradable polymer composite materials based on glucomannan and zein with the inclusion of biologically active compounds have been developed and antimicrobial activity has been studied. The results obtained show that the tested composite film exhibits antibacterial activity against gram-positive bacteria at a minimum concentration of the active substance equal to 50 ug/ml.

Keywords: glucomannan; zein; composite film; antibacterial activity.

Цель исследования. Разработка биоразлагаемых полимерных композиционных материалов на основе глюкоманнана и зеина с включением биологически активных соединений и изучения их антимикробной активности.

Материалы и методы исследования. Биоразлагаемые полимерное

композиционные плёнки, полученные из смеси зеина (З) и глюкоманнана (ГМ) с разным соотношением биополимеров согласно методу, описанному в работе [1]. Плёнки готовили путём смешивания спиртового раствора зеина и водного раствора ГМ в присутствии эфирного масла Шалфея (ЭМШ) лугового (*Salvia pratensis*) и поверхностно-активного вещества (Tween-80). Растворы зеина и ГМ одновременно смешивали, затем полученную смесь наносили на стеклянную пластинку для формования композитных плёнок. Полученные плёнки сушили в сушильном шкафу в течение 14 ч при температуре 50–60 °С и выдерживали при комнатной температуре 25–27 °С в течение суток перед проведением антимикробного теста. Антимикробную активность композиционных плёнок против пищевых патогенов, включая *Escherichia coli* O157:H7 (G-), *Bacillus subtilis* (G+), *Listeria monocytogenes* (G+) и *Staphylococcus aureus* (G+), проводили методом описанной в работе [2] с некоторыми модификациями. Стерилизованный диск из фильтровальной бумаги (диаметр 12 мм) погружали в плёнообразующие растворы и помещали на поверхность агаровых пластин, содержащих бактерии. Плёнки ГМ/З/ЭМШ были протестированы в отношении всех перечисленных бактерий. Диаметры зон ингибирования вокруг дисков из фильтровальной бумаги измеряли цифровым штангенциркулем. Все тесты проводились в трёхкратной повторности.

Результаты исследования и их обсуждение. В настоящее время эпидемиологические данные, связанные с диетическим фактором различных заболеваний, таких как сердечно-сосудистые заболевания, ожирение, гипертония, диабет и даже рак, неуклонно растут. Это связано с включением в пищу различных добавок и консервантов. По мнению многих учёных основным фактором снижения риска и ограничения прогрессирования многих хронических заболеваний считается правильное питание [1-4]. Чтобы избежать этого негативного воздействия, продвигают различные стратегии для решения проблемы, связанной с заменой химических консервантов. Особое внимание привлекают также и отходы полимерных материалов и изделий, трудно разлагающиеся в естественных условиях, тем самым представляющие серьёзную угрозу как источник загрязнения окружающей среды [1-3].

Встречающиеся в природе биомолекулы, такие как полисахариды и белки, являются биосовместимыми, низкоиммуногенными, нетоксичными и биоразлагаемыми и поэтому подходят для инкапсулирования биоактивных веществ [1-4].

Ранее нами были разработаны новые биоразлагаемые полимерные композиционные материалы на основе глюкоманнана и зеина [6]. В данной работе с целью функционализации полученных композиций в их состав вводили природный антимикробный компонент – ЭМШ. ЭМШ был экстрагирован из растений *Salvia pratensis*, произрастающего в склонах горы Зеравшанском долине Республики Таджикистан, методом

дистилляции паром. Выход ЭМШ составил 1.34%. ЭМШ луговой содержит 22.5% β -кариофиллена, 7.8% склареола, 6.8 % изокарифилена, 6.7% карифиллен оксид, 4.9% логифолена, 4.8 α - терпинеола, 3.9% δ -кадинена, 3.7% гурджунена, до 1.4 и 1.7% лимонена и (E)- β -оцимена, а также дубильные вещества, горечи, камедь и флавоноиды [5].

Формирование композиционных пленок ГМ/З/ЭМШ основано на технологии коацервации биополимеров. Формированию и стабилизации плёнок способствует высокая вязкость раствора биополимера, а также образование водородных связей между ГМ и зеином. Добавление зеина повышало термические свойства и гидрофобность плёнок. Методом ИК-Фурье-спектроскопия было обнаружено межмолекулярных взаимодействий и структурных изменений в матрице плёнки на молекулярном уровне с помощью спектрального анализа. Широкий пик в диапазоне от 3500 см^{-1} до 3100 см^{-1} , связанный с валентными колебаниями О-Н, казался более плоским и смещенным к более высокому волновому числу при 3330 см^{-1} , что указывает на деформационном колебании свободных О-Н связи из-за образования водородных связей между ЭМ, ГМ и зеина. Так, полоса при 1646 см^{-1} , характерная для зеина, вклад валентных колебаний С=О и С-N зеина, по-видимому, перекрывается характеристической полосой карбонильных (С=О) ГМ при 1642 см^{-1} . В спектре композитных плёнок наблюдается усиление этой полосы, за счёт гидрофобного взаимодействия эфирных связей (метильной группы) ГМ с зеином.

Антибактериальную активность определяли путем измерения прозрачной зоны, вызванной ингибированием роста. Для выяснения бактерицидной активности композиционной пленки ГМ/З/ЭМШ, в качестве модельной бактерии были выбраны штаммы *E. coli* и *S. aureus*. Было показано, при исследовании чистых пленок, что вокруг агарового диска было много бактериальных колоний без очевидной ингибирующей зоны. Между тем, композитная пленка ГМ/З/ЭМШ продемонстрировала превосходное антибактериальное действие на *E. coli* и *S. aureus* с большой ингибирующей зоной 14–22 мм при минимальной концентрации ЭМШ равное 10-50 мкг/мл. Эти результаты свидетельствуют о том, что ЭМШ проявляет лучший антибактериальный эффект за счет ее высвобождения и диффузии из композитных пленок.

Результаты исследования антимикробная активность композитов против грамположительных (*B.subtilis*, *S. aureus* и *L.monocytus*) и грамотрицательных (*E.coli*) микроорганизмов показали, что включение ЭМШ придало композитным пленкам антимикробные свойства. *E.coli* (-) были наиболее чувствительны к действию ЭМ в пленки с диаметром ингибирования 20.5 мм, в то время как *S. aureus* (+) были наиболее устойчивыми с диаметром ингибирования - 9.6 мм, при нанесении пленок с концентрацией ЭМШ 10 мкг/мл.

Примечательно, что активность всех пленок с адсорбированными ЭМШ, была более превентивной против *E. coli*, чем *S. aureus* что может быть связано с различием в структуре клеточной стенки бактерии.

В целом считается, что грамотрицательные организмы менее чувствительны к антимикробным компонентам из-за наружных липополисахаридов мембраны вокруг их клеточной стенки, которые обеспечивают гидрофильность поверхности, тем самым препятствуя доступу антимикробных компонентов, имеющих преимущественно гидрофобную природу. Антимикробная активность ЭМШ может быть обусловлена наличием сескви-терпеноидами и дитерпена склареола, фенольными соединениями, по-видимому, ответственны за антимикробную активность благодаря своей гидрофобной природе [6].

Таким образом, установлено, что добавление ЭШ улучшает физические барьерные свойства биоразлагаемых полимерных композиционных материалов. Кроме того, была выявлена антимикробная активность в отношении как грамположительных, так и грамотрицательных бактерий. Это исследование показало высокий потенциал ЭШ в биоразлагаемых полимерных композиционных материалов на основе глюкоманнана и зеина для использования в качестве активной упаковки в пищевых системах, особенно фруктов для замедления порчи и продления срока хранения.

Дальнейшие наши исследования будут направлены на выделение, идентификацию и анализ антимикробной активности индивидуальных компонентов экстрактов ЭМШ.

Список литературы

1. Исмаилов, И. Б. Формирование биоразлагаемых композитов на основе зеина и глюкоманнана / И. Б. Исмаилов, Т. С. Маликов, А. С. Насриддинов, А. С. Джонмуродов, З. К Мухидинов. // Доклады Академии наук Республики Таджикистан, 2019. -Т. 62, № 3-4. -С. 207-214.
2. Hosseini, S. F., Rezaei, M., Zandi, M., & Farahmandghavi, F. (2015). Fabrication of bionanocomposite films based on fish gelatin reinforced with chitosan nanoparticles. *Food Hydrocolloids*, 44, 172–182.
3. Keservani R.K., Kesharwani R.K., Sharma A.K., Gautam S.P., Verma S.K. Nutraceutical formulations and challenges // *Dev. New Funct. Food Nutraceutical Prod.* – 2017. – P. 161–177. [CrossRef].
4. Костин, А.А. Биоразлагаемые антимикробные пленки как материалы для упаковки скоропортящейся продукции // А.А. Костин, И.Н. Зубков, А.П Непомнящий, Д.И Горячева, Д.С. Рябухин / *Всё о мясе*, 2020, -С.160-164, DOI: <https://doi.org/10.21323/2071-2499-2020-5S-160-164>

5. Sharopov F., Setzer W.N. Medicinal Plants of Tajikistan. In: Egamberdieva D., Öztürk M. (eds) Vegetation of Central Asia and Environs. Springer, Cham. (2018). https://doi.org/10.1007/978-3-319-99728-5_7.

6. Huang X., Li T., Li S. Encapsulation of vitexin-rhamnoside based on zein/pectin nanoparticles improved its stability and bioavailability. *Current Research in Food Science* 6 (2023) 100419. <https://doi.org/10.1016/j.crfs.2022.100419>.

¹ЮНИНА Д.В., ¹ЗАБОРОВСКИЙ А.В., ¹ТАРАРИНА Л.А., ²ПЯТАЕВ Н.А.
**ИММУНОТОРПНЫЕ ЭФФЕКТЫ ЛИПОСОМАЛЬНОГО
ДЕКСАМЕТАЗОНА И ЕГО ВЛИЯНИЕ НА КЛЕТОЧНЫЙ СОСТАВ
КРОВИ У КРЫС С МОДЕЛЬЮ РЕВМАТОИДНОГО АРТРИТА**

¹ *Московский государственный медико-стоматологический университет
им. А.И. Евдокимова, г. Москва*

² *Мордовский государственный университет им. Н. П. Огарёва, г. Саранск
e-mail: yunina@msmsu.ru*

¹YUNINA D.V., ¹ZABOROVSKIY A.V., ¹TARARINA L.A.,
²PYATAEV N.A.

**IMMUNOTROPIC EFFECTS OF LIPOSOMAL DEXAMETHASONE
AND ITS EFFECT ON THE CELLULAR COMPOSITION OF BLOOD
IN RATS WITH A MODEL OF RHEUMATOID ARTHRITIS**

¹ *A.I. Yevdokimov Moscow State University of Medicine and Dentistry, Moscow*

² *N. P. Ogarev Mordovia State University, Saransk
e-mail: yunina@msmsu.ru*

Аннотация: Изучено влияние липосомальной формы дексаметазона на цитокиновый профиль и клеточный состав периферической крови крыс с моделью аутоиммунного артрита. Установлено, что липосомальный дексаметазон более выражено снижал уровень провоспалительных цитокинов, лейкоцитов и лимфоцитов по сравнению с его водорастворимой формой.

Ключевые слова: дексаметазон, липосомы, цитокины, ревматоидный артрит, крысы Wistar

Abstract: The effect of the liposomal form of dexamethasone on the cytokine profile and cellular composition of peripheral blood of rats with a model of autoimmune arthritis was studied. It was found that liposomal dexamethasone more significantly reduced the level of proinflammatory cytokines, leukocytes and lymphocytes compared with its water-soluble form.

Keywords: dexamethasone, liposomes, cytokines, rheumatoid arthritis, Wistar rats

Введение. Ревматоидный артрит представляет собой актуальную проблему с современной медицины из-за высокой распространённости заболеваний и ранней инвалидизации пациентов [2]. Согласно современным представлениям, аутоиммунное воспаление, характеризующееся повышением уровней провоспалительных цитокинов, лимфоцитов и иммуноглобулинов, является ключевым звеном патогенеза ревматоидного артрита [3]. Одним из перспективных направлений фармакотерапии ревматоидного артрита является создание новых форм противовоспалительных препаратов с пролонгированным высвобождением, в том числе пригодных для местного внутрисуставного введения [4]. Ранее нами была разработана липосомальная форма дексаметазона с пролонгированным высвобождением. Было показано, что применение этой формы создаёт более высокую локальную и более низкую системную концентрацию препарата [1]. В связи с этим представлялось целесообразным оценить влияние новой формы препарата на показатели клеточного состава крови и иммунный ответ.

Цель исследования. Изучение влияния липосомального дексаметазона на клеточный состав, а также на изменения некоторых параметров иммунного статуса и системного воспалительного ответа.

Материал и методы исследования. Исследование выполнено на крысах линии Wistar с моделью ревматоидного артрита, описанного нами ранее [1]. Животные были разделены на три группы: первая группа – контрольная (без терапии), вторая группа получала терапию раствором дексаметазона, третья группа – липосомальным дексаметазоном.

Оценка клеточного состава периферической крови. Исследовались следующие гематологические показатели: общее количество лейкоцитов; относительное и абсолютное количество гранулоцитов, лимфоцитов и моноцитов; количество эритроцитов, гематокритное число, концентрация гемоглобина в крови и эритроцитах; количество тромбоцитов.

Исследование иммунного статуса. Определение субпопуляций лимфоцитов и уровень цитокинов (ИНФ-альфа, TNF, IL-1, 6 и 10) определяли методом иммуноферментного анализа с помощью стандартных коммерческих наборов (Вектор-Бест, Россия) согласно инструкции к наборам на анализаторе.

Результаты исследования и их обсуждение

Клеточный состав периферической крови и содержание гемоглобина. Во всех группах реакция на воспалительный процесс была идентичной. На пике воспаления регистрировались незначительное снижение эритроцитов ($6,3 \pm 0,3 \cdot 10^{12}/л$ в контрольной группе, $6,9 \pm 0,4 \cdot 10^{12}/л$ в группе водорастворимого дексаметазона и $6,4 \pm 0,3 \cdot 10^{12}/л$ в группе липосомального

дексаметазона до $5,7 \pm 0,2 \cdot 10^{12}/\text{л}$, $5,6 \pm 0,1 \cdot 10^{12}/\text{л}$ и $5,8 \pm 0,1 \cdot 10^{12}/\text{л}$ соответственно) и гемоглобина (с $122,5 \pm 4,2$ г/л в контрольной группе, $121,5 \pm 3,6$ г/л в группе водорастворимого дексаметазона и $119,3 \pm 3,1$ г/л в группе липосомального дексаметазона до $108,75 \pm 3,5$ г/л, $105,3 \pm 2,6$ г/л и $109,5 \pm 3,4$ г/л соответственно), а также увеличение количества лейкоцитов (с $5,1 \pm 0,4 \cdot 10^9/\text{л}$ в контрольной группе, $5,6 \pm 0,4 \cdot 10^9/\text{л}$ в группе водорастворимого дексаметазона и $5,0 \pm 0,7 \cdot 10^9/\text{л}$ в группе липосомального дексаметазона до $8,4 \pm 1,6 \cdot 10^9/\text{л}$, $8,5 \pm 1,5 \cdot 10^9/\text{л}$ и $8,4 \pm 1,4 \cdot 10^9/\text{л}$ соответственно) и тромбоцитов (с $596,4 \pm 41,1 \cdot 10^9/\text{л}$ в контрольной группе, $641,7 \pm 32,2 \cdot 10^9/\text{л}$ в группе водорастворимого дексаметазона и $588,5 \pm 24,4 \cdot 10^9/\text{л}$ в группе липосомального дексаметазона до $727,6 \pm 63,7 \cdot 10^9/\text{л}$, $730,2 \pm 51,8 \cdot 10^9/\text{л}$ и $711,2 \pm 39,2 \cdot 10^9/\text{л}$ соответственно). Количество лейкоцитов возрастало за счет всех типов клеток (гранулоцитов, лимфоцитов и моноцитов). В наибольшей степени был заметен рост лимфоцитов и моноцитов (более чем в 1,6–3 раза) во всех исследуемых группах.

В обеих группах терапии регистрировалось уменьшение лейкоцитоза, причем к седьмым суткам в обеих опытных группах общее количество лейкоцитов достигало нормальных значений, а в контрольной оставалось повышенным ($p < 0,05$ для обеих опытных групп). Достоверной разницы по уровню лейкоцитов между опытными группами не было.

Следует отметить тенденцию к более значимому снижению количества лимфоцитов в группе животных, получавших липосомальный дексаметазон. В этой группе количество лимфоцитов достигало значений, зарегистрированных перед началом эксперимента, тогда как и в контроле, и в группе водорастворимого препарата этот показатель оставался повышенным.

Динамика количества тромбоцитов была аналогичной таковой для общего количества лейкоцитов.

Показатели иммунного статуса. В контрольной группе на пике воспаления со стороны Т-клеточного иммунитета регистрировалось статистически значимое увеличение как Т-хелперов, так и Т-супрессоров (с $0,85 \pm 0,06 \cdot 10^9/\text{л}$ до $1,44 \pm 0,04 \cdot 10^9/\text{л}$ и с $0,66 \pm 0,05 \cdot 10^9/\text{л}$ до $0,93 \pm 0,03 \cdot 10^9/\text{л}$ соответственно). Эта тенденция сохранялась до окончания эксперимента.

Реакция гуморального иммунитета заключалась в достоверном увеличении числа В-лимфоцитов по сравнению с исходным этапом (с $1,02 \pm 0,04 \cdot 10^9/\text{л}$ до $1,6 \pm 0,07 \cdot 10^9/\text{л}$ на пике воспаления). Количество В-лимфоцитов также оставалось повышенным во время всего периода наблюдения ($1,76 \pm 0,06 \cdot 10^9/\text{л}$ к окончанию эксперимента). Концентрация иммуноглобулинов была похожа динамике В-лимфоцитов: на пике воспаления отмечался рост их концентрации с 4540 ± 239 мг/л до 5085 ± 192 мг/л для IgG и с 265 ± 19 мг/л до 329 ± 14 мг/л для IgM, при этом повышался преимущественно IgM. На 7-е сутки регистрировалось статистически

значимое увеличение обоих типов иммуноглобулинов (до 6401 ± 334 мг/л для IgG и до 384 ± 18 мг/л для IgM).

В группе водорастворимого дексаметазона имелись определённые особенности иммунной реакции. На высоте воспалительной реакции, как и в контроле, отмечалось увеличение всех типов лимфоцитов (CD3 с $1,16 \pm 0,09 \cdot 10^9$ /л до $2,38 \pm 0,07 \cdot 10^9$ /л, CD4 с $0,63 \pm 0,04 \cdot 10^9$ /л до $1,41 \pm 0,05 \cdot 10^9$ /л, CD8 с $0,53 \pm 0,07 \cdot 10^9$ /л до $0,97 \pm 0,03 \cdot 10^9$ /л, В-лимфоцитов с $0,78 \pm 0,08 \cdot 10^9$ /л до $1,61 \pm 0,06 \cdot 10^9$ /л). Введение дексаметазона приводило к снижению количества лимфоцитов на 7-е сутки терапии (CD3 до $1,68 \pm 0,06 \cdot 10^9$ /л, CD4 до $1,01 \pm 0,04 \cdot 10^9$ /л, CD8 до $0,67 \pm 0,03 \cdot 10^9$ /л, В-лимфоцитов до $1,13 \pm 0,07 \cdot 10^9$ /л). Хотя их содержание и оставалось повышенным по сравнению с исходным этапом, оно было заметно ниже, чем на пике воспаления и достоверно меньше по сравнению с контрольной группой. Концентрация иммуноглобулинов коррелировала с количеством В-лимфоцитов. Она была меньше, чем в контроле на 19 и 23% для IgM и IgG соответственно, $p < 0,05$ для IgG.

На фоне терапии липосомальным дексаметазоном направленность изменений иммунного статуса была такой же, как и в группе водорастворимого препарата, однако выраженность терапевтического эффекта на момент завершения эксперимента была большей. Так, уровни CD3, CD4 и CD45RA+ снижались до значений, не отличающихся от таковых в начале эксперимента (CD3 - $1,28 \pm 0,06 \cdot 10^9$ /л в начале терапии и $1,22 \pm 0,12 \cdot 10^9$ /л к концу эксперимента, CD4 - $0,76 \pm 0,04 \cdot 10^9$ /л в начале терапии и $0,74 \pm 0,03 \cdot 10^9$ /л к концу эксперимента и CD45RA+ $0,86 \pm 0,04 \cdot 10^9$ /л в начале терапии и $0,82 \pm 0,05 \cdot 10^9$ /л к концу эксперимента), и были достоверно ниже показателей как контрольной группы, так и группы, получавшей терапию водорастворимым дексаметазоном. При этом все указанные различия были статистически достоверными. Уровень иммуноглобулинов к моменту забоя также снижался (IgG с 4313 ± 310 мг/л до 4969 ± 356 мг/л и IgM с 252 ± 14 мг/л до 274 ± 23 мг/л), однако по этому показателю достоверной разницы между группами водорастворимого и липосомального дексаметазона зарегистрировано не было.

Цитокиновый профиль. В контрольной группе на пике воспалительной реакции регистрировалось увеличение концентрации провоспалительных цитокинов (IL-1 с 118 ± 22 пг/мл до 360 ± 18 пг/мл, IL-6 с 254 ± 18 пг/мл до 711 ± 14 пг/мл). Концентрация противовоспалительного цитокина IL-10 также несколько повышалась, однако в меньшей степени (на 20% по сравнению с исходным этапом). Заключительный этап наблюдения характеризовался снижением активности маркеров воспаления (IL-1 до 244 ± 9 пг/мл, IL-6 до 462 ± 12 пг/мл) и ростом противовоспалительного цитокина IL-10 до $93 \pm 8,8$ пг/мл. Однако даже на 7-е сутки концентрация исследуемых маркеров превышала исходную чем на 30–150%.

В группах животных, получавших терапию ГКС, изменения цитокинового профиля по своей направленности не отличалась от таковых в контроле. На пике воспаления было выявлено увеличение концентраций всех изучаемых маркеров воспаления в 2–4 раза.

У крыс, получавших водорастворимый дексаметазон, к концу эксперимента отмечалось снижение активности провоспалительных цитокинов, однако их уровень оставался выше исходного. Так уровень IL-1 в начале терапии составил 112 ± 22 пг/мл, в конце терапии 169 ± 11 пг/мл, уровень IL-6 – 262 ± 9 пг/мл и 361 ± 14 пг/мл соответственно.

Достоверные различия по сравнению с контрольной группой регистрировались только для IL-6, концентрация которого был ниже аналогичной в контроле на 22% ($p < 0,05$).

В группе, получавшей липосомальный дексаметазон, также регистрировалось уменьшение активности биохимических маркеров воспаления, причем оно было более значимым, чем в группе терапии сравнения. Так на 7-е сутки в этой группе содержание IL-6 и TNF-альфа достоверно не отличалось от исходных величин и были ниже на 40–80%, чем контроле и на 30–45%, чем в группе терапии сравнения (все различия статистически достоверны).

Выводы. Таким образом, терапия глюкокортикоидами оказывала заметное влияние на клеточный состав периферической крови и иммунный статус животных с аутоиммунным артритом. При этом как водорастворимая, так и липосомальная форма дексаметазона, способствовали снижению повышенной концентрации Т-, и В-лимфоцитов, а также иммуноглобулинов в периферической крови. Однако противовоспалительный эффект липосомального дексаметазона как в отношении лимфоцитов, так и в отношении иммуноглобулинов и цитокинов был более выраженным.

Анализируя эти изменения, следует отметить, что влияние ГКС на иммунный статус в данной модели может быть как прямым (путем взаимодействия с пролифоцитами), так и опосредованным (путем влияния на локальный воспалительный процесс и вторичного уменьшения высвобождения провоспалительных цитокинов). В нашем случае для водорастворимой формы дексаметазона вероятны оба типа эффекта, а для липосомальной – второй (опосредованный ингибированием локального воспаления), поскольку системные концентрации препарата в данном случае незначительны.

Список литературы

1. Куликов О.А., Заборовский А.В., Юнина Д.В., Гуревич К.Г., Тарарина Л.А., Агеев В.П., Шляпкина В.И., Пятаев Н.А., Муляр А.Г., Андреев Д.Н. Оценка эффективности внутрисуставного введения липосомальной формы дексаметазона на модели ревматоидного артрита у

крыс // Химико-фармацевтический журнал. 2021. Т. 55. № 5. С. 37-41. doi: 10.30906/0023-1134-2021-55-5-37-41

2. Лиля А.М., Древалъ Р.О., Шипицын В.В. Оценка организации медицинской помощи и лекарственного обеспечения при ревматических заболеваниях и социально-экономического бремени этих болезней в Российской Федерации // Современная ревматология. 2018. Т.12. № 3. С. 112-119. doi: 10.14412/1996-7012-2018-3-112-119

3. McInnes I.B., Buckley C.D., Isaacs J.D. Cytokines in rheumatoid arthritis - shaping the immunological landscape // Nat Rev Rheumatol. 2016. V 12. № 1. P 63-68. doi: 10.1038/nrrheum.2015.171

4. Wang Q., He L., Fan D., Liang W., Fang J. Improving the anti-inflammatory efficacy of dexamethasone in the treatment of rheumatoid arthritis with polymerized stealth liposomes as a delivery vehicle // J Mater Chem B. 2020. V. 8. № 9. P. 1841-1851. doi: 10.1039/c9tb02538c.

**ПОИСК И ВНЕДРЕНИЕ БИОЛОГИЧЕСКИ
АКТИВНЫХ СОЕДИНЕНИЙ ПРИРОДНОГО И
СИНТЕТИЧЕСКОГО ПРОИСХОЖДЕНИЯ**

АЛЕКСАНДРОВ М.А., МАЛАХОВА А.Ю.
**ПРОГНОЗИРОВАНИЕ ЛИПОФИЛЬНЫХ СВОЙСТВ
ПРОИЗВОДНЫХ САЛИЦИЛАНИЛИДА, ОБЛАДАЮЩИХ
ПОТЕНЦИАЛЬНОЙ АНАЛЬГЕЗИРУЮЩЕЙ АКТИВНОСТЬЮ**

*Санкт-Петербургский государственный химико-фармацевтический
университет, Санкт-Петербург
e-mail: mark.aleksandrov@spcru.ru*

ALEXANDROV M.A., MALAKHOVA A.YU.
**PREDICTION OF LIPOPHILIC PROPERTIES OF
SALICILANILIDE DERIVATIVES WITH POTENTIAL ANALGESIC
ACTIVITY**

*St. Petersburg State Chemical Pharmaceutical University, Saint
Petersburg
e-mail: mark.aleksandrov@spcru.ru*

Аннотация: На основании данных американских исследователей об анальгезирующих свойствах никлозамида (по химической структуре является производным салициланилидов) было решено провести оценку липофильности для ранее синтезированных салициланилидов с помощью программы ACD/ChemSketch, так как они могут быть перспективны в качестве новых средств для купирования нейропатической боли.

Ключевые слова: липофильность, салициланилиды, программа ACD/ChemSketch, никлозамид.

Abstract: Based on the data of American researchers on the analgesic properties of niclosamide (according to its chemical structure, it is a derivative of salicylanilides), it was decided to evaluate the lipophilicity of previously synthesized salicylanilides using the ACD/ChemSketch program, since they may be promising as new drugs for the relief of neuropathic pain.

Keywords: lipophilicity, salicylanilides, ACD/ChemSketch program, niclosamide.

Цель: Провести оценку липофильности ранее синтезированных салициланилидов для дальнейшего их изучения.

Материалы и методы. Оценка липофильности для полученных ранее соединений проводили с помощью программы ACD/ChemSketch. Объект исследования – ранее синтезированные на кафедре производные салициланилидов.

Результаты и их обсуждение. В настоящее время остаётся востребованным обширный класс лекарственных препаратов, использующийся в современной медицине и представляющий обезболивающие средства, так как боль принадлежит к числу самых распространенных жалоб у пациентов. Крайне необходимы новые

терапевтические средства, действующие на определенные рецепторы и пути, вовлеченные в нейропатическую боль (НП). По проведенным исследованиям таковыми являются производные салициланилидов [5].

Исследование проводится из-за установленной ранее американскими учёными анальгезирующей активности известного антигельминтного препарата никлозамида, являющегося низконаномолярным аллостерическим антагонистом метаботропных глутаматных рецепторов с более высокой селективностью в отношении группы I по сравнению с гомологичной группой III данных рецепторов [5].

Никлозамид по химической структуре является производным салициланилидов. На кафедре фармацевтической химии на протяжении ряда лет ведется поиск новых антигельминтных средств в ряду замещенных салициланилидов [1,2,3]. Синтезированные на кафедре соединения имеют общую структурную формулу представленную на рисунке 1.

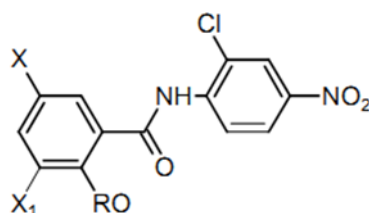


Рисунок 1- Общая структурная формула соединений.

Оценку липофильности для полученных ранее соединений проводили с помощью программы ACD/ChemSketch, таблица 1.

Таблица 1 - Результаты определения липофильности соединений

Обозначение соединения	R	X	X ₁	logP
Никлозамид	H	Cl	H	5,40+/-0,74
МСТ-21	C(O)CH ₃	Br	Br	4,47+/-0,61
МСТ-22	C(O)CH ₃	Cl	Cl	4,55+/-0,79
МСТ-22а	H	Cl	Cl	6,47+/-0,8
МСТ-21а	H	Br	Br	6,31+/-0,71

Максимальная липофильность особенно важна для средств для наркоза, общих анестетиков и ноотропных ЛС [4]. Так, липофильность фенобарбитала составляет 5,9, морфина – 0,4, а этанола – 0,03 [4].

Все синтезированные соединения имеют значения logP больше 3-х, что позволяет сделать вывод об уровне липофильности, как у существующих анальгетиках. Анализ структуры данных соединений показал, что введение дополнительно атома галогена в остаток салициловой кислоты увеличивает изучаемый показатель, причем атом хлора в большей степени по сравнению с атомом брома. Кроме того, ацетилирование

фенольного гидроксила приводит к ещё большому снижению липофильности, однако и к снижению токсичности. Полученные результаты указывают на возможность дальнейшего изучения выбранной группы препаратов в качестве перспективных анальгезирующих средств.

Выводы. Все синтезированные соединения имеют значения $\log P$ больше 3-х, что позволяет сделать вывод об уровне липофильности, как у существующих анальгетиков. В результате исследования было установлено, что производные салициланидов являются перспективной группой соединений для дальнейшего изучения в качестве средств для купирования нейропатической боли.

Список литературы

1. Малахова А.Ю. Синтез, строение и стандартизация арилсалициламидов, обладающих антигельминтной активностью: автореф. дис. кандидата фарм. наук наук: 14.04.02. - СПб., 2017. - 17 с.
2. Михайлицын, Ф. С. Соединение МСТ-21 и его противогименолепидозной активностью / Ф. С. Михайлицын, Г. А. Гицу, Д. П. Севбо, С. Н. Трусов, Л.А. Ботлотина // Медицинская паразитология и паразитарные болезни. — 2010. — № 4. — С. 54-55.
3. Михайлицын, Ф. С. Получение и изучение противогименолепидозной активности соединения МСТ-22 / Ф. С. Михайлицын, Г. А. Гицу, Д. П. Севбо, С. Н. Трусов, Л.А. Ботлотина // Медицинская паразитология и паразитарные болезни. — 2010. — № 3. — С. 37.
4. Мельникова Н.Б., Малыгина Д.С. Современные подходы к синтезу новых лекарственных веществ: Учебное пособие. – Нижний Новгород: Нижегородский госуниверситет, 2022. – 131 с.
5. Ni Ai, Richard D. Wood, Eric Yang, William J. Welsh Niclosamide is a Negative Allosteric Modulator of Group I Metabotropic Glutamate Receptors: Implications for Neuropathic Pain // New York: Springer Science+Business Media New York, 2016

БАШМАКОВ А. С., ДЯГИЛЕВА Е. П.
**СПОСОБ ПОЛУЧЕНИЯ ОКСИДА АЗОТА (I)
ИЗ СОЛЕЙ ГИДРОКСИЛАММОНИЯ**

*Кемеровский государственный медицинский университет, г. Кемерово
e-mail: b2techcomp@rambler.ru*

BASHMAKOV A. S., DYAGILEVA E. P.
**METHOD OF OBTAINING NITRIC OXIDE (I)
FROM HYDROXYLAMMONIUM SALTS**

*Kemerovo State Medical University, Kemerovo
e-mail: b2techcomp@rambler.ru*

Аннотация: Исследована кинетика выделения газа — оксида азота (I), изменение спектра оптического поглощения и изменение pH раствора в процессе реакции между хлоридом гидроксиламмония и нитритом натрия в водном растворе. Выход оксида азота (I) зависит от стехиометрического соотношения между реагентами и пропорционален уменьшению абсорбционности в полосе на 354 нм, обусловленной нитрит-ионом

Ключевые слова: Оксид азота (I), соли гидроксиламмония, нитрит-ион, кинетика выделения газа, реакция между гидроксиламином и азотистой кислотой, разложение азотноватистой кислоты

Abstract: The kinetics of the release of nitrogen (I) oxide gas, the change in the optical absorption spectrum and the change in the pH of the solution during the reaction between hydroxylammonium chloride and sodium nitrite in an aqueous solution are investigated. The yield of nitric oxide (I) depends on the stoichiometric ratio between the reagents and is proportional to the decrease in absorption in the 354 nm band due to the nitrite ion

Keywords: Nitric oxide (I), hydroxylammonium salts, nitrite ion, kinetics of gas release, reaction between hydroxylamine and nitric acid, decomposition of nitric acid

Оксид азота (I) используют для ингаляционного наркоза. Один из способов получения этого вещества — реакция в водном растворе между солью гидроксиламмония (хлоридом или сульфатом) и нитритом натрия [1 - 3]. Преимущества этого способа: высокая чистота продукта, низкая температура процесса, безопасность (исключен взрыв). Но данный способ обладает существенным недостатком — реакция происходит медленно и с низким выходом оксида азота.

Цель исследования. Экспериментально подобрать условия реакции, при которых выход и скорость образования оксида азота (I) будут максимальными. Для этого механизм данной реакции следует изучить более подробно.

Материалы и методы исследования. Реакцию изучали гравиметрическим методом по убыли массы стакана с раствором за счет выделения газа, фотометрическим методом по изменению спектра оптического поглощения раствора, потенциометрическим методом по изменению рН раствора.

Реакцию инициировали смешиванием водных 0,1 М, 0,5 М и 1 М растворов хлорида гидроксиламмония NH_3OHCl объемом 35 мл с 0,1 М водным раствором нитрита натрия NaNO_2 такого же объема.

Измерение массы раствора проводили на аналитических весах СUX-320 в пластмассовом стакане вместимостью 100 мл, закрытом перфорированной крышкой, которая препятствует испарению воды, но позволяет газу свободно выделяться в атмосферу.

Для измерения рН растворов использовали иономер лабораторный И-160МИ со стеклянным электродом ЭС-10601/7.

Спектры оптического поглощения регистрировали на спектрофотометре СФ-2000 относительно раствора сравнения — дистиллированной воды.

Результаты исследования и их обсуждение. Гравиметрический анализ. Получили зависимости выхода оксида азота от времени реакции при разных стехиометрических соотношениях между реагентами. На кривых выделения газа (рис. 1) наблюдаются индукционный период, обусловленный образованием насыщенного раствора газа.

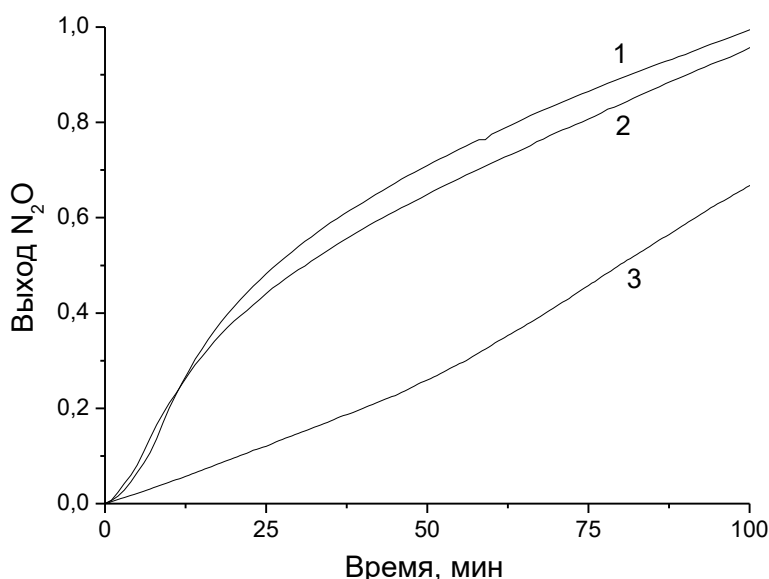
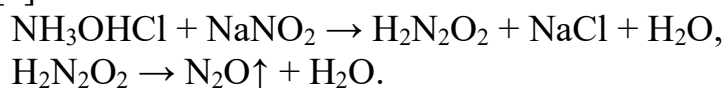


Рис. 1. Зависимость выхода оксида азота (I) от времени реакции при разных стехиометрических соотношениях между реагентами. 1 — 1:1, 2 — 5-кратный избыток NH_3OHCl , 3 — 10-кратный избыток NH_3OHCl

При избытке гидроксиламмония скорость реакции и выход газа возрастают, причем пятикратный и десятикратный избыток NH_3OHCl приводят к близким результатам.

Кинетические кривые не описываются кинетическими уравнениями первого или второго порядка реакции, поскольку реакция происходит по сложному механизму через образование промежуточного продукта — азотноватистой кислоты $\text{HON}=\text{NOH}$, которая разлагается с выделением газа N_2O [5].



Спектры поглощения. Нитрит-ион в водном растворе имеет три полосы поглощения: 1) $\lambda = 210$ нм, $\varepsilon = 5380 \text{ M}^{-1}\cdot\text{cm}^{-1}$, 2) $\lambda = 287$ нм, $\varepsilon = 9 \text{ M}^{-1}\cdot\text{cm}^{-1}$, 3) $\lambda = 354$ нм, $\varepsilon = 23 \text{ M}^{-1}\cdot\text{cm}^{-1}$ [4]. В аналитических целях наиболее удобно использовать третью полосу при 354 нм. В водных растворах хлорида гидроксиламмония поглощения в области 200...1100 нм не наблюдается. В реакционной смеси наблюдается полоса на 354 нм, обусловленная нитритом (рис. 2). В ходе реакции абсорбционность этой полосы закономерно убывает (рис. 3).

Выход N_2O обратно пропорционален абсорбционности полосы нитрита (рис. 4). Это означает, что промежуточный продукт реакции — азотноватистая кислота не накапливается в растворе в значительных количествах, быстро превращаясь в газ. Таким образом, лимитирующей стадией процесса является реакция образования $\text{H}_2\text{N}_2\text{O}_2$.

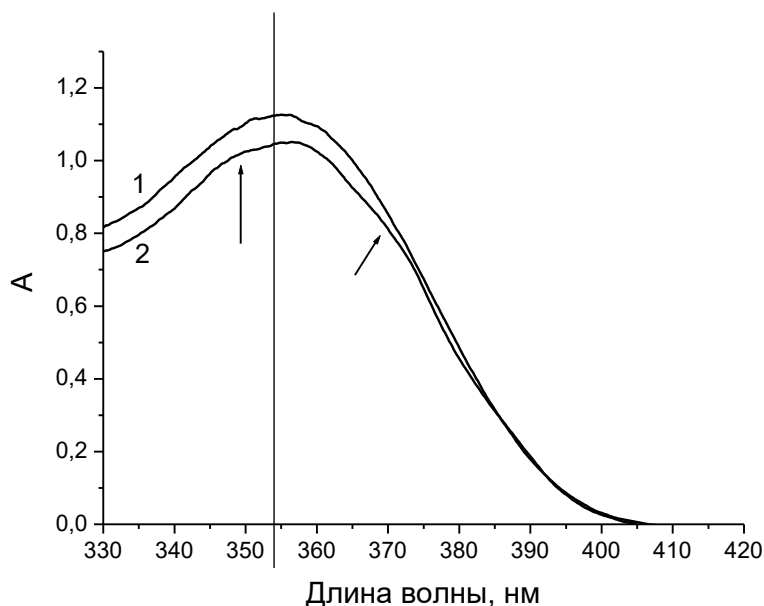


Рис. 2. Оптический спектр поглощения: 1 – 0,053 М раствора NaNO_2 , 2 – смеси 0,1 М растворов NH_3OHCl и NaNO_2 в соотношении 1:1 через 3 мин после начала реакции

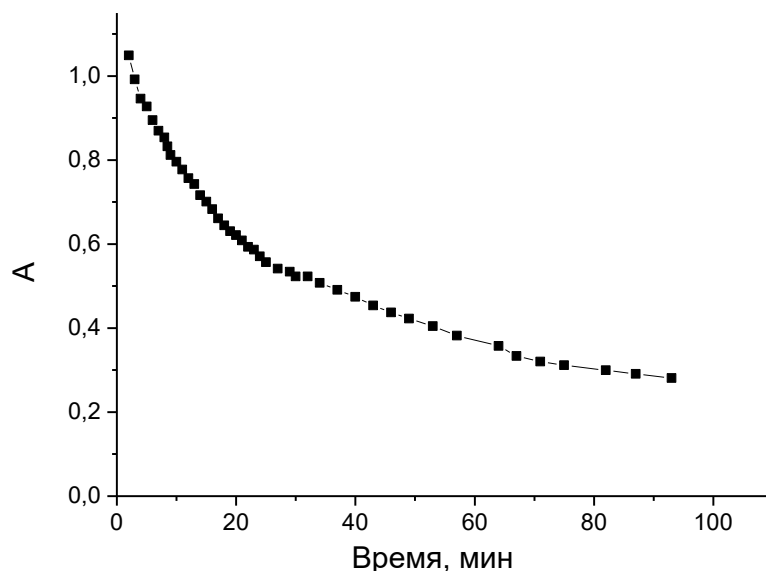


Рис. 3. Изменение абсорбционности в максимуме поглощения нитрит-иона при 354 нм от времени реакции

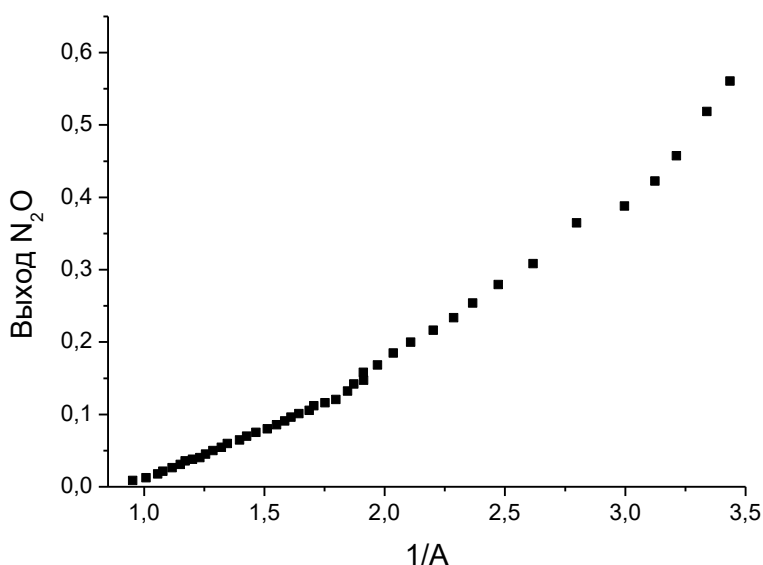


Рис. 4. Зависимость выхода оксида азота (I) от значения абсорбционности ($1/A$) в максимуме поглощения при 354 нм. Соотношение между реагентами 1 : 1

pH раствора. В ходе реакции pH раствора остается практически постоянным (не зависит от времени реакции). При смешивании 0,1 М растворов гидросиламмония и нитрита (стехиометрическое соотношение 1:1) $pH = 4,61 \pm 0,04$. При пятикратном избытке гидросиламмония $pH = 3,08 \pm 0,04$. pH раствора обусловлены кислотными свойствами иона

гидроксиламмония ($K_A = 1,12 \cdot 10^{-6}$), которые частично скомпенсированы более слабыми основными свойствами нитрат-иона ($K_B = 1,96 \cdot 10^{-11}$). Образование в процессе реакции азотноватистой кислоты на начальном этапе практически не влияет на pH раствора, поскольку ее константа кислотности ($6,2 \cdot 10^{-8}$) много меньше константы кислотности иона гидроксиламмония. При очень большой степени превращения и стехиометрическом соотношении 1:1 pH реакционной смеси должен приближаться к pH нейтрального раствора. В условиях нашего эксперимента такая степень превращения достигнута не была.

Выводы. Выход и скорость образования оксида азота (I) в реакции между гидроксиламмонием и нитритом возрастает при стехиометрическом избытке гидроксиламмония. Пока не ясно, что в данном случае является причиной увеличения выхода — изменение pH раствора или собственно избыток реагента.

pH раствора в процессе реакции между гидроксиламмонием и нитритом за время меньше 150 минут практически не изменяется. Это позволяет исследовать кинетику этой реакции в незабуференных растворах.

В спектре оптического поглощения раствора, в котором происходит реакция между гидроксиламмонием и нитритом, наблюдается полоса на 354 нм, отнесенная к нитрит-иону, которую можно использовать для изучения кинетики этой реакции. Других полос в спектре этого раствора не наблюдается.

Лимитирующей стадией процесса образования оксида азота (I) является образование азотноватистой кислоты, а не ее разложение.

Список литературы

1. Башмаков А. С., Дягилева Е. П., Кургачев Д. А., Леонтьева Е. В. К вопросу о механизме образования N_2O в катализируемой реакции между гидроксиламмонием и нитритов в воде, этиленгликоле и диоксане // Вестник Кемеровского государственного университета. 2015. № 4-3 (64). С. 228 - 232.
2. Башмаков А. С., Дягилева Е. П., Леонтьева Е. В. Кинетика газовыделения в катализируемой реакции между гидроксиламмонием и нитритов в воде, этиленгликоле и диоксане // Актуальные вопросы клинической и экспериментальной медицины: сборник научных трудов к 60-летию Кемеровской государственной медицинской академии. Кемерово. 2015. С. 24.
3. Башмаков А. С., Дягилева Е. П., Зайкова Е.О., Леонтьева Е. В. Катализ реакции между гидроксиламмонием и нитритом // Тенденции развития науки и образования. 2016. № 14-2. С. 6 - 7.
4. Драго Р. Физические методы в химии. М.: Мир, 1981. Т.1. 422 с.
5. Hughes M. N., Stedman G. Kinetics and mechanism of the reaction between nitrous acid and hydroxylamine. Part I // J. Chem. Soc. 1963. P. 2824 - 2830.

БИБИК И.В.¹, БИБИК Е.Ю.¹, ФРОЛОВ К.А.^{2,1}, ДОЦЕНКО В.В.^{3,2},
КРИВОКОЛЬСКО С.Г.^{2,1}

**ОПРЕДЕЛЕНИЕ СТЕПЕНИ ТОКСИЧНОСТИ
НОВЫХ ПРОИЗВОДНЫХ 3-АМИНОТИЕНО[2,3-В]ПИРИДИНА И
1,4-ДИГИДРОПИРИДИНА**

¹ФБГОУ ВО Луганский государственный медицинский университет
имени Святителя Луки Минздрава РФ, г. Луганск, Российская Федерация;

²НИЛ «ХимЭкс» ГОУ ВО «Луганский государственный университет
имени Владимира Даля», г. Луганск, Российская Федерация;

³ФГБОУ ВО «Кубанский государственный университет», г.
Краснодар, Российская Федерация.

e-mail: dr.bibik.i.v@yandex.ru

BIBIK I.V.¹, BIBIK E.Y.¹, FROLOV K.A.^{2,1}, DOTSENKO V.V.^{3,2},
KRIVOKOLISKO S.G.^{2,1}

**DETERMINATION OF THE DEGREE OF TOXICITY
OF NEW DERIVATIVES OF 3-AMINOTHIENO[2,3-B]PYRIDINE
AND 1,4-DIHYDROPYRIDINE**

¹FBGOU VO Lugansk State Medical University named after St. Luke of
the Ministry of Health of the Russian Federation, Lugansk, Russian Federation;

²NIL "HimEks" State Educational Institution "Lugansk State University
named after Vladimir Dal", Lugansk, Russian Federation;

³FGBOU VO "Kuban State University", Krasnodar, Russian Federation.

e-mail: dr.bibik.i.v@yandex.ru

Аннотация. Целью настоящей работы было определение острой пероральной токсичности *in vivo* четырех новых производных тиенопиридина и 1,4-дигидропиридина с высокой анальгетической и противовоспалительной активностью. В результате исследования было определено, что четыре исследуемых производных новых гетероциклических соединений относятся к 5 классу токсичности (малотоксичные соединения).

Ключевые слова: острая пероральная токсичность, производные тиенопиридина, гетероциклические соединения, малотоксичные соединения.

Abstract. The aim of this work was to determine the acute oral toxicity *in vivo* of four new derivatives of thienopyridine and 1,4-dihydropyridine with high analgesic and anti-inflammatory activity. As a result of the study, it was determined that the four studied derivatives of new heterocyclic compounds belong to the 5th class of toxicity (low-toxic compounds).

Keywords: acute oral toxicity, thienopyridine derivatives, heterocyclic compounds, low-toxic compounds.

Проблема эффективности и безопасности использования нестероидных противовоспалительных средств в клинической практике на сегодняшний день является насущной. Статистические исследования последнего десятилетия свидетельствуют о том, что на всех континентах более 30 миллионов человек принимают НПВП постоянно для устранения проявлений болевого, лихорадочного и воспалительного синдромов. Актуальность данного исследования связана с большим количеством побочных эффектов вызываемых применением нестероидных противовоспалительных средств. [1,3]

Синтезированные нами на базе НИЛ «ХимЭкс» ЛГУ им. Владимира Даля 340 новых производных цианотиоацетамида были подвергнуты виртуальному биоскринингу с использованием [<http://swisstargetprediction.ch/index.php>]. По итогу избраны десять образцов новых гетероциклических соединений, содержащих 3-аминотиено[2,3-*b*]пиридиновый и 1,4-дигидропиридиновый фрагменты, наиболее перспективных с учетом предполагаемых биомишеней для фармакокоррекции болевого синдрома. Это образцы с лабораторными шифрами **AZ023**, **AZ169**, **AZ213**, **AZ257**, **AZ331**, **AZ420**, **AZ383**, **AZ729**, **AU04271** и **AU04288**. Биомишенями для них по результатам виртуального биоскрининга являются арахидонат-5-липоксигеназа, циклооксигеназа-2, фосфолипаза A2, фосфодиэстераза, простагнандины, соматостатиновые, аденозиновые и каннабиоидные рецепторы. [4]

В процессе исследований болеутоляющей и антиэкссудативной активности этих новых гетероциклических соединений в ряде классических фармакологических тестов на белых лабораторных крысах выявлены образцы-лидеры, в разы эффективнее нимесулида, метамизола натрия, кислоты ацетилсалициловой и индометацина. Это четыре соединения с лабораторными шифрами: **AZ023** (3-amino-4-(5-methyl-2-furyl)-5,6,7,8-tetrahydrothieno[2,3-*b*]quinolin-2-yl)(phenyl) methanone); **AZ331** (5-cyano-4-(2-furyl)-N-(2-methoxyphenyl)-6-{[2-(4-methoxyphenyl)-2-oxoethyl]thio}-2-methyl-1,4-dihydropyridine-3-carboxamide), **AZ420** (5-cyano-4-(2-furyl)-N-(2-methoxyphenyl)-6-({2-[(3-methoxyphenyl) amino]-2-oxoethyl}thio)-2-methyl-1,4-dihydropyridine-3-carboxamide) и **AZ383** (3-amino-4-(5-methyl-2-furyl)-5,6,7,8-tetrahydrothieno[2,3-*b*]quinolin-2-yl) (phenyl)methanone). [2]

Цель работы - определение острой пероральной токсичности *in vivo* четырех новых производных тиенопиридина и 1,4-дигидропиридина с высокой анальгетической и противовоспалительной активностью.

Материалы и методы. Исследование проводилось в соответствии с Межгосударственным стандартом ГОСТ 32644-2014 (OECD, Test №423:2001, IDT) на 60 белых лабораторных крысах-самках массой 180-220 г. Животные рандомно были распределены на контрольную группу и 4 опытных. Соединения в виде водной взвеси вводили однократно внутривентрикулярно в дозах расчета 5, 50, 300 и 2000 мг/кг. Крысы

контрольной группы получали эквивалентное количество дистиллированной воды.

При изучении острой пероральной токсичности клиническое наблюдение за каждым животным проводили в течение первых суток после введения препарата, ежедневно в течение последующих 14 дней. Фиксировали и отражали в первичной документации общее состояние животных и особенности их поведения. При этом рассматривались следующие качественные признаки их состояния и поведения: интенсивность и характер двигательной активности, наличие и характер судорог, координация движений, тонус скелетных мышц, реакция на тактильные, болевые, звуковые и световые раздражители, частота и глубина дыхательных движений, состояние шерстяного покрова, органов чувств, положение хвоста и конечностей, количество и консистенция фекальных масс, частота мочеиспускания и окраска мочи.

Результаты исследования и их обсуждение. За весь период наблюдения ни одного случая гибели крыс опытных групп не было зарегистрировано ни в одной из указанных дозировок. В течение первого часа крысы проявляли интерес к воде и корму. Их поведенческая активность, реакции на звуковые и световые раздражители соответствовали таковым у крыс контрольной группы. Ни одно из животных не принимало бокового положения в течение первых трех часов после зондирования.

Видимых признаков нарушения координации движений, заторможенности, интоксикации у крыс, получавших производные конденсированных тиенопиридинов и 1,4-дигидропиридинов, нами также не было обнаружено. Ввиду отсутствия у лабораторных животных каких-либо нежелательных реакций, увеличение дозировки свыше 2000 мг/кг с целью оценки острой пероральной токсичности согласно методическим рекомендациям является нецелесообразным.

Нулевая летальность крыс, получавших новые производные 3-аминотиено[2,3-*b*]пиридина и 1,4-дигидропиридина с лабораторными шифрами **AZ023**, **AZ331**, **AZ420** и **AZ383** в дозе 2000 мг/кг, позволила отнести их к 5 классу токсичности. Согласно Схемы введения исследуемых соединений используемого Стандарта LD₅₀ для них составляет >5000 мг/кг.

Выводы. Четыре исследуемых производных новых гетероциклических соединений, содержащих 3-аминотиено[2,3-*b*]пиридиновый и 1,4-дигидропиридиновый фрагменты с лабораторными шифрами **AZ023**, **AZ331**, **AZ420** и **AZ383** относятся к 5 классу токсичности (малотоксичные соединения).

Список литературы

1. Алексеева, Л.И. Мелоксикам в ревматологической практике: история применения в терапии боли / Л.И. Алексеева, П.С. Коваленко // Современная ревматология. -2016.-№10(2).-С.50-55. DOI:

10.14412/1996-7012-2016-2-50-55

2. Бибик, И.В. Болеутоляющая активность новых дериватов 3-аминотиено[2,3-*b*]пиридинов / И.В. Бибик // Сборник статей XLIX международной научно-практической конференции «Advances in Science and Technology».-Москва.- 2022.-С.32-34
3. Вознесенский, А.Г. Клиническая фармакология нестероидных противовоспалительных средств / А.Г. Вознесенский - 2010. – 110 с.
4. Synthesis and analgesic activity of new heterocyclic cyanothioacetamide derivatives / I.V. Bibik [et al.] // Russian Journal of General Chemistry.- 2021/-Vol.9(2).-P.154-166. DOI: 10.1134/S107036322102002X

БИБИК И. В.

**ОСОБЕННОСТИ ПРОТИВОВОСПАЛИТЕЛЬНОЙ АКТИВНОСТИ
НОВЫХ ПРОИЗВОДНЫХ КОНДЕНСИРОВАННЫХ
1,4-ДИГИДРОПИРИДИНОВ И 3-АМИНОТИЕНО[2,3-
В]ПИРИДИНОВ В ЭКСПЕРИМЕНТЕ**

Луганский государственный медицинский университет имени Святителя

Луки, г. Луганск

e-mail: dr.bibik.i.v@yandex.ru

BIBIK I.V.

**FEATURES OF ANTI-INFLAMMATORY ACTIVITY
OF NEW CONDENSED DERIVATIVES
1,4-DIHYDROPYRIDINES AND 3-AMINOTIENO[2,3-B]PYRIDINES IN
THE EXPERIMENT**

Lugansk State Medical University named after St. Luke, Lugansk

e-mail: dr.bibik.i.v@yandex.ru

Аннотация: В настоящей работе представлены результаты изучения особенностей противовоспалительной активности оригинальных дериватов цианотиоацетамида в классическом фармакологическом эксперименте острого «декстранового отека» лапы крыс. Нами было установлены перспективные образцы – дериваты 1,4-дигидропиридина с шифрами AZ331 и AZ420, а также конденсированное производное тиенопиридина с шифром AZ023 обладают ярко выраженными противовоспалительными свойствами.

Ключевые слова: противовоспалительная активность, декстрановый отек, цианотиоацетамид.

Abstract: This paper presents the results of studying the features of the anti-inflammatory activity of the original cyanothioacetamide derivatives in the classical pharmacological experiment of acute "dextran edema" of the paw of rats.

We have established promising samples – derivatives of 1,4-dihydropyridine with the codes AZ331 and AZ420, as well as a condensed derivative of thienopyridine with the code AZ023 have pronounced anti-inflammatory properties.

Keywords: anti-inflammatory activity, dextran edema, cyanothioacetamide.

Введение. Проблема рационального и безопасного использования нестероидных противовоспалительных препаратов в клинической практике на сегодняшний день актуальна. Во многом, ввиду того что частота применения нестероидных противовоспалительных средств (НПВС) в настоящее время катастрофически нарастает. Обширнейший спектр показаний с целью симптоматического лечения болевого, лихорадочного и воспалительного синдромов, открывает возможность использования разнообразных лекарственных форм и путей введения нередко без рецепта врача.

В настоящее время перспективным направлением поиска эффективных антиноцицептивных средств с жаропонижающей и антиэкссудативной активностью являются производные α -цианотиоацетамида [1-3]. В первую очередь цианотиоацетамид нашел применение в синтезе важных полупродуктов тонкого органического синтеза – 2-меркапто(2-тиоксо)никотинитрилов и родственных им 3-цианопиридин-2-тиолатов. Такие соединения, в свою очередь, активно используются в дальнейших гетероциклизациях в производные тиено[2,3-*b*]пиридина, тиазоло[3,2-*a*]пиридина, изотиазоло[5,4-*b*]пиридина, пиридо[2,1-*b*][1,3,5]тиадиазина и ряда других гетероциклических структур. Цианотиоацетамид легко вступает в реакции конденсации и циклизации с широким кругом реагентов. Это обстоятельство обуславливает существенное многообразие возможных продуктов таких реакций – серо- и азотсодержащих гетероциклических соединений, которые во многих случаях являются структурными фрагментами природных молекул, среди них обнаружено большое количество биологически активных соединений [2-3].

Существенной особенностью этих новых гетероциклических соединений являются данные по исследованию их острой пероральной токсичности *in vivo*, указывающие на их низкую токсичность (4-5 класс токсичности) [4].

Цель исследования. Изучение противовоспалительной активности синтезированных нами на базе НИЛ «ХимЭкс» производных конденсированных тиенопиридинов и 1,4-дигидропиридина.

Материалы и методы. На предварительном этапе 350 оригинальных дериватов цианотиоацетамида подвергались виртуальному биоскринингу программным обеспечением Swiss Target Prediction [5]. В результате выделены десять образцов новых гетероциклических соединений, содержащих 3-аминотиено[2,3-*b*]пиридиновый и 1,4-дигидропиридиновый

фрагменты, наиболее перспективные с учетом предполагаемых биомишеней для фармакокоррекции болевого синдрома *in vivo*. Это образцы с лабораторными шифрами: **AZ023**, **AZ169**, **AZ213**, **AZ257**, **AZ331**, **AZ420**, **AZ383**, **AZ729**, **AU04271** и **AU04288**. По результатам виртуального биоскрининга биомишенями для них являются арахидонат-5-липоксигеназа, циклооксигеназа-2, фосфолипаза *A2*, фосфодиэстераза, простаноидные, соматостатиновые, аденозиновые и каннабиоидные рецепторы.

140 лабораторных крыс рандомно были распределены на интактную, контрольную («декстрановый отек») группы, сравнительные группы (ацетилсалициловая кислота и нимесулид) и десять опытных групп по исследуемым производным тиенопиридина и 1,4-дигидропиридина. Антиэкссудативная активность соединений оценивалась моделированием острого «декстранового отека» лапы крыс при субплантарном введении в правую заднюю конечность 0,1 мл 6% раствора декстрана. Соединения вводили через желудочный зонд, в виде взвеси в дозе 5 мг/кг за 1,5 часа до индукции отека. Онкометрические изменения оценивались количественно, по обхвату конечностей.

Определение достоверности различий между образцами и препаратами сравнения производилось по t-критерию Стьюдента при критическом значении t-критерия Стьюдента, равном 2,101 и уровне значимости $\alpha = 0,05$.

Результаты и их обсуждение. Установлено, что перспективные образцы – дериваты 1,4-дигидропиридина с шифрами **AZ331** и **AZ420**, а также конденсированное производное тиенопиридина с шифром **AZ023** обладают ярко выраженными противовоспалительными свойствами. Разность в обхвате дистальных отделов конечностей крыс этих опытных групп на часовой отметке эксперимента составляет 14% и по 12% соответственно. Это в 2,5 раза меньше показателя, зарегистрированного в группе сравнения после введения нимесулида, и в 2,2 раза меньше, чем после использования ацетилсалициловой кислоты. Признаков выраженной болезненности при передвижении крыс в этих опытных группах не выявлено. Обратное отмечено у крыс контрольной группы без фармакокоррекции.

Выводы. Установлена высокая антиэкссудативная активностью у отдельных синтезированных нами новых производных тиенопиридина и 1,4-дигидропиридина, что указывает на перспективность их дальнейших доклинических исследований.

Список литературы

1. Yet L. Privileged structures in drug discovery: medicinal chemistry and synthesis. Hoboken, NJ: Wiley; 2018.
2. Krause A., Baumanii L., Sile L., Chernova L. Synthesis, cardiovascular activity, and electrochemical oxidation of nitriles of 5-ethoxycarbonyl-2-methylthio-1,4-dihydropyridine-3-carboxylic acid. Chemistry of Heterocyclic

Compounds. 2004; 40(7): 876-887.
<https://doi.org/10.1023/B:COHC.0000044570.13567.74>

3. Krivokolysko D.S., Dotsenko V.V., Bibik E.Yu., Samokish A.A., Venidiktova Yu.S., Frolov K.A., et al. New 4-(2-Furyl)-1,4-dihydronicotinonitriles and 1,4,5,6-Tetrahydronicotinonitriles: Synthesis, Structure, and Analgesic Activity. *Russian Journal of General Chemistry*. 2021; 91(9): 1646-1660. <https://doi.org/10.1134/S1070363221090073>

4. Бибик И.В., Корокин М.В., Бибик Е.Ю. Определение острой пероральной токсичности тетрагидропиридонов и гексагидрохинолинов, производных α -цианотиоацетамида. *Курский научно-практический вестник «Человек и здоровье»*. 2019; 4: 96–103.

5. Gfeller D., Michielin O., Zoite V. Shaping the interaction landscape of bioactive molecules. *Bioinformatics*. 2013; 29(23): 3073-3079. <https://doi.org/10.1093/bioinformatics/btt540>

БОЧЕВА А.А.¹, БИБИК Е.Ю.¹, КРИВОКОЛЫСКО С.Г.^{1,2},
ФРОЛОВ К.А.^{1,2}, ДОЦЕНКО В.В.^{2,3}

**ЭКСПЕРИМЕНТАЛЬНАЯ ОЦЕНКА АНАЛЬГЕЗИРУЮЩИХ
СВОЙСТВ НОВЫХ ЧАСТИЧНО ГИДРИРОВАННЫХ ПИРИДИНОВ,
ПРОИЗВОДНЫХ α -ЦИАНОТИОАЦЕТАМИДА**

¹*Луганский государственный медицинский университет им. Святителя
Луки, г. Луганск*

²*Луганский государственный университет имени Владимира Даля,
г. Луганск*

³*Кубанский государственный университет, г. Краснодар
e-mail: an.bushik@gmail.com*

BOCHEVA A.A.¹, BIBIK E.Yu.¹, KRIVOKOLYSKO S.G.^{1,2},
FROLOV K.A.^{1,2}, DOTSENKO V.V.^{2,3}

**EXPERIMENTAL EVALUATION OF ANALGESIC PROPERTIES
OF NEW PARTIALLY HYDROGENATED PYRIDINES,
DERIVATIVES OF α -CYANTHIOACETAMIDE**

¹*Saint Luka Lugansk State Medical University, Lugansk*

²*Vladimir Dahl Lugansk State University, Lugansk*

³*Kuban State University, Krasnodar
e-mail: an.bushik@gmail.com*

Аннотация: Биологический скрининг, проведенный в отношении производных α -цианотиоацетамида, синтезированных на базе НИЛ «ХимЭкс» позволил выделить четыре перспективных образца, обладающих анальгетической активностью. Экспериментальное определение

болеутоляющих свойств реализовано в тесте орофациальной тригеминальной боли на белых крысах.

Ключевые слова: анальгетическая активность, производные цианотиоацетамида, болевой синдром, 1,4-дигидропиридины, метамизол натрия.

Abstract: The biological screening carried out with α -cyanothioacetamide derivatives, synthesized on the basis of research scientific laboratory "NIMEX" allowed us to identify 4 promising samples with analgesic activity. Experimental determination of analgesic properties was implemented in the orofacial trigeminal pain test on white rats.

Keywords: analgesic activity, cyanothioacetamide derivatives, pain syndrome, 1,4-dihydropyridines, sodium metamizole.

Цель исследования. Определение анальгетической активности новых частично гидрированных пиридинов, производных α -цианотиоацетамида^[1], синтезированных на базе НИЛ «ХимЭкс» ЛГУ им. Владимира Даля, в классическом фармакологическом тесте орофациальной тригеминальной боли на белых крысах.

Материалы и методы исследования. Эксперимент реализован в весенний период в лаборатории кафедры фундаментальной и клинической фармакологии Луганского государственного медицинского университета имени Святителя Луки. Из вивария Университета получены белые беспородные крысы, которые были тщательно осмотрены, особое внимание уделялось весу животного, возрасту, двигательной активности и общему состоянию организма. На протяжении всего эксперимента испытуемые находились на стандартном рационе вивария.

Лабораторные животные были распределены по 8 особей в группе, сформировано 7 опытных групп (интактная, две референтные группы и четыре опытные группы по количеству исследуемых образцов). Объем выборки – 56 животных.

На протяжении всего эксперимента содержались в соответствии с правилами качественной лабораторной практики при проведении доклинических исследований в Российской Федерации (Статья 11 Федерального закона №61-ФЗ^[2] от 12.04.2010 «Об обращении лекарственных средств», а также Приказ МЗ и соц. развития РФ от 23.08.2010 №708н «Об утверждении Правил лабораторной практики»), а также правилами и Международными рекомендациями Европейской конвенции по защите позвоночных животных, используемых при экспериментальных исследованиях (1997 г.)^[3].

Моделирование орофациальной тригеминальной боли производилось с помощью подкожного введения 0,1 мл 5%-ного водного раствора формальдегида в соответствии с методикой^[4].

Для референтной группы выбраны два препарата-сравнения из группы нестероидных противовоспалительных средств - мекенаминовая кислота и метамизол натрия, которые вводились испытуемым внутриастрально в дозе 5 мг на кг массы тела животного. Количественными параметрами оценки служили следующие статистические параметры: среднее арифметическое значение числа чесательных движений (a), среднеквадратическое отклонение (σ), дисперсия значений вокруг среднего арифметического (σ^2), коэффициент вариации (K).

Результаты исследования и их обсуждение.

Результаты определения анальгетической активности новых частично гидрированных пиридинов, производных α -цианотиоацетамида, а также показатели препарата-референта представлены в виде таблицы (таблица 1). По данным таблицы отчетливо видно, что все три испытуемые образца проявляют высокую активность по отношению к показателям, полученным у животных групп сравнения. Наиболее выраженными анальгетическими свойствами, исходя из полученных результатов в исследовании *in vivo*, обладают образцы с лабораторными шифрами cv-091, cv-095, cv-099.

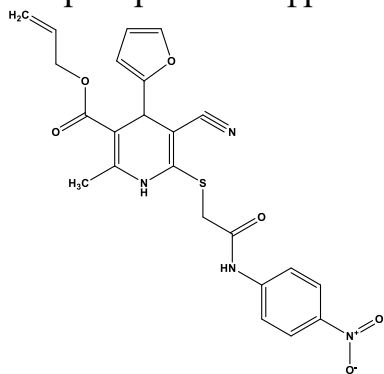
Наименьшую анальгетическую активность по отношению к препарату-референту проявляет соединение с лабораторным шифром cv-142.

Таблица 1. Статистические показатели анальгетической активности исследуемых соединений, производных α -цианотиоацетамида

Группа лабораторных животных	Через 10 минут среднее арифметическое- a ; среднеквадратическое отклонение- σ ; дисперсия - σ^2 ; Коэффициент вариации – K .	Через 15 минут среднее арифметическое- a ; среднеквадратическое отклонение- σ ; дисперсия - σ^2 ; Коэффициент вариации – K .	Через 20 минут среднее арифметическое- a ; среднеквадратическое отклонение- σ ; дисперсия - σ^2 ; Коэффициент вариации – K .
Контрольная (с моделированием орофациальной тригеминальной боли)	$a = 90,89$ $\sigma = 8,39$ $\sigma^2 = 70,36$ $K = 9,23\%$	$a = 63,25$ $\sigma = 7,29$ $\sigma^2 = 53,19$ $K = 11,53\%$	$a = 36,63$ $\sigma = 9,51$ $\sigma^2 = 90,48$ $K = 25,97\%$
Референтная 1 (препарат-референт – мекенаминовая кислота)	$a = 40,25$ $\sigma = 8,55$ $\sigma^2 = 73,19$ $K = 21,25\%$	$a = 25,13$ $\sigma = 8,07$ $\sigma^2 = 65,11$ $K = 32,12\%$	$a = 13,5$ $\sigma = 6,69$ $\sigma^2 = 44,75$ $K = 49,55\%$
Референтная 2 (препарат-референт – метамизол натрия)	$a = 60,0$ $\sigma = 5,8$ $\sigma^2 = 33,3$ $K = 9,6\%$	$a = 37,6$ $\sigma = 2,5$ $\sigma^2 = 6,5$ $K = 6,8\%$	$a = 19,7$ $\sigma = 9,2$ $\sigma^2 = 84,0$ $K = 46,5\%$

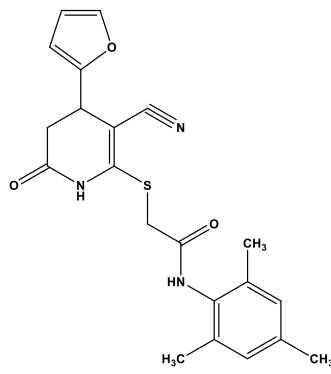
cv-091	$a = 20,38$ $\sigma = 2,23$ $\sigma^2 = 4,98$ $K = 10,96\%$	$a = 11,25$ $\sigma = 2,49$ $\sigma^2 = 6,19$ $K = 22,11\%$	$a = 3,25$ $\sigma = 2,44$ $\sigma^2 = 5,94$ $K = 74,98\%$
cv-095	$a = 22,13$ $\sigma = 3,79$ $\sigma^2 = 14,36$ $K = 17,13\%$	$a = 12$ $\sigma = 3$ $\sigma^2 = 9$ $K = 25\%$	$a = 5,38$ $\sigma = 2,99$ $\sigma^2 = 8,98$ $K = 55,77\%$
cv-099	$a = 21,38$ $\sigma = 4,66$ $\sigma^2 = 21,73$ $K = 21,81\%$	$a = 10,75$ $\sigma = 1,92$ $\sigma^2 = 3,69$ $K = 17,86\%$	$a = 2,38$ $\sigma = 1,99$ $\sigma^2 = 3,98$ $K = 84,05\%$
cv-142	$a = 44,13$ $\sigma = 8,68$ $\sigma^2 = 75,36$ $K = 19,67\%$	$a = 33,13$ $\sigma = 8,82$ $\sigma^2 = 77,86$ $K = 26,64\%$	$a = 20,88$ $\sigma = 7,18$ $\sigma^2 = 51,6$ $K = 34,41\%$

Лидером по проявляемой аналгетической активности в отношении препарата-референта (метамизола натрия) является соединение с лабораторным шифром **cv-099**.



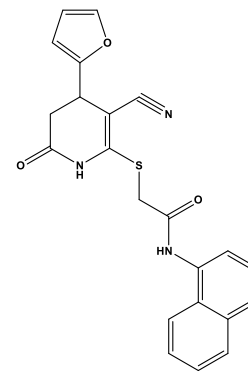
cv-099

allyl 5-cyano-4-(furan-2-yl)-2-methyl-6-((2-((4-nitrophenyl)amino)-2-oxoethyl)thio)-1,4-dihydropyridine-3-carboxylate



cv-091

2-((3-cyano-4-(furan-2-yl)-6-oxo-1,4,5,6-tetrahydropyridin-2-yl)thio)-N-mesitylacetamide



cv-095

2-((3-cyano-4-(furan-2-yl)-6-oxo-1,4,5,6-tetrahydropyridin-2-yl)thio)-N-(naphthalen-1-yl)acetamide

Данное соединение активнее метамизола натрия в 2,8 раза в раннем временном периоде (10 минут после введения альгогена в область вибрисс), также в 3,5 раза через 15 минут после введения, и в 6,8 раз через 20 минут.

Соединение с шифром **cv-142** по отношению к другим опытным образцам показывает наименьший результат, проявляя в среднем снижение частоты чесательных движений через 10 и 15 минут после введения альгогена в 1,2 раза, а через 20 минут препарат-референт даже превосходит данное соединение по активности в 1,1 раз.

Выводы. В результате проведенного экспериментального исследования на белых беспородных крысах в классическом

фармакологическом тесте тригеминальной орофациальной боли, вызванной введением альгогена в область вибрисс, с целью определения анальгезирующих свойств у лабораторных образцов новых частично гидрированных пиридинов, производных α -цианотиоацетамида, синтезированных на базе НИЛ «ХимЭкс» ЛГУ им. Владимира Даля, выявил образцы, обладающие высокой болеутоляющей активностью. Это соединения с лабораторным шифром **cv-091**, **cv-095**, **cv-099**. Соединение с шифром **cv-099** (при внутриастральном введении в расчете 5мг/кг) обладает наибольшей активностью среди всех испытываемых образцов по отношению к препаратам-референтам – мефенаминовой кислоте и метамизолу натрия, и результатам, полученным у лабораторных животных контрольной группы.

Список литературы

1. Krivokolysko D.S. New 4-(2-Furyl)-1,4-dihydronicotinonitriles and 1,4,5,6-Tetrahydronicotinonitriles: Synthesis, Structure, and Analgesic Activity / D.S. Krivokolysko, V.V. Dotsenko, E.Yu. Bibik [et al.] // Russian Journal of General Chemistry. – 2021. - Vol. 91, No. 9. – P. 1646–1660. DOI:10.1134/S1070363221090073).
2. Приказ МЗ и социального развития от 23.08.2010 №708н «Об утверждении правил лабораторной практики»
<https://normativ.kontur.ru/document?moduleId=1&documentId=165691>
3. Федеральный закон от 12.04.2010 №61-ФЗ «Об обращении лекарственных средств» <http://kremlin.ru/acts/bank/30941>
4. Хабриев Р.У. Руководство по экспериментальному (доклиническому) изучению новых фармакологических средств. М.: Медицина, 2005. 832 с. [Habriev R.U. Rukovodstvo po eksperimental'nomu (doklinicheskomu) izucheniyu novykh farmakologicheskikh sredstv. Moscow: Medicine; 2005, 832 p. (In Russ.)]

¹ВАЛЬНЮКОВА А. С., ¹ТИХОНОВА О. Ю., ¹ЗАЙЦЕВА Э. А.,

²РАДЖЕШ ВИТТАЛ ШЕТТИ

ПРИМЕНЕНИЕ ГРАФЕНА И ЕГО ПРОИЗВОДНЫХ В СТОМАТОЛОГИИ

¹ФГБОУ ВО «Кемеровский медицинский государственный университет»

Минздрава России, Россия, г. Кемерово

²Стоматологическая клиника Дэзз, Индия, г. Мумбаи

e-mail: nastya711@bk.ru

¹VALNYUKOVA A. S., ¹TIKHONOVA O. Yu.¹, ZAITSEVA E.A.¹,

²RAJESH VITTAL SHETTY

APPLICATION OF GRAPHENE AND ITS DERIVATIVES IN DENTISTRY

¹*Kemerovo State Medical University, Russia, Kemerovo*

²*Dazzle dental clinic, India, Mumbai*

e-mail: nastya711@bk.ru

Аннотация: Стоматологические материалы на основе графена обладают повышенными механическими характеристиками, термической стабильностью, а также могут быть функционализированы биологически активными молекулами, что позволяет встраивать их в различные каркасы, используемые в регенеративной стоматологии. Рассмотрена взаимосвязь между наноматериалами на основе графена и клетками иммунной системы, а также антибактериальная активность таких материалов. Применение графеновых материалов возможно в сочетании с титановыми зубными имплантатами, мембранами для регенерации костной ткани, смолами, цементами и адгезивами.

Ключевые слова: графен, биосовместимость, стоматологические материалы.

Abstract: Dental materials based on graphene have increased mechanical characteristics, thermal stability, and can also be functionalized with biologically active molecules, which allows them to be embedded in various frameworks used in regenerative dentistry. The relationship between graphene-based nanomaterials and cells of the immune system, as well as the antibacterial activity of such materials, is considered. The use of graphene materials is possible in combination with titanium dental implants, membranes for bone regeneration, resins, cements and adhesives.

Keywords: graphene, biocompatibility, dental materials.

Введение. Существует четыре основных формы углеродных наноструктур: нулевые, одномерные, двухмерные и трехмерные. Графен представляет собой двумерную наноструктуру. Графен – самый тонкий и

прочный из существующих материалов, который в основном состоит из двумерных листов толщиной менее 10 нм. Графен и его производные применяются в различных областях науки и техники благодаря физическим и химическим свойствам, таким как электропроводность, прозрачность, биосовместимость, высокая механическая прочность и большая площадь поверхности [2].

Цель исследования – рассмотреть наноматериалы на основе графена применительно стоматологической практики.

Объекты и методы исследования. Анализ информационных материалов о наноматериалах на основе графена и его производных, а также применения таких материалов в стоматологии. Информация взята из открытых электронных библиотек: PubMed, e-library, NLM, elpub, КиберЛенинка.

Результаты и их обсуждение. В настоящее время титановые имплантаты считаются лучшей заменой естественным зубам благодаря хорошей биосовместимости и надежности. Но инертность титана по своей природе делает его восприимчивым к развитию фиброзной ткани. Способ создания имплантатов из титана с покрытием оксида графена дает улучшенные характеристики по сравнению с чистыми имплантатами из титана. Эти улучшения в основном касаются биосовместимости и клеточной пролиферации имплантатов. Также доказано, что графеновое покрытие титановых имплантатов придает им антибактериальные свойства, особенно эффективен этот процесс, когда оксид графена дополнен антибактериальными веществами, такими как наночастицы серебра или антибиотики. В сочетании с антибиотиком миноциклином графеновое покрытие улучшает антибактериальную активность в отношении факультативно-анаэробных или аэробных бактерий благодаря синергетическому эффекту миноциклина и оксида графена. Таким образом, можно сделать вывод, что графеновое покрытие с антибиотиками или серебром на титановых имплантатах улучшает антибактериальные свойства имплантатов, предотвращая возникновение инфекций в результате их использования у пациента [3, 5].

Используемую в челюстно-лицевой хирургии направленную регенерацию костной ткани с использованием барьерной мембраны можно улучшить добавлением графена, который поможет предотвратить проникновение клеток мягких тканей в растущую кость [4].

При рассмотрении роли графена в реставрации зубов важно учитывать тот факт, что смолы и цементы являются наиболее часто используемыми материалами. Первоначально использовались полимерные материалы, но они склонны к образованию биопленок, что приводит к несостоятельности реставрации зубов, а также к адгезии и росту бактерий. Для борьбы с восприимчивостью к росту бактерий в полости рта в качестве нанонаполнителя в стоматологическом адгезиве используются графеновые

нанопластины. Минус графеновых пластин в их сером цвете, что оказывается не совсем подходящим для использования в стоматологической практике. Для улучшения цвета в графеновые пластины внедряли гибридные наностержни оксида цинка. Полученные графеновые нанопластины, декорированные наностержнями оксида цинка, обладали антимикробными свойствами, даже при использовании в малых количествах [1].

Наноконпоненты графен-золото оказались еще одним возможным наполнителем для стоматологических композитов, поскольку большое количество наночастиц улучшают физико-химические свойства адгезивов. Стеклоиономерные цементы с фторированным графеном также оказываются полезными для подавления роста бактерий и улучшают механические свойства цементов [7].

Бактериальные биопленки играют решающую роль в механизмах патогенеза зубов из-за их способности противостоять многочисленным обычным антибактериальным агентам. Исследователи [6] установили, что наночастицы оксида графена могут продуктивно ингибировать образование биопленки *Streptococcus mutans* в широком диапазоне концентраций в период начала образования (0-4 ч) бактериальной биопленки.

Стоматологические наноматериалы на основе графена активно исследуются на предмет их потенциала в практическом применении, что делает их актуальными и перспективными в будущем.

Выводы. Получение графена и его производных в качестве биомедицинских материалов за последние несколько лет стало очень интересной областью исследований, но все еще требует изучения для выхода на практикоориентированный рынок. Потенциал функционализации графена различными биоматериалами и биомолекулами делает его перспективным компонентом в стоматологических материалах. Например, биоконпозиты с контролируемыми физико-химическими и биологическими свойствами, которые могут быть синтезированы путем функционализации и сочетания графена и его производных с другими биомолекулами для получения специфических свойств, таких как высокие механические характеристики, большая площадь поверхности, а также повышенная биоактивность. Между тем конечные свойства таких материалов напрямую зависят от физико-химических свойств графена и его производных – их размера, поверхности, условий и параметров покрытия. Использование наноматериалов на основе графена в стоматологии требует дальнейшего изучения и, возможно, в ближайшем будущем сможет привести к более надежному стоматологическому лечению.

Список литературы

1. Жабина Ю.А. Сравнительная характеристика прямого и непрямого методов реставрации // БМИК. – 2017. – №10. – С. 1520-1522.
2. Суздаев И.П. Нанотехнология: физико-химия нанокластеров,

наноструктур и наноматериалов. – М.: КомКнига. – 2006. – 592 с.

3. Утюж А., Юмашев А., Михайлова М. Ортопедические конструкции из сплавов титана при непереносимости традиционных зубных протезов // Врач. – 2016. – №7. – С. 62-64.

4. Cucchi A., Ghensi P. Vertical guided bone regeneration using titanium-reinforced d-PTFE membrane and prehydrated corticocancellous bone graft // Open Dent J. – 2014. – V. 8. – pp. 194-200.

5. Guazzo R. Graphene-based nanomaterials for tissue engineering in the dental field // Nanomaterials. – 2018. – V. 8. – p. 349.

6. He J. The inhibition effect of graphene oxide nanosheets on the development of Streptococcus mutans biofilms // Part. Part. Syst. Charact. – 2017. – V.5. – P. 1700001.

7. Sun L. Improvement of the mechanical, tribological and antibacterial properties of glass ionomer cements by fluorinated graphene // Dental Materials. – 2018. – V.34. – pp. 115-127.

КИБА А.В.

**РАЗРАБОТКА АНТИСЕПТИЧЕСКОГО ГЕЛЯ НА ОСНОВЕ
КСАНТАНОВОЙ КАМЕДИ С ДОБАВЛЕНИЕМ ЛИДОКАИНА И
СПИРТОВЫХ ЭКСТРАКТОВ РОМАШКИ АПТЕЧНОЙ И
ПРОПОЛИСА**

Вятский государственный университет, г. Киров

Институт химии и экологии

e-mail: kiba.ana@yandex.ru

KIBA A.V.

**DEVELOPMENT OF AN ANTISEPTIC GEL BASED ON
XANTHAN GUM WITH THE ADDITION OF LIDOCAINE AND
ALCOHOL EXTRACTS OF CHAMOMILE AND PROPOLIS**

Vyatka State University, Kirov

Institute of Chemistry and Ecology

e-mail: kiba.ana@yandex.ru

Аннотация: В статье представлен опыт разработки состава и технологии получения антисептического геля из ксантановой камеди с добавлением лидокаина и экстрактов ромашки, прополиса. Изучены биодоступность и реологические свойства. Определены наиболее перспективные составы.

Ключевые слова: лидокаин, полифенолы, прополис, ромашка аптечная, биодоступность, спектрофотометрия, диализ, метод Кривчинского, реометр, кривые вязкости.

Abstract: The article presents the experience of developing the composition and technology of obtaining an antiseptic gel from xanthan gum with the addition of lidocaine and extracts of chamomile, propolis. Bioavailability and rheological properties have been studied. The most promising compositions have been identified.

Keywords: lidocaine, polyphenols, propolis, chamomile, bioavailability, spectrophotometry, dialysis, Kravchinsky method, rheometer, viscosity curves.

Антисептические гели занимают видное место в арсенале гигиенических средств. Однако антисептические средства имеют такие недостатки, как способность разрушать верхний жировой слой эпидермиса, вызывать аллергию и приводить к развитию резистентности микроорганизмов [1].

Цель исследования – разработать состав и технологию получения антисептического геля на основе ксантановой камеди с лидокаином и спиртовыми экстрактами ромашки аптечной и прополиса, обладающего оптимальными физико-химическими свойствами.

На основании патентов РФ 2523560 и РФ 2342923, в которых были использованы эфирные масла или экстракты лекарственных растений, были разработаны 2 серии составов с различными концентрациями загустителя (табл.).

Таблица

Состав гелевых композиций на основе прополиса и ромашки аптечной, на 100 г образца

Компонент	Номер образца	1	2	3
	Содержание, %			
Спирт этиловый 96%	68,0–68,1			
Глицерин в геле с прополисом / глицерин в геле с ромашкой	0,0 / 1,0–1,1			
Спиртовой экстракт прополиса / ромашки аптечной	0,01–0,03 / 0,01–0,03			
Лидокаин	1,9–2,0			
Ксантановая камедь	1,0	2,5	5,0	
Вода дистиллированная	До 100			

В качестве гелеобразователя использована ксантановая камедь – природное химическое соединение, пищевая добавка E415. По химической природе представляет собой полисахарид. Является сильным загустителем, ее действие не зависит от механического воздействия, нагрева, действия кислот и солей [2].

Материалы и методы исследования. Для изучения биодоступности полифенолов и лидокаина применен метод Кравчинского [3], диализной средой служил 0,9% раствор хлорида натрия, объем которого 50 мл.

Концентрацию полифенолов в диализной среде определяли на спектрофотометре при длине волны 765 нм методом стандарта (с помощью градуировочного графика с реактивом Фолина-Чокальтеу) [3], концентрацию лидокаина при 262 нм. Изучали концентрации в диализной камере через 45 и 120 минут. Данные выхода биологически активных веществ (полифенолов и лидокаина) из гелей в диализную среду были сравнены с выходом биологически активных веществ препарата «Камистад» (Германия), в составе которого содержание лидокаина 2% и спиртовой экстракт ромашки. В качестве загустителя в «Камистад» используется карбомер – загуститель синтетического происхождения, который может вызывать аллергические реакции и не разрушается в окружающей среде.

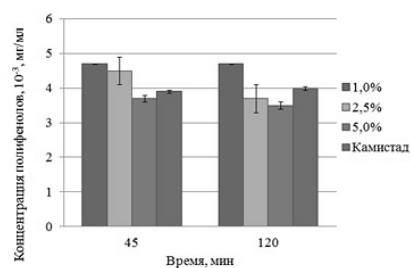
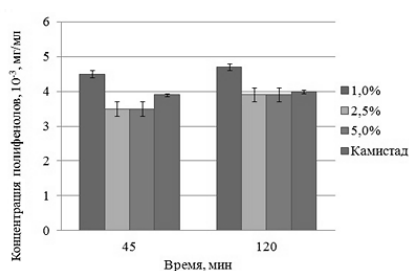
Реологические испытания проводили на реометре «StressTech» фирмы «REOLOGICA Instruments AB». Реометр фирмы «REOLOGICA» предназначен для использования в комбинации с компьютером, и установленным на нем программным обеспечением инструмента. Также в комплекте с реометром поставляется воздушный фильтр/регулятор, охладитель двигателя и внешний температурный регулятор. Воздушный фильтр/регулятор обеспечивает подачу воздуха требуемого качества и давления. Охладитель двигателя используется для поддержания температуры. Программное обеспечение управляющего персонального компьютера (ПК) гарантирует правильную и стабильную температуру измерения.

Для проведения испытания образец помещается на плоскую поверхность прибора. Измерения проводили в ячейке «плоскость-плоскость», в ротационном режиме. После нагревания до нужной температуры верхний ротор плотно прижимали к образцу и задавали скорость вращения. Температурный интервал испытаний: 30°C, скорость сдвига 0,1 – 1,0 с⁻¹.

Результаты исследования и их обсуждение. Результаты изучения биодоступности. С увеличением продолжительности опыта *концентрация полифенолов* в диализной среде из образцов, содержащих прополис и из препарата «Камистад» увеличивается, а с образцами, содержащими ромашку аптечную, имеет различный характер: 1% ксантановой камеди – не изменяется, 2,5 и 5,0% – уменьшается (рис. 1). Значения концентрации полифенолов в диализной среде из гелевых композиций с 2,5 и 5,0% содержанием ксантановой камеди не превышают значения из «Камистада». Наибольший выход полифенолов из 1%-ных гелей, что связано с достаточно жидкой консистенцией гелей по сравнению с остальными.

Динамика выхода полифенолов из гелей с экстрактом прополиса достаточно равномерная и согласуется с «Камистад», результаты исследования гелей с ромашкой аптечной не конгруэнтны и не поддаются общей закономерности. Это объяснимо разницей состава – наличие

глицерина в составе в образцах гелей на основе ромашки. При достаточно высоком молекулярном весе полимера (высокой степени его кристалличности) прямое растворение полимера с получением высоковязкого раствора зачастую проблематично. Решение – использование соразтворителя, способного к комплексообразованию с полимером или являющегося бифункциональным, способным к образованию «мостичной» связи между макромолекулами. В результате макромолекулы лишаются кинетической самостоятельности. В качестве соразтворителя использован глицерин. По выходу полифенолов все исследуемые гели достаточно схожи, колебания концентрации аналита в диализной среде составили от $(3,5 \text{ до } 4,7) \cdot 10^{-3} \text{ мг/мл}$.

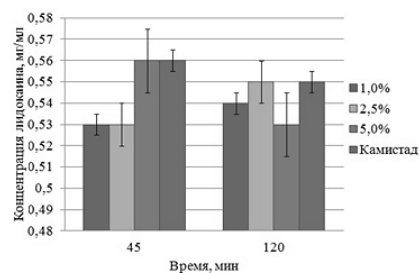
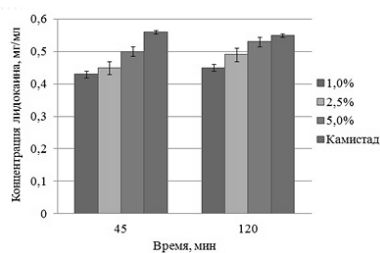


образцы на основе прополиса

образцы на основе ромашки

Рис. 1. Динамика концентрации полифенолов в диализной среде

С увеличением времени *концентрация лидокаина* в диализной среде из гелей увеличивается, а у препарата «Камистад» уменьшается (рис. 2). Среди образцов наибольший выход лидокаина обнаружен в образцах из 5%-ного геля ксантановой камеди.



образцы на основе прополиса

образцы на основе ромашки

Рис. 2. Динамика концентрации лидокаина в диализной среде

В образцах на основе экстракта прополиса выход лидокаина не превышает значения выхода лидокаина «Камистада», а у образцов на основе экстракта ромашки превышает на 5,4–5,5%. Наличие в составе глицерина способствует увеличению выхода лидокаина. Глицерин проявляет кислотные свойства по отношению к лидокаину, как к хлористоводородной соли амидного типа, подкисляет его, что способствует увеличению выхода лидокаина из гелевых композиций. Кроме того, наблюдается скачкообразная

динамика, что объясняется созданием более плотной структуры геля за счет добавления глицерина.

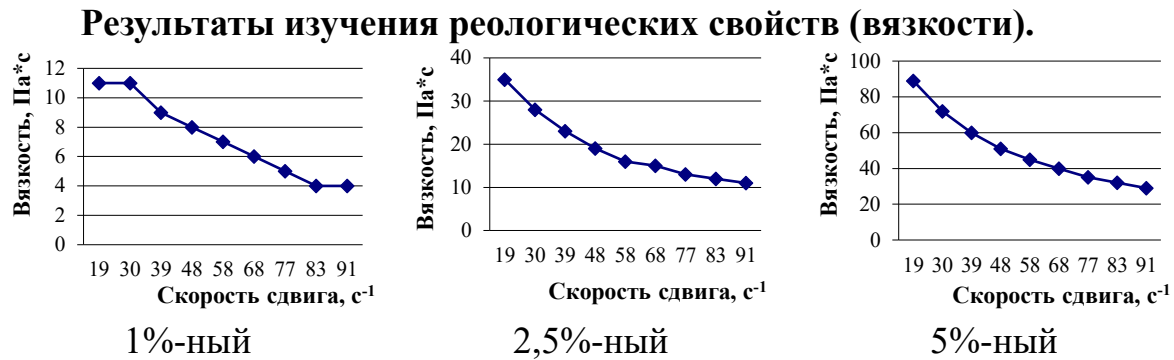


Рис. 3. Кривые вязкости для гелей на основе прополиса

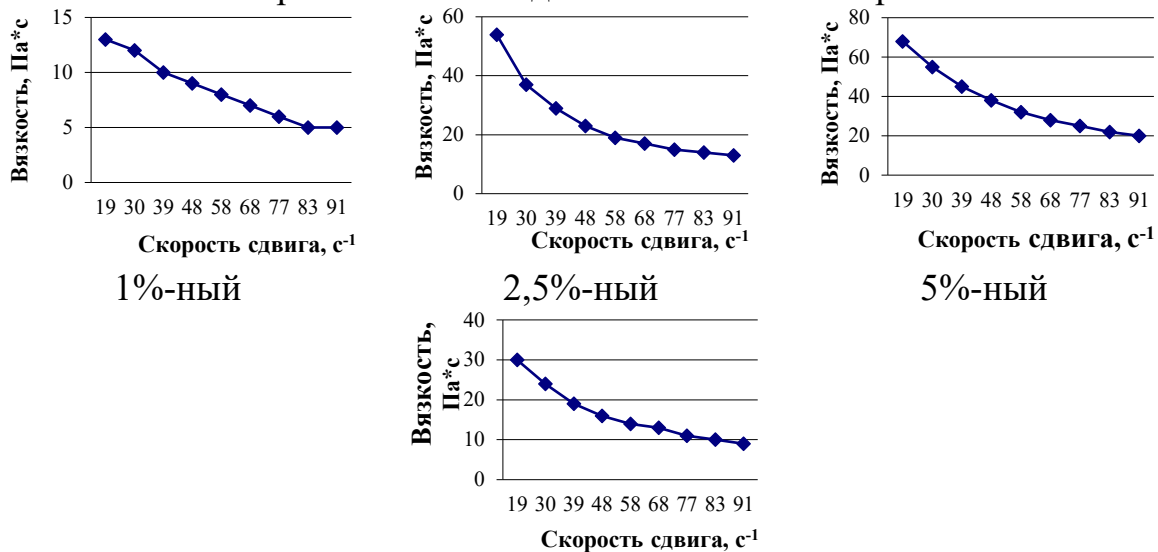


Рис. 5. Кривая вязкости для препарата «Камистад»

По имеющимся кривым можно судить о неньютоновском типе течения жидкости, т. е. гели являются псевдопластичными жидкостями с установленным пределом текучести. Совокупность полученных данных указывает на способность образцов сохранять прочность своей структуры.

Гели обеих серий состава с 1%-ным содержанием ксантановой камеди обладают менее выраженными значениями вязкости по сравнению с «Камистад». Несмотря на низкую вязкость 1%-ные гели наиболее полно восстанавливают структуру по сравнению с другими гелями и препаратом «Камистад», о чем свидетельствует наименьшая площадь петли гистерезиса. Наличие горизонтального участка на кривой течения в начальном диапазоне сдвига у 1%-ного геля на основе прополиса свидетельствует об более выраженной устойчивости образца к механическим разрушениям. Другие гели обеих серий состава обладают более выраженными значениями вязкости по сравнению с «Камистад». С увеличением концентрации ксантановой камеди в составе значения вязкости увеличиваются: наиболее высокая вязкость отмечена у 5%-ных гелевых композиций обеих серий

состава. Значения вязкости гелевых композиций на основе ромашки незначительно превышают значения вязкости гелевых композиций на основе прополиса (исключение 5%-ные гели). Это объяснимо наличием в составе глицерина, создающего более плотную структуру геля.

Выводы. Были выбраны методики приготовления антисептического геля, определения полифенолов и лидокаина в образцах гелевых композиций, проведения реологических испытаний. Установлено, что использование гелей из ксантановой камеди обеспечивает доступность полифенолов из 1% композиции больше, чем из препарата «Камистад», в сериях с прополисом и ромашкой. Гели обладают более выраженными значениями вязкости по сравнению с «Камистад».

Список литературы

1. Рычагов Г. П. Общая хирургия : в 2 т. Минск : Вышэйшая школа, 2008. 1 т.
2. Марченко Л. Г., Русак А. В., Смахова И. Е. Технология мягких лекарственных форм. СПб.: Спец. лит., 2004. 22–33 с.
3. ГОСТ 55488-2013 Прополис. Метод определения полифенолов. М.: Изд-во стандартов, 2014. 3 с.

^{1,2}КОЗЛОВИЧ Д. В., ²БОГДАНОВА Н. В., ^{1,2}ХАНЧЕВСКИЙ М. А.

ВЛИЯНИЕ КАРБОНАТА ЛИТИЯ НА ФИБРИЛЛООБРАЗОВАНИЕ ИНСУЛИНА

¹Государственное научное учреждение «Институт биоорганической химии НАН Беларуси», г. Минск, Республика Беларусь

²Учреждение образования «Международный государственный экологический институт имени А. Д. Сахарова» Белорусского государственного университета, г. Минск, Республика Беларусь
e-mail: kozlovich.darya01@mail.ru

^{1,2}KOZLOVICH D.V., ²BOGDANOVA N. V., ^{1,2}KHANCHEUSKI M. A.

INFLUENCE OF LITHIUM CARBONATE ON INSULIN FIBRILLATION

¹Institute of Bioorganic Chemistry National Academy of Sciences of Belarus,
Minsk, Republic of Belarus

²Belarusian State University, ISEI BSU, Minsk, Republic of Belarus
e-mail: kozlovich.darya01@mail.ru

Аннотация: Выявлено влияние температурного и механического фактора на фибриллообразование инсулина. Установлено, что в процессе инкубации инсулина в течении 7 часов концентрация фибрилл возрастает в

3.4 раза по сравнению с контролем. Показано, что инкубирование инсулина с карбонатом лития приводило к снижению фибриллообразования инсулина в 2 раза.

Ключевые слова: инсулин, карбонат лития, агрегация, фибриллообразование, сахарный диабет.

Abstract: The influence of temperature and mechanical factors on insulin fibril formation was revealed. It was found that during the incubation of insulin for 7 hours, the concentration of fibrils increases by 3.4 times compared with the control. It was shown that the incubation of insulin with lithium carbonate led to a 2-fold decrease in insulin fibril formation.

Keywords: insulin, lithium carbonate, aggregation, fibril formation, diabetes mellitus.

Нейродегенерация в целом связана со смертью нейронов в центральной нервной системе (ЦНС). Нейродегенеративные заболевания характеризуются постепенной анатомической и физиологической аберрацией нейронных систем. К ним относятся болезнь Хантингтона, болезнь Альцгеймера, боковой амиотрофический склероз и болезнь Паркинсона. На сегодняшний день все нейродегенеративные заболевания не поддаются лечению. Эта ситуация может ухудшиться по мере роста стареющего населения во всем мире.

Литий был открыт шведским студентом-химиком Арфведсоном в 1817 году. В 1949 г. Кади обнаружил, что литий вызывает седативный эффект у морских свинок. Он предположил, что психические заболевания возникают в результате интоксикации неизвестным соединением, которое может присутствовать в моче пациентов. Поскольку урат лития является единственной растворимой солью мочевого кислоты, он вводил его морским свинкам. Заметив, что морские свинки находятся под действием седативных средств, он начал лечить психиатрических пациентов карбонатом лития. Пациенты с шизофренией или депрессией не улучшились, но у всех десяти пациентов с манией симптомы прекратились или уменьшились. Это привело к внедрению лития в качестве антимианиакального препарата, эффективность которого до сих пор считается самой сильной. Дальнейшие исследования группы Шоу подтвердили терапевтическую и профилактическую пользу лития.

Агрегация неправильно свернутого пептида амилоида- β ($A\beta$) в олигомеры, филаменты и фибриллы является одним из признаков болезни Альцгеймера (БА) — самого сложного нейродегенеративного заболевания на сегодняшний день. Известно множество факторов, модулирующих агрегационное поведение $A\beta$, которые могут влиять как на начало, так и на течение заболевания: внутренние факторы включают мутации, укорочения последовательности или посттрансляционные модификации, тогда как внешние факторы, например, концентрация пептида, pH или присутствие

ионов. Общее модулирующее действие ионов на биомолекулы давно известно из ряда Хофмейстера, который упорядочивает ионы в соответствии с их способностью взаимодействовать с белками. В случае ионов металлов этот порядок зависит от типа иона (т. е. щелочной металл < щелочноземельный металл) и, даже в большей степени, от заряда (т. е. одновалентный < двухвалентный). Из-за их более сильного влияния ионы двухвалентных металлов, такие как Ca^{2+} , Fe^{2+} , Cu^{2+} и Zn^{2+} , уже были экспериментально и теоретически исследованы.

Цель исследования. Оценка влияния ионов Li^+ на фибриллообразование молекулы инсулина.

Материалы и методы исследования. Инсулин готовили в физиологическом растворе в концентрации 2 мг на 1 мл. Карбонат лития вносили в исследуемые пробы в концентрации 0.6 ммоль. В полимерную микропробирку вносили 0.4 мл инсулина и 0.6 мл карбоната лития и подвергали инкубации при 37 °С и механическому воздействию. Измерение интенсивности флуоресценции проводили на флуориметре RF-5301 PC («Shimadzu», Япония) при 481 нм. Длина волны возбуждения – 440 нм. Для измерения флуоресценции в кювету вносили 2 мл физиологического раствора, 10 мкл пробы и 10 мкл тиофлавина (ThT).

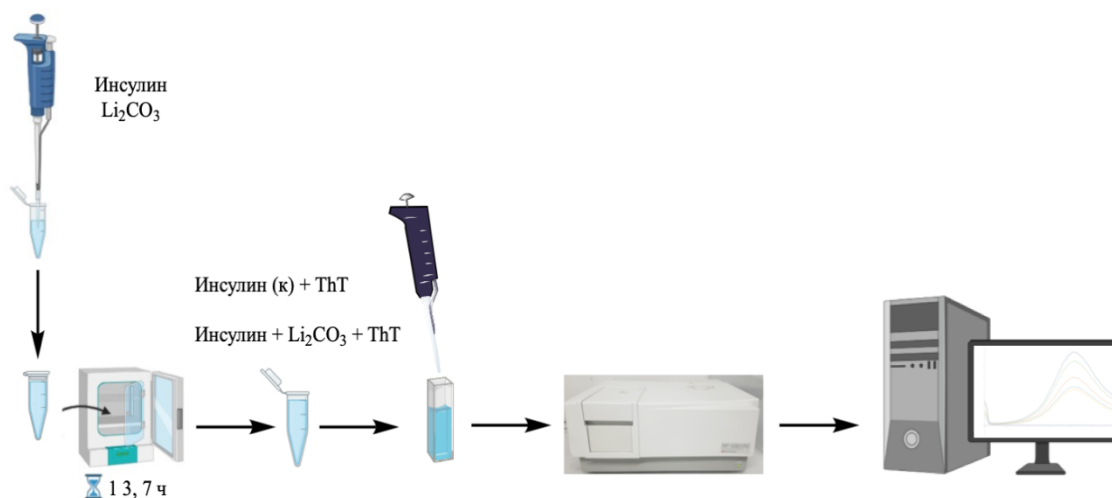


Рисунок 1. Схема эксперимента по проверке карбоната лития на влияние фибриллообразования инсулина

Результаты исследования.

Тиофлавин Т — флуоресцентное вещество, соль из группы бензотиазолов. Краситель способен специфическим способом связываться с амилоидными фибриллами в растворах, вследствие чего значительно возрастает квантовый выход его флуоресценции. Фибриллы, образующихся при механическом воздействии и температуре были изучены при помощи амилоидного красителя ThT.

СЕКЦИЯ 5. Поиск и внедрение биологически активных соединений природного и синтетического происхождения

Показатели для первой пробы выступали в качестве контроля, и полученный результат принимали за 100%.

Результаты исследования по влиянию температурного и механического факторов на фибриллообразования молекулы инсулина представлены в таблице 1.

Таблица 1. Влияние температурного и механического факторов на фибриллообразования молекулы инсулина

№	Время	Длина волны (нм)	Показатели интенсивности флуоресценции молекулы инсулина, связанного с тиофлавином (отн. ед)	Процент образующихся фибрилл, %
1	Контроль	481	1.9	100
2	1 час		2.2	115
3	3 часа		2.5	127
4	7 часов		6.4	335

График зависимости образования фибрилл инсулина в процессе инкубации

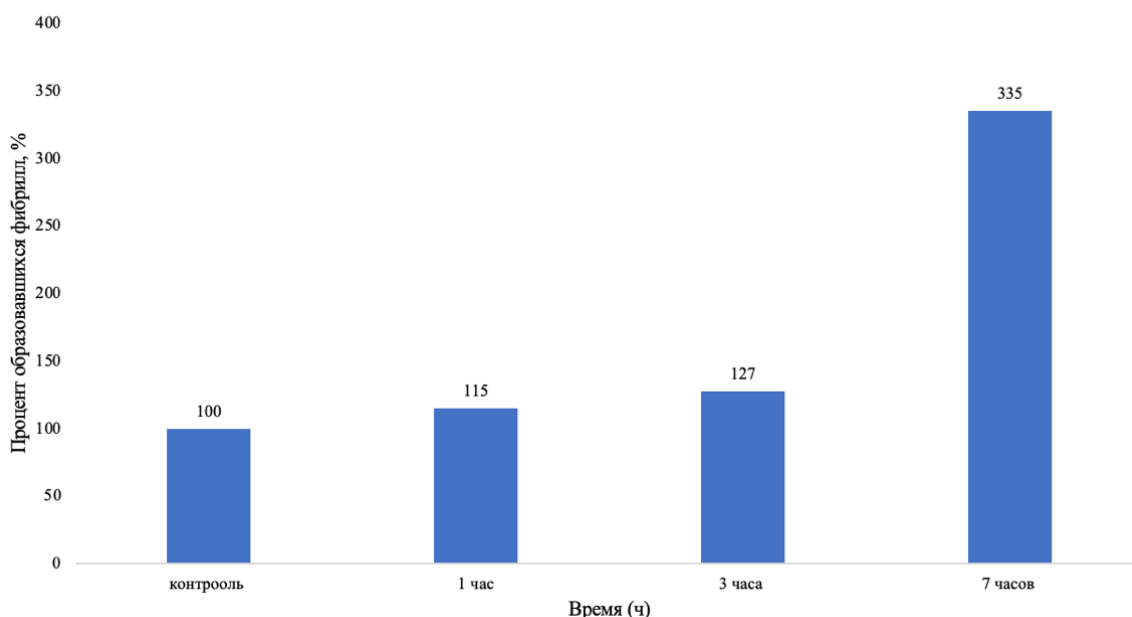


Рисунок 2. График зависимости образования фибрилл инсулина в процессе инкубации при 37 °С и механическом воздействии

Результаты исследования по влиянию карбоната лития на фибриллообразования молекулы инсулина представлены в таблице 2.

Таблица 2. Влияние карбоната лития на фибриллообразование молекулы инсулина

№	Время	Длина волны (нм)	Показатели интенсивности флуоресценции молекулы инсулина, связанного с тиофлавином (отн. ед)	Процент образующихся фибрилл, %
1	Контроль	481	1.9	100
2	1 час		1.7	88.4
3	3 часа		2	104
4	7 часов		3.1	161.2

График зависимости влияния карбоната лития на фибриллообразование молекулы инсулина

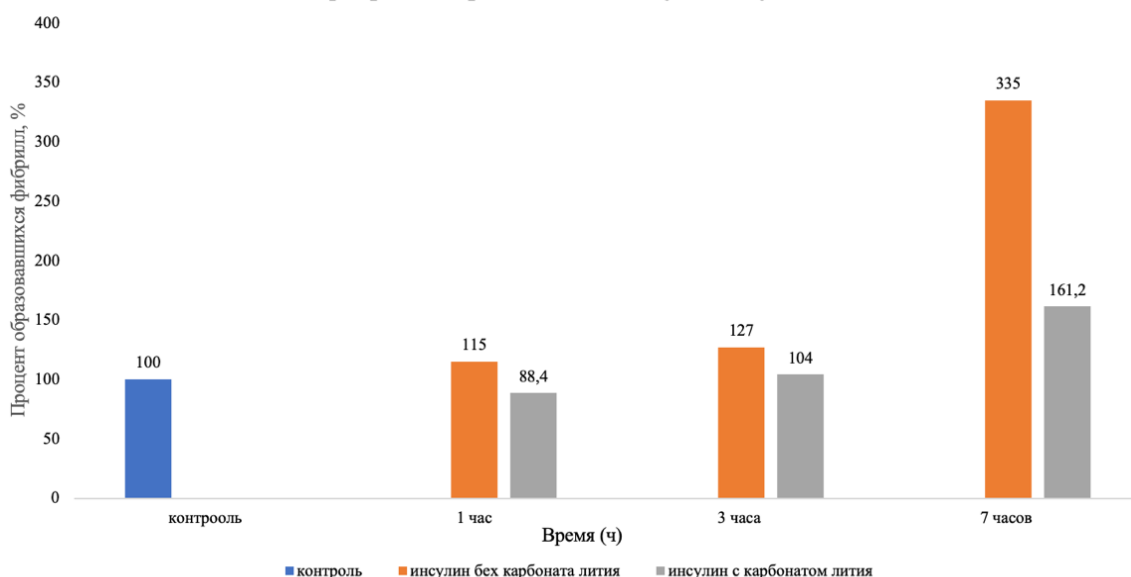


Рисунок 3. График зависимости влияния карбоната лития на фибриллообразование молекулы инсулина

Выводы. Концентрация фибрилл по сравнению с контролем за 7 часов увеличилась в 3.4 раза, это свидетельствует о том, что механическое воздействие и температура увеличивает фибриллообразование молекулы инсулина. Концентрация фибрилл при инкубации инсулина с карбонатом лития по отношению к концентрации фибрилл без карбоната лития уменьшалась в 2 раза.

^{1,2}КОЗЛОВИЧ Д.В., ²БОГДАНОВА Н.В.
**ВЛИЯНИЕ цАМФ и Ar₄A НА ПРОЦЕСС
ФИБРИЛЛООБРАЗОВАНИЯ МОЛЕКУЛЫ ИНСУЛИНА**

¹Государственное научное учреждение «Институт биоорганической химии НАН Беларуси», г. Минск, Республика Беларусь
²Учреждение образования «Международный государственный экологический институт имени А. Д. Сахарова» Белорусского государственного университета, г. Минск, Республика Беларусь
e-mail: kozlovich.darya01@mail.ru

^{1,2}KOZLOVICH D.V., ¹BOGDANOVA N.V.
**INFLUENCE OF cAMP AND Ar₄A ON THE PROCESS OF FIBRIL
FORMATION OF THE INSULIN MOLECULE**

¹Institute of Bioorganic Chemistry National Academy of Sciences of Belarus,
Minsk, Republic of Belarus
²Belarusian State University, ISEI BSU, Minsk, Republic of Belarus
e-mail: kozlovich.darya01@mail.ru

Аннотация: В результате проведенного исследования представлены данные о влиянии цАМФ и Ar₄A на фибриллообразование молекул инсулина. В экспериментах *in vitro* выявлено, что данные вещества снижают процесс образования амилоидных фибрилл.

Ключевые слова: инсулин, сахарный диабет, агрегация, фибриллообразование, цАМФ, Ar₄A.

Abstract: This study presents data on the effects of cAMP and Ar₄A on the fibril formation of insulin molecules. In *in vitro* experiments it was found that these substances reduce the formation of amyloid fibrils

Keywords: insulin, diabetes mellitus, aggregation, fibril formation, cAMP, Ar₄A

Как известно, при процессе фолдинга белки приобретают уникальную трехмерную структуру, которая определяет их биологическую активность. Однако, во время биосинтеза в клетке, различные внешние факторы могут привести к появлению неправильно свернутых или развернутых структур белков. Такие структуры теряют свою нативную форму, что может привести к формированию различных надмолекулярных структур, включая растворимые олигомеры, аморфные агрегаты и фибриллы. Неправильное свертывание некоторых белков может вызвать различные нейродегенеративные заболевания, такие как диабет второго типа, болезнь

Альцгеймера, болезнь Паркинсона, Боковой Амиотрофический склероз, фронтотемпоральная дегенерация и болезнь Гентингтона и др.

Инсулин – гормон поджелудочной железы, который регулирует процессы углеводного обмена и поддерживает нормальный уровень сахара в крови. Молекула инсулина может существовать в трех формах: мономера, димера и гексамера. Мономерная форма инсулина – это полипептид, состоящий из двух цепей. А-цепь состоит из двадцати одного аминокислотного остатка, а В-цепь - из тридцати аминокислотных остатков. Эти цепи связаны между собой дисульфидными мостиками, которые локализованы между аминокислотными остатками А7-В7 и А20-В19. Третий дисульфидный мостик связывает между собой шестой и одиннадцатый аминокислотные остатки А-цепи.

Формирование фибриллярных молекул инсулина нежелательно при использовании его в качестве терапии сахарного диабета. При различных внешних воздействиях, инсулин, используемый для инъекций, способен формировать амилоидные фибриллы. Его спонтанная полимеризация может происходить при получении, хранении и транспортировке инсулина. Агрегация инсулина в нерастворимые фибриллы может вызвать осложнения у пациентов с сахарным диабетом, включая снижение терапевтического эффекта инсулина, закупорка устройств доставки инсулина или повышенный иммунологический ответ. Образование фибрилл может также оказывать влияние на гликемический контроль и снижать эффективность лечения.

Амилоидные фибриллы представляют собой пучки стабильных высокоупорядоченных протеиновых нитей, обогащенных бета-складчатыми структурами. Известно более 35 белков, агрегация которых сопровождается тяжелыми заболеваниями, такие как болезни Альцгеймера и Паркинсона, диабет второго типа, прионные заболевания и т.п. Исследования последних лет показали, что способность к фибриллообразованию имеют и многие никак не связанные с заболеваниями белки и пептиды независимо от их функции. При этом структура амилоидных фибрилл, полученных на основе различных белков или на основе одного и того же белка при различных условиях фибриллогенеза, может существенно различаться.

Циклическая АМФ, которая является вторичным посредником в действии таких гормонов как глюкагон, адреналин, гистамин, соматостатин, кортикотропин, дофамин, серотонин, меноцитстимулирующий гормон и многие другие, является одним из универсальных регуляторов биохимических процессов в живых клетках. Она играет главную роль в стимулировании фосфорилирования белков рибосом, что, в свою очередь, влияет на характер и количество синтезируемых белков в клетке. Кроме того, повышенная концентрация циклической АМФ в клетке стимулирует распад резервных молекул, усиливает секрецию соляной кислоты в

желудке, снижает агрегацию тромбоцитов и способствует открытию анионных каналов.

Диаденозинтетрафосфат (Ar_4A) широко распространенное многофункциональное соединение в организме, которое имеет большой потенциал как фармакологический агент для создания новых лекарств. Являясь динуклеотидом, принадлежащим к семейству динуклеозидполифосфатов, Ar_4A состоит из двух остатков аденозина, соединенных фосфоэфирным мостиком из 2–6 остатков фосфорной кислоты. Это соединение встречается как у прокариот, так и эукариот. Молекулы Ar_4A образуются в клетках в ответ на повреждающее действие различных веществ, таких как оксиданты или факторы теплового шока. Известно, что при различных стрессовых ситуациях в организме происходит выброс диаденозин-5',5'''-P1,P4-тетрафосфата, повышающего устойчивость белковых молекул к инактивации и деградации. В целом, Ar_4A принимает участие в процессах защиты функционального состояния целого организма, отдельных его органов, структур и макромолекул

Цель исследования - изучить процесс агрегации молекулы инсулина под действием на него цАМФ и Ar_4A .

Материалы и методы исследования.

Объектом исследования является субстанция инсулина человеческого рекомбинантного (Novo-Nordick). Инсулин готовили в физиологическом растворе в концентрации 2 мг на 1 мл трис-HCl буферного раствора, pH = 7.4.

В качестве веществ, ингибирующих фибриллообразование, использовали цАМФ в концентрациях 10^{-4} , 10^{-5} , 10^{-6} , 10^{-7} и 10^{-8} М и Ar_4A в концентрациях 10^{-4} , 10^{-5} , 10^{-6} , 10^{-7} и 10^{-8} М.

Для выявления образовавшихся фибрилл использовали зонд ThT. Тиофлавин Т является флуоресцентным зондом, специфическим для амилоидных фибрилл. При взаимодействии красителя с фибриллами его квантовый выход возрастает в тысячи раз, при этом он не связывается с белками в нативном состоянии.

В микропробирку вносили 1 мл инсулина и 10 мкл цАМФ и Ar_4A и подвергали инкубации при 37°C и механическому воздействию. Фибриллы инсулина были получены путем инкубирования в течении 24 часов. Изменение интенсивности флуоресценции тиофлавина проводили на флуориметре RF-5301 PC («Shimadzu», Япония) при 481 нм. Длина волны возбуждения – 440 нм. Для измерения флуоресценции в кварцевую кювету вносили 1 мл буфера, 1 мл дистиллированной воды, 10 мкл пробы и 10 мкл тиофлавина. Измерения проводились через 8, 10 и 24 часа инкубации.

Результаты и их обсуждение. Интенсивность флуоресценции тиофлавина в пробе с инсулином составляет 168,491 относительных единиц (отн. ед.), после инкубирования в течении суток и при температуре 37°C.

Интенсивность флуоресценции тиофлавина в контроле и при добавлении цАМФ в концентрации 10^{-6} М составляет 3,082 отн.ед., а при концентрации 10^{-7} М составляет 176,363 после инкубирования в течение суток и при температуре 37°C . Интенсивность флуоресценции тиофлавина в контроле и при добавлении Ar_4A в концентрации 10^{-6} М составляет 15,042 отн. ед., а при концентрации 10^{-8} М составляет 423,429 отн.ед. после инкубирования в течение суток и при температуре

Выводы. В ходе проведенного исследования было выявлено, что цАМФ и Ar_4A в концентрации 10^{-6} М эффективнее вызывали снижение интенсивности флуоресценции тиофлавина в сравнении с контролем;

Уменьшение интенсивности флуоресценции показывает то, что количество образовавшихся фибрилл снизилось. Это значит, что процесс фибриллообразования был снижен; сохранилось большее количество функционально-активных молекул инсулина.

ПОТАПОВ М.А., ПОТАПОВ А.Ю., ШИХАЛИЕВ Х.С.

СИНТЕЗ ПОТЕНЦИАЛЬНО БИОЛОГИЧЕСКИ АКТИВНЫХ 6-(1-АЦЕТИЛ-1,2,3,4-ТЕТРАГИДРО-2,2,4,7-ТЕТРАМЕТИЛХИНОЛИН-6-ИЛ)-2-R-ПИРИМИДИН-4(3Н)-ОНОВ

Федеральное государственное бюджетное образовательное учреждение высшего образования «Воронежский государственный университет», г

.Воронеж

e-mail: amidines@mail.ru

POTAPOV M.A., POTAPOV A.YU., SHIKHALIEV H.S.

SYNTHESIS OF POTENTIALLY BIOLOGICALLY ACTIVE 6-(1-ACETYL-1,2,3,4-TETRAHYDRO-2,2,4,7-TETRAMETHYLQUINOLIN-6-YL)-2-R-PYRIMIDIN-4(3H)-ONES

Federal State Budgetary Educational Institution of Higher Education

"Voronezh State University", Voronezh

e-mail: amidines@mail.ru

Аннотация: В данной работе рассматривается синтез новых гибридных молекул, содержащих в своей структуре фармакофорные группы с известной биологической активностью. Данный принцип реализуется для поиска новых лекарственных средств с повышенным биологическим действием. Осуществлен синтез новых 6-(1-ацетил-1,2,3,4-тетрагидро-2,2,4,7-тетраметилхинолин-6-ил)-2-R-пиримидин-4(3Н)-онон.

Ключевые слова: N-ацетилгидрохинолины, 1,6-диацетил-1,2,3,4-тетрагидро-2,2,4,7-тетраметилхинолин, метиловый эфир 3-(1-ацетил-

1,2,3,4-тетрагидро-2,2,4,7-тетрамethylхинолин-6-ил)-3-оксопропионовой кислоты, 6-(1-ацетил-1,2,3,4-тетрагидро-2,2,4,7-тетрамethylхинолин-6-ил)-2-R-пиримидин-4(3H)-он.

Abstract: In this article, we consider the synthesis of new hybrid molecules containing pharmacophore groups with known biological activity in their structure. This principle is implemented to search for new drugs with increased biological activity. The synthesis of new 6-(1-acetyl-1,2,3,4-tetrahydro-2,2,4,7-tetramethylquinolin-6-yl)-2-R-pyrimidin-4(3H)-ones was carried out.

Keywords: N-acetylhydroquinolines, 1,6-diacetyl-1,2,3,4-tetrahydro-2,2,4,7-tetramethylquinoline, 3-(1-acetyl-1,2,3,4-tetrahydro-2,2,4,7-tetramethylquinolin-6-yl)-3-oxopropionic acid methyl ester, 6-(1-acetyl-1,2,3,4-tetrahydro-2,2,4,7-tetramethylquinolin-6-yl) -2-R-pyrimidin-4(3H)-one.

Соединение в одной молекуле различных фармакофорных групп позволяет иногда добиться повышения биологической активности и снижения неблагоприятных эффектов новых соединений [1]. Повышенный интерес вызывают гетероциклические системы, связанный с гидрохинолином. Среди последних обнаружены вещества обладающие антибактериальной [2], противотуберкулезной [3] активностью, антитрипаносомным действием [4]. Помимо этого, пиримидиновые системы, связанные с ароматическими фрагментами, ингибируют серин-треониновые и тирозиновые киназы [5-7].

Основной работы являлась разработка метода синтеза потенциально биологически активных 6-(1-ацетил-1,2,3,4-тетрагидро-2,2,4,7-тетрамethylхинолин-6-ил)-2-R-пиримидин-4(3H)-онов. Синтез исходного 1,6-диацетил-1,2,3,4-тетрагидро-2,2,4,7-тетрамethylхинолина **1** был осуществлен по известной методике [8]. Дальнейшее взаимодействие последнего с диметилкарбонатом в толуоле в присутствии гидроксида натрия привело к образованию 3-(1-ацетил-1,2,3,4-тетрагидро-2,2,4,7-тетрамethylхинолин-6-ил)-3-оксопропионовой кислоты **2**. Для получения пиримидин-4-он-тетрагидрохинолиновой системы сложный эфир **2** вводили в реакцию с различными арилгуанидинами (см. рисунок).

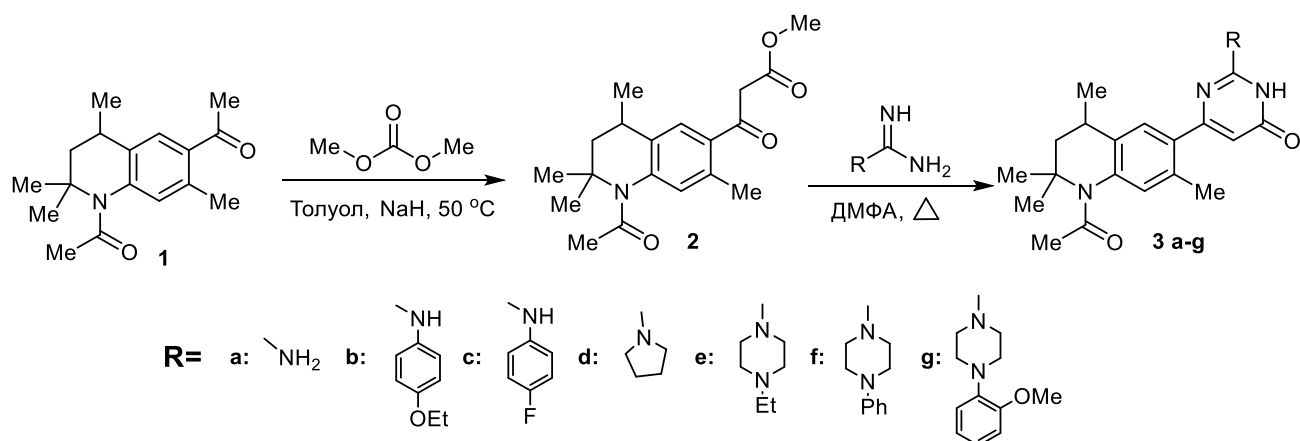


Рисунок 1 – Схема синтеза 6-(1-ацетил-1,2,3,4-тетрагидро-2,2,4,7-тетраметилхинолин-6-ил)-2-R-пиримидин-4(3H)-онов

Строение полученных соединений подтверждено методами ВЭЖХ/МС и ЯМР ^1H спектроскопии.

Работа выполнена при поддержке Министерства науки и высшего образования РФ в рамках государственного задания ВУЗам в сфере научной деятельности на 2023-2025 годы, проект № FZGU-2023-0009.

Список литературы

1. Meunier B. Hybrid Molecules with a Dual Mode of Action: Dream or Reality? [Текст] / Meunier B. // *Acc. Chem. Res.* . — 2008. — Vol. 41. — N 1. — P. 69-77.
2. Brown C.W., Liu S., Klucik J., Berlin K.D., Brennan P.J., Kaur D., Benbrook D.M. Novel heteroarotinooids as potential antagonists of *Mycobacterium bovis* BCG [Текст] / Brown C.W., Liu S., Klucik J., Berlin K.D., Brennan P.J., Kaur D., Benbrook D.M. // *J. Med. Chem.*. — 2004. — Vol. 47. — N 4. — P. 1008-1017.
3. Иванов Ю.А., Литвинов В.И., Макарова М.В., Осинин В.В., Перевезенцев В.М., Рыжов А.М., Фролов А.Ю. Пат. 2372916. 2009. РФ.
4. Fotie J., Kaiser M., Delfin D.A., Manley J., Reid C.S., Paris J.-M., Wenzler T., Maes L., Mahasenan K.V., Li C., Werbovetz K.A. Antitrypanosomal activity of 1,2-dihydroquinolin-6-ols and their ester derivatives [Текст] / Fotie J., Kaiser M., Delfin D.A., Manley J., Reid C.S., Paris J.-M., Wenzler T., Maes L., Mahasenan K.V., Li C., Werbovetz K.A. // *J. Med. Chem.*. — 2010. — Vol. 53. — N 3. — P. 966-982.
5. Cui J.J. A New Challenging and Promising Era of Tyrosine Kinase Inhibitors [Текст] / Cui J.J. // *ASC Med. Chem. Lett.* . — 2014. — Vol. 5. — N 4. — P. 272-274.
6. Hu Y., Furtmann N., Bajorath J. Current Compound Coverage of the Kinome [Текст] / Hu Y., Furtmann N., Bajorath J. // *J. Med. Chem.* . — 2015. — Vol. 58. — P. 30-40.

7. Hu Y., Vajorath J. Exploring the Scaffold Universe of Kinase Inhibitors [Текст] / Hu Y., Vajorath J. // J. Med. Chem. — 2015. — Vol. 58. — P. 315-332.

8. А.Ю. Потапов, Х.С. Шихалиев, М.А. Потапов, Л.В. Сапронова, Ф.И. Зубков, Е.А. Кошелева Синтез и превращения 6-ацетил-1,2,3,4-тетрагидро-2,2,4,7-тетраметилхинолина [Текст] / А.Ю. Потапов, Х.С. Шихалиев, М.А. Потапов, Л.В. Сапронова, Ф.И. Зубков, Е.А. Кошелева // Журнал общей химии . — 2017. — Т. 87. — Вып. 7. — С. 1117-1122.

СУХАНОВА В.А., УСПЕНСКАЯ Е.В.
***IN SILICO* АНАЛИЗ БИОЛОГИЧЕСКОЙ АКТИВНОСТИ
ЛЕВОФЛОКСАЦИНА, МОДИФИЦИРОВАННОГО В РЕЗУЛЬТАТЕ
МЕХАНИЧЕСКОГО ВОЗДЕЙСТВИЯ**

*Российский Университет Дружбы Народов имени Патриса Лумумбы,
г. Москва
e-mail: vasuhanova@mail.ru*

SUKHANOVA V.A., USPENSKAYA E.V.
**IN SILICO ANALYSIS OF LEVOFLOXACIN MODIFIED BY
MECHANICAL ACTION**

*Peoples' Friendship University of Russia named after Patrice Lumumba,
Moscow
e-mail: vasuhanova@mail.ru*

Аннотация: В работе представлены результаты компьютерного прогнозирования спектра биологической активности образцов левофлоксацина после произведенного на порошок субстанции высокоинтенсивного механического воздействия. Представлена графическая интерпретация значений молекулярных QSAR-дескрипторов для скрининга структур с высокой вероятностью биологической активности.

Ключевые слова: левофлоксацин, *in silico* методы, индекс электропии, индекс Балабана, корреляция «структура-активность», механоактивация.

Abstract: This paper reports the spectrum of biological activity predicted using computer simulations for levofloxacin powder samples exposed to high-intensity mechanical force. A graphical interpretation of molecular QSAR descriptor values used for screening structures with a high probability of biological activity is also presented.

Keywords: levofloxacin, *in silico* methods, electropy index, Balaban index, structure-activity correlation, mechanoactivation.

Введение: для анализа свойств нового соединения исследователь стоит перед выбором между затратными по времени и ресурсам экспериментальными методами, с определенной частотой проводящихся вслепую, и подходами компьютерно-математического моделирования, которые в кратчайший срок позволяют охарактеризовать свойства вещества. Возможность вычислительного скрининга больших библиотек соединений, которые или обладают сходством с известными лекарственными молекулами, или комплементарностью в отношении структур-мишеней, доказала свою эффективность в определении наиболее терапевтически активных веществ с последующим экспериментальным подтверждением.

Механохимия и механоактивация изучают законы преобразования энергии ударного механизма (реже – света или тепла) в контролируемый механический отклик, пропорциональный приложенному напряжению [1]. Эффект воздействия, вызванный деформированием твердых тел, приводит к протеканию химических реакций, а именно в твердой фазе без растворения или плавления субстанций. Это позволяет отнести механохимию и механоактивацию к технологиям «мягкой» или «зеленой» химии. Применение подхода «зеленой химии» к субстанции левофлоксацина позволило получить продукт его деструкции для дальнейших исследований.

Основная задача QSAR/QSPR (quantative structure-activity relationship/quantative structure-property relationship) исследования заключается в присвоении структуре числа или набора чисел, которые должны хорошо коррелировать с активностью/свойством, измеренным экспериментально, а также дать некоторое физическое представление о поведении молекул [2]. Количественная корреляция структура-активность позволяет дифференцировать родственные соединения на основе топологических индексов, отражающих индивидуальные особенности молекул.

Представленный подход был успешно применен нами для оценки биологической активности полученной в ходе механической деструкции субстанции левофлоксацина.

Цель исследования заключается в применении компьютерно-математического моделирования для оценки биологической активности исходного и деструктивного левофлоксацина.

Материалы и методы исследования. Объектом исследования выступила субстанция левофлоксацина полугидрата ($Lvf \cdot Hh$; 99,9% China). Механическое воздействие производилось при помощи высокоскоростной лабораторной мельницы Stegler LM-250 со щеточным двигателем, скорость вращения 28 000 оборотов/мин, мощность 13 кВт.

В качестве *in silico* методов предсказания спектров активности исследуемых структур использовали продукты: программа ChemicPen [3], позволяющая графически изобразить исследуемые структуры и сохранить их в необходимом для дальнейшего исследования формате, PASS (Prediction

of Activity Spectra for Substances) Online [4], критерии Pa (probability "to be active") и Pi (probability "to be inactive") и ChemDescript [5]. Программа «ChemicDescript» позволяет определить потенциально возможную активностью по результатам расчета пяти топологических индексов: Винера (W), Руврэ (R), Балабана (J), обхода (Ip) и электропии (E). Индекс Балабана представляет собой численную характеристику графа, которая определяется как сумма квадратов расстояний между парами вершин графа, деленная на количество вершин в графе. Индекс электропии – это числовая характеристика молекулы, которая показывает ее электроположительность; вычисляется как сумма квадратов зарядов ядер атомов, деленная на квадрат числа атомов в молекуле минус один. Может быть использован для описания различных свойств молекул, таких как их реакционная способность, растворимость и взаимодействие с другими молекулами.

Результаты исследования и их обсуждение.

Поскольку за широту действия фторхинолонов отвечает природа действия заместителей, было интересно проследить, как модификация структуры с заменой или с удалением тех или иных заместителей повлияет на биологическую активность соединения. Подобные изменения в перспективе позволят повысить широту терапевтического действия, снизить токсичность и увеличить эффективность или репозиционировать лекарственно вещество. Современные технологии и методы открывают возможность изучить изменение свойств соединений *in silico*, исключая этическую проблематику и вопрос высокой стоимости экспериментальных методов.

На рисунке 1 представлены ИК-Фурье спектры исходного и механоактивированного образцов левофлоксацина.

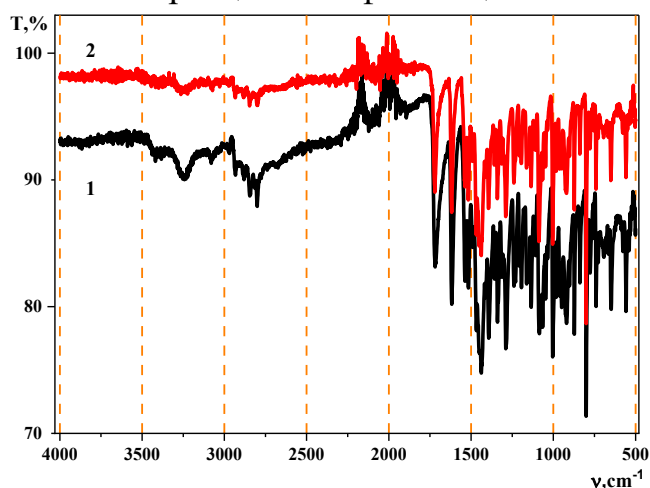


Рисунок 1. ИК-спектры образцов субстанции левофлоксацина.
1 – исходный; 2 – после произведенного механического воздействия

Рисунок 1 демонстрирует изменения в положении и интенсивности полос в области 3250 см^{-1} и 1720 см^{-1} , что указывает на декарбоксилирование с потерей структурой левофлоксацина группы $-\text{COOH}$ при С6. Полученное декарбоксилированное производное левофлоксацина выступило в качестве объекта исследования в сравнении с исходной молекулой.

Мощным инструментом компьютерного прогнозирования биологической активности химических соединений являются методы, основанные на Байесовской вероятности.

Значения индексов рассчитывались программой ChemicDescript (таблица 1).

Таблица 1. Молекулярные QSAR-декрипторы

Левофлоксацин исходный				
Винера (W)	Руврэ (R)	Балабан (J)	Обхода (Ip)	Электрoпии (E)
597,7	1193,6	2,0	3227,9	28,7
Левофлоксацин механоактивированный				
Винера (W)	Руврэ (R)	Балабан (J)	Обхода (Ip)	Электрoпии (E)
427,3	853,4	1,98	2478,9	22,5

С целью успешного поиска корреляционных зависимостей между прогнозируемыми биологическими свойствами и структурой исследуемых соединений нами были отобраны индексы Балабана (J) и Электрoпии (E).

Также нами были исследованы и прочие структуры модификаций левофлоксацина (без ядра пиперазина, дефторированная, циклическая структура с заместителем $-\text{CH}_3$, циклическая структура без заместителей) (рисунок 2). Графическая интерпретация полученных численных значений позволила отобразить различия в биологической активности в зависимости от строения соединения.

Как видно из представленных результатов, дефторированное и декарбоксилированное соединения близки по спектру активности и занимают соседние области. Эффект изменения биологической активности особенно заметен при удалении пиперазина из структуры, в случае каждого индекса, такая структура занимает отдельную область. Области существования эффектов для декарбоксилированного и дефторированного производных соседствуют с исходной структурой. В то время как соединения с удалением большинства заместителей занимают отдельную нижнюю область диаграммы.

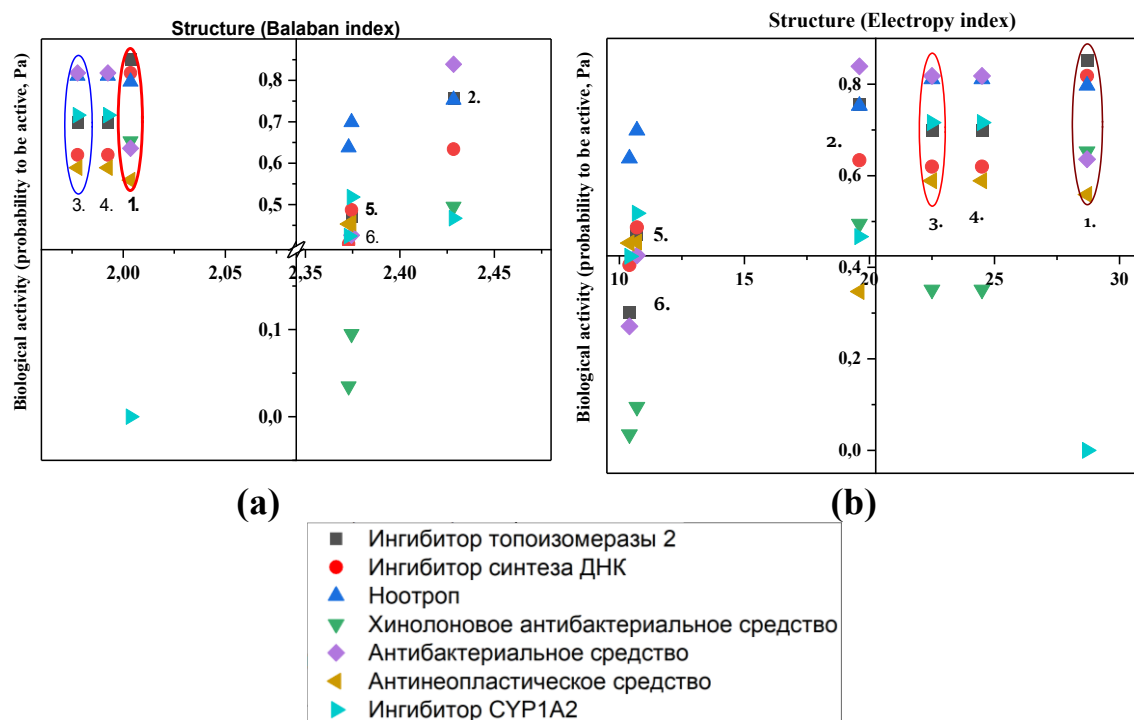


Рисунок 3. Диаграмма зависимости структура – биологическая активность (БА): (а) индекс Балабана; (б) – индекс Электропии; (на вставке - обозначение прогнозируемой БА).

1-исходная структура, 2-без ядра пиперазина, 3-без -COOH, 4-без фтора, 5-циклическая структура с заместителем -CH₃, 6-циклическая структура без заместителей

Выводы. Применен комплекс компьютерных программных продуктов для моделирования и оценки биологической активности исходного и деструктивного левофлоксацина. Полученные данные позволили разделить структуры по спектру прогнозируемой БА на основе численного значения индексов Балабана и электропии в зависимости от коэффициента Pa/Pi, прогнозирующие профили БА для левофлоксацина и его производного. Таким образом, *in silico* анализ выступает в роли выгодного дополнения для оценки биологической активности соединений, находящихся на начальной стадии разработки лекарственных средств.

Список литературы

1. Friščić T., Mottillo C., Titi H. M. Mechanochemistry for synthesis // *Angewandte Chemie*. – 2020. – Т. 132. – №. 3. – С. 1030-1041.
2. Katritzky A. R., Gordeeva E. V. Traditional topological indexes vs electronic, geometrical, and combined molecular descriptors in QSAR/QSPR research // *Journal of chemical information and computer sciences*. – 1993. – Т. 33. – №. 6. – С. 835-857.
3. Попов П. И. Chemic Pen // Свидетельство об официальной регистрации программ для ЭВМ. – 2005. – №. 2005612073.

4. Filimonov D. A. et al. Prediction of the biological activity spectra of organic compounds using the PASS online web resource //Chemistry of Heterocyclic Compounds. – 2014. – Т. 50. – С. 444-457.

5. Попов П. И. Chemic Descript //Свидетельство об официальной регистрации программы для ЭВМ. – 2003. – №. 2003612305.

СИВЕЦ Г.Г., СИВЕЦ А.В.

**СИНТЕЗ ПРОТИВООПУХОЛЕВОГО ФТОРНУКЛЕОЗИДА ИЗ
ПРОИЗВОДНЫХ D-РИБОЗЫ**

*Институт биоорганической химии, Национальная академия наук,
220084*

г. Минск, Акад. Купревича 5/2, Республика Беларусь

e-mail: sivets@iboch.by

SIVETS G.G., SIVETS A.V.

**SYNTHESIS OF THE ANTICANCER FLUORONUCLEOSIDE
FROM D-RIBOSE DERIVATIVES**

Institute of Bioorganic Chemistry, National Academy of Sciences, 220084

Minsk, Acad. Kuprevicha 5/2, Republic of Belarus

e-mail:sivets@iboch.by

Аннотация: Синтетические подходы к клофарабину - пуриновому фторнуклеозиду, используемому для лечения лейкемии, изучены из D-рибозы и короткий пяти-стадийный путь исследован через получение ди-O-пивалоильных производных метил D-рибозида

Ключевые слова: производные D-рибозы, ацилирование, гликозилирование, фторирование, пуриновые нуклеозиды

Abstract: Synthetic approaches to clofarabine, the purine fluoronucleoside used to the treatment of leukemia, were studied from D-ribose and a short five-step route explored through preparation of di-O-pivaloyl derivatives of methyl D-ribofuranoside

Keywords: D-ribose derivatives, acylation, glycosylation, fluorination, purine nucleosides

Среди известных пуриновых нуклеозидов с противоопухолевой активностью флударабин, кладрибин и пентостатин нашли применение в качестве лекарственных препаратов для терапии гематологических заболеваний [1,2]. Клофарабин (2-хлор-2'-фтор-2'-дезоксид-арабинофуранозил аденин, рис.1) эффективно используется для лечения лимфобластной лейкемии у детей [3]. Многовекторный механизм цитотоксического действия клофарабина включает ингибирование синтеза

ДНК и РНК, ДНК полимераз, рибонуклеотидредуктазы и прямую индукцию клеточного апоптоза. [4]. Кроме высокой цитотоксичности, пуриновый фторнуклеозид также проявляет *in vitro* активность в отношении ВИЧ-1 и его механизм включает два пути ингибирования репликации вируса. Различные химические и химико-энзиматические подходы были детально изучены для получения противоопухолевых нуклеозидов. Синтез пуриновых С2'-β-фтор нуклеозидов, в том числе и клофарабина, разработан на основе производных 2-дезоксидеозидов, ациклических С2-фторированных дитиоацетальных предшественников и селективно блокированных D-рибонуклеозидов [4].

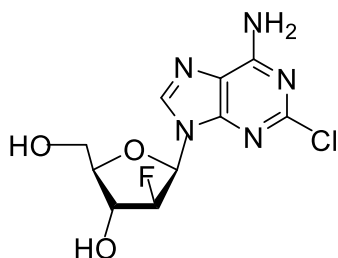


Рис.1 – 2-Хлор-9-(2'-фтор-2'-дезоксидеозид) аденин принадлежит ко второму поколению PNAs и применяется в качестве химиотерапевтического препарата для лечения лейкемии и лимфомы

Цель исследования: изучение новых подходов для получения пуриновых 2'-β-фтор-арабинонуклеозидов и фармсустанции противоопухолевого препарата клофарабина исходя из D-рибозы с использованием нуклеофильного фторирующего агента для введения атома фтора в ацилированный рибонуклеозид 2,6-дихлорпурина.

Материалы и методы. В результате исследования получены производные сахаров и нуклеозидов с использованием методов тонкого органического синтеза, колоночной и тонкослойной хроматографии, для доказательства структуры синтезированных соединений использованы ЯМР спектроскопия и масс-спектрометрия.

Результаты исследования и их обсуждения. В продолжение наших исследований оптимальных подходов к получению нуклеозидов 9 через перацильные производные D-рибофуранозы, например 5 [5], короткий путь синтеза клофарабина тестирован из ди-О-пивалоил производных метил D-рибозида 2 и 3 (Схема 1). Новый метод получения 3',5'-ди-О-пивалоил рибонуклеозидов 6 в качестве ключевого интермедиата был изучен из ди-О-ацильных производных метил D-рибозида полученных региоселективным ацилированием метил β-D-рибофуранозида пивалоил хлоридом в пиридине в присутствии N,N-диизопропилэтиламина. Обработка рибофуранозида 1 пивалоил хлоридом (2.2 эквив.) давала смесь 3,5-ди-О-пивалоил рибофуранозида 2 и изомерного 2,5-ди-О- пивалоильного производного 3 (соотношение 2/3 ~ 4:1) согласно ¹H ЯМР данным реакционной смеси после

обработки. Изомерные 3,5 и 2,5-О-ацильные производные D-рибофуранозиды (суммарный 75% выход) были выделены колоночной хроматографией на силикагеле. Структуры новых ди-О-ацелированных метил D-рибозидов подтверждены ЯМР спектральными данными и HRMS-спектрометрией. Установлено, что изомеризация 3,5- и 2,5-О-ацильных производных β-D-рибозиды протекает в различных условиях вероятно через образование циклического интермедиата 4. Реакции гликозилирования силилированного пурина с индивидуальным 3,5-дипивалоилатом 2 или смесью селективно блокированных рибофуранозидов 2 и 3 изучены в присутствии TMSOTf. 3',5'-Ди-О-пивалоил β-рибозид 2,6-дихлорпурина 6 вместе с 2',5'-ди-О-ацелированным изомерным β-нуклеозидом 7 [4] получены с 73% выходом после хроматографии на силикагеле. На следующей стадии введение C2'-β-атома фтора в селективно блокированный рибонуклеозид 6 проводили через нуклеофильное замещение активированной C2'-α-гидроксильной группы 3',5'-ди-О-пивалоил рибонуклеозида, содержащего объемные направляющие группы, с использованием доступного фторирующего агента - DAST. Целевой нуклеозид получали из промежуточного фторнуклеозида 8 путем аминирования и последующего деацелирования.

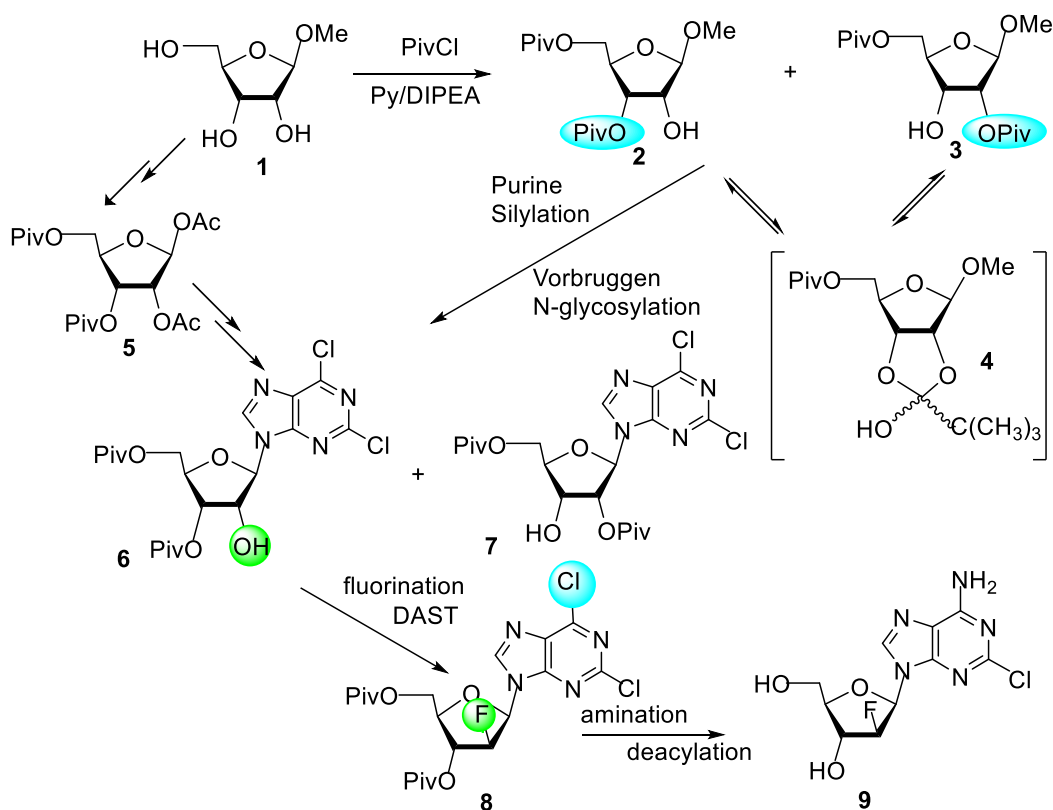


Схема 1 – Синтез клофарабина через регио- и стереоселективные трансформации сахаров и нуклеозидов

Выводы. Синтетические пути к клофарабину изучены из метил D-рибозида. Целевой пуриновый 2'-β-фторарабинонуклеозид получен в пять стадий с 13-15% выходом через региоселективное ацилирование метил рибозида с образованием ди-О-пивалоильных производных и стереоселективное N-гликозилирование силильным методом 2,6-дихлорпурина селективно ацилированными метил рибофуранозидами в мягких реакционных условиях.

Список литературы

1. Parker, W.B. Enzymology of purine and pyrimidine antimetabolites used in the treatment of cancer / W.B. Parker // Chem. Rev. – 2009. – Vol. 109. – P. 2880-2893.
2. Robak, T. Purine nucleoside analogs as immunosuppressive and antineoplastic agents: mechanism of action and clinic activity / T. Robak [et al.] // Curr. Med. Chem. – 2006. – Vol.13. – P.3165-3189.
3. Jeha, S. Clofarabine for the treatment of acute lymphoblastic leukemia / S. Jeha, H. Kantarjan // Expert Rev. Anticancer Ther. – 2007. – Vol. 7. – P.113-118.
4. Shelton, J.J. Metabolism, Biochemical Actions, and Chemical Synthesis of Anticancer Nucleosides, Nucleotides, and Base Analogs / J.J. Shelton [et al.] // Chem. Rev. – 2016. – Vol. 116. – P. 14379-14455.
5. Sivets, G.G., Sivets, A.V. Syntheses of Clofarabine and Related C2'-β-fluorinated Nucleoside Analogues / G.G. Sivets, A.V. Sivets // J. New Develop.in Chem. – 2022. – N3. – P. 14-28.

СЕВАСТЬЯНОВА А.В. ЖДАНОВА А.В.
**ОПРЕДЕЛЕНИЕ АНТИОКСИДАНТНЫХ СВОЙСТВ ГУМИНОВЫХ
ВЕЩЕСТВ ПЕЛОИДОВ ХЕМИЛЮМИНЕСЦЕНТНЫМ МЕТОДОМ**
Самарский государственный медицинский университет, г. Самара
e-mail: sevastayha@mail.ru

ZHDANOVA A.V., SEVASTYANOVA A.V.
**DETERMINATION OF ANTIOXIDANT PROPERTIES OF HUMIC
SUBSTANCES OF PELOIDS BY CHEMILUMINESCENT METHOD**
Samara State Medical University, Samara
e-mail: sevastayha@mail.ru

Аннотация: Гуминовые кислоты пелоидов обладают достаточной широкой биологической активностью, обусловленной присутствием в их составе разнообразных функциональных групп, что позволяет предположить о наличии антиоксидантных свойств, которые можно определить хемилюминесцентным методом.

Ключевые слова: биологическая активность, антиоксидантная активность, гуминовые вещества.

Abstract: Humic acids of peloids have a sufficiently broad biological activity due to the presence of various functional groups in their composition, which suggests the presence of antioxidant properties that can be determined by the chemiluminescent method.

Keywords: biological activity, antioxidant activity, humic substances.

Цель исследования. Определение антиоксидантных свойств гуминовых веществ пелоидов в условиях *in vitro* хемилюминесцентным методом.

Материалы и методы исследования. Объектами исследования послужили гуминовые вещества пелоидов, выделенные из низкоминерализованной иловой сульфидной грязи. Антиоксидантную активность определяли хемилюминесцентным методом, в качестве инициатора хемилюминесценции использовали ионы железа (II). Взаимодействие Fe^{2+} с кислородом в среде инкубации ведет к появлению активных форм кислорода (реакция Гебера-Вайса).

Результаты исследования и их обсуждение. Количественными характеристика хемилюминесценции, являются амплитуда быстрой вспышки, спонтанная светимость и светосумма, в полученные в модельных системах с участием индуцированных радикалов и гуминовых веществ, приведены в таблице 1. Амплитуда вспышки и спонтанное свечение прямо пропорциональны скорости свободнорадикального окисления и совпадают с моментом, когда в среде инкубации накапливаются гидропероксидные и супероксидные радикалы.

Таблица 1. Показатели Fe²⁺-индуцированной хемилюминесции фракций гуминовых веществ пелоидов

Показатели ХЛ	Концентрация, % (масс.)	ФК	ГМК	ГК	ГсК
Светосумма, у.е.	0,01	69,59±0,01	17,56±0,06	19,54±0,01	27,32±0,14
	0,10	48,36±0,05	15,46±0,01	18,82±0,24	24,60±0,31
	1,00	34,36±0,14	10,41±0,01	18,65±0,14	24,47±0,02
спонтанная светимость, у.е.	0,01	6,92±0,01	1,30±0,01	1,42±0,01	2,06±0,01
	0,10	2,69±0,04	1,21±0,01	1,41±0,01	1,98±0,02
	1,00	2,56±0,04	1,09±0,01	1,38±0,02	1,46±0,01
вспышка, у.е.	0,01	19,68±0,17	3,05±0,01	3,40±0,03	4,56±0,03
	0,10	6,56±0,01	3,04±0,02	3,30±0,01	3,59±0,03
	1,00	5,80±0,01	2,45±0,01	3,10±0,02	3,42±0,01
ОАА, %	0,01	17,62±0,21	57,28±0,14	53,99±0,16	27,79±0,21
	0,10	29,74±0,29	60,51±0,79	59,46±0,13	30,54±0,01
	1,00	35,85±0,31	69,08±0,17	61,02±0,17	42,34±0,02

Амплитуда быстрой вспышки зависит от скорости окисления ионов двухвалентного железа и образования в среде активных форм кислорода. Интегральным параметром хемилюминесценции является светосумма свечения, характеризующая способность системы к развитию цепных процессов окисления. По изменению светосуммы можно судить о про- и антиоксидантных свойствах гуминовых веществ пелоидов в условиях *in vitro* при добавлении их в модельную систему.

Выяснено, что амплитуда быстрой вспышки, спонтанная светимость и светосумма хемилюминесценции процессов свободнорадикального окисления достоверно уменьшались в присутствии гуминовых веществ пелоидов (табл.1). Наиболее выраженной способностью гасить свободнорадикальные процессы обладают гиматомелановые кислоты, значения светосуммы которых в 3-4 раза меньше, чем в фульвовых кислотах и приблизительно в 1,5 раза меньше, чем в гумусовых кислотах. Светосумма в гуминовых кислотах незначительно превышает значения светосуммы в гиматомелановых и находятся в интервале значений 1,2-2,1 у.е. Показатели светимости и амплитуда вспышки для гуминовых, гиматомелановых и гумусовых кислот пелоидов различаются незначительно, хотя для гиматомелановых кислот значения несколько ниже (табл.1). Существенно большее значение указанные характеристики имеют в фульвовых кислотах: амплитуда быстрой вспышки возросла при концентрации 0,01% в 6,5 раз, а при концентрации 1% - в 2,5 раза по сравнению с гиматомелановыми, что указывает на замедление свободнорадикальных реакций в системе.

Следует отметить, что влияние гуминовых веществ пелоидов на процесс радикального окисления в модельной системе неоднозначно зависит от концентрации соединений. При увеличении концентраций кислот в 100 раз светосумма фульвовых и гиматомелановых кислот уменьшается в 2 раза, в то время как светосумма гуминовых и гумусовых кислот практически не зависит от концентрации кислот. Значения величин спонтанной светимости и вспышки мало зависят от концентрации гиматомелановых, гуминовых и гумусовых кислот пелоидов, и уменьшается в 1,1-1,4 раза при увеличении концентраций соединений. Фульвовые кислоты характеризуются уменьшением амплитуды вспышки и светимости приблизительно в 3 раза при увеличении их концентрации в 100 раз (табл.1). Минимальное значение антиоксидантной активности по данным хемиллюминесценции имеют фульвовые кислоты пелоидов (36% от гиматомелановых кислот). Общая антиоксидантная активность, определенная по способности соединений тормозить реакции свободно радикального окисления ионов железа, повышается в ряду фульвовых, гумусовых, гуминовых, гиматомелановых кислот пелоидов.

Выводы.

Из значения параметров хемиллюминесценции и общей антиоксидантной активности следует прямая зависимость изменения активности от концентрации: с увеличением концентрации соединений наблюдается усиление процессов ингибирования. Таким образом гуминовые вещества пелоидов обладают антиоксидантной активностью, которая возрастает в ряду ФК–ГсК–ГК–ГМК.

Список литературы

1. Жданова А.В. Изучение структурных компонентов и физико-химических свойств гуминовых веществ низкоминерализованных иловых сульфидных грязей как источника антиоксидантных лекарственных средств : дис. ... канд. фарм наук: Самара, 2011. 134 с.
2. Владимиров, Ю.А. Свободные радикалы и антиоксиданты [Текст] / Ю.А. Владимиров // Вестн. РАМН. - 1998. - № 7. - С. 43-50.

ХАРЛАМОВА Т.В.
СИНТЕЗ И СТРУКТУРНЫЕ ХАРАКТЕРИСТИКИ
ФТОРБЕНЗОАТОВ ПРОИЗВОДНОГО АЛИЗАРИНА
СОДЕРЖАЩЕГО БРОМФЕНАЦИЛЬНЫЙ ЗАМЕСТИТЕЛЬ

*АО «Институт химических наук имени А.Б. Бектурова»,
г. Алматы, Республика Казахстан
e-mail: kharlamovatv@mail.ru*

KHARLAMOVA T.V.
SYNTHESIS AND STRUCTURAL CHARACTERISTICS
OF FLUOROBENZOATES OF THE ALIZARIN DERIVATIVE
CONTAINING A BROMPHENACYL SUBSTITUTE

*JSC Institute of Chemical Sciences named after A.B. Bekturov,
Almaty, Republic of Kazakhstan
e-mail: kharlamovatv@mail.ru*

Аннотация: На основе полифункционального производного 1,2-дигидрокси-9,10-антрахинона (ализарина) содержащего бромфенацильный фрагмент получены продукты ацилирования хлорангидами фторсодержащих производных бензойной кислоты и проведено исследование их структурных характеристик.

Ключевые слова: ализарин, хлорангидриды, ацилирование, фторбензоаты

Abstract: On the basis of a polyfunctional derivative of 1,2-dihydroxy-9,10-anthraquinone (alizarin) containing a bromphenacyl fragment, acylation products of fluorine-containing benzoic acid derivatives with acid chlorides were obtained and their structural characteristics were studied.

Keywords: alizarin, acid chlorides, acylation, fluorobenzoates

Цель исследования. Целью исследования является синтез и установление структуры фторбензоатов на основе производного 1,2-дигидрокси-9,10-антрахинона (ализарина) содержащего бромфенацильный фрагмент.

Материалы и методы исследования. ИК-спектры сняты на спектрометре «Nicolet 5700» в таблетках KBr. Спектры ЯМР зарегистрированы на спектрометре JNN-ECA 400 компании «Jeol» (Япония) при комнатной температуре с рабочей частотой спектрометра 400 и 100 МГц на ядрах ^1H и ^{13}C соответственно. Контроль за ходом реакций осуществляли методом тонкослойной хроматографии на пластинках «Silufol UV-254» просматривая хроматограммы в УФ-свете, а также используя проявитель - пары аммиака. Выделение, разделение и очистка продуктов реакции проводилась методом колоночной

хроматографии на силикагеле марки «Silica Gel 60» (Merck, Germany) и силикагеле марки L 160/250.

Результаты исследования и их обсуждение.

Антрахиноновая система присутствует во многих биологически активных хинонах, которые широко встречаются в природе [1], а также в новых химически модифицированных и синтетических соединениях. Эти производные проявляют ряд важных фармакологических свойств, а для ряда соединений выявлена многофункциональная биоактивность [2-4]. Одним из известных производных антрахинона является 1,2-дигидроксиантрахинон (ализарин), которое с древних времен использовалось как краситель и встречается в растениях семейства Rubia [5,6]. Современные исследования показали, что ализарин и его производные представляют основной скелет фармакологически активных природных и синтетических веществ обладающих противоопухолевой [7-9], антиоксидантной [10,11], антимикробной [12] и другими видами активности.

В качестве исходного соединения выступало бромфенацильное производное ализарина. Ввиду его полифункциональности, данное вещество представляет удобный исходный синтон для вторичной модификации его структуры с использованием реакционной способности гидроксильной группы, карбонильных групп и ароматической системы. Перспективным направлением получения биологически активных хинонов является введения в его молекулу известного фармакофорного фрагмента. Известно, что фторсодержащие заместители выступают в качестве структурных фрагментов в различных биологически активных соединениях [13]. Для синтеза сложных эфиров на основе бромфенацильного производного ализарина и хлорангидридов о-, м- и п-фторбензойной кислоты реакции проводили в хлороформе или пиридине при непродолжительном нагревании реакционной смеси. Наилучшими условиями реакции является использование пиридина в качестве растворителя, применение избытка хлорангидрида при нагревании реакционной смеси до 50-60 °С, с хроматографическим контролем за ходом реакции с помощью ТСХ. Полученные производные представляют собой кристаллические вещества желтого цвета, не растворимые в воде, гексане, трудно растворимые в диоксане, ДМСО.

Введение фторбензоильного фрагмента в структуру 2-О-(4'-бромфенацил)-1,4-дигидрокси-9,10-антрахинона подтверждается в ИК-спектрах наличием дополнительной полосы поглощения валентных колебаний карбонильной группы введенного заместителя и в спектрах идентифицируется четыре полосы валентных колебаний, соответствующих карбонильным группам. В спектрах ПМР отсутствует сигнал протона α-гидроксильной группы, а вместо него наблюдаются ароматические протоны введенного заместителя.

Выводы. Изучены химические свойства бромфенацильного производного ализарина на примере реакции ацилирования различными

фторсодержащими ангидридами бензойной кислоты и синтезированы соответствующие фторбензоаты по α -гидроксильной группе антрахиноновой системы. С использованием спектральных методов исследования установлено строение полученных соединений.

Список литературы

1. R.H. Thomson Naturally Occurring Quinones III, Chapman and Hall, New York. 1987, pp. 345–526.
2. G. Diaz-Muñoz, I.L. Miranda, S.K. Sartori, D.C. de Rezende, M.A.N. Diaz Anthraquinones: An Overview. In the book: Studies in Natural Products Chemistry. 2018, p. 313–338. DOI: 10.1016/b978-0-444-64056-7.00011-8
3. R.B. Semwal, D.K. Semwal, S. Combrinck, A. Viljoen, Phytochemistry, 2021, 190, 112854. DOI: 10.1016/j.phytochem.2021.112854
4. G.M. Li, J.R. Chen, H.Q. Zhang, X.Y. Cao, C. Sun, F. Peng, Y.P. Yin, Z. Lin, L. Yu, Y. Chen, Y.L. Tang., X.F. Xie, C. Peng, Evid Based Complement Alternat. Med., 2021, 4582412. DOI: 10.1155/2021/4582412
5. R. Singh, Geetanjali, Chauhan S.M.S. Chauhan, Chem. Biodiversity, 2004, 1, 1241. DOI: 10.1002/cbdv.200490088
6. K. Xu, P. Wang, L. Wang, C. Liu, S. Xu, Y. Cheng, Y. Wang, Q. Li, H. Lei Quinone derivatives from the genus Rubia and their bioactivities. Chem Biodiversity, 2014, 11(3), 341. DOI: 10.1002/cbdv.201200173.
7. H.C. Chang, P. Lee, K.H. Shingu, T. Hirayama, T. Hall, I.H. Huang, J. Nat. Prod., 1981, 45, 206. DOI: 10.1021/np50020a017
8. M.-Y. Ye, G.-Y. Yao, Y.-M. Pan, Z.-X. Liao, Y. Zhang, H.-S. Wang, Eur. J. Med. Chem., 2014, 83, 116. DOI: 10.1016/j.ejmech.
8. Y. Guiyang, D. Weilong, W. Heng-shan, M. Ye, R. Huang, Y. Pan, Z.-X. Liao, Med. Chem. Res., 2014, 23, 5031. DOI: 10.1007/s0044-014-1062-5.
9. S. Huang, S. Yeh, C. Hong, J. Natur. Prod., 1995, 58, 1365. DOI: 10.1021/np50123a005
10. G.-C. Yen, P.-D. Duh, D.-Y. Chuang, Food Chem., 2000, 70, 437. DOI: 10.1016/S0308-8146(00)00108-4
11. R.K. Manoharan, J.-H. Lee, Y.-G. Kim, J. Lee, J. Front Cell Infect Microbiol., 2017, 7, 447. DOI: 10.3389/fcimb.2017.00447.
12. J.-H. Lee, Y.-G. Kim, S.Y. Ryu, J. Lee, Sci. Rep., 2016, 6, 19267. DOI: 10.1038/srep19267
13. B.E. Smar Fluorine substituent effects (on bioactivity), J. Fluor. Chem., 109, 3 (2001). DOI: 10.1016/S0022-1139(01)00375-X

Работа выполнена по программе ПЦФ КН Министерства образования и науки Республики Казахстан по теме: «Инновационные материалы полифункционального назначения на основе природного сырья и техногенных отходов» (2021-2023гг) (BR10965255).

ХАРЛАМОВА Т.В, ГАБДРАКИПОВ А.В.
**ОЦЕНКА ГЕОМЕТРИЧЕСКИХ И ЭНЕРГЕТИЧЕСКИХ
ПАРАМЕТРОВ ПРОИЗВОДНОГО АЛИЗАРИНА СОДЕРЖАЩЕГО
БРОМФЕНАЦИЛЬНЫЙ ФРАГМЕНТ**

*АО «Институт химических наук имени А.Б. Бектурова»,
г. Алматы, Республика Казахстан
e-mail: kharlamovatv@mail.ru*

KHARLAMOVA T.V., GABDRAKIROV A.V.
**EVALUATION OF GEOMETRIC AND ENERGY PARAMETERS OF
ALIZARIN DERIVATIVE CONTAINING
BROMPHENACIL FRAGMENT**

*JSC Institute of Chemical Sciences named after A.B. Bekturov,
Almaty, Republic of Kazakhstan
e-mail: kharlamovatv@mail.ru*

Аннотация: В настоящее время квантово-химические расчеты являются удобным инструментом в исследовании органических молекул. В работе проведен расчет геометрических параметров и энергетических характеристик конформеров бромфенацильного производного ализарина.

Ключевые слова: антрахиноны, производное ализарина, квантово-химическое исследование

Abstract: Quantum chemical calculations are a convenient tool in the study of organic molecules. In the work, the calculation of the geometric parameters and energy characteristics of the conformers of the bromphenacyl derivative of alizarin was carried out.

Keywords: anthraquinones, alizarin derivative, quantum chemical study

Цель исследования. Целью исследования является оценка геометрических и энергетических параметров производного ализарина содержащего бромфенацильный фрагмент.

Материалы и методы исследования. Для расчетов применен полуэмпирический метод AM1. Использование методов представляется возможным благодаря применению компьютерного моделирования молекул с использованием пакета программ «HyperChem».

Результаты исследования и их обсуждение. Квантово-химические расчеты, позволяющие предсказать геометрическое строение, энергию, заряды и другие свойства молекул являются важным методом химических исследований [1,2]. Настоящая работа является продолжением научных исследований по химической модификации производных 9,10-антрахинона и посвящена анализу структурных и энергетических характеристик, обладающему антибактериальной активностью производному ализарина

содержащему бромфенацильный фрагмент с применением метода AM1 [3]. Расчеты порядков и длин связей представлены на рисунке.

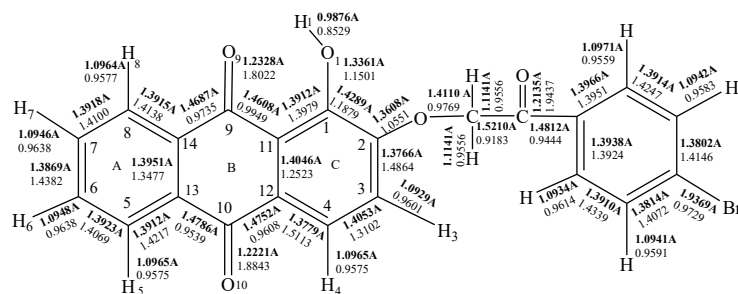


Рисунок - Значения порядков и длин связей

Расчеты порядков и длин связей показали, что введение заместителя в кольцо С молекулы ализарина приводит к незначительному изменению их величин. Так, длины связей колец А изменяются в пределах 0,0001-0,0002 Å, а кольца С – в пределах 0,0006-0,0043 Å, при этом отмечается, что введение заместителя оказывает наибольшее влияние на изменение длин связей между соседними к нему атомами по связи С1-С2 (Δ 0,0043 Å) и С2-С3 (Δ 0,0034 Å) по отношению к данным исходного соединения. Поскольку существует связь между длиной связи и степенью двойсвязности, можно сделать заключение и об изменении порядков связей с увеличением или уменьшением соответствующих межатомных расстояний. Поскольку вычисленные изменения малы, следовательно и незначительные отклонения удут наблюдаться и для порядков связей. Как известно, порядок π -связи связан с величиной заряда связи, то есть делокализацией электронов принадлежащим атомам. Из рассчитанных значений эффективных зарядов на атомах следует, что в исследуемых молекулах наблюдается наличие большого отрицательного заряда на атомах кислорода карбонильных групп $Q = -0,244$ (-0,413). Такое перераспределение приводит к тому, что в молекулах антрахинонов порядок связи в (С=О) оказывается самым высоким в молекуле и составляет 1,8022 и 1,8843 для С=О антрахиноновой системы и 1,9437 для бромфенацильного фрагмента. Расстояние между карбонильным и гидроксильным кислородами определяется жесткостью антрахиноидной структуры, а введение заместителя по β -гидроксильной группе приводит к некоторому увеличению расстояния О---О.

Производное ализарина содержащего бромфенацильный фрагмент может существовать в виде двух конформеров, которые отличаются поворотом гидроксильной группы в α -положении. Образование водородных связей играет существенную роль в химии производных антрахинона. Особенно это касается производных, содержащих в пери-положении к карбонильным группам гидроксигруппы. В таблице представлены основные рассчитанные энергетические характеристики молекулы полуэмпирическим методом MNDO: теплота образования (dH, ккал/моль),

полная электронная энергия (E_{el} , eV), энергия ядер-ядерного отталкивания (E_{core} , eV), полная энергия (E_{total} , eV), потенциал ионизации (PI, eV), энергии верхней занятой и нижней свободной молекулярных орбиталей ($E_{ВЗМО}$, $E_{НЗМО}$).

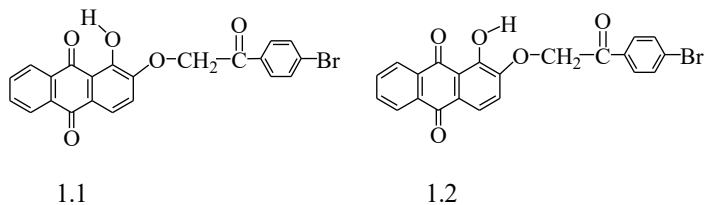


Таблица - Результаты расчета энергетических характеристик конформеров

№	ΔH , ккал/моль	E_{total} , eV	E_{el} , eV	E_{core} , eV	ВЗМО (PI), eV	НЗМО, eV	μ , D
1.1	-77,38	-4948,7398	-33548,5020	28599,762	9,17393	-1,5190	2,780
1.2	-76,47	-4948,7006	-33564,0550	28615,354	9,25014	-1,3370	3,633

Анализ энергетических параметров молекулы показал, что наиболее энергетически выгодной является структура производного с водородной связью в молекуле.

Выводы. Дана оценка геометрических и энергетических параметров бромфенацильного производного ализарина.

Список литературы

- 1 Степанов Н.Ф. Квантовая механика и квантовая химия. - М.: Мир, 2001. - 519 с.
- 2 Минкин В.И., Симкин Б.Я., Миняев Р.М. Квантовая химия органических соединений. Механизмы реакций. - М.: Химия, 1986. - 248 с.
- 3 Dewar M.J.S., Zoebisch E.G., Healy E., Stewart J.J.P. AM1: a new general purpose quantum mechanical molecule model //J. Am .Chem. Soc. - 1985. - Vol. 107, № 9. - P. 3902-3909.

Работа выполнена по программе ПЦФ КН Министерства образования и науки Республики Казахстан по теме: «Инновационные методы синтеза и технологии получения функциональных неорганических и органических веществ и материалов из природного и техногенного сырья» (BR 18574042).

^{1,2}ХАНЧЕВСКИЙ М. А, ²КВАСЮК Е. И, ¹СИВЕЦ Г. Г.
АНТИПРОЛИФЕРАТИВНАЯ АКТИВНОСТЬ КОНЬЮГАТА N-ГЛИКОЗИДА С 1,2,3-ТРИАЗОЛОМ И КВАНТОВО-МЕХАНИЧЕСКОЕ МОДЕЛИРОВАНИЕ ЕГО ВЗАИМОДЕЙСТВИЯ С ПРОТЕИНТИРОЗИНФОСФАТАЗОЙ (2QBP)

¹*Государственное научное учреждение «Институт биоорганической химии НАН Беларуси», г. Минск, Республика Беларусь*

²*Учреждение образования «Международный государственный экологический институт имени А. Д. Сахарова» Белорусского государственного университета, г. Минск, Республика Беларусь*
e-mail: maks.khanchevskiy@bk.ru

^{1,2}KHANCHEUSKI M. A, ²KVASYUK E. I, ¹SIVETS G. G.
ANTIPROLIFERATIVE ACTIVITY OF N-GLYCOSIDE CONJUGATE WITH 1,2,3-TRIAZOLE AND QUANTUM-CHEMICAL SIMULATION OF ITS INTERACTION WITH PROTEIN TYROSINPHOSPHATASE (2QBP)

¹*Institute of Bioorganic Chemistry National Academy of Sciences of Belarus, Minsk, Republic of Belarus*

²*Belarusian State University, ISEI BSU, Minsk, Republic of Belarus*
e-mail: maks.khanchevskiy@bk.ru

Аннотация: В работе проведено квантово-механическое моделирование взаимодействия между конъюгатом 4-фенил-1,2,3-триазола и N-1-ацетамидным производным D-гексофуранозы, полученным из D-глюкозы, с потенциальной мишенью - протеинтирозинфосфатазой (2QBP). Установлено, что новое производное триазола ингибирует рост опухолевых клеток культуры K562 на 10% при концентрации 50 мМ.

Ключевые слова: квантово-химическое моделирование, антипролиферативная активность, N-гексофуранозил амид, конъюгаты сахаров с триазолом

Abstract: Quantum-chemical modeling of the interaction between 4-phenyl-1,2,3-triazole conjugate with C1'-acetamide derivatives of D-hexofuranose (1), prepared from D-glycose, and protein tyrosine phosphatase (2QBP) was carried out. Evaluation of antiproliferative activity of a new triazole derivative showed that this compound inhibited the growth of cancer cell culture K562 on 10% at a concentration of 50 μM.

Keywords: quantum chemical modeling, N-hexofuranosyl amide, antiproliferative activity, triazole-sugar conjugates, triazoles, glucofuranose.

Триазолы относятся к числу гетероциклических соединений, привлекающих большое внимание благодаря их способности оказывать влияние на биологические свойства различных классов соединений и

обнаружению терапевтически значимых конъюгатов (рис. 1). Установлено, что молекулы, содержащие замещенные 1,2,3-триазолы, проявляют широкий спектр биологической активности, включая противоопухолевую, противовоспалительную, противовирусную и антимикробную [1, 2].

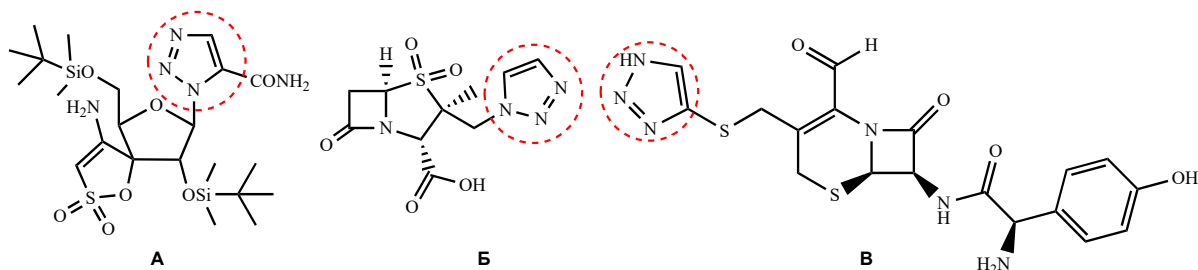


Рисунок 1 – Структурные формулы биологически активных конъюгатов, содержащих 1,2,3-триазолы

(А – трет-бутил-диметилсилил-спиро-аминооксатиол-диоксид; Б – тазобактам; В – цефатризин)

Среди конъюгатов, содержащих триазолы, представляющих практический интерес, широко изучены и исследуются в настоящее время производные азотсодержащих гетероциклических соединений, полученные в результате реакций 1,3-циклоконденсации (клик-химии) с модифицированными углеводами [2].

Ферменты группы протеин тирозинфосфатаз (ПТФ) дефосфорилируют фосфотирозиновый участок белков и пептидов. Гиперэкспрессия и дисфункция некоторых ПТФ широко распространены при многих онкологических заболеваниях.

Исследование процессов ингибирования ПТФ1В и поиск ингибиторов с химиотерапевтическим потенциалом среди производных сахаров может быть использовано для терапии рака молочной железы и хронического миелоидного лейкоза. Также ингибирование ПТФ1В (2QBP) в случае клеток гепатокарциномы человека (HepG2) может предотвращать апоптоз и снижать окислительный стресс в митохондриях [3].

Цель исследования. Провести квантово-химическое моделирование для установления взаимодействия с потенциальной мишенью (протеинтирозинфосфатазой) конъюгата N-гликозида и производного триазола и оценить его антипролиферативную активность *in vitro* в опухолевых клеточных линиях.

Материалы и методы исследования. В ходе исследования из соответствующих углеводных предшественников с помощью азид-алкиновой реакции 1,3-циклоконденсации синтезирован конъюгат (1) (рис. 2), структура которого была подтверждена методами ЯМР-спектроскопии, а также методом масс-спектрометрии.

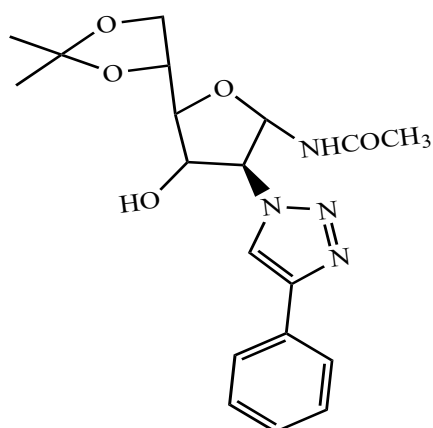


Рисунок 2 – Структурная формула конъюгата 1

Кристаллическая структура комплекса ПТФ1В (2QBP) взята из базы данных 3D структур белков: <https://www.rcsb.org/>. Из предложенных структур, имеющих разрешение от 1 до 3Å, выбрана молекула 2QBP с разрешением 2.5 Å. Выбранная модель очищена от воды и низкомолекулярных соединений, включённых в структуру белка. Для проведения квантово-химического анализа была использована программа UCSF Chimera, сам же расчет проводился при помощи программы AutoDock Vina. Визуализацию расчетов квантово-химического анализа взаимодействия конъюгата (1) с ферментом ПТФ1 (2QBP) осуществляли с помощью программы Molegro Molecular Viewe.

Оценку антипролиферативной активности проводили в 96-луночном плоскодонном планшете на культурах опухолевых клеток линии HepG2 и K562, которые культивировали при 37°C в условиях 5% CO₂ и относительной влажности воздуха 95% в питательной среде DMEM («Gibco», США), содержащей 10% ЭТС, 2мМ L-глутамина, 100 Ед/мл бензилпенициллин натрия, 100 Ед/мл стрептомицин сульфата, 100 Ед/мл неомицин сульфата («Lonza», США) в присутствии или отсутствии исследуемого соединения в концентрации 50 µМ в течении 72 часов.

Оценка жизнеспособности опухолевых клеток проводилась с использованием резазурина. Резазурин — ароматическое соединение, окислительно-восстановительный индикатор. Синий краситель, который при восстановлении превращается в розовый флуоресцирующий резорурфин [4].

Измерения флуоресценции проводили на мультимодальном считывателе микропланшетов с абсорбцией Infinite[®] 200 PRO (Tecan, Швейцария). Результаты, полученные в контроле (без добавления исследуемого соединения), принимали за 100% выживаемость клеток.

Результаты исследования и их обсуждения. Установлено, что в ходе молекулярного докинга между белковой молекулой (2QBP) и конъюгатом (1) возможно образование пяти водородных связей (Рис. 3). Одна водородная связь вероятно образуется между аминокислотой Asn 162

и атомом кислорода при C5, и две водородные связи между 3-гидроксильной группой сахара и аминокислотами Glu 101 и Glu 97. Кроме того, образование устойчивых водородных связей может происходить между Gln 61 и атомами азота триазольного гетероцикла (2N и 3N) соединения 1. Синтезированное производное N-гликозида образует 13 стерических взаимодействий (Рис. 4). Расчетные значения энергий образования водородных связей между белковой молекулой и исследуемым конъюгатом представлены в таблице 1.

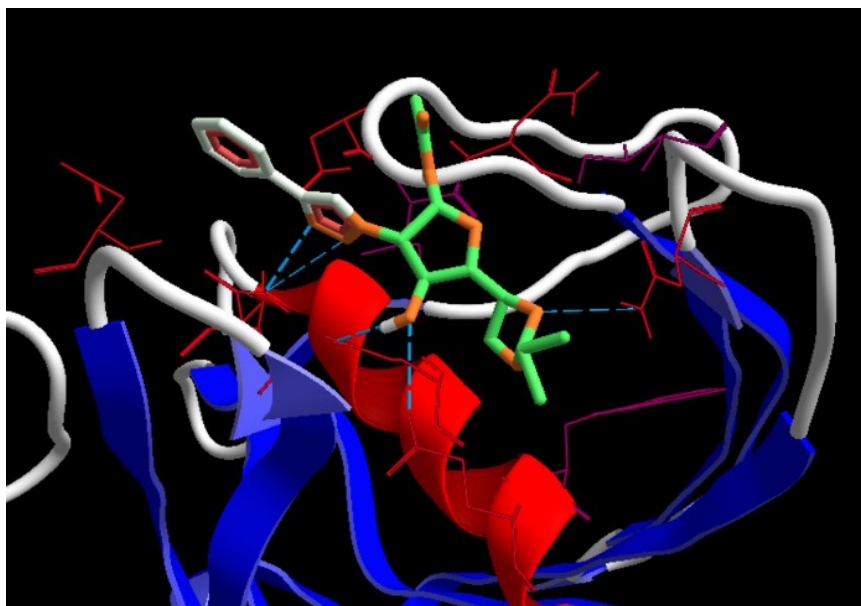


Рисунок 3 – Комплекс между конъюгатом 1 и 2QBP полученный в результате молекулярного докинга

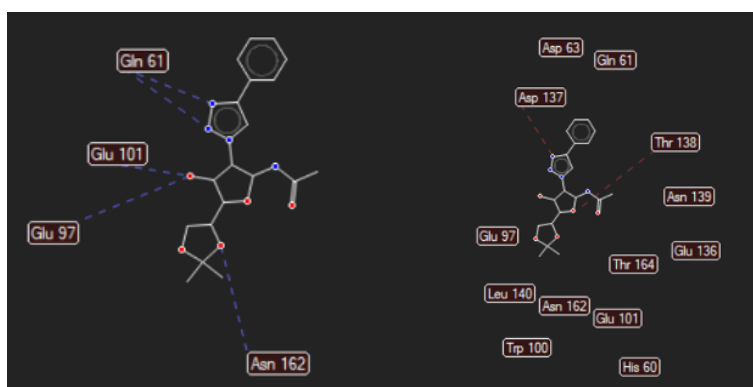


Рисунок 4 – Водородные связи и стерические взаимодействия в комплексе (1) с 2QBP

Таблица 1 – Расчетные энергии образования водородных связей в комплексе конъюгата 1 с 2QBP

№	Аминокислоты	Атом	Энергия водородной связи (kcal/mol)
1	Asn 162	5'-O	-1.21
2	Glu 101	3'-O	-2.5
3	Glu 97	3'-O	-2.23
4	Gln 61	2N	-1.24
5	Gln 61	3N	-2.5

Оценка антипролиферативной *in vitro* активности в отношении миелогенного лейкоза человека K562 показала, что при 50 μ M концентрации исследуемого вещества наблюдалось ингибирование роста опухолевых клеток на 10%, при этом в отношении гепатоцеллюлярной карциномы человека клеточной линии HepG2 ингибирующего эффекта не было обнаружено.

Выводы. Результаты настоящего исследования свидетельствуют о возможности образования устойчивого комплекса конъюгата N-альтрофуранозил ацетамида и 4-замещенного триазола с мишенью 2QBP, что вероятно оказывает влияние на ингибирующие свойства конъюгата в отношении опухолевых клеточных линий и можно использовать для дизайна новых производных N-гликозидов с триазольным гетероциклом при C-2 и потенциальной противоопухолевой активностью.

Список литературы

1. Thirumurugan, P. Click Chemistry for Drug Development and Diverse Chemical–Biology Applications / P. Thirumurugan [et al.] // Chemical Reviews. – 2013. – Vol. 113. – P. 4905–4979.
2. He, X-P. Carbohydrate CuAAC click chemistry for therapy and diagnosis / X-P. He [et al.] // Carbohydrate Research. – 2016. – Vol. 429. – P. 1–22.
3. Alvira, D. Inhibition of Protein-tyrosine Phosphatase 1B (PTP1B) Mediates Ubiquitination and Degradation of Bcr-Abl Protein / D. Alvira [et al.] // Journal of Biological Chemistry. – 2011. – Vol. 286. – P. 32313–32323.
4. Silva, F. Determination of Metabolic Viability and Cell Mass Using a Tandem Resazurin/Sulforhodamine B Assay / F. Silva [et al.] // Current Protocols in Toxicology. – 2016. – P. 2.24.1 – 2.24.15.

ХУМАИРИ АХМЕД ХАМИД
РАЗРАБОТКА НОВОГО ПРОТИВООПУХОЛЕВОГО СРЕДСТВА НА
ОСНОВЕ ПРОИЗВОДНОГО ТЕТРАЗИНА, ЯВЛЯЮЩЕГОСЯ
АНАЛОГОМ АЛКИЛИРУЮЩЕГО ПРЕПАРАТА ТЕМОДАЛА, ДЛЯ
ТЕРАПИИ ЗЛОКАЧЕСТВЕННЫХ НОВООБРАЗОВАНИЙ

*Волгоградский государственный медицинский университет г. Волгоград
e-mail: ahmed.h.mneahil@gmail.com*

HUMAIRI AHMED HAMID
DEVELOPMENT OF A NEW ANTITUMOR DRUG BASED ON A
TETRAZINE DERIVATIVE, AN ANALOGUE OF THE ALKYLING
DRUG TEMODAL, FOR THE THERAPY OF MALIGNANT
NEOPLASMS

*Volgograd State Medical University, Volgograd
e-mail: ahmed.h.mneahil@gmail.com*

Аннотация: Рак имеет высокую заболеваемость и смертность, является актуальной и до сих пор не решенной проблемой онкологии. Общеизвестные противоопухолевые препараты недостаточно эффективны, довольно высоко токсичны, быстро развивается химиорезистентность опухолевых клеток. Поэтому актуальным остается поиск новых препаратов, применяемых в терапии для лечения рака [1,4].

Ключевые слова: темодал, химиотерапия, рак, клетки MCF-7

Abstract: Cancer has a high morbidity and mortality rate and is an urgent and still unresolved problem of oncology. Commonly known antitumor drugs are not effective enough, are rather highly toxic, chemoresistance of tumor cells develops quickly. Therefore, the search for new drugs used in therapy to treat cancer remains relevant [1,4].

Keywords: temodal, chemotherapy, cancer, MCF-7 cells

Цель исследования. Изучить противоопухолевую активность нового производного тетразина, являющегося аналогом темадола.

Материалы и методы исследования. Объектом исследования является новое производное тетразина. В качестве препарата сравнения, на всех этапах исследования был выбран эпирубицин в аналогичных дозах исследуемого вещества. Первым этапом изучения противоопухолевой активности являлась оценка цитотоксического действия производного тетразина на опухолевые клетки MCF-7 с помощью МТТ-теста. Для определения IC_{50} изучаемого вещества использовали следующие концентрации: 0,25; 1,0; 2,5; 5,0 и 10 мкмоль/л. Опухолевые клетки после размораживания отмывали и культивировали в полной культуральной среде (MEM+Glutamine+пенициллин/стрептомицин) в CO_2 -инкубаторе при температуре 37 °C и уровне CO_2 5 %. Для выявления жизнеспособности

СЕКЦИЯ 5. Поиск и внедрение биологически активных соединений природного и синтетического происхождения

клеток использовали МТТ-тест. Определяли концентрацию тестируемого соединения, при которой наступало максимальное подавление жизнеспособности клеток от контроля. Концентрацию вещества, которая вызывает 50% гибель клеток (IC_{50}), рассчитывали графически по дозозависимой кривой с помощью программного обеспечения Origin (OriginLab Corporation) [1]. Следующий этап был посвящен изучению генотоксических свойств нового производного тетразина *in vitro* в дозах 1/2, 1/10 и 1/50 IC_{50} . В этом исследовании в качестве клеточной культуры выбрана MCF-7. Для оценки генотоксичности применялся щелочной вариант метода ДНК-комет. Результаты проведенного ДНК-кометного анализа оценивали по следующим параметрам: процент ДНК в хвосте (%), момент хвоста (произведение длины хвоста кометы и процента ДНК в хвосте, условные единицы), длина хвоста кометы (расстояние миграции ДНК от центра или края головы до конца хвоста, пиксели). Анализ перечисленных параметров ДНК-комет осуществляли с помощью программы CometScore 2.0.0.38 (США). С каждого микропрепарата рандомизированно анализировали состояние ДНК не менее 100 клеток [2]. Для определения метаболической активности изучаемого вещества *in vitro* опухолевые клетки MCF-7 культивировали в стандартных условиях. Отбирали культуральную жидкость из лунок, центрифугировали в течение 3 мин при 500 g и проводили определение лактата при помощи коммерческого набора Olvex Diagnosticum в соответствии с протоколом производителя на спектрофотометре Olvex Diagnosticum против холостой пробы при длине волны 505 нм. Концентрацию молочной кислоты выражали как

$$C = 3,3 E_e/E_c \quad \text{ммоль/л,}$$

– где E_e и E_c – оптические плотности опытной и калибровочной проб, соответственно. Определение поглощения кислорода клетками оценивали с помощью метода полярографии[3]. Исследование *in vivo* проведено в соответствии с биоэтическими нормами, изложенными в «Правилах проведения работ с использованием экспериментальных животных» и Директиве 2010/63/EU Европейского Парламента и Совета Европейского Союза по охране животных, используемых в научных целях. Для моделирования ксеногенной модели РМЖ предварительно животным трехкратно вводили азатиоприн в дозе 1 мг/кг. На основном этапе производили ортотопическую трансплантацию клеток линии MCF-7 в основание соска молочной железы по 10^6 клеток. На 15-е сутки производили забой животных, извлекали участки, куда были инъецированы опухолевые клетки, а также аналогичные участки с противоположной стороны. Рассчитывали объем первичного опухолевого узла (мм^3), торможение роста опухоли (%). Иммуногистохимическую оценку опухолевой ткани животных производили с использованием маркерного цитокератина 8/18 (Dako Cytomation, Дания). Статистическую обработку экспериментальных данных

проводили с помощью программы Statistica 10.0 («Dell» США). С учетом отсутствия нормального распределения в выборках по критерию Шапиро-Уилка результаты представляли как Me (Q1; Q3). Внутригрупповой сравнительный анализ проводился по критерию Краскела-Уоллиса (непараметрический вариант ANOVA) с последующими множественными сравнениями по Бонферрони-Данну. Сравнение между группами – по критерию Манна-Уитни. Различия считали значимыми при уровне доверительной вероятности $p < 0,05$ [4].

Результаты исследования и их обсуждение. При исследовании цитотоксичности *in vitro* на культуре клеток MCF-7 с помощью МТТ-теста использование изучаемого вещества во всем исследуемом диапазоне концентраций приводило к статистически значимому дозозависимому снижению жизнеспособности клеток. Максимальное подавление S_k/S_{max} составило $2,13/0,29 = 7,34$ при концентрации 10 мкмоль/л, расчетное IC_{50} – 0,85 мкмоль/л.

С целью выяснения механизма цитотоксического действия на опухолевые клетки была проведена оценка влияния нового производного тетразина в дозах $1/2$, $1/10$ и $1/50 IC_{50}$ на их ДНК, а также метаболизм.

При исследовании генотоксической активности на клетки MCF-7 изучаемого вещества, а также препарата-сравнения – эпирубицина получены следующие результаты. Использование эпирубицина в дозах $1/2 IC_{50}$, $1/10 IC_{50}$, $1/50 IC_{50}$ привело к статистически значимому росту процента ДНК в хвосте кометы, длины и момента хвоста кометы относительно таковых показателей негативного контроля. Максимальные значения этих показателей были зафиксированы при введении в опухолевую клеточную линию эпирубицина в дозе $1/2 IC_{50}$. Культивирование MCF-7 с добавлением образца нового производного тетразина в средней дозе ($1/10 IC_{50}$) привело к увеличению процента ДНК в хвосте кометы, причем этот показатель оказался в 2,0 раза ($p < 0,05$) выше такового в группе эпирубицина. Также отмечено увеличение длины и момента хвоста кометы при использовании этого вещества во всех дозах. Сравнительный анализ полученных результатов генотоксичности исследуемого вещества в различных дозах показал, что его введение в опухолевую клеточную культуру в дозах $1/2 IC_{50}$, $1/50 IC_{50}$ привело к статистически значимым различиям такого показателя, как процент ДНК в хвосте кометы относительно такого значения для средней дозы. При оценке «длины хвоста» кометы под воздействием этого вещества в аналогичных дозах данный показатель варьировался в зависимости от дозы. Так максимальное увеличение «длины хвоста» в комете было зафиксировано при использовании этого соединения в дозе $1/2 IC_{50}$. Минимальное значение этого показателя получено для дозы $1/10 IC_{50}$, которое было статистически значимо меньше в 1,8 раза. Для анализируемого «момента хвоста», при введении в MCF-7 производного тетразина в дозе $1/2 IC_{50}$ наблюдалось статистически значимое увеличение этого показателя,

превышающего в 1,5 и 4,0 раза дозы $1/50 IC_{50}$ и $1/10 IC_{50}$, соответственно. Полученные генотоксические эффекты исследуемого нового производного тетразина подтверждают их токсическое действие на ДНК опухолевых клеток, что приводит к их гибели, что было показано на первом этапе исследования.

Известно, что в опухолевых клетках наблюдается изменение метаболизма, что приводит к росту опухоли. Поэтому изучение метаболизма раковых клеток может дать ключ к пониманию их работы и возможному управлению этим процессом.

При изучении метаболизма показано, что использование нового производного тетразина приводит к уменьшению продукции лактата в два раза в опухолевых клетках. Полученный эффект является еще одним свидетельством обоснованности возможного использования веществ из этой группы в качестве нового противоопухолевого препарата для терапии злокачественных новообразований.

Исследование противоопухолевой активности в эксперименте *in vivo* показало, что назначение животным с опухолью эпирубицина привело к умеренному торможению роста первичного опухолевого узла (24,5 %). Использование изучаемого вещества оказало более выраженный противоопухолевый эффект. Так введение мышам с РМЖ нового производного тетразина в дозе $1/2IC_{50}$ привело к ингибции развития опухоли на 60,8%.

Иммуногистохимическое исследование выявило присутствие специфического белка - цитокератин 8/18 человека в опухолевой ткани мышей контрольной группы. При назначении изучаемого соединения показано снижение экспрессии этого белка, что доказывает выраженный противоопухолевый эффект нового производного тетразина. Возможным механизмом противоопухолевого действия изучаемого соединения может являться его способность индуцировать апоптоз опухолевых клеток через повреждение ДНК по средствам метилирования в N^7 и O^6 гуанина и N^3 аденина.

Выводы. На основании приведенных экспериментов можно сделать вывод, что новое производное тетразина, являющееся аналогом темадола, обладает выраженным противоопухолевым действием. Полученные данные могут служить основой для дальнейшего углубленного изучения этого вещества с целью создания нового противоопухолевого средства.

Список литературы

1. Хумаири, А.Х. Синтез и цитотоксическая активность новых производных азолотриазина при изучении на клеточных культурах / А.Х. Хумаири, Д.Л. Сперанский, Е.В. Садчикова // Химико-фармацевтический журнал. – 2022. – Т. 56, № 6. – С. 31–37.

2. Хумаири, А.Х. Влияние генотоксичности новых производных азолоазинов методом ДНК-комет с использованием модели клеточных

культур MCF-7 и Vero на результаты цитотоксических тестов при изучении новых лекарственных препаратов / А.Х. Хумаири // Неделя науки – 2021: материалы международного молодёжного форума.–Ставрополь: Изд-во Ставропольского гос. мед. ун-та, 2021. – С. 451–452.

3. Хумаири, А. Х. Влияние новых производных азолазинов с потенциальной противоопухолевой активностью на энергетический обмен в культурах клеток MCF-7 и Vero / А.Х. Хумаири, В.В.Удут , Д.Л. Сперанский, М.О. Аль-Газали, В.В. Новочадов // Сибирский журнал клинической и экспериментальной медицины. – 2022. – № 6. – С. 139–148.

4. Хумаири, А.Х. Экспериментальное обоснование активности новых фармакологических композиций азолазинов *in vitro* и *in vivo* при создании противоопухолевых препаратов в лекарственной терапии рака молочной железы / А.Х. Хумаири // Достижения и проблемы фундаментальной науки и клинической медицины: материалы международной научно-практической конференции. – Душанбе: Таджикский государственный медицинский университет имени Абуали ибни Сино, 2021. – Т. 2. – С. 403–404.

ФАРМАКОГНОСТИЧЕСКИЕ ИССЛЕДОВАНИЯ ЛЕКАРСТВЕННЫХ РАСТЕНИЙ

АНДРЕЕВА Ю.А., КУРКИН В.А., ПРАВДИВЦЕВА О.Е.,
АНДРЕЕВ А.А., ВОЛКОВА Н.А.
**ИЗУЧЕНИЕ ВОЗМОЖНОСТИ ПОЛУЧЕНИЯ СОКА ИЗ СВЕЖИХ
ПЛОДОВ БОЯРЫШНИКА**

*Самарский государственный медицинский университет, г. Самара
e-mail: andreevaaya@yandex.ru*

ANDREEVA YU.A., KURKIN V.A., PRAVDIVTSEVA O.E.,
ANDREEV A.A., VOLKOVA N.A.
**STUDY OF THE POSSIBILITY OF OBTAINING JUICE FROM FRESH
CRATAEGUS L. FRUITS**

Samara State Medical University, Samara

Аннотация: Плоды боярышника (*Crataegus* L., сем. Розоцветные – *Rosaceae*) являются популярным лекарственным средством. Сочные плоды боярышника вееровидного (*Crataegus flabellata* (Bosc ex Spach) K.Koch.) можно использовать для получения сока свежих плодов. Содержание суммы флавоноидов в пересчете на катехин в соке плодов боярышника вееровидного составляет $0,30 \pm 0,02\%$.

Ключевые слова: *Crataegus flabellata* (Bosc ex Spach) K.Koch., *Crataegus submollis* Sarg., плоды, флавоноиды, спектрофотометрия.

Abstract: Hawthorn fruits (*Crataegus* L., family *Rosaceae*) are a popular medicinal product. Juicy fruits of the *Crataegus flabellata* (Bosc ex Spach) K.Koch. can be used to obtain the juice of fresh fruits. The content of the total of flavonoids calculated on catechin in the juice of the fruits of *Crataegus flabellata* is $0.30 \pm 0.02\%$.

Keywords: *Crataegus flabellata* (Bosc ex Spach) K.Koch., *Crataegus submollis* Sarg., fruits, flavonoids, spectrophotometry.

Введение. Плоды боярышника (*Crataegus* L., сем. Розоцветные – *Rosaceae*) являются популярным лекарственным средством как в нашей стране, так и за рубежом [1]. На основе высушенных плодов боярышника выпускают препарат «Боярышника плодов настойка», применяемый в качестве кардиотонического средства [2]. При этом плоды типичных для Российской Федерации видов боярышника, например, боярышника кроваво-красного (*Crataegus sanguinea* Pall.) уступают по размерам плодам некоторых видов боярышника, родиной которых является Северная Америка [3, 4]. Боярышник мягковатый (полумягкий) (*Crataegus submollis* Sarg.) и боярышник вееровидный (*Crataegus flabellata* (Bosc ex Spach) K.Koch.) широко культивируются на территории нашей страны как пищевые и декоративные растения. Плоды боярышника мягковатого и боярышника вееровидного содержат много сочной мякоти и это обстоятельство существенно затрудняет процесс высушивания сырья.

Поэтому при переработке сочных плодов североамериканских боярышников целесообразным является получение сока плодов.

Плоды боярышника мягковатого и боярышника вееровидного имеют химический состав, сходный с плодами дикорастущих для Российской Федерации видов боярышника и содержат флавоноиды [5]. Флавоноиды плодов боярышника относятся к процианидинам и являются производными катехина. Ранее нами была разработана методика количественного анализа суммы флавоноидов в плодах боярышника и препаратов на их основе, которая базируется на прямой спектрофотометрии при 282 нм [3]. Свежие плоды боярышника мягковатого содержат много сока, который в доклинических исследованиях на белых беспородных крысах показал наличие диуретического действия и антидепрессантной активности.

Цель исследования. Целью исследования явилось изучение возможности получения сока из свежих плодов боярышника вееровидного.

Материалы и методы исследования. Свежие плоды боярышника мягковатого и боярышника вееровидного были заготовлены на территории Ботанического сада Самарского университета в период их созревания в сентябре 2022 года. Свежие плоды были исследованы на содержание суммы флавоноидов в пересчете на катехин методом прямой спектрофотометрии [3].

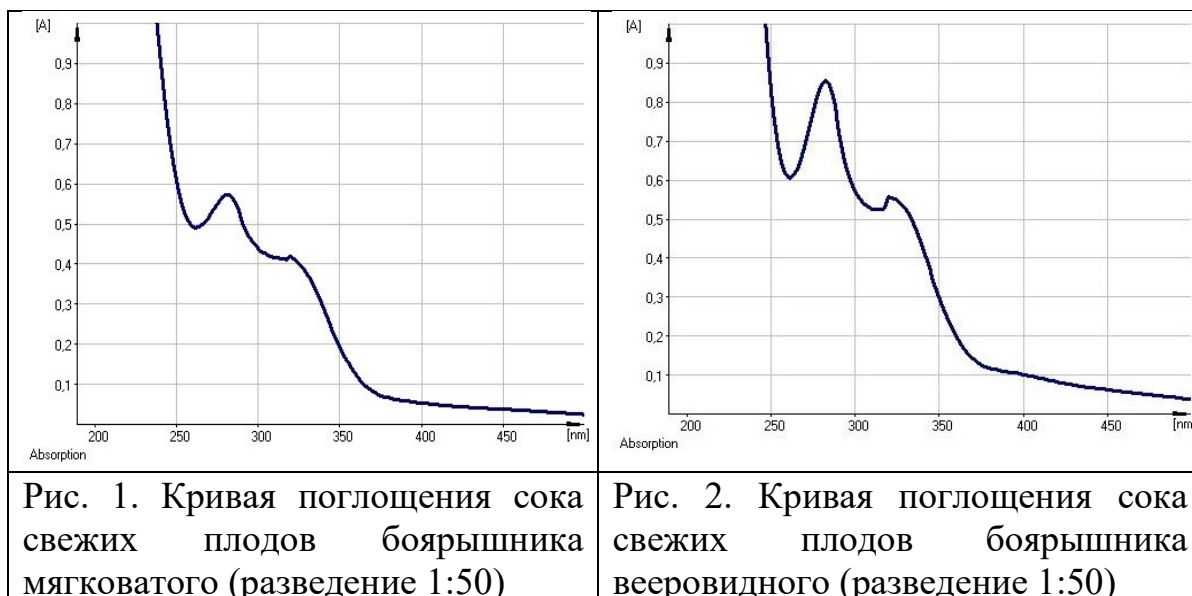
Сок был получен путем отжима свежих плодов непосредственно после сбора. Содержание суммы флавоноидов в полученном соке плодов обоих видов боярышника было исследовано методом прямой спектрофотометрии в пересчете на катехин. Перед проведением анализа в полученном соке проводилось осаждение пектиновых веществ с помощью спирта этилового.

Таблица 1

Содержание суммы флавоноидов в свежих плодах боярышника

№ п/п	Вид сырья	Содержание суммы флавоноидов в пересчете на катехин, %
1	Плоды боярышника мягковатого	0,88±0,05%
2	Плоды боярышника вееровидного	1,27±0,07%

Результаты исследования и их обсуждение. Результаты исследования суммы флавоноидов в пересчете на катехин в свежих плодах боярышника вееровидного и боярышника мягковатого приведены в таблице 1. Из нее следует, что свежие плоды боярышника мягковатого уступают по содержанию суммы флавоноидов в пересчете на катехин свежим плодам боярышника вееровидного.



При этом из 100 г свежих плодов боярышника мягковатого было получено 16 мл сока, а из 100 г свежих плодов боярышника вееровидного было получено 18 мл сока. Содержание суммы флавоноидов в пересчете на катехин в соке свежих плодов боярышника вееровидного составило $0,30 \pm 0,02\%$, что превышает содержание суммы флавоноидов в соке плодов боярышника мягковатого, составляющий $0,20 \pm 0,01\%$. Следует отметить, что коррелирует и характер кривых поглощения для сока свежих плодов боярышника вееровидного и боярышника мягковатого (рис. 1 и 2). Это говорит о сходстве химического состава плодов двух североамериканских видов боярышника.

Выводы. Свежие плоды боярышника вееровидного могут быть использованы для получения сока. Сок плодов боярышника вееровидного превышает по содержанию уровня флавоноидов в пересчете на катехин сок, полученный из плодов боярышника мягковатого. Количество сока, полученного из свежих плодов боярышника вееровидного, превышает количество сока, полученного из плодов боярышника мягковатого. Плоды боярышника вееровидного могут заготавливаться в качестве лекарственного растительного сырья в нашей стране.

Список литературы

1. Государственная фармакопея Российской Федерации. – Четырнадцатое издание. – М.: Министерство здравоохранения РФ, 2018. / URL: <http://femb.ru/femb/pharmacopea.php>
2. Киселева Т.Л., Карпеев А.А., Смирнова Ю.А., Амалицкий В.В., Сафонов В.П., Цветаева Е.В., Блинков И.Л., Коган Л.И., Чепков В.Н., Дронова М.А. Лечебные свойства пищевых растений / Под общ. Ред. Проф. Т.Л. Киселевой. – М.: Изда-во ФНКЭЦ ТМДЛ Росздрави, 2007. – 533 с.

3. Куркин В.А., Правдивцева О.Е., Шайхутдинов И.Х., Куркина А.В., Зайцева Е.Н., Волкова Н.А. Виды рода боярышник (*Crataegus* L.): стандартизация и создание лекарственных препаратов. Самара: ООО «Офорт», 2020. – 118 с.

4. Деревья и кустарники СССР. Т. 3, Издание Академии наук СССР Москва-Ленинград, 1954. – 872 с.

5. Растительные ресурсы России: Дикорастущие цветковые растения, их компонентный состав и биологическая активность. Т. 2. – СПб.; М.: Товарищество научных изданий КМК, 2009. - С. 191-197.

БЕЛОВА О.А., КУРКИН А.В., ЕГОРОВ М.В.
НОВЫЕ ПОДХОДЫ К СТАНДАРТИЗАЦИИ ТРАВЫ
GLYCYRRHIZA GLABRA L.

Самарский государственный медицинский университет, г. Самара
e-mail: olga.belova1519@gmail.com

BELOVA O.A., KURKIN A.V., EGOROV M.V.
NEW APPROACHES TO THE STANDARDIZATION OF
GLYCYRRHIZA GLABRA L.

¹Samara State Medical University, Samara
e-mail: olga.belova1519@gmail.com

Аннотация: Разработана методика количественного определения суммы флавоноидов в траве солодке голой методом дифференциальной спектрофотометрии с использованием стандартного образца пиноцембрин при аналитической длине волны 310 нм. Определено, что содержание суммы флавоноидов в траве солодки голой варьируется от (3,05±0,001) % до (3,75±0,006) % (в пересчете на пиноцембрин).

Ключевые слова: *Glycyrrhiza glabra* L.; трава; дифференциальная спектрофотометрия; флавоноиды; пиноцембрин.

Abstract. The method has been developed for quantitative determination of flavonoid content in licorice herb by differential spectrophotometry using a standard sample of pinocembrin at an analytical wavelength of 310 nm. The content of the total flavonoids in licorice herb varies from (3,05±0,001) % to (3,75±0,006) % (calculated on pinocembrin).

Keywords: *Glycyrrhiza glabra* L.; herb; differential spectrophotometry; flavonoids; pinocembrin.

Солодка голая (*Glycyrrhiza glabra* L.) – фармакопейный вид растения. В медицинской практике применяются только корни солодки [2].

Лекарственные препараты на основе корней солодки используются в качестве противовоспалительных, отхаркивающих, антигистаминных, иммуномодулирующих, противоязвенных средств [3].

По литературным источникам, трава солодки богата рядом биологически активных веществ, а именно: флавоноиды, полисахариды, дубильные вещества и др. Пиноцембрин (5, 7 - дигидроксинфлаванон) является доминирующим флавоноидом надземной части солодки [1, 4]. По многочисленным исследованиям пиноцембрин обладает противовоспалительным, антипролиферативным, антиоксидантным действием и антибактериальной активностью [5].

Таким образом, комплексная переработка солодки голой является актуальной проблемой в промышленной заготовки. Надземная часть представляет собой ценное сырье, содержащее флавоноид – пиноцембрин.

Целью исследования. Является разработка новых подходов к стандартизации травы солодки голой.

Материалы и методы. Объектом исследования являлась трава и корни солодки голой, собранная в пгт. Алексеевка Самарской области в 2021 г.

В качестве методов исследования были использованы хроматография в тонком слое сорбента с использованием стандартных образцов пиностробина и пиноцембрина, ликуразида, а государственного стандартного образца – глицирам. Дифференциальную спектрофотометрию проводили в соответствии с ОФС.1.2.1.1.1.0003.15 «Спектрофотометрия в ультрафиолетовой и видимой областях» [1]. Спектральные характеристики водно-спиртовых извлечений оценивали на спектрофотометре «Specord 40» (Analytik Jena AG, Германия) в кюветах с толщиной слоя 10 мм.

Результаты исследования и их обсуждение. При рассмотрении хроматограммы в УФ-свете при длине волны 365 нм обнаружена зона адсорбции, имеющая светло-синюю флуоресценцию в исследуемом образце извлечения – травы солодки голой, на уровне зоны адсорбции на хроматограмме раствора стандартного образца пиноцембрина (рис. 1, А). При просмотре хроматограммы в УФ-свете при длине волны 254 нм выявлена зона адсорбции ярко-синего цвета в исследуемом образце на уровне зоны адсорбции на хроматограмме раствора стандартного образца пиноцембрина (рис. 1, Б). После обработки хроматограммы спиртовым раствором алюминия хлорида в извлечении травы солодки голой была обнаружена светло-зеленая флуоресценция на уровне зоны адсорбции со стандартным раствором пиноцембрина (рис. 1, В). После обработки щелочным раствором диазобензлосульфокислоты в исследуемом образце было обнаружено оранжевое пятно на уровне со стандартным образцом пиноцембрина (рис. 1, Г). Полученные данные дают возможность предположить, что в образце присутствует группа биологически активных

веществ, таких как фенольные соединения, предположительно – флавоноиды.

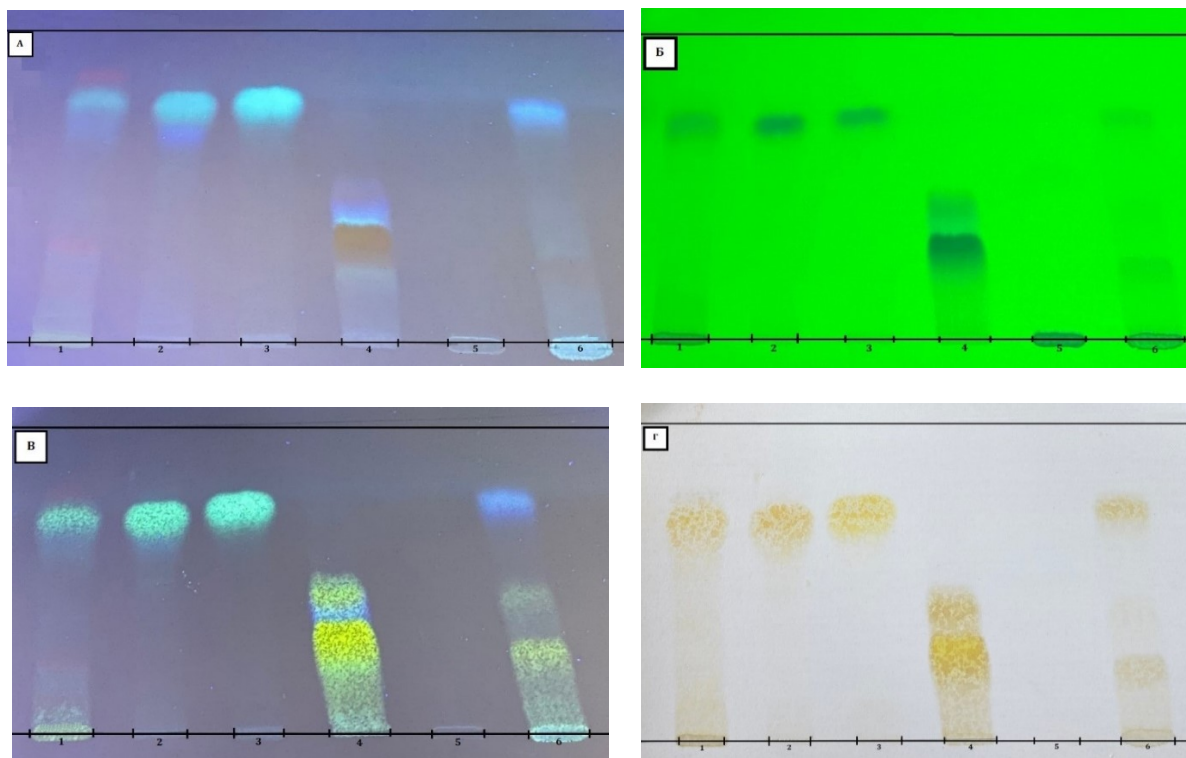


Рисунок 1 – ТСХ-хроматограмма 70% водно-спиртового извлечения травы и корней солодки голой (*Glycyrrhiza glabra* L.) в системе растворителей хлороформ – этанол (4:1): А – детекция в УФ-свете при длине волны 365 нм; Б – детекция в УФ-свете при длине волны 254 нм; В – детекция в УФ-свете при длине волны 365 нм после обработки спиртовым раствором хлорида алюминия (AlCl_3); Г – детекция после обработки раствором диазобензолсульфокислоты (ДСК)

Обозначения: 1 – 70% водно-спиртовое извлечение травы солодки голой; 2 – СО пиноцембрин; 3 – СО пиностробин; 4 – СО ликуразид; 5 – ГСО глицирам; 6 – 70% водно-спиртовое извлечение корней солодки голой

С целью разработки методики количественного определения суммы флавоноидов в траве солодки голой были изучены УФ-спектры растворов водно-спиртовых извлечений из данного сырья (рис. 1 и 2).

При изучении УФ-спектров исследуемого образца и стандартного образца пиноцембрина обнаружено, что основной вклад в кривую поглощения УФ-спектра водно-спиртового извлечения вносят фенольные соединения, а именно флавоноиды. Данные соединения имеют максимум поглощения при длине волны 310 нм, характерный для веществ флаваноновой природы (рис. 2 и 3). Оценено количественное содержание суммы флавоноидов в пересчете на пиноцембрин для 90% водно-спиртового извлечения травы солодки голой – $3,24\% \pm 0,007$.

С целью разработки методики количественного определения суммы флавоноидов нами определены оптимальные условия экстракции флавоноидов в траве солодки голой: экстрагент 90% этиловый спирт; соотношение «сырьё-экстрагент» -1:50; время экстракции – извлечение на кипящей водяной бане в течение 60 мин, степень измельчения – 2 мм (табл. 1).

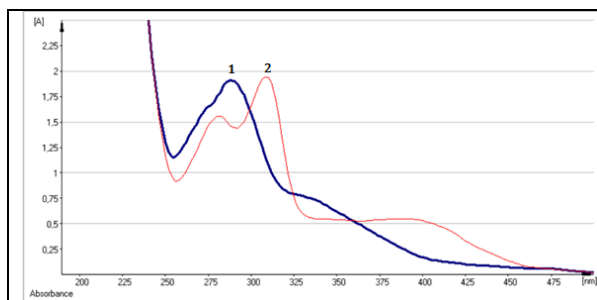


Рисунок 2 – УФ-спектр водно-спиртового извлечения из травы солодки голой
 Обозначения: 1 – исходный раствор;
 2 – раствор с добавлением алюминия хлорида

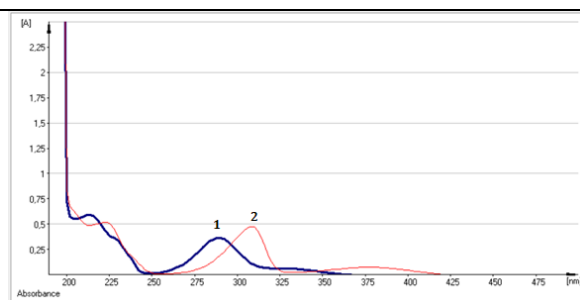


Рисунок 3 – УФ-спектр спиртового раствора пиноцембрина.
 Обозначения: 1 – исходный раствор;
 2 – раствор с добавлением алюминия хлорида

Таблица 1 – Зависимость полноты извлечения суммы флавоноидов из травы солодки голой

№ п/п	Экстрагент – этиловый спирт, %	Соотношение «сырьё-экстрагент»	Время экстракции, мин	Содержание суммы флавоноидов в пересчете на пиноцембрин и абсолютно сухое сырьё (в %)
1.	50%	1:50	60	1,43±0,006
2.	60%	1:50	60	1,20±0,004
3.	70%	1:50	60	1,25±0,031
4.	80%	1:50	60	1,76±0,005
5.	90%	1:50	60	3,05±0,001
6.	96%	1:50	60	2,53±0,007
7.	90%	1:50	30	2,01±0,008
8.	90%	1:50	60	3,04±0,012
9.	90%	1:50	120	2,46±0,010
10.	90%	1:30	60	2,46±0,009
11.	90%	1:50	60	3,75±0,006

Таким образом, результаты проведенных исследований свидетельствуют о целесообразности стандартизации травы солодки голой путем определения суммы флавоноидов методом дифференциальной спектрофотометрии при аналитической длине волны 310 нм в пересчете на пиноцембрин.

Выводы. Таким образом, результаты исследования, полученные с использованием тонкослойной хроматографии, позволяют сделать вывод, что в траве солодки голой диагностическим важным флавоноидом является пиноцембрин. Разработана методика количественного определения суммы флавоноидов в траве солодки голой методом дифференциальной спектрофотометрии с использованием стандартного образца пиноцебрина при аналитической длине волны 310 нм. Содержание суммы флавоноидов в сырье варьируется от $(3,05 \pm 0,001) \%$ до $(3,75 \pm 0,006) \%$ (в пересчете на пиноцембрин).

Список литературы

1. Ботиров Э.Х., Киямитдинова Ф., Маликов В.М. Флавоноиды наземной части *Glycyrrhiza glabra* // Химия природных соединений. 1986. № 1. С. 111.
2. Государственная фармакопея Российской Федерации XIV изд. [Электронное издание]. URL: <https://femb.ru/record/pharmacopea14>. (Дата обращения 11.04.2023).
3. Егоров М.В. Стандартизация сырья и препаратов солодки: дис. ... канд. фарм. наук. Пермь, 2005.
4. Юлдашев М.П., Ботиров Э.Х., Вдовин А.Д., Абдуллаев А.Д. Глабризофлаван – новый изофлаван из *Glycyrrhiza glabra* L. // Биоорганическая химия. 2000. Т. 26, № 11. С.873-876.
5. Aiello F., Armentano B., Polerà N. et al. From Vegetable Waste to New Agents for Potential Health Applications: Antioxidant Properties and Effects of Extracts, Fractions and Pinocembrin from *Glycyrrhiza glabra* L. Aerial Parts on Viability of Five Human Cancer Cell Lines // J Agric Food Chem. 2017. Vol. 65. No. 36. P. 7944-7954.

БОРОВСКАЯ И.Н., БИЛЫК О.В., СОЛЕНАЯ Е.А.
**ИЗУЧЕНИЕ ХИМИЧЕСКОГО СОСТАВА ЛИПОФИЛЬНОЙ
ФРАКЦИИ АМБРОЗИИ ПОЛЫННОЛИСТНОЙ
ПРОИЗРАСТАЮЩЕЙ НА ТЕРРИТОРИИ ДОНБАССА**
ФГБОУ ВО «ЛГМУ им. Свт. Луки» Минздрава России, г. Луганск,
ЛНР, РФ
farm_chem@bk.ru

BOROVSKAIA I. N., BILYK O. V., SOLENAIA E. A.
**STUDY OF THE CHEMICAL COMPOSITION OF THE
LIPOPHILIC FRACTION OF AMBROSIA ARTEMISIIFOLIA
GROWING ON THE TERRITORY OF DONBASS.**
FGBOU VO "LGMU im. St. Luki" of the Ministry of Health of Russia, Lugansk,
LPR, RF
farm_chem@bk.ru

Аннотация: В работе приводятся исследования липофильной фракции в траве амброзии полыннолистной, произрастающей на территории Донбасса. Определен выход липофильной фракции, методом ТСХ и спектрофотометрии идентифицированы каротиноиды и хлорофилл, найдено количественное содержание этих веществ. Методом хромато-масс спектрометрии проведен качественный анализ компонентов исследуемого растения.

Ключевые слова: амброзия полыннолистная, липофильная фракция, экстракт, количественное содержание, хромато-масс спектрометрия, спектрофотометрия.

Abstract: The paper presents studies of the lipophilic fraction in the herb *Ambrosia artemisiifolia* growing in the territory of Donbass. The yield of the lipophilic fraction was determined, carotenoids and chlorophyll were identified by TLC and spectrophotometry, and the quantitative content of these substances was found. A qualitative analysis of the components of the studied plant was carried out by the method of chromatography-mass spectrometry.

Keywords: *ambrosia artemisiifolia*, lipophilic fraction, extract, quantitative content, chromatography-mass spectrometry, spectrophotometry.

В настоящее время на международном фармацевтическом рынке наблюдается тенденция к росту номенклатуры лекарственных препаратов, имеющих растительное происхождение.

Ресурсы лекарственных растений не безграничны и поэтому очень важное значение имеет не только их рациональное использование, но и поиск новых источников биологически активных соединений.

В связи с этим актуальной становится изучение категории растений, которые характеризуются широким набором биологически активных

веществ, но не используются в практических целях по разным причинам. Одним из интересных и перспективных сырьевых источников является амброзия полыннолистная.

Амброзия полыннолистная (*Ambrosia artemisiifolia*) – однолетнее травянистое растение из рода Амброзия (*Ambrosia*), сем. Астровые (*Asteraceae*).

Это растение с мощным, длинным корнем, высоким ветвистым стеблем и крупными, ажурными, перисто-рассеченными листьями. Пыльца амброзии – известный аллерген, однако из нее же получают иммунобиологические препараты для диагностики и лечения данного вида аллергических реакций. [1]

На организм человека растение оказывает противовоспалительно, противопаразитарное, гепатопротекторное, снижает уровень холестерина в крови [2].

Целью работы было изучение качественного и количественного состава липофильной фракции амброзии полыннолистной.

Определение суммарного содержания липофильных веществ проводили гравиметрическим методом

Содержание суммы липофильных веществ, в пересчете на абсолютно сухое сырье рассчитывали по формуле Ветрова. В результате анализа было определено, что в амброзии, произрастающей на территории Донбасса, липофильных веществ содержится 1,37%.

Содержание хлорофилла и каротиноидов определяли методом тонкослойной хроматографии: элюент-ацетон-петролейный эфир 3:7 [3].

Наличие каротиноидов в липофильной фракции определяли по характерным жёлто-оранжевым и жёлтым окраскам пятен.

Было выделено 3 пятна со значениям Rf: 0,26, 0,3 и 0,89. По литературным данным было определено, что эти пятна соответствуют лютеину, зеаксантину и β-каротину.

Для выделения хлорофилла использовали систему гексан-бензол. Хлорофиллы на хроматограммах в видимом свете имеют сине-зелёное окрашивание и розовую флуоресценцию в УФ-свете.

Было выявлено одно пятно с Rf - 0,55, что подтвердило наличие хлорофилла в нашем экстракте.

Из полученных хроматограмм каждое обнаруженное пятно каротиноидов и хлорофилла счищали, измельчали и элюировали: каротины – хлороформом, хлорофилл – этиловым спиртом.

Спектральные характеристики элюатов регистрировали на спектрофотометре UNICO SPECTROQUEST 2800 в диапазоне длин волн 200-900 нм.

Количественно каротиноиды и хлорофилл определяли спектрофотометрически, измеряя оптическую плотность полученного раствора при длине волны 443 нм и 667 нм. В результате анализа было

определено, что количественное содержание каротиноидов в амброзии составило 0,06%, хлорофилла – 0,043%.

Также для более полного представления о качественном составе липофильных веществ использовали метод хромато-масс спектрометрии.

Липофильную фракцию получали методом мацерации в течении 24 часов диэтиловым эфиром с дальнейшим метоксилированием и силилированием полученного экстракта. Полученные компоненты растворяли в гексане и 1 мкл смеси вводили в инжектор системы хромато-масс-спектрометра, работающего в автоматическом режиме [4].

В результате анализа было выявлено 51 компонент липофильной фракции. Большая часть составляет суммарно жирные кислоты, стерины, спирты и тяжелые терпеноиды (табл. 1)

Таблица 1

**Содержание веществ в липофильной фракции амброзии
попыннолистной**

№ пика	Время удерживания	Вещество	Состав от суммы, в %
1	5,242	Миристиновая кислота	1,8%
2	6,599	1-бромнафталин	1,17%
3	8,015	Диэтилфталат	10,38%
4	10,882	Метилловый эфир гексадекановой кислоты	5,59%
5	11,161	Тетрадеканаль	0,76%
6	11,273	2Н-1,4-бензотиазин-3(4Н)-он	0,53%
7	11,487	3-метил-2-(2-оксопропил) фуран	0,34%
8	12,316	1,1-дифенил	0,88%
9	12,672	Метилловый эфир гесадекановой кислоты	2,09%
10	12,956	2-нафтилуксусная кислота	0,89%
11	13,246	Дибутилфталат	0,62%
12	13,578	Е-15-гептадеканаль	1,4%
13	13,661	Лигноцериновая (тетракозановая) кислота	2,64%
14	13,963	Гексадеканаль	2,79%
15	14,722	2,5-диметигидроквинон	2,68%
16	14,947	9,12-оксадекановая кислота	4,90%
17	15,030	9,12,15-октадекантриеновая кислота	3,84%
18	15,332	Октадекановая кислота	1,89%
19	15,474	2 –фенилизопропил-сульфид бутадиеновой кислоты	1,56%

СЕКЦИЯ 6. Фармакогностические исследования лекарственных растений

20	16,001	Метилловый эфир -11-октадеценовой кислоты	0,32%
21	16,167	9-нонадецен	1,74%
22	16,232	Гексадекан	2,07%
23	16,481	Азулен[5,6-b]фуран-2,5-дион	1,29%
24	16,570	1,19-эйкозадиен	0,52%
25	16,647	Нафтол[1,2-b]фуран-2,8[3Н, 4Н]-дион	0,4%
26	17,802	18-метилнонадекаонат	1,41%
27	18,436	Цис-11-эйкозаеновая кислота	0,39%
28	18,561	Циклотетракозан	1,2%
29	18,620	Тетракозановая кислота	1,54%
30	19,159	Октадекан	0,34%
31	20,089	Докозаноидная (докозагексаеновая) кислота	1,36%
32	20,350	1,2-бензен- дикарбоновая кислота	4,16%
33	20,782	1-гептакозанол	0,85%
34	20,824	Октадекан	0,9%
35	21,873	Гептадекан	0,87%
36	22,210	Метилловый эфир тетракозановой кислоты	1,11%
37	22,844	Трифторацетат тетракозановой кислоты	0,47%
38	23,235	2,6,10,14,18,22-тетракозагексаен	1,37%
39	23,863	Октадекан	4,86%
40	24,799	Эйкозан	1,16%
41	25,730	Октакозан	10,53
42	25,913	Ди-н-децилсульфон	0,66%
43	26,600	Эйкозан	0,92%
44	26,719	Холест-8(14)-ен-3-ол 4 метил (3β, 4α, 5α)	1,24%
45	27,193	Бенз[b]-1,4-оксазепин-4(5Н)-трион.	0,75%
46	27,465	Эйкозан	4,51%
47	27,886	5-метил-2-фенилиндолизин	0,63%
48	28,259	α-амирил	1,18%
49	28,656	α-амирил	2,6%
50	29,136	2(1Н)нафталенон	0,51%
51	29,539	Урс-12-ен-24-оловой кислоты, 3-оксо-метилловый эфир	1,37%

При анализе липофильной фракции амброзии полыннолистной было определено качественное и количественное содержание каротиноидов и хлорофилла, выявлен ряд биологически-активных веществ из групп эйкозаноидов и фитостеролов, выделение которых в чистом виде открывает возможности для разработки препаратов с противовоспалительным действием.

Список литературы

1. Государственный реестр лекарственных средств для медицинского применения – Минздрав РФ, 2023.

URL: <https://grls.pharm-portal.ru/grls> (дата обращения 24.05.2023).

2. Романец В.С., Рыбакина И.А. Фракции из Амброзии полыннолистной и их влияние на состояние сердечно-сосудистой системы // Материалы международной конференции "Здоровье и экология" - 2005 - Т. 1 - С. 78-83.

3. Лозовицкий Д.А. Изучение липофильных веществ травы *Taraxacum officinale wigg* . // Научный результат. Медицина и фармация. – Т.3, №1, 2017.

4. Северин А.П., Яцюк В.Я., Сипливый Г.В., Сипливая Л.Е., Ботов А.Ю. Изучение химического состава липофильной фракции некоторых видов семейства *Asteraceae* // Современные проблемы науки и образования. – 2012. – № 2.

URL: <https://science-education.ru/ru/article/view?id=5807> (дата обращения: 24.05.2023).

¹БЫКОВА Т.А., ^{1,2}МЕЩЕРЯКОВА А.А., ¹ШЕСТОПАЛОВА Н.Б.,
¹ФОМИНА Ю.А.

**ОПТИМАЛЬНЫЕ УСЛОВИЯ ОПРЕДЕЛЕНИЯ ПОТЕРИ В МАССЕ
ПРИ ВЫСУШИВАНИИ СУХОГО ЭКСТРАКТА АВРАНА
ЛЕКАРСТВЕННОГО (*GRATIOLA OFFICINALIS* L.)**

¹*Саратовский государственный медицинский университет, г. Саратов*

²*Саратовский государственный университет, г. Саратов*

e-mail: tatyana-bykova-2015@mail.ru

BYKOVA T. A.¹, MESCHERYAKOVA A. A.^{1,2}, SHESTOPALOVA N.B.¹,
FOMINA Y.A.¹

**OPTIMAL CONDITIONS FOR DETERMINATION OF THE LOSS IN
WEIGHT DURING DRYING OF THE DRY EXTRACT OF *GRATIOLA
OFFICINALIS* L.**

¹*Saratov State Medical University, Saratov*

²*Saratov State University, Saratov*

e-mail: tatyana-bykova-2015@mail.ru

Аннотация: Потеря в массе при высушивании является одним из показателей качества, определяющая стабильность лекарственных препаратов. Повышенное содержание влаги приводит к порче сырья и потере действующих веществ. Изучено влияние температуры и времени на потерю в массе при высушивании сухого экстракта Аврана лекарственного (*Gratiola officinalis* L.) и установлены оптимальные условия для проведения испытания.

Ключевые слова: Авран лекарственный, *Gratiola officinalis* L., сухой экстракт, потеря в массе при высушивании.

Annotation: Loss on drying is one of the quality indicators that determines the stability of drugs. The increased moisture content leads to deterioration of raw materials and loss of active substances. The influence of temperature and time on the weight loss during drying of the dry extract of *Gratiola officinalis* L. was studied and the optimal conditions for the test were established.

Keywords: *Gratiola officinalis* L., dry extract, weight loss on drying.

Одной из актуальных задач современной фармации является расширение ассортимента лекарственных препаратов на основе лекарственного растительного сырья. Для создания различных лекарственных форм и комбинированных препаратов применяют сухие экстракты, получаемые путем отгонки экстрагента и последующей сушки сгущенного остатка, и представляющие собой концентрированные вытяжки порошкообразной консистенции с содержанием влаги не выше 5 %[1]. Превышение допустимых значений влажности может приводить к снижению фармакологической активности и уменьшению сроков годности.

Остаточная влажность является одним из показателей качества, определяющая стабильность лекарственных препаратов [2].

Цель исследования. Подбор оптимальных условий для определения потери в массе при высушивании сухого экстракта аврана лекарственного (*Gratiola officinalis* L.)

Материалы и методы исследования. В качестве объекта исследования был выбран опытно-промышленный образец сухого экстракта, полученный из травы аврана лекарственного экстракцией спиртом 95 %, представляющий собой аморфный порошок от светло-коричневого до коричневого цвета с зеленоватым оттенком и с характерным запахом. Потерю в массе экстракта за счет гигроскопической влаги и летучих веществ, определяли при высушивании до постоянной массы в сушильном шкафу (ШС-80-01 СПУ, Россия) в соответствии с ОФС.1.2.1.0010.15 «Потеря в массе при высушивании».[1]. Статистическую обработку результатов измерений проводили согласно ОФС.1.1.0013.15 «Статистическая обработка результатов химического эксперимента» с помощью ПО MSExcel [1].

Результаты исследования и их обсуждение. Воздушно сухое лекарственное растительное сырье, а также экстракты из него содержит обычно до 10-15% гигроскопической влаги. Повышенное содержание влаги приводит к порче сырья и потере действующих веществ. Такую продукцию нельзя использовать [2].

Под понятием потеря в массе при высушивании подразумевают потерю в массе за счет гигроскопической влаги и летучих веществ, которую определяют в веществе при высушивании до постоянной массы, или в течение времени, указанного в ФС или НД. Данный параметр является одним из показателей качества, определяющая стабильность лекарственных препаратов. Для сухих и густых экстрактов потерю в массе при высушивании определяют в соответствии с ОФС «Потеря в массе при высушивании».

Согласно методике [1] навеску сухого экстракта ($0,2500 \pm 0,0002$ г) помещали в предварительно высушенный до постоянной массы и взвешенный в условиях проведения испытания стеклянный бюкс. Пробу высушивали в сушильном шкафу с открытой крышкой бюкса в течение 2 ч при заданной температуре. Затем открытый бюкс вместе с крышкой помещали в эксикатор для охлаждения на 50 мин и взвешивали с закрытой крышкой бюкса. Последующие взвешивания проводили после каждого часа дальнейшего высушивания до достижения постоянной массы.

Для определения оптимальных условий потери в массе при высушивании проводили нагревание экстракта в течение 60 минут при фиксированной температуре от 40 °С до 110 °С (интервал 10 °С). Установлено, что удаление влаги начинается при температуре 50 °С. При температуре до 70 °С данный процесс происходит без негативного

воздействия на экстракт. При более высоких температурах визуально фиксировали изменение цвета и консистенции экстракта, а при температуре выше 80 °С наблюдали осмоление и частичное обугливание экстракта со значительным уменьшением его массы, что свидетельствовало о разложении экстракта (рисунок). Таким образом, дальнейшие испытания определения потери в массе при высушивании проводили при 70°.

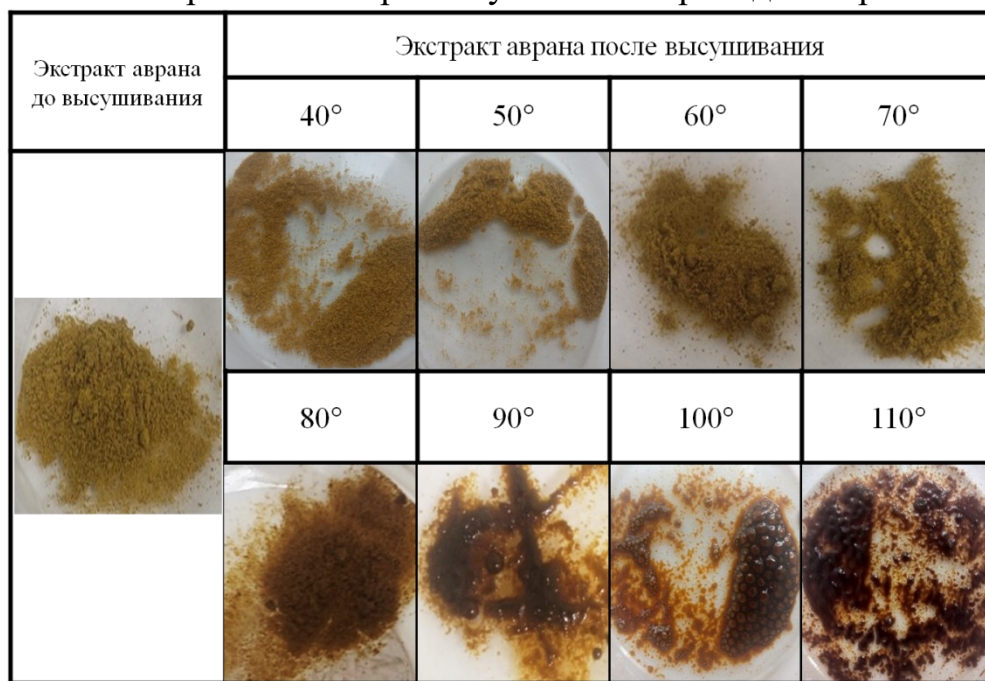


Рисунок – Изменение внешнего вида сухого экстракта Аврана лекарственного под влиянием температуры

При оптимальных условиях определена потеря в массе при высушивании сухого экстракта аврана лекарственного, которая составила $(2,74 \pm 0,15) \%$ ($n = 3$). Ошибка определения не превышает 5 %.

Выводы. В результате данной работы изучено влияние температуры и времени на потерю в массе при высушивании сухого экстракта Аврана лекарственного. Установлено, что оптимальными условиями для проведения испытания являются: температура – 70 °С, время – 120 минут. Повышение температуры выше 80 °С приводит к разложению экстракта.

Список литературы

1. Государственная фармакопея Российской Федерации / в 4 т. – XIV изд. – Текст : электронный // Федеральная электронная медицинская библиотека : [сайт]. – URL: <http://www.femb.ru/femb/pharmacopea.php> (дата обращения: 23.05.2023).
2. Правила организации производства и контроля качества лекарственных средств из растительного сырья : уч. метод. пособие / Н. В. Пятигорская, И. А. Самылина, В. В. Береговых и др. – СПб. : СпецЛит, 2013. – 367 с.

ВАСЬКОВА А.И., КУРКИН В.А., СОКОЛОВА И.В.
**СРАВНИТЕЛЬНЫЙ КАЧЕСТВЕННЫЙ АНАЛИЗ НЕКОТОРЫХ
ВИДОВ РОДА *ACHILLEA* L. МЕТОДОМ ВЭЖХ**

Самарский государственный медицинский университет, г. Самара
e-mail: a.i.vaskova@samsmu.ru

VASKOVA A.I., KURKIN V.A., SOKOLOVA I.V.
**COMPARATIVE QUALITATIVE ANALYSIS OF SOME SPECIES OF
THE GENUS *ACHILLEA* L. BY THE HPLC METHOD**

Samara State Medical University, Samara
e-mail: a.i.vaskova@samsmu.ru

Аннотация: В статье представлены результаты сравнительного качественного анализа методом высокоэффективной жидкостной хроматографии (ВЭЖХ) некоторых видов рода Тысячелистник (*Achillea* L.), произрастающих на территории Самарской области – тысячелистника обыкновенного (*Achillea millefolium* L.), тысячелистника хрящеватого (*Achillea cartilaginea* Ledeb. ex Rchb.) и тысячелистника благородного (*Achillea nobilis* L.).

В настоящее время среди большого перечня видов рода *Achillea* L. в Государственную Фармакопею Российской Федерации XIV издания включён только один – тысячелистник обыкновенный (*Achillea millefolium* L.) [1]. Ранее нами были проведены исследования, направленные на совершенствование методик качественного и количественного анализа травы тысячелистника обыкновенного (ТСХ-анализ и спектрофотометрия) [2, 3]. Однако остается нерешенным вопрос диагностики примесных видов, являющихся близкородственными к целевому лекарственному растению. В частности, к таким видам, произрастающим в Самарской области, относятся тысячелистник хрящеватый (*Achillea cartilaginea* Ledeb. ex Rchb.) и тысячелистник благородный (*Achillea nobilis* L.). В траве тысячелистника хрящеватого и тысячелистника благородного также содержатся флавоноиды (производные апигенина, лютеолина и др.) и фенилпропаноиды (хлорогеновая кислота и др.), поэтому актуальным является вопрос сравнительного исследования компонентного состава травы тысячелистника обыкновенного и его близкородственных видов.

Кроме того, актуальны вопросы совершенствования методик качественного и количественного анализа с использованием высокотехнологичного оборудования – например, ВЭЖХ. Принимая во внимание то обстоятельство, что доминирующим флавоноидом травы тысячелистника обыкновенного является космосин (7-О-β-D-глюкопиранозид апигенина) [2], представляется целесообразным проведение оценки количественного содержания данного флавоноида в исследуемых видах рода *Achillea* L. С одной стороны, это создает

перспективу внедрения ВЭЖХ в фармакопейный анализ травы тысячелистника обыкновенного, а с другой, – позволяет выявить какие-либо отличительные хемотаксономические признаки с точки зрения диагностики данного сырья.

Ключевые слова: тысячелистник; *Achillea* L.; трава; высокоэффективная жидкостная хроматография; флавоноиды.

Abstract: The article presents the results of comparative qualitative analysis by high performance liquid chromatography (HPLC) of some species of the genus *Achillea* L. growing in the Samara region – common yarrow (*Achillea millefolium* L.), cartilaginous yarrow (*Achillea cartilaginea* Ledeb. ex Rchb.) and noble yarrow (*Achillea nobilis* L.).

Currently, among a large list of species of the genus *Achillea* L. in the State Pharmacopoeia of the Russian Federation XIV edition, only one – common yarrow (*Achillea millefolium* L.) – is included [1]. Previously we have conducted studies aimed at improving the methods of qualitative and quantitative analysis of yarrow herb (TLC-analysis and spectrophotometry) [2, 3]. However, the issue of diagnosis of impurity species, which are closely related to the target medicinal plant, remains unresolved. In particular, such species growing in Samara region include cartilaginous yarrow (*Achillea cartilaginea* Ledeb. ex Rchb.) and noble yarrow (*Achillea nobilis* L.). Cartilaginous yarrow herb and noble yarrow also contain flavonoids (derivatives of apigenin, luteolin, etc.) and phenylpropanoids (chlorogenic acid, etc.), therefore the question of comparative analysis of common yarrow herb and its closely related species is relevant.

Besides, the questions of improvement of techniques of qualitative and quantitative analysis with the use of hi-tech equipment, for example, HPLC, are actual. Taking into account the fact that the dominant flavonoid of common yarrow herb is cosmosiin (7-O- β -D-glucopyranoside of apigenin) [2], it seems appropriate to assess the quantitative content of this flavonoid in the studied species of the genus *Achillea* L. On the one hand, this creates the prospect of introducing HPLC in the pharmacopoeial analysis of yarrow herb, and on the other hand, it allows to identify any distinctive chemotaxonomic features in terms of diagnosis of this raw material.

Keywords: yarrow; *Achillea* L.; herb; high performance liquid chromatography; flavonoids.

Цель настоящего исследования – сравнительный качественный анализ некоторых видов рода Тысячелистник (*Achillea* L.) методом ВЭЖХ.

Материалы и методы исследования. В качестве материалов использовались водно-спиртовые извлечения из травы тысячелистника обыкновенного, тысячелистника хрящеватого и тысячелистника благородного, собранных в период массового цветения в 2022 г. в Самарской области. Перед хроматографическим анализом водно-спиртовые извлечения (1:30) дополнительно фильтровали через мембранный фильтр

Milipore (0,22 мкм). В качестве метода анализа использована обращенно-фазовая хроматография в градиентном режиме на высокоэффективном жидкостном хроматографе «МАЭСТРО ВЭЖХ» ООО «Интерлаб» (колонка ВЭЖХ Ультра 150 мм x 3 мм; C18 5 мкм). Температура колонки поддерживалась при 30 °С. Подвижная фаза: ацетонитрил (ПФА) – 1% раствор уксусной кислоты (ПФБ), скорость элюирования – 1 мл/мин. Профиль градиента представлен в таблице 1.

Таблица 1. Профиль градиента хроматографического разделения

Время, мин	ПФА, %	ПФБ, %	Режим
0-3	15	85	Изократический
3-12	15 → 20,4	85 → 79,6	Линейный градиент
12-22	20,4 → 40,0	79,6 → 60	Линейный градиент
22-25	40,0 → 80,0	80,0 → 20,0	Линейный градиент
25-35	80	20	Изократический

УФ-детектирование проводилось при длине волны 340 нм, диапазон чувствительности 0,5.

В качестве стандартов использованы три доминирующих флавоноида (апигенин, космосин и цинарозид), выделенные из травы тысячелистника с помощью колоночной хроматографии на силикагеле в условиях градиентного элюирования смесями растворителей хлороформ-этанол в различных соотношениях и идентифицированные с помощью УФ, ¹H-ЯМР-, ¹³C-ЯМР-спектроскопии.

Результаты исследования и их обсуждение. При ВЭЖХ-анализе извлечения травы тысячелистника в указанных условиях хроматографирования идентифицированы хлорогеновая кислота, цинарозид, космосин, апигенин и лютеолин. Кроме того, в водно-спиртовом извлечении травы тысячелистника благородного выявлено наличие кофейной кислоты. Время удерживания пиков представлены в таблице 2.

Таблица 2. Время удерживания пиков на хроматограммах извлечений и стандартных образцов

Флавоноид	Время удерживания на хроматограмме, мин			
	Стандартные образцы	Трава тысячелистника обыкновенного	Трава тысячелистника хрящеватого	Трава тысячелистника благородного
Хлорогеновая кислота (1)	1.35	1.34	1.32	1.18
Кофейная кислота (2)	-	-	-	2,19
Цинарозид (2)	5.55	5.48	5.29	4.99
Космосиин (3)	9.02	9.01	9.07	8.89
Лютеолин (4)	16.01	16.05	16.09	16.03
Апигенин (5)	19.04	19.15	19.07	19.07

Выводы.

1. При ВЭЖХ-анализе извлечения травы тысячелистника в указанных условиях хроматографирования идентифицированы хлорогеновая кислота, цинарозид, космосиин, апигенин и лютеолин. Кроме того, в водно-спиртовом извлечении травы тысячелистника благородного выявлено наличие кофейной кислоты.

2. Среди перечисленных флавоноидов наиболее доминирующим и диагностически значимым является флавоноид космосиин (7-О-β-D-глюкопиранозид апигенина), который будет использован в дальнейших исследованиях с целью разработки методики количественного определения методом ВЭЖХ.

Список литературы

1. Государственная фармакопея Российской Федерации XIV издания. <https://femb.ru/record/pharmacopea14>. Ссылка активна на 01.07.2022
2. Васькова А.И., Куркин В.А. Актуальные аспекты качественного и количественного анализа тысячелистника обыкновенного (*Achillea millefolium* L.) Аспирантский вестник Поволжья. 2022;22(4):40-46. DOI: 10.55531/2072-2354.2022.22.4.40-46
3. Васькова А.И., Куркин В.А. Разработка подходов к стандартизации травы тысячелистника обыкновенного. Фармация. 2022;71(4):12-18.

^{1,2}ЕГОРОВА И.Н., ¹КОЛМОГОРОВА Е.Ю.
**СОДЕРЖАНИЕ ГИДРОКСИКОРИЧНЫХ КИСЛОТ В ЛИСТЬЯХ
БЕРЕЗЫ, ПРОИЗРАСТАЮЩЕЙ НА ТЕРРИТОРИИ КУЗБАССА**

^{1,2}Федеральный исследовательский центр угля и углехимии
Сибирского отделения Российской академии наук, г. Кемерово

²Кемеровский государственный медицинский университет,
г. Кемерово

e-mail: nir_kem@mail.ru

^{1,2}EGOROVA I.N., ¹KOLMOGOROVA E.Y.
**THE CONTENT OF HYDROXYCORIC ACIDS IN BIRCH
LEAVES GROWING IN THE TERRITORY OF KUZBASS**

^{1,2}The Federal Research Center of Coal and Coal Chemistry of Siberian
Branch of the Russian Academy of Sciences, Kemerovo

²Kemerovo State Medical University, Kemerovo

e-mail: nir_kem@mail.ru

Аннотация: Представлены данные по содержанию гидроксикоричных кислот в листьях березы, произрастающей на территории с различной антропогенной нагрузкой. Было установлено, что на породных угольных отвалах их содержание в листьях березы составило в среднем 2,21% , а на контрольном участке – 2,05 %.

Ключевые слова: гидроксикоричные кислоты, лекарственное растительное сырье, листья, *Betula L.*, Кузбасс.

Abstract: The article presents data on the content of hydroxycinnamic acids in birch leaves growing on the territory with various anthropogenic loads. It was found that on rocky coal dumps their content in birch leaves averaged 2.21%, and in the control area - 2.05%.

Keywords: hydroxycinnamic acids, medicinal plant raw materials, leaves, *Betula L.*, Kuzbass.

На территории Кемеровской области-Кузбасса, произрастает несколько видов берёзы: береза круглолистная (*Betula nana ssp. rotundifolia* (Spach) Malysch.), растущая преимущественно в высокогорьях; береза низкая (*Betula humilis subsp. montana* M.Schemberg.), встречающаяся по заболоченным местам в лесном и подгольцевом поясах; береза ложномиддендорфа (*Betula middendorffli* Traut. et C.A.Meyer.), произрастающая в подгольцевом поясе в редколесье; берёза повислая или бородавчатая (*Betula pendula* Roth., *Betula verrucosa* Ehrh.), одна из лесообразующих пород области; береза пушистая или белая (*Betula pubescens* Ehrh., *Betula alba* L.), встречается по всей области; берёза извилистая (*Betula tortuosa* Ledeb.), выявлена в подгольцевом поясе Кузнецкого нагорья [4].

Эти лиственные деревья являются не только лесообразующими породами, но и широко используются в озеленении парков и скверов городов и поселков области, так как обладают высокой устойчивостью к условиям городской среды. Наиболее широко распространена береза повислая [4].

Выступает береза и пионером естественного лесовозобновления на породных отвалах угольных разрезов. Поэтому ее используют при проведении рекультивационных работ на нарушенных угледобычей землях [1-3].

Кроме того, она является великолепным объектом для проведения различных мониторинговых исследований в области экологии [2].

Нельзя забывать, что береза является и ценным лекарственным видом. Она служит источником для заготовки такого лекарственного растительного сырья, как листья.

Листья березы, широко используются как в научной, так и в народной медицине. Богатый химический состав позволяет использовать их в качестве антимикробного, противовоспалительного, диуретического, витаминного средства [1].

Запасы сырья в области позволяют проводить заготовку в промышленном масштабе. Кроме естественных мест произрастания для заготовки сырья можно использовать и породные отвалы. Проведенные ранее исследования по изучению эколого-гигиенических показателей качества листьев березы, позволяют заключить, что данное сырье выдерживает все требования предъявляемое к лекарственному растительному сырью [1,3]. Известно, что листья березы содержат в своем составе гидроксикоричные кислоты, однако информации по этому вопросу не так много.

Цель исследования - количественное определение гидроксикоричных кислот в листьях березы, произрастающей на территории Кемеровской области-Кузбасса с различной антропогенной нагрузкой.

Материалы и методы исследования. Объектом исследования являлись листья березы, собранные в июне-июле 2021 года с двух участков. 1 участок (опытный) – территория породного отвала «Южный» Кедровского угольного разреза; 2 участок (условно чистый) – на территории Топкинского района, в окрестностях с. Старые Топки, березовые леса. Сбор сырья осуществлялся в первой половине дня, в сухую солнечную погоду. Собирали листья без видимых признаков повреждения. Сушку растительного сырья осуществляли воздушно-теневым способом. Высушенное сырье хранили в бумажных пакетах. Измельчали образцы для исследования непосредственно перед их проведением с помощью универсальной мельницы VLM-6. Влажность сырья определяли согласно требованиям ГФ Х1.

Количественное определение гидроксикоричных кислот проводили спектрофотометрическим методом с использованием спектрофотометра SS-1207 «Leki». За основу была взята методика, представленная Н.С. Фурса с соавторами [5]. Определение проводили при длине волны 325 нм в кювете с длиной рабочего слоя 10 мм. Сумму гидроксикоричных кислот рассчитывали в пересчете на хлорогеновую кислоту. Раствор сравнения 70% этиловый спирт.

Исследование проводилось в трехкратной повторности. Полученные результаты исследования подверглись статистической обработке с применением пакета MS Excel.

Результаты исследования и их обсуждение. Результаты проведенных исследований представлены в таблице.

Таблица

Содержание гидроксикоричных кислот в листьях березы
(в %, в пересчете на абсолютно сухое сырье)

№ п.п.	Время сбора	Место сбора	
		Участок 1	Участок 2
1	июнь	2,28 ±0,03	2,13±0,02
2	июль	2,14±0,02	1,96±0,02

Полученные результаты показывают, что содержание гидроксикоричных кислот в листьях березы колеблется от 1,96 до 2,28 % (табл.). Наибольшее их количество отмечается в июне месяце. С развитием листьев происходит снижение их содержания, что отмечалось и другими исследователями [5,6].

При сравнительном анализе результатов исследованных образцов, собранных на участках с различной антропогенной нагрузкой, было установлено, что листья березы с участка 1 (породный отвал) содержат больше гидроксикоричных кислот, чем листья с участка 2 (условно экологически чистый).

Выводы. Результаты проведенного анализа показывают, что на содержание гидроксикоричных кислот в листьях березы повислой влияют фаза развития и антропогенная нагрузка на территории произрастания.

Содержание гидроксикоричных кислот в листьях березы с породного отвала «Кедровского разреза» (уч.1) составила в среднем 2,21%, с условно экологически чистого участка (уч.2) – 2,05%.

Список литературы

1. Егорова И.Н., Колмогорова Е.Ю. Оценка качества и безопасности листьев *Betula pendula* Roth., заготовленных в условиях породного отвала угольного разреза «Кедровский» в Кузбассе // Современные проблемы науки и образования. 2015. № 2-1. С. 550.

2. Колмогорова Е.Ю. Морфофизиологическая оценка состояния березы повислой (*Betula pendula* Roth.), произрастающей в условиях породного отвала Кедровского угольного разреза // Вестник КрасГАУ. 2017. № 6 (129). С. 135-140.

3. Неверова О.А., Егорова И.Н. Оценка радионуклидного загрязнения листьев *Betula pendula* Roth. в условиях породного отвала угольного разреза «Кедровский» // Наука и хозяйство. 2014. № 3. С. 52-55.

4. Определитель растений Кемеровской области / Отв. ред. И.М. Красноборов. Новосибирск. 2001. С. 83-84.

5. Фурса Н.С., Коротаева М.С., Шелюто В.Л., Кузьмичева Н.А. Содержание фенольных соединений в надземных и подземных органах багульника болотного, произрастающего в некоторых областях Белоруссии // Вестник фармации. 2005. № 3 (29). С. 26-36.

6. Ханина М.А., Гусельникова Е.Н., Родин А.П., Лигостаева Ю.В. Загрязнение окружающей среды и биологически активные вещества листьев березы. // Journal of Siberian Medical Sciences. 2015;(6):9.

Работа выполнена в рамках государственного задания АААА-А21-121011590010-5 «Разработка научных основ оценки состояния и восстановления флористического разнообразия in situ и ex situ в регионах с высокой степенью деградации экосистем в результате антропогенного и техногенного воздействий».

^{1,2}ЕГОРОВА И.Н., ¹КРУГЛАЯ К.А.

**ОЦЕНКА СОДЕРЖАНИЯ СУММЫ ФЕНОЛЬНЫХ
СОЕДИНЕНИЙ В НЕКОТОРЫХ ВЕГЕТАТИВНЫХ И
ГЕНЕРАТИВНЫХ ОРГАНАХ *SORBUS SIBIRICA* HEDL.
ПРОИЗРАСТАЮЩЕЙ НА ТЕРРИТОРИИ КУЗБАССА**

¹Федеральный исследовательский центр угля и углехимии
Сибирского отделения Российской академии наук, г. Кемерово

²Кемеровский государственный медицинский университет,
г. Кемерово

e-mail: nir_kem@mail.ru

^{1,2}EGOROVA I.N., ¹KRUGLAY K.A.,

**ASSESSMENT OF THE AMOUNT OF PHENOLIC COMPOUNDS
IN SOME VEGETATIVE AND GENERATIVE ORGANS OF *SORBUS
SIBIRICA* HEDL. GROWING ON THE TERRITORY OF KUZBASS**

^{1,2}The Federal Research Center of Coal and Coal Chemistry of Siberian
Branch of the Russian Academy of Sciences, Kemerovo

²Kemerovo State Medical University, Kemerovo

e-mail: nir_kem@mail.ru

Аннотация: В работе представлены результаты оценки содержания суммы фенольных соединений в некоторых генеративных (бутоны, цветки, плоды) и вегетативных (стебли побегов) органах рябины сибирской. Исследования показало перспективность использования данных органов рябины в качестве растительного сырья для получения БАВ. Наибольшее количество фенольных соединений выявлено в бутонах рябины (61,02%), наименьшее в плодах (30,33%).

Ключевые слова: *Sorbus sibirica* Hedl., фенольные соединения, бутоны, цветы, плоды, стебли побегов.

Abstract: The paper presents the results of assessing the amount of phenolic compounds in some generative (buds, flowers, fruits) and vegetative (stems of shoots) organs of Siberian mountain ash. Studies have shown the prospects of using these rowan organs as plant raw materials for the production of BAS. The largest number of phenolic compounds was found in rowan buds (61,02%), the smallest in fruits (30,33%).

Keywords: *Sorbus Sibirica* Hedl., phenolic compounds, buds, flowers, fruits, stems of shoots.

Введение. *Sorbus sibirica* Hedl, широко распространена на территории Кемеровской области. Встречается в лесах, по берегам рек и ручьев [5]. Введена в культуру. Используется в озеленении городов из-за своих декоративных качеств и при рекультивации породных отвалов угольных разрезов области за счет устойчивости к антропогенным воздействиям [2].

Кроме того, рябина сибирская, является источником ценного лекарственного растительного сырья - плодов. Плоды рябины богаты витамин С, флавоноидами, органическими кислотами, сахарами, дубильными веществами, аминокислотами (цистин, цистеин, лизин, гистидин и т.д.), солями калия, натрия, кальция, магния и др. Рябину издавна используют как в народной, так и в традиционной медицине [2, 3].

Однако в последние годы у исследователей вызывает интерес изучение ее вегетативных и генеративных органов, т.к. в них содержание БАВ бывает выше, чем в плодах [3]. Поэтому представляло интерес изучить накопление фенольных соединений в некоторых вегетативных и генеративных побегах рябины сибирской, произрастающей на территории Кемеровской области, для расширения сырьевой базы лекарственного растительного сырья.

Цель исследования - оценка содержания суммы фенольных соединений в некоторых вегетативных и генеративных органах рябины сибирской (*Sorbus sibirica* Hedl.), произрастающей на территории Топкинского района Кузбасса.

Материалы и методы. Объектом исследования являлись вегетативные (стебли побегов) и генеративные (бутоны, цветы, плоды) органы *Sorbus sibirica* Hedl., собранные с мая по август 2021 года в окрестностях с. Старые Топки Топкинского района Кузбасса.

Собранные образцы сырья подвергались естественной сушке. Для проведения анализа образцы измельчали в мельнице VLM-6, до размера частиц - 5 мм.

Количественное содержание суммы фенольных соединений определяли спектрофотометрическим методом [4] с использованием спектрофотометра SS-1207 «Leki».

Расчет суммы фенольных соединений в процентах (X) в пересчете на галловую кислоту в абсолютно сухом сырье вычисляли по формуле:

$$X = \frac{D * V_1 * V_2 * 100}{V_3 * m * (100 - W) * E_{1\text{см}}^{1\%}}$$

D – оптическая плотность исследуемого раствора;

V₁ – объем экстракта, мл (50 мл);

V₂ – объем раствора для спектрофотометрирования, мл (10 мл);

V₃ – объем экстракта, взятый для определения, мл (0.2 мл);

E_{1см}^{1%} – удельный показатель поглощения галловой кислоты в комплексе с реактивом Фолина-Чокальтео при длине волны 720 нм, равный 90;

m – масса сырья в граммах;

W – потеря в массе при высушивании сырья в процентах [4].

Анализ проводили в трехкратной повторности. Полученные результаты статистически обрабатывались с применением программ STATISTICA и Microsoft Excel.

Результаты и их обсуждение. Результаты исследования представлены в таблице.

Таблица

Результаты определения суммы фенольных соединений в некоторых генеративных и вегетативных органах рябины сибирской (в %, в пересчете на абсолютно сухое сырье)

№ п.п.	Объект	Дата сбора	Σ фенольных соединений,%
1.	бутоны	17.05.2021	61,02 ± 0,10
2.	цветы	31.05.2021	59,65 ± 0,08
3.	плоды	05.09.2021	30,33 ± 0,06
4.	стебли побега	05.09.2021	47,40 ± 0,05

Как видно из полученных данных (табл.) и вегетативные, и генеративные органы рябины отличаются довольно высоким содержанием фенольных соединений. Их накапливается от 30,33 до 61,02 %. Лидирующее место по количеству фенольных соединений занимают бутоны рябины – 61,02%. Вероятнее всего это связано с тем, что они играют важную роль в защитных реакциях растений, особенно во время формирования их генеративных органов [1].

Наименьшее количество выявлено в плодах. Их содержание составило 30,33%, что в 2 раза меньше, чем в бутонах.

Исходя из полученных результатов исследований можно составить следующую градацию по увеличению содержания суммы фенольных соединений в исследуемых органах рябины сибирской: плоды < стебли побегов < цветы < бутоны.

Выводы. Проведённая оценка содержания суммы фенольных соединений в некоторых генеративных (бутоны, цветки, плоды) и вегетативных (стебли побегов) органах рябины сибирской показала перспективность их использования в качестве растительного сырья для получения БАВ.

Наибольшее количество фенольных соединений выявлено в бутонах рябины (61,02%), наименьшее в плодах (30,33%).

Список литературы

1. Запрометов М. Н. Фенольные соединения растений биосинтез, превращения и функции в физиологии растений. М.: Наука. 1985. 286 с.
2. Егорова И.Н., Неверова О.А., Григорьева Т.И. Оценка радионуклидного загрязнения плодов *Sorbus sibirica* Hedl. в условиях в условиях породного отвала угольного разреза «Кедровский» // Современные проблемы науки и образования. 2015. № 3. С. 592.
3. Колесников С.А. Биохимический состав вегетативных органов рябины (*Sorbus L.*) в средней полосе России // Научные ведомости. Серия Естественные науки. 2012. № 21 (140). Выпуск 21/1. С.29-33.

4. Методы биохимического исследования растений / под ред. А. И. Ермакова. Л.: Агро-промиздат. 1987. 430 с.

5. Определитель растений Кемеровской области / Отв. ред. И.М. Красноборов. Новосибирск. 2001. С. 83-84.

Работа выполнена в рамках государственного задания АААА-А21-121011590010-5 «Разработка научных основ оценки состояния и восстановления флористического разнообразия in situ и ex situ в регионах с высокой степенью деградации экосистем в результате антропогенного и техногенного воздействий».

¹КАЗАКОВА М.А., ¹КУРКИН В.А.

АКТУАЛЬНЫЕ ПРОБЛЕМЫ СТАНДАРТИЗАЦИИ МЯТЫ ПЕРЕЧНОЙ

¹Федеральное государственное бюджетное образовательное учреждение высшего образования «Самарский государственный медицинский университет» Министерства здравоохранения Российской Федерации, г. Самара

e-mail: m.a.kazakova@samsmu.ru

¹KAZAKOVA M.A., ¹KURKIN V.A.

ACTUAL PROBLEMS OF STANDARDIZATION OF MENTHA PIPERITA LEAVES

¹Federal State Budgetary Educational Institution of Higher Education «Samara State Medical University» of the Ministry of Healthcare of the Russian Federation, Samara

e-mail: m.a.kazakova@samsmu.ru

Аннотация. Целью настоящего исследования являлось определение веществ, влияющих на спектральные характеристики водно-спиртового извлечения из листьев мяты перечной. По спектральным характеристикам было установлено, что диагностически значимыми веществами являются фенилпропаноиды. Полученные результаты позволяют сделать вывод о необходимости совершенствования методологии стандартизации исследуемого лекарственного растительного сырья.

Ключевые слова: Мята перечная, *Mentha piperita* L., листья, флавоноиды, фенилпропаноиды, стандартизация.

Abstract. The purpose of this study was to determine the substances that affect the spectral characteristics of water-alcohol extraction from peppermint leaves. According to the spectral characteristics, it was found that the diagnostically significant substances are phenylpropanoids. The results obtained

allow us to conclude that it is necessary to improve the methodology of standardization of the studied medicinal plant raw materials.

Keywords: Peppermint, *Mentha piperita* L., leaves, flavonoids, phenylpropanoids, standardization.

Цель исследования. Одним из ценных источников биологически активных веществ (БАВ) являются листья мяты перечной (*Mentha piperita* L.) семейства Яснотковые (Губоцветные) - *Lamiaceae*. Известно, что листья мяты перечной содержат эфирное масло, основным компонентом которого является моноциклический монотерпен ментол, а также другие терпеноиды. В качестве второй группы БАВ выделяют флавоноиды, которые обуславливают фармакологические свойства извлечений из лекарственного растительного сырья (ЛРС) [4]. Для определения подлинности листьев мяты перечной в Государственной фармакопее Российской Федерации XIV издания (ФС.2.5.0029.15) применяется метод ТСХ в присутствии СО ментола и тимола. В разделе «Количественное определение» предусмотрена оценка содержания эфирного масла и суммы флавоноидов в пересчете на лютеолин [2].

При обзоре иностранной литературы нами были выявлены некоторые несоответствия данных, содержащихся в Европейской фармакопее. Так, в фармакопейной статье на листья мяты перечной для стандартизации используется количественное определение эфирного масла, тогда как сумма флавоноидов не определяется [3]. Однако в случае экстракта сухого из листьев мяты перечной методом ВЭЖХ определяют содержание розмариновой кислоты [3]. Кроме того, нами найдены данные о перспективности определения суммы фенилпропаноидов в пересчете на розмариновую кислоту [5]. Это позволяет сделать вывод о необходимости актуализации информации, содержащейся в ГФ России XIV издания в ФС «Мяты перечной листья», и совершенствования методики анализа определения суммы фенилпропаноидов в исследуемом ЛРС.

Цель настоящего исследования - исследование спектральных и хроматографических характеристик водно-спиртового извлечения из листьев мяты перечной, а также растворов фенилпропаноидов, содержащихся в данном сырье.

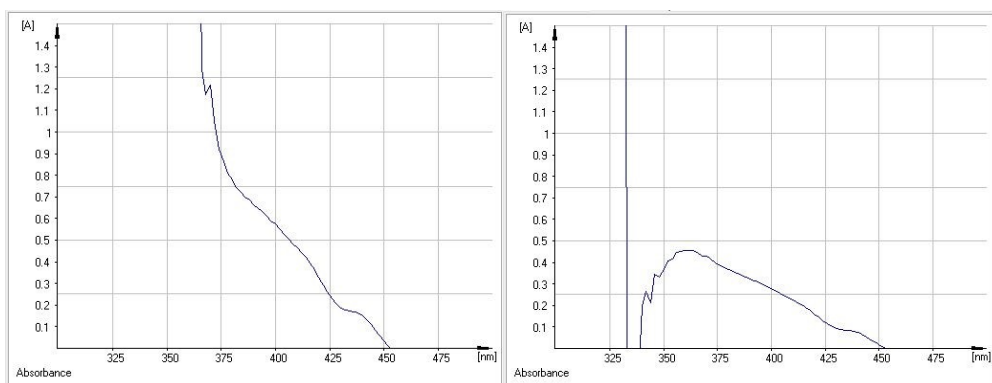
Материалы и методы. Материалом исследования являлось измельченное лекарственное растительное сырье листьев мяты перечной (АО Красnogорсклектравы, Рег.№ ЛП-003986), приобретенное в аптечной сети г. Самары. Для проведения анализа получали водно-спиртовые извлечения исследуемого растительного сырья, используя спирт этиловый 70% концентрации. При проведении методики количественного анализа использовали 3 % спиртовой раствор алюминия хлорида.

В настоящей работе использованы стандартные образцы (СО) лютеолина, цинарозида, хлорогеновой кислоты, а также розмариновая

кислота и сальвианоловая кислота В, выделенные с использованием метода колоночной хроматографии на силикагеле с последующей многократной рехроматографией полученных фракций на полиамиде и силикагеле.

В качестве метода исследования использовали спектрофотометрию, проведенную по ОФС.1.2.1.1.0003.15 «Спектрофотометрия в ультрафиолетовой и видимой областях». Спектральные характеристики водно-спиртовых извлечений оценивали на спектрофотометре «Specord 40» (Analytik Jena AG, Германия) в кюветах с толщиной слоя 10 мм. Также нами использовался метод тонкослойной хроматографии на пластинках Sorbfil ПТСХ-АФ-А-УФ и системе растворителей хлороформ – этанол – вода (26 : 16 : 3) *n*-бутанол – уксусная кислота – вода (4 : 1 : 2).

Результаты и обсуждение. В соответствии с ГФ РФ XIV издания (ФС.2.5.0029.15) используется определение в условиях дифференциальной спектрофотометрии при длине волны 400 нм, на наш взгляд, этот подход не совсем удачен, так как измерение оптической плотности происходит не в максимуме поглощения, а в области «плеча» УФ-спектра (рис. 1. А). При выполнении настоящей работы было произведено разведение испытуемого раствора, что позволило обнаружить, что максимум поглощения находится при длине волны 376 нм, что характерно для гидроксикоричных кислот, в частности, хлорогеновой кислоты [1] (рис. 1. Б). Далее нами были изучены спектры исходного извлечения и фракций, полученные методом колоночной хроматографии на силикагеле и многократной рехроматографией на полиамиде и силикагеле. При проведении настоящей работы было установлено, что вещества в полученных фракциях близки по спектральным характеристикам к хлорогеновой кислоте, розмариновой кислоте, сальвианоловой кислоте В и во многом определяют характер кривой поглощения водно-спиртового извлечения из листьев мяты перечной (рис. 2). Принимая во внимание тот факт, что в соответствии с Европейской фармакопеей для определения качества сухого экстракта из мяты перечной используется определение содержания розмариновой кислоты методом ВЭЖХ [3], представляется целесообразным проведение оценки качества изучаемого сырья по сумме фенилпропаноидов в пересчете на розмариновую кислоту методом спектрофотометрии.



А

Б

Рис. 1. А - Электронный дифференциальный спектр раствора водно-спиртового извлечения листьев мяты перечной в присутствии алюминия хлорида в соответствии с ФС.2.5.0029.15. Б - Электронный дифференциальный спектр разбавленного исходного раствора водно-спиртового извлечения листьев мяты перечной в присутствии алюминия хлорида (разведение 1:5).

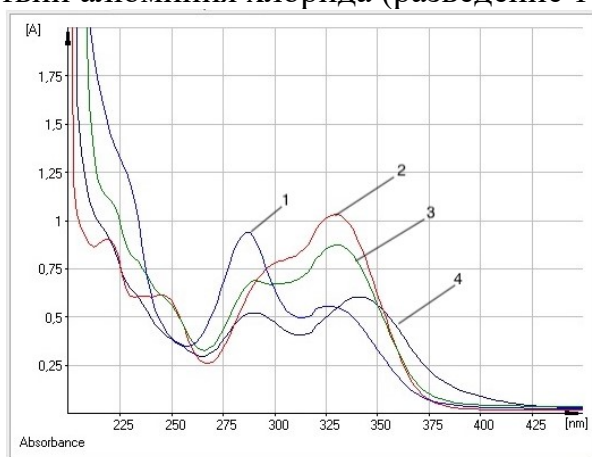


Рис. 2. Электронные спектры раствора сальвианоловой кислоты В (1), раствора стандартного образца хлорогеновой кислоты (2), раствора розмариновой кислоты (3) и раствора водно-спиртового извлечения листьев мяты перечной (4).

На наш взгляд, при проведении тонкослойной хроматографии в ФС «Мяты перечной листья» использование СО тимола нецелесообразно, так как для подтверждения подлинности достаточно определения ментола, как важнейшего диагностически значимого компонента данного сырья.

Наряду с изучением УФ-спектров исследуемого раствора и выделенными фенилпропаноидами нами была выполнена серия тонкослойных хроматографий (рис. 3 и 4). Из представленных результатов видно, что разделение исходного извлечения происходит более полно в системе хлороформ– этанол – вода (26 : 16 : 3), что позволяет наблюдать флуоресценцию пятен веществ, соответствующих вышеперечисленным гидроксикоричным кислотам (рис. 4). При этом доминирующим флавоноидом водно-спиртового извлечения является розмариновая кислота (рис. 4). В связи с этим представляется актуальным, на наш взгляд, при определении подлинности листьев мяты перечной (ФС.2.5.0029.15 раздел

«Определение основных групп биологически активных веществ») в методе ТСХ использовать СО розмариновой кислоты.

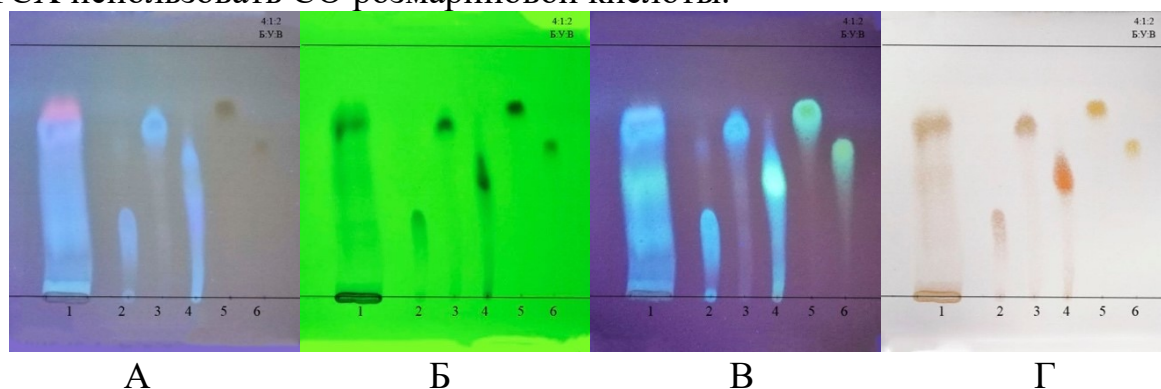


Рис. 3. Хроматограмма анализа водно-спиртового извлечения листьев мяты перечной в системе растворителей *n*-бутанол – уксусная кислота – вода (4 : 1 : 2). Обозначения: А - детекция в УФ-свете до проявления при длине волны 366 нм, Б - детекция в УФ-свете до проявления при длине волны 254 нм, В - детекция в УФ- свете при длине волны 366 нм после обработки спиртовым раствором $AlCl_3$, Г - детекция после обработки раствором ДСК, 1 - настойка листьев мяты перечной; 2 – хлорогеновая кислота; 3 – розмариновая кислота; 4 – сальвианоловая кислота; 5 – лютеолин, 6 – цинарозид.

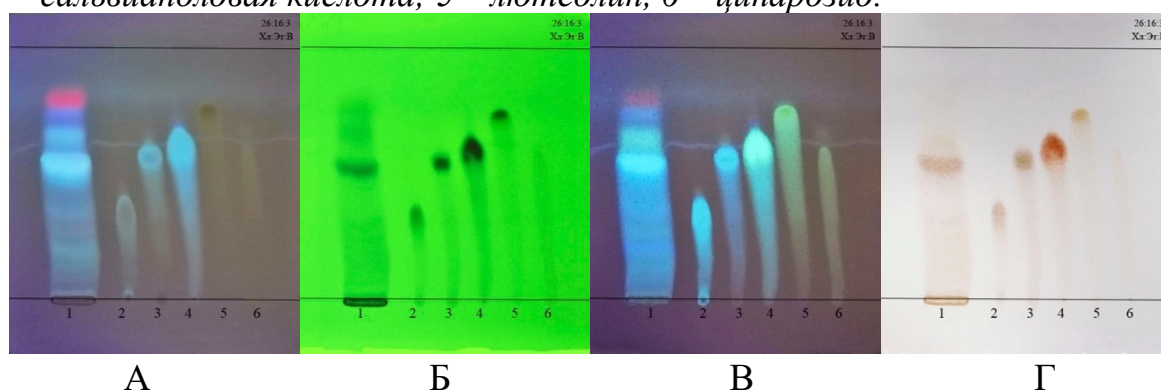


Рис. 4. Хроматограмма анализа водно-спиртового извлечения листьев мяты перечной в системе растворителей хлороформ – этанол – вода (26 : 16 : 3). Обозначения: А - детекция в УФ-свете до проявления при длине волны 366 нм, Б - детекция в УФ-свете до проявления при длине волны 254 нм, В - детекция в УФ- свете при длине волны 366 нм после обработки спиртовым раствором $AlCl_3$, Г - детекция после обработки раствором ДСК, 1 - настойка листьев мяты перечной; 2 – хлорогеновая кислота; 3 – розмариновая кислота; 4 – сальвианоловая кислота; 5 – лютеолин, 6 – цинарозид.

Выводы. Таким образом, результаты проведенных исследований свидетельствуют о необходимости совершенствования разделов «Подлинность» и «Количественное определение» в ФС «Мяты перечной листья». Для определения подлинности мяты перечной целесообразно использовать в методе ТСХ СО розмариновой кислоты и ментола. Актуальным также является стандартизация листьев мяты перечной по

содержанию суммы фенилпропаноидов в пересчете на розмариновую кислоту.

Список литературы

1. Азнагулова А.В. Фармакогностическое исследование одуванчика лекарственного (*Taraxacum officinale* wigg.): дис. ... канд. фармацевт. наук. Самара, 2016 г.
2. Государственная фармакопея Российской Федерации XIV издания Том VI / Министерство здравоохранения Российской Федерации. <https://docs.rucml.ru/feml/pharma/v14/vol4/1102/#zoom=z>
3. Европейская фармакопея VIII издания Том I. http://www.fptl.ru/biblioteka/farmakopei/evropeyskaya_farmakopeya_8_vol-1.pdf
4. Куркин В.А. Фармакогнозия: учебник для студентов фармацевтических вузов (факультетов), 5-е изд. перераб. и доп. - Самара: ООО «Полиграфическое объединение «Стандарт»», ФГБОУ ВО СамГМУ Минздрава России, 2020. 1278 с.
5. Gudzenko A. Development and validation of a method for the determination of rosmarinic acid in *Mentha piperita* L. using solid-phase extraction and RP-HPLC with photodiode array detection // Journal of Chemical and Pharmaceutical Research, 2013, 5(9): 40-45.

КУРКИН В.А., АНДРЕЕВА Ю.А., СТЕНЯЕВА В.В., ВАРИНА Н.Р.,
ЕГОРОВ М.В.

**ИЗУЧЕНИЕ ХИМИЧЕСКОГО СОСТАВА ЛИСТЬЕВ
БОЯРЫШНИКА ВЕЕРОВИДНОГО**

Самарский государственный медицинский университет, г. Самара
e-mail: andreevaaya@yandex

KURKIN V.A., ANDREEVA Y.A., STENYAEVA V.V., VARINA N.R.,
EGOROV M.V.

**STUDY OF THE CHEMICAL COMPOSITION OF THE LEAVES
OF THE CRATAEGUS FLABELLATA (BOSC EX SPACH) K.KOCH**

Samara State Medical University, Samara
e-mail: andreeva@yandex

Аннотация: *Crataegus flabellata* (Bosc ex Spach) K.Koch является перспективным лекарственным растением. Анализ извлечений из листьев *Crataegus flabellata*, проведенный методами тонкослойной хроматографии и хроматоспектрофотометрии показал, что доминирующими веществами являются соединения фенольной природы, предположительно флавоноиды.

Ключевые слова: *Crataegus flabellata* (Bosc ex Spach) K.Koch, листья, тонкослойная хроматография, спектрофотометрия.

Abstract: *Crataegus flabellata* (Bosc ex Spach) K.Koch is a promising medicinal plant. The analysis of extracts from the leaves of *Crataegus flabellata* carried out by thin-layer chromatography and chromatospetrophotry showed that the dominant substances are compounds of phenolic nature, presumably flavonoids.

Keywords: *Crataegus flabellata* (Bosc ex Spach) K.Koch, leaves, thin-layer chromatography, spectrophotometry.

Введение. Различные виды боярышника (*Crataegus* L., сем. Розоцветные – *Rosaceae*) широко распространены в природе и применяются в качестве лекарственных растений во многих странах [1, 2]. В Российской Федерации используются цветки и плоды двенадцати видов боярышника, однако в достаточном для заготовки количествах присутствуют лишь боярышник кроваво-красный (*Crataegus sanguinea* Pall.) и боярышник однопестичный (*Crataegus monogyna* Jacq.). Расширение сырьевой базы для заготовки сырья боярышника возможно за счет использования культивируемых видов. К их числу относятся боярышник вееровидный (*Crataegus flabellata* (Bosc ex Spach) K.Koch) [4]. Этот вид относится к флоре Северной Америки и давно культивируются в РФ в качестве пищевого и декоративного растения.

Кроме того, одним из возможных видов сырья боярышника для заготовки могут являться листья [3]. Листья с цветками боярышника,

например, используются для получения популярного в РФ препарата «Ново-Пассит». Работа по созданию отечественных эффективных лекарственных средств начинается с изучения химического состава лекарственного растительного сырья. Ведущей группой биологически активных соединений сырья боярышника являются флавоноиды. Ранее нами было показано, что химический состав листьев различных видов рода *Crataegus* L. имеет существенные отличия [3].


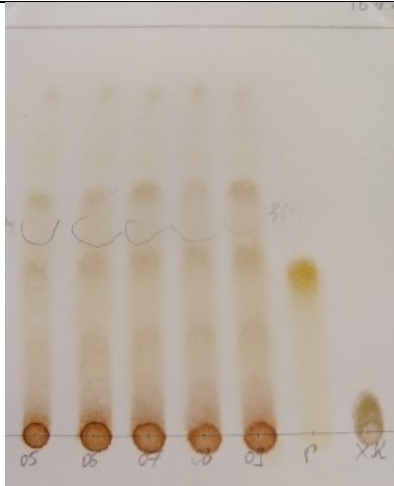
Цель исследования. Целью нашего исследования явилось исследование листьев боярышника вееролистного методом тонкослойной хроматографии.

Материалы и методы исследования. Листья боярышника вееролистного были заготовлены в Ботаническом саду Самарского университета в период вегетации с мая по сентябрь 2022 года. Все листья были высушены на воздухе без доступа прямых солнечных лучей и использованы для проведения эксперимента.

Все собранные образцы после измельчения были проэкстрагированы с помощью 70% этилового спирта в соотношении «сырье-экстрагент» 1:10 с применением настаивания на кипящей водяной бане. Полученные извлечения были использованы для проведения тонкослойной хроматографии в системе растворителей: хлороформ-этиловый спирт-вода в соотношении 26:16:2. После хроматографирования пластинку просматривали в видимом свете и Уф- свете при длине волны 366 и 254 нм. Также пластинку проявляли раствором алюминия хлорида и раствором диазотированной сульфаниловой кислоты. После чего снова просматривали в УФ-свете при длине волны 366 нм и в видимом свете.

Затем извлечение из листьев боярышника вееролистного, собранного в мае, наносили полосой на другую хроматографическую пластинку. Полосы, видимые в УФ-свете при длине волны 366 нм были вырезаны и помещены в 5 мл спирта этилового для экстракции. После чего полученное извлечение было исследовано методом спектрофотометрии. На всех полученных кривых поглощения были обнаружены максимумы. Для исследований были использованы пластинки «Сорбфил-ПТСХ-АФ-Ф-УФ» для тонкослойной хроматографии.

Результаты исследования и их обсуждение. На полученных хроматограммах можно заметить, что извлечение из листьев, собранных в мае, существенно отличается от извлечений из листьев, собранные в другие месяцы. Характерным является то обстоятельство, что в листьях боярышника вееролистного не обнаруживается флавоноид гиперозид в значительных количествах. При этом во всех образцах можно заметить наличие хлорогеновой кислоты.

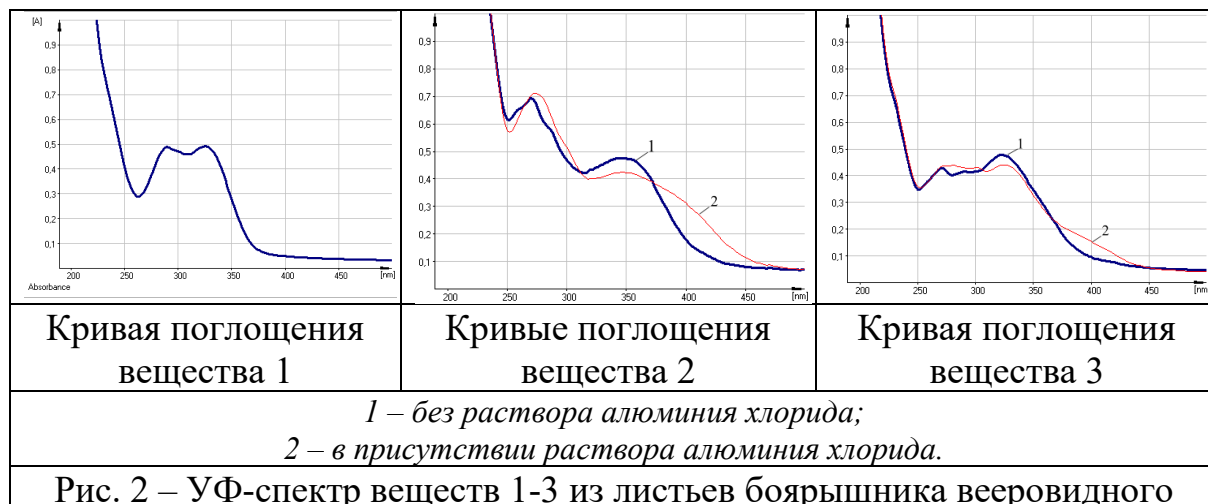
		Обозначения: 1 – образец листьев, собранных в мае; 2 – образец листьев, собранных в июне; 3 – образец листьев, собранных в июле; 4 – образец листьев, собранных в августе; 5 – образец листьев, собранных в сентябре; 6 – раствор СО гиперозида; 7 – раствор СО хлорогеновой кислоты.
<i>Проявление раствором алюминия хлорида и просматривание в УФ-свете при длине волны 366 нм</i>	<i>Проявление раствором диазотированной сульфаниловой кислоты и просматривание при видимом свете</i>	
Рис. 1 – Результаты тонкослойной хроматографии листьев боярышника вееролистного		

Вещества листьев боярышника вееролистного, доминирующие на хроматограммах были исследованы с помощью хроматоспектрофотометрии (табл. 1).

Таблица 1

Описание пятен веществ из листьев боярышника вееролистного

№ п/п	R _f пятна на хроматограмме	Проявление пятна в УФ-свете при длине 366 нм
1	0,18	голубая люминесценция
2	0,39	бледно-зеленоватая люминесценция
3	0,57	светлая желтовато-зеленая люминесценция



Анализ, выполненный методом хроматоспектрофотометрии показал, что вещество 1 имеет максимумы 290 и 330, вещество 2 имеет максимумы 270 и 350, 3 имеет максимум 330 и 392 (в присутствии раствора хлорида алюминия). Причем вещества 2 и 3 являются флавоноидами. На это указывает наличие батохромного сдвига при проведении спектрофотометрии с применением раствора хлорида алюминия.

Выводы. Анализируя результаты, можно предположить, что все доминирующие вещества листьев боярышника вееролистного относятся к соединениям фенольной природы, предположительно флавоноидам. Листья боярышника вееролистного, собранные в мае, отличаются по химическому составу от листьев, собранных в другой период вегетации растения.

Список литературы

1. Государственная фармакопея Российской Федерации. – Четырнадцатое издание. – М.: Министерство здравоохранения РФ, 2018. / URL: <http://femb.ru/femb/pharmacopea.php>
2. Киселева Т.Л., Карпеев А.А., Смирнова Ю.А., Амалицкий В.В., Сафонов В.П., Цветаева Е.В., Блинков И.Л., Коган Л.И., Чепков В.Н., Дронова М.А. Лечебные свойства пищевых растений / Под общ. Ред. Проф. Т.Л. Киселевой. – М.: Изда-во ФНКЭЦ ТМДЛ Росздрава, 2007. – 533 с.
3. Куркин В.А., Правдивцева О.Е., Шайхутдинов И.Х., Куркина А.В., Зайцева Е.Н., Волкова Н.А. Виды рода боярышник (*Crataegus* L.): стандартизация и создание лекарственных препаратов. Самара: ООО «Офорт», 2020. – 118 с.
4. Деревья и кустарники СССР. Т. 3, Издание Академии наук СССР Москва-Ленинград, 1954. – 872 с.
5. Растительные ресурсы России: Дикорастущие цветковые растения, их компонентный состав и биологическая активность. Т. 2. – СПб.; М.: Товарищество научных изданий КМК, 2009. - С. 191-197.

¹ПРАВДИВЦЕВА О.Е., ¹АНДРЕЕВА Ю.А., ¹КУРКИН В.А.,
²ЖАВКИНА Т.М., ²ПОМОГАЙБИН А.В., ²РУЗАЕВА И.В.
**ИЗУЧЕНИЕ ДИНАМИКИ НАКОПЛЕНИЯ ФЛАВОНОИДОВ В
ПЛОДАХ БОЯРЫШНИКА ВЕЕРОВИДНОГО**

¹Самарский государственный медицинский университет, г. Самара

²Самарский университет, г. Самара
e-mail: andreevaaya@yandex

¹PRAVDIVTSEVA O.E., ¹KURKIN V.A., ¹ANDREEVA YU.A.,
²ZHAVKINA T.M., ²POMOGAYBIN A.V., ²RUZAEVA I.V.
**STUDY OF THE DYNAMICS OF FLAVONOID
ACCUMULATION IN THE FRUITS OF *CRATAEGUS FLABELLATA*
(BOSC EX SPACH) K.KOCH**

¹Samara State Medical University, Samara

²Samara University, Samara
e-mail: andreeva@yandex

Аннотация. Боярышник вееровидный (*Crataegus flabellata* (Bosc ex Spach) K.Koch) является перспективным лекарственным растением. Изучение динамики накопления суммы флавоноидов в пересчете на катехин в плодах боярышника вееровидного в течение периода вегетации с июня по сентябрь показал тенденцию к снижению данного показателя с $13,92 \pm 0,70\%$ до $4,36 \pm 0,22\%$.

Ключевые слова: Боярышник вееровидный, *Crataegus flabellata* (Bosc ex Spach) K.Koch, плоды, флавоноиды, спектрофотометрия.

Abstract: *Crataegus flabellata* (Bosc ex Spach) K.Koch is a promising medicinal plant. The study of the dynamics of the accumulation of the total flavonoids calculated on catechin in the fruits of *Crataegus flabellata* (Bosc ex Spach) K.Koch during the growing season from June to September showed a tendency to decrease from $13.92 \pm 0.70\%$ to $4.36 \pm 0.22\%$.

Keywords: *Crataegus flabellata* (Bosc ex Spach) K.Koch, fruits, flavonoids, spectrophotometry.

Введение. Боярышник вееровидный (*Crataegus flabellata* (Bosc ex Spach) K.Koch, сем. *Rosaceae*) в диком виде встречается на территории Северной Америки, а на территории Российской Федерации только культивируется [1, 2]. Этот вид хорошо переносит условия Средней полосы РФ, отличается быстрым ростом и морозоустойчивостью. Плоды боярышника вееровидного являются съедобными и имеют более крупные размеры по сравнению с дикорастущими для РФ видами боярышника. Как известно, в нашей стране в медицинской практике в целях заготовки сырья используются двенадцать видов боярышника, однако большинство видов боярышника в значительных количествах на территории нашей страны не

встречаются [2, 4]. Расширение заготовки возможно прежде всего за счет культивируемых видов боярышника. Поэтому изучение химического состава сырья боярышника, в частности, плодов представляется, на наш взгляд, актуально задачей. Известно, что ведущей группой действующих веществ в плодах боярышника являются флавоноиды, причем как восстановленные, так и окисленные формы [3-5]. При этом доминируют в плодах боярышника процианидины, которые представляют собой производные катехина. Ранее нами были разработаны методики анализа суммы флавоноидов в плодах боярышника [4].

Цель исследования. Целью настоящей работы являлось изучение динамики накопления суммы флавоноидов в плодах боярышника вееролистного в течение вегетационного периода.

Материалы и методы исследования. Плоды боярышника вееролистного были заготовлены на территории Ботанического сада Самарского университета в 2022 году. Сбор плодов проводился один раз в месяц в течение вегетационного периода с момента их формирования (июнь) до полного созревания (сентябрь). Все виды сырья были высушены на воздухе без доступа прямых солнечных лучей. Спирто-водные извлечения из всех видов сырья были получены по методикам, разработанным ранее для сырья боярышника кроваво-красного и боярышника мягковатого [4]. Извлечения были исследованы методом прямой спектрофотометрии для определения суммы восстановленных флавоноидов в пересчете на катехин при длине волны 282 нм. Определение суммы флавоноидов в плодах в пересчете на гиперозид проводилось методом дифференциальной спектрофотометрии с применением раствора алюминия хлорида при длине волны 412 нм.

Результаты исследования и их обсуждение. Содержание суммы процианидинов в пересчете на катехин, а также окисленных флавоноидов в пересчете на гиперозид отражены в таблице 1.

Таблица 1

Динамика высушенных плодов боярышника вееролистного

№ п/п	Месяц сбора	Содержание суммы флавоноидов в пересчете на катехин, %	Содержание суммы флавоноидов в пересчете на гиперозид, %
1.	Июнь	13,92 ± 0,70%	0,73 ± 0,04%
2.	Июль	4,62 ± 0,23%	0,34 ± 0,02%
3.	Август	4,71 ± 0,24%	0,20 ± 0,01%
4.	Сентябрь	4,36 ± 0,22%	0,11 ± 0,006%

Из полученных результатов следует, что содержание суммы как восстановленных, так и окисленных флавоноидов в плодах боярышника вееровидного падает с момента формирования завязи до периода созревания плодов. Содержание суммы восстановленных флавоноидов в плодах боярышника вееровидного превалирует над содержанием суммы окисленных форм флавоноидов в течение всего периода наблюдений

Полученная в ходе исследования кривая поглощения извлечения из плодов боярышника вееровидного, заготовленного в сентябре, представлена на рисунке 1.

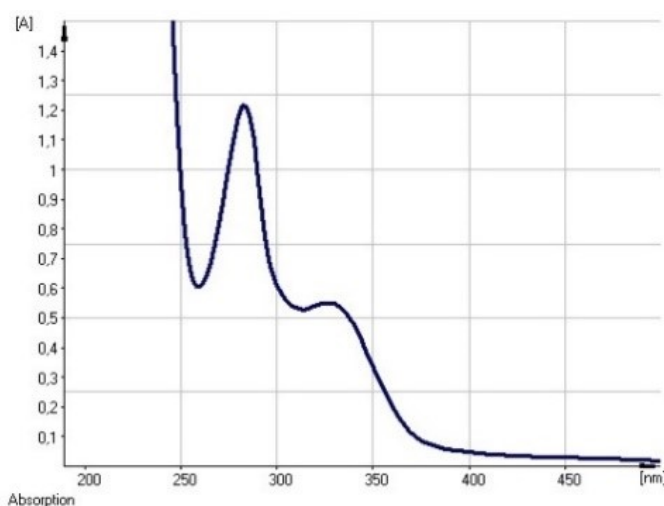


Рис. 1 - Кривая поглощения плодов боярышника вееровидного, заготовленных в сентябре (разведение 1:150)

Выводы. Плоды боярышника вееровидного содержат преимущественно восстановленные формы флавоноидов. Содержание суммы флавоноидов в плодах боярышника вееровидного меняется по мере созревания плодов в сторону уменьшения. Плоды боярышника вееровидного могут быть использованы в качестве лекарственного растительного сырья для получения лекарственных препаратов.

Список литературы

1. Государственная фармакопея Российской Федерации. – Четырнадцатое издание. – М.: Министерство здравоохранения РФ, 2018. / URL: <http://femb.ru/femb/pharmacopea.php>
2. Деревья и кустарники СССР. Т. 3, Издание Академии наук СССР Москва-Ленинград, 1954. – 872 с.
3. Климова А.И., Волкова Н.А. Исследование антидепрессантной активности густых экстрактов побегов боярышника // Сборник научных статей Всероссийской научно-практической конференции студентов и молодых ученых с международным участием. ФГБОУ ВО «Иркутский

государственный медицинский университет» Минздрава России, Иркутск, 2022. С. 58-62.

4. Куркин В.А., Правдивцева О.Е., Шайхутдинов И.Х., Куркина А.В., Зайцева Е.Н., Волкова Н.А. Виды рода боярышник (*Crataegus* L.): стандартизация и создание лекарственных препаратов. Самара: ООО «Офорт», 2020. – 118 с.

5. Растительные ресурсы России: Дикорастущие цветковые растения, их компонентный состав и биологическая активность. Т. 2. – СПб.; М.: Товарищество научных изданий КМК, 2009. - С. 191-197.

¹СТРИЖОВ Б.Б., ¹АНТОСЮК О.Н., ²БОЛОТНИК Е.В.
**ВЛИЯНИЕ ЭТАНОЛЬНЫХ ЭКСТРАКТОВ
ПРЕДСТАВИТЕЛЕЙ РОДА MONARDA НА ЭКСПРЕССИЮ ГЕНА
SQH DROSOPHILA MELANOGASTER**

¹ФГАОУ ВО Уральский федеральный университет имени первого
Президента России Б.Н. Ельцина, г. Екатеринбург

²ФГБУН Ботанический сад Уральского отделения Российской
академии наук (Ботанический сад УрО РАН), г. Екатеринбург
e-mail: antosuk-olga@mail.ru

¹STRIZHOV B.B., ¹ANTOSYUK O.N., ²BOLOTNIK E.V.
**THE EFFECT OF ETHANOL EXTRACTS OF
REPRESENTATIVES OF THE GENUS MONARDA ON THE
EXPRESSION OF THE SQH GENE OF DROSOPHILA
MELANOGASTER**

¹Ural Federal University named after the first President of Russia B.N.
Yeltsin, Yekaterinburg

²Botanical Garden of the Ural Branch of the Russian Academy of
Sciences (Botanical Garden of the Ural Branch of the Russian Academy of
Sciences), Yekaterinburg
e-mail: antosuk-olga@mail.ru

Аннотация. Протестировали влияние этанольных экстрактов представителей рода *Monarda* на экспрессию гена *spaghetti squash (sqh)* *Drosophila melanogaster*. Обнаружили ингибирование экспрессии *sqh* у обоих полов при применении экстракта *M. media*.

Ключевые слова: экстракт, экспрессия, метотрексат, *Drosophila*

Abstract. The effect of ethanol extracts of representatives of the genus *Monarda* on the expression of the *spaghetti squash (sqh)* gene of *Drosophila melanogaster* was tested. Inhibition of *sqh* expression was found in both sexes cases when using *M. media* extract.

Keywords: extract, expression, methotrexate, *Drosophila*

Введение. В связи с активным использованием химиотерапевтических препаратов при лечении онкологических заболеваний, известны негативные сопутствующие эффекты. К таковым относятся как генетическая активность, так и изменение экспрессии генов, задействованных в антипролиферативных процессах. Для уменьшения последствий терапии цитотоксиками рассматриваются протекторы, в частности экстракты лекарственных растений. Многие лекарственные растения являются фармакопейными видами, которые активно применяются в биомедицинской практике [1]. Комплекс биологически активных веществ, входящих в состав экстрактов могут действовать в направлении усиления антиоксидантных свойств, противовоспалительных и т.д. Но многие виды, не являющиеся фармакопейными имеют потенциал и являются кандидатами для тестирования их биологически активных свойств и дальнейшего применения. Род *Monarda* семейства *Lamiaceae* включает виды, для которых описан ряд свойств, которые могут быть использованы в разработке биоинсектицидном направлении, а также в медицинских целях [2,3]. В условиях интродукции представители данного рода демонстрируют различное содержание, например биофлавоноидов [4].

Цель исследования. Соответственно, целью исследования определили оценку изменения экспрессии гена *spaghetti squash (sqh)* *Drosophila melanogaster* при воздействии этанольными экстрактами представителей рода *Monarda*.

Материалы и методы исследования. Экстракт *M. media* и *M. fistulosa* готовили из сухого сырья, экстрагируя 70% этиловым спиртом в соотношении 1:10. Добавляли 0,5% экстракта относительно объема питательного субстрата. На 72 часа высаживали на питательную среду самок линии *daughterless – Gal4 (da)* и самцов *spaghetti squash (sqh) – EYFP*. Гибридных особей F_1 анализировали на интенсивность флюоресценции при помощи программы Image J. Статистическую обработку проводили, используя программу Statistica 13.0 (критерий Краскела-Уоллиса).

Используемые в работе линии *D. melanogaster*:

- Gal 4 – da (*daughterless*)
- sqh (*spaghetti squash*) – EYFP – Mito

Дополнительно для сравнения добавляли группу, получавшую с пищей противоопухолевый препарат метотрексат (Озон Медика, Россия) в концентрации 0,0004%.

Результаты исследования и их обсуждения. В ходе анализа изменения экспрессии гена *sqh* зарегистрировали подавление экспрессии у самок во всех экспериментальных группах (рисунок 1).

Обнаружили, что выращивание особей на среде с внесением экстракта *M. media* характеризуется отсутствием гендерных различий и гипоекспрессией гена *sqh*.

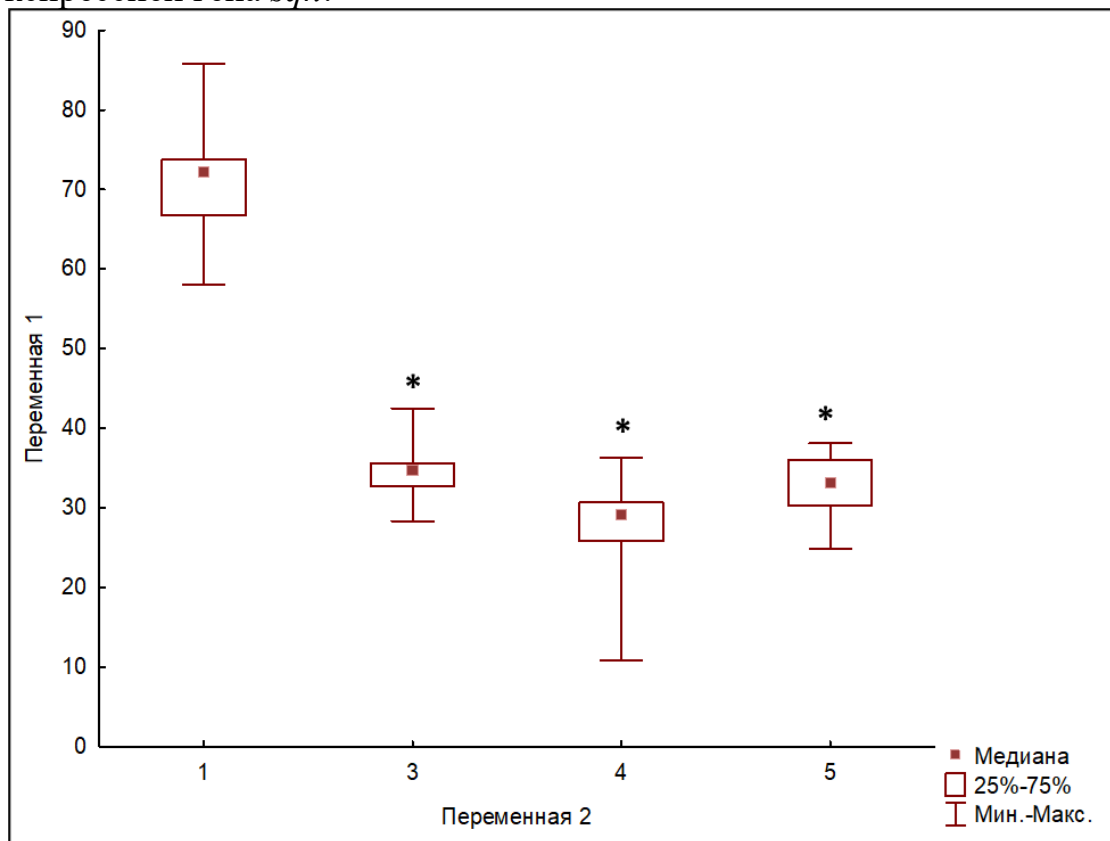


Рисунок 1. Изменение экспрессии гена *sqh* у самок экспериментальных групп *D. melanogaster* (* – тест Краскела-Уоллиса, при $p \leq 0,05$; где 1 – Контроль, 2 – Метотрексат 800 мкг/кг, 3 – экстракт *M. fistulosa* (0,5%), 4 – экстракт *M. media* (0,5%).

Тогда как при использовании *M. fistulosa* наблюдали гипоекспрессивный эффект только в отношении самцов, тогда как у самок экспрессия гена *sqh* оставалась в пределах контрольной группы (рисунок 1, 2).

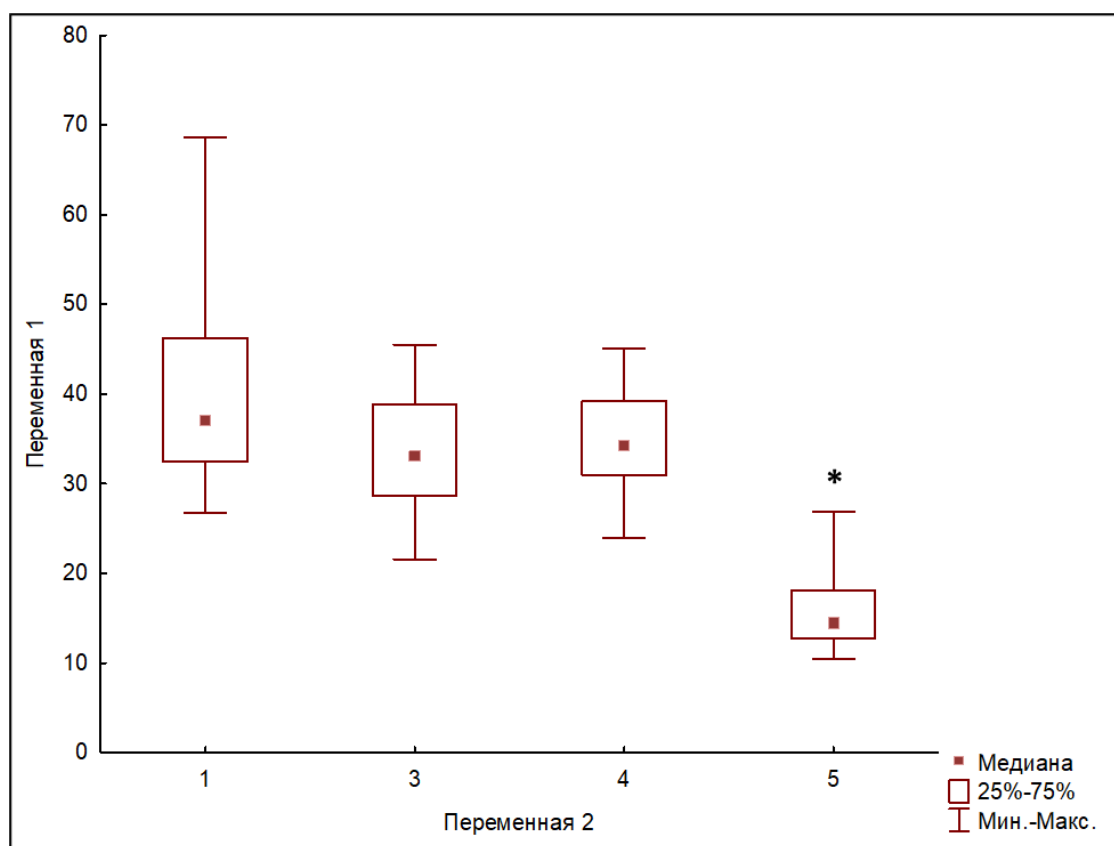


Рисунок 2. Изменение экспрессии гена *sqh* у самцов экспериментальных групп *D. melanogaster* (* – тест Краскела-Уоллиса, при $p \leq 0,05$; где 1 – Контроль, 2 – Метотрексат 800 мкг/кг, 3 – экстракт *M. fistulosa* (0,5%), 4 – экстракт *M. media* (0,5%).

Ингибирование генной экспрессии может иметь негативные последствия, особенно на ранних этапах развития.

Выводы. Таким образом, экстракты представителей рода *Monarda* характеризуются различным проявлением в отношении эффективности изменения экспрессии гена *sqh*.

Список литературы

1. Шемшуря О.Н., Паршина Г.Н., Мукиянова У., Бейсетбаева Г. Компонентный состав полифенольного комплекса в водных и спиртовых экстрактах некоторых видов семейства Lamiaceae LINDL // Путь науки, 2014. – № 8. – С. 49-52.
2. Finetti L., Civolani S., Mirandola D., Benetti L., Francati S., et al. *Monarda didyma* hydrolate affects the survival and the behaviour of *Drosophila suzukii* // *Insects*, 2022. – V.13. – I.3. – doi: 10.3390/insects13030280.
3. Wahyudi B.M., Chung C.A., Chelovna C., Soetanto F., Anggasta G., et al. A review on pharmacological activity of *Monarda fistulosa* L. // *Indonesian journal of life sciences*, 2022. – V. 4. – №2. – doi: 10.54250/ijls.v4i2.142.
4. Гринева Д.И., Гафарова Д.Д., Болотник Е.В. Содержание флавоноидов в сырье видов *Monarda fistulosa* var. *media* (Willd.) A. Gray и

Monarda fistulosa L., интродуцированных в Ботаническом саду УрО РАН // Материалы VI Международной (76 Всероссийская) гаучно-практической конференции «Актуальные вопросы современной медицинской науки и здравоохранения», Екатеринбург, 2021. – С. 1313-1317.

ТАРАСОВА В.Л., ХОХРЯКОВА Л.В.
**ИЗУЧЕНИЕ ВЛИЯНИЯ СЕЗОННОЙ ПЕРИОДИЧНОСТИ НА
СОДЕРЖАНИЕ ДУБИЛЬНЫХ ВЕЩЕСТВ В КОРЕ ЕЛИ
ОБЫКНОВЕННОЙ (PICEA ABIES) КИРОВСКОЙ ОБЛАСТИ**

*Вятский государственный университет, г. Киров
email: kiratarasova1725@gmail.com*

TARASOVA V.L., KHOKHRYAKOVA L.V.
**STUDY OF THE INFLUENCE OF SEASONAL PERIODICITY ON
THE CONTENT OF TANNINS IN THE BARK OF THE COMMON
SPRUCE (PICEA ABIES) OF THE KIROV REGION**

*Vyatka State University, Kirov
email: kiratarasova1725@gmail.com*

Аннотация: в данной статье представлены результаты изучения содержания дубильных веществ в коре ели Обыкновенной (*Picea abies*) в зависимости от времени года (осень, зима, весна). Установлено, что наибольшее накопление дубильных веществ приходится на весенний период.

Ключевые слова: дубильные вещества, кора, ель Обыкновенная, титриметрический метод, сезонная периодичность

Abstract: this article presents the results of studying the content of tannins in the bark of spruce (*Picea abies*) depending on the time of year (autumn, winter, spring). It is established that the greatest accumulation of tannins occurs in the spring period.

Keywords: tannins, bark, common spruce, titrimetric method, seasonal frequency

Кировская область является одним из ведущих российских регионов в сфере лесной промышленности. По состоянию на 2022 год площадь, покрытая лесом, составляет 7,53 млн. га и занимает 62,5% территории региона [1]. Из них почти 4,1 млн. га приходится на долю хвойных деревьев. Главными лесообразующими породами являются сосна и ель. Основными видами использования хвойных лесов в области считаются заготовка древесины и её обработка. Вследствие этого образуется огромное количество растительных отходов, которые вывозят на лесные свалки или

сжигают на местах лесозаготовок. При этом их можно использовать для производства различных продуктов. Например, кора хвойных деревьев обладает высоким содержанием дубильных веществ. В растениях эти соединения участвуют в обменных процессах, выполняют защитные функции, предохраняя от губительного действия ультрафиолетового излучения, предотвращая повреждение их травоядными животными и различными патогенами, а также играют роль природных пестицидов [2]. В настоящее время их применяют в различных областях, включая медицину (получение препаратов, используемых в качестве кровоостанавливающих, вяжущих, противовоспалительных и противоопухолевых средств), сельское хозяйство, пищевую промышленность, производство напитков, чернил и клеев, производство красителей, пластиковых смол, очистку воды и нанесение покрытий на поверхности [3]. На накопление дубильных веществ в растениях влияют различные факторы: возраст и фаза развития растения, место его произрастания, высотность, суточная и сезонная периодичности, антропогенные, климатические, генетические и почвенные условия.

Цель исследования – оценка влияния сезонной периодичности на содержание дубильных веществ в коре ели Обыкновенной (*Picea abies*).

Материалы и методы исследования. Объектом исследования являлась кора ели Обыкновенной (*Picea abies*). Сырье было собрано в г. Кирово-Чепецке Кирово-Чепецкого района.

Данные по сбору исследуемого сырья представлены в таблице 1.

Таблица 1. Данные сбора сырья

Условия отбора проб	Время года		
	осень	зима	весна
Дата и время	06.11.2022 10.34	03.12.2022 11.00	19.03.2023 11.30
Температура воздуха	+0,9 °С	-17 °С	-9 °С
Влажность воздуха	81%	78%	84%

Кору высушивали при температуре 50 °С. Сухое сырьё просеивали через сито диаметром 2 мм. Экстрагирование проводили дистиллированной водой на электрической плитке в течение 30 минут.

Для количественного определения содержания дубильных веществ использовали метод объемного перманганатометрического титрования [4]. Данный метод основан на легкой окисляемости дубильных веществ калия перманганатом в кислой среде в присутствии индикатора и катализатора индигосульфокислоты, которая в точке эквивалентности раствора меняет окраску от синего до золотисто-желтого.

Результаты количественного определения дубильных веществ в коре ели Обыкновенной представлены в таблице 2.

Таблица 2 Результаты количественного определения дубильных веществ в коре ели Обыкновенной

Объект исследования	Время года (месяц)	Влажность, %	Содержание дубильных веществ в пересчете на танин, %
Кора ели Обыкновенной	осень	48,3	19,3 ± 1,0
	зима	52,1	23,4 ± 0,6
	весна	57,8	34,7 ± 0,7

Исходя из полученных данных, можно говорить о том, что содержание дубильных веществ в течение года меняется: осенью оно минимально, зимой повышается, в весенний период достигает максимума. Можно предположить, что это связано с содержанием влаги в воздухе и в почве. При повышении температуры дерево начинает активнее впитывать воду, начинается интенсивное сокодвижение. В связи с этим, содержание дубильных веществ в коре больше весной. Однако для более точного представления влияния данного фактора на содержание дубильных веществ в коре ели Обыкновенной необходимо провести анализ в летний период, что будет осуществлено в ближайшее время.

Список литературы

1. Правительство Кировской области: [сайт]. URL: <https://www.kirovreg.ru/> (дата обращения: 10.05.2023)
2. Дубильные вещества или танины в растениях [Электронный ресурс]: Agrostory. Портал агробизнеса: [сайт]. URL: <https://agrostory.com/info-centre/knowledge-lab/dubilnye-veshchestva-v-rastenyakh/> (дата обращения: 10.05.2023)
3. Дубильные вещества [Электронный ресурс]: Википедия. Свободная энциклопедия: [сайт]. URL: https://ru.wikipedia.org/wiki/Дубильные_вещества (дата обращения: 10.05.2023)
4. Государственная Фармакопея СССР XI издания. Вып. 2. Общие методы анализа Лекарственное растительное сырье Москва: “Медицина”, 1990. 399с.